

Yüan-tzu néng

vol. 4, no. 4

原子能

第 4 卷

第 4 期

1959

中国物理学会編輯

科学出版社出版

目 錄

論 文

閃发反应堆.....	(341)
作为調节核反应堆工艺管道內載热剂流量的閥門的計算.....	(354)
作为輻射源用的(其中包括輻射化学上用的)核反应堆的循环迴路.....	(361)
鈾的机械性能.....	(370)
鈹.....	(375)
Co^{60} 和 Au^{193} 的 γ 射綫在各种物質上的反照率.....	(382)
用胶岭石吸附放射性鋇和用煅烧法固定鋇的規律性的研究.....	(388)
天然产状中放射性矿石的定量輻射測量(报导 I, 报导 II).....	(394)

給 編 輯 部 的 信

水中的 Co^{60} 源的散射 γ 輻射剂量的角分布	(403)
鉑同位素的电磁分离	(406)
强直綫放电中电流密度的平衡分布	(407)
瞬时裂变中子譜的分类法	(409)
在鉄及鉛中散射的 γ 射綫的角分布和能量分布	(412)
能量为 14 兆电子伏的中子分裂 U^{235} 及 U^{238} 时的平均中子数 $\bar{\nu}$	(415)
在能量为 14 兆电子伏的中子作用下 U^{238} 分裂时产生的平均中子数.....	(416)
能量为 14.6 兆电子伏的中子分裂 U^{238} 的截面.....	(418)
能量为 14 兆电子伏的中子与鈹、鉛及鉍相互作用下 $(n, 2n)$ 反应截面的測定	(419)
能量为 14.6 兆电子伏的中子对 U^{235} 及 Th^{232} 的分裂截面	(421)
新的鐿同位素	(422)
在迴旋加速器上制备同位素 As^{74}	(422)
列宁格勒近郊的放射性沉降	(423)
热液鈾矿床围岩变紅的实质	(428)

科 技 新 聞

在国立列宁格勒大学物理系	(430)
托姆斯克工学院	(430)
普查放射性矿石的最新仪器——天体望远鏡	(432)
資本主义国家鈾原料基地結構的变化	(432)
簡訊	(433)

書 刊 介 紹

最新文献	(435)
------------	-------

閃发反应堆

祖巴列夫 (Т. Н. Зубарев)

本文提出了使用普通水和浓集铀的閃发反应堆结构示意图,并举出了这种反应堆的物理和热工参数计算方法。証明了在一定的条件得到满足后,中子閃发时的放热很稳定。計算表明在下面要研究的閃发反应堆結構方案中,当活性区内的平均热中子通量为 $\leq 10^{14}$ 中子/厘米²秒,而最大热中子通量为 $\sim 10^{17}$ 中子/厘米²秒(中子閃发时)时,热功率可以达到 ≤ 5000 仟瓦。

当反应堆在脉冲状况下工作,且一定強度的瞬时中子閃发按照一定的週期一个接着一个地发生,則这样的堆叫做閃发反应堆。

本文*提出了一种热中子閃发反应堆方案的結構示意图,这种堆用普通水和浓集铀盐溶液来作为放射性混合物。本文还研究了这种堆的基本物理和热工特性。

1. 結 构

图1上画出了实验性閃发反应堆的示意图。在某一起始時間下,用铀盐的水溶液装满活性区1和冷凝器5的底部2。在沒有活动的反射层3时,堆处于次临界状态。在把反射层3移近活性区后,反应堆轉入超临界状态。反射层移近所需時間不多,活性区内的溶液在这一段时期内实际上来不及变热,其后活性区内产生大量的热。溶液的比容就因而增大,結果一部份溶液就經过环形孔道进入冷凝器。这时活性区内的压力大于饱和压力,因而不生成蒸气。否則由于溶液内发生体积沸腾,就不能生成效率充分大的中子閃发了。适当地选择孔道4的横截面,就可在活性区内生成必須的压力。当活性区内的溶液有5—10% (按质量算)被挤到冷凝器去以后,堆轉入次临界状态,中子通量按指数規律下降。同时活性区内的压力也剧烈降低。

在中子閃发的末期活性区内充满了过热溶液。这种溶液在經过孔道4进入冷凝器时实际上会受到絕热膨胀而变成潮溼蒸气。蒸气冷凝后生成的溶液流到冷凝器底部,經孔道7进入活性区。在溶液充满活性区后,再次把反射层迅速移近,循环就重复发生。

活动反射层由两部份組成,每部份都装在一个輪的輪緣上,輪以不变的速度轉动。运动的扇形反射层的尺寸选成这样:使得一个扇形反射层在活性区附近移过时不会把溶液引出次临界状态,而两个扇形反射层同时在充满了溶液的活性区附近通过时就能引起一定的起始超

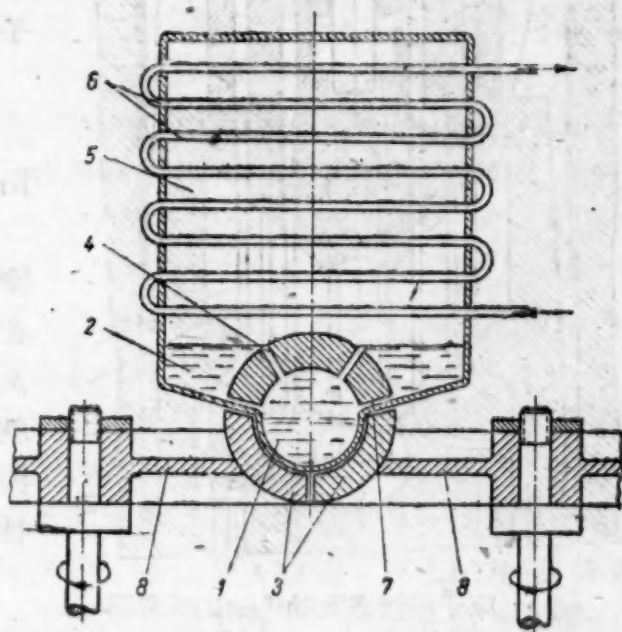


图1 实验性閃发反应堆示意图

1——活性区; 2——冷凝器底部; 3——活动反射层;
4,7——连接活性区和冷凝器的孔道; 5——冷凝器;
6——冷凝器的蛇形冷凝管; 8——反射层活动部分的輪。

* 原註:本工作是在1954—1955年間完成的。

临界性。轮的角速度和尺寸选得使活动反射层同时在活性区附近通过的先后两次之间的时间相应于溶液充满活性区的时间，而活动反射层的运动速度必须大得使中子闪发能有效的生成。

轮的角速度 ω_1 与 ω_2 之间有关系式如下

$$\omega_1 = \omega_2 \left(1 + \frac{\alpha}{2\pi} \right),$$

式中 α 是活动反射层在轮缘上所占的角度。这样，活动反射层在活性区附近同时通过先后两次之间的时间就是连续两次中子闪发之间的时间：

$$\Delta t = \frac{2\pi}{\omega_2} - \frac{2\pi}{\alpha}.$$

保证中子闪发时的稳定放热是闪发反应堆可靠工作的必需条件。在上述的反应堆结构中如活动反射层移近活性区的速度充分大，在这段时间内溶液的温度（因而密度）实际上来不及变化而中子闪发过程下一阶段的性质只由活性区内的溶液因密度减小流出来决定，则这一条件就可得到满足。在中子闪发时反射层的性质应该不变，这一点可由选定活动反射层的尺寸来办到。

决定中子闪发过程性质的那些堆参数最佳值是考虑了牢固性和紧密性而选定的。由于和活性溶液相接触的各部份都是固定的，就可以把活性体积全部密封起来了。中子闪发时水分解生成的爆炸性气体可以在冷凝器内烧掉。

计算表明在堆内可以达到 5000 仟瓦的热功率*。这时活性区内的平均热中子通量是

$\sim 10^{14}$ 中子/厘米²秒，而最大通量（中子闪发时）是 $\sim 10^{17}$ 中子/厘米²秒，把几个中子闪发按时间略有错开的几个闪发中子堆联合一起就可把正比于堆的数目的照射试样的平均热中子通量增加到 $\leq 10^{17}$ 中子/厘米²秒。

要是把流经冷凝器的冷却水加热到充分高的温度，就可在动力装置内采用实验闪发反应堆的结构图了。

还有可能在闪发反应堆的基础上造成原子能活塞发动机。图 2 是这种发动机一种方案的示意图。在某一时间下充满活塞下面圆筒的放射性混合物的蒸气当活塞往下运动时受压缩而冷凝，在活性区内就产生了发展链式反应的条件。在为时很短的中子闪发期内放射性混合物发热，而在随之而来的活塞往上运动时（工作行程）受到绝热膨胀。在达到上部不灵敏点后，活塞在工作轴一次或几次空转的时间内固定不动。活塞在上部不灵敏点的这种“停驻”使得经过贯穿工作圆筒的钢管壁引出热量的任务可以成功地完成。用液体封闭装置可以使放射性工作空间绝缘，还能补偿溶液（经过活塞和工作圆筒间的

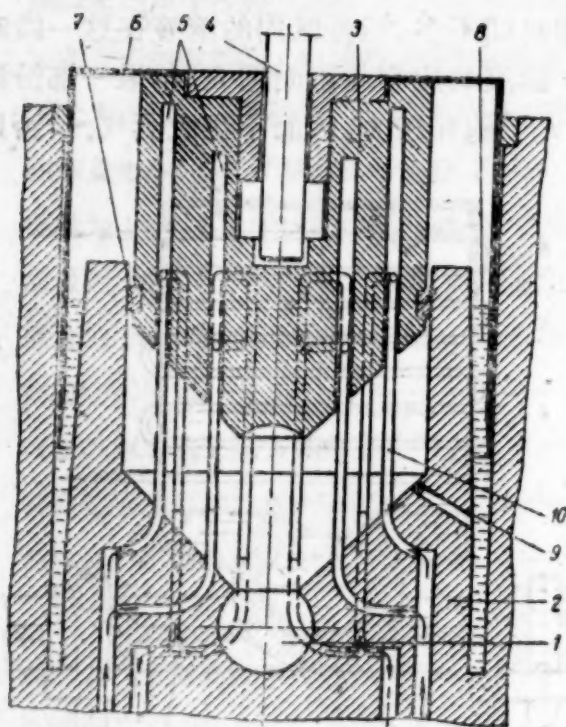


图 2 原子能活塞发动机结构示意图

- 1——活性区；2——活性区外壳；3——活塞；
4——活塞杆；5——环形槽；6——保险帽；
7——密封用石墨环；8——液体封闭装置；
9——重复启动阀；10——冷却用蛇形管。

* 原註：基本参数的数值如下：活性区体积 ~ 15 立升；活性区内 U^{235} 装料 ~ 1 公斤；冷凝器的冷却面积 ~ 18 米²；冷凝器体积 ~ 200 立升，轮直径 ~ 1 米，轮的角速度 ~ 850 转/分。

縫)的漏失。

在上述发动机的基础之上建造在围绕活塞杆的线圈中感应产生电流的直型线圈发电机的可能性也不是不存在的。

2. 热 工 参 数

热力学循环 图3是上述型式閃发反应堆热力学循环的特性曲线。

在起始时刻溶液的主要质量位于活性区内，而溶液的一部份(主要是蒸气)充满了冷凝器(图3, 点A)。然后由于中子閃发的结果充满活性区的溶液发热，而且发热时实际上不产生相变(曲线AB)。循环的下一步是绝热膨胀(直线BC)，这时溶液变成潮湿的蒸气，充满冷凝器。蒸气在不变的体积内冷凝(等容线C₁A或CD)，而溶液流入活性区。

在实验性閃发反应堆内溶液蒸气在冷凝器内冷却后循环就完成了(曲线C₁A)。要是把溶液用作活塞发动机内的工作体，则最好是按绝热线DA(由于活塞的运动)来完成循环。

在实验性閃发反应堆的热工计算中实质上只要计算冷凝器就行。而在动力閃发反应堆中则可能达到的热效率 η_c 问题也是饶有兴趣的。

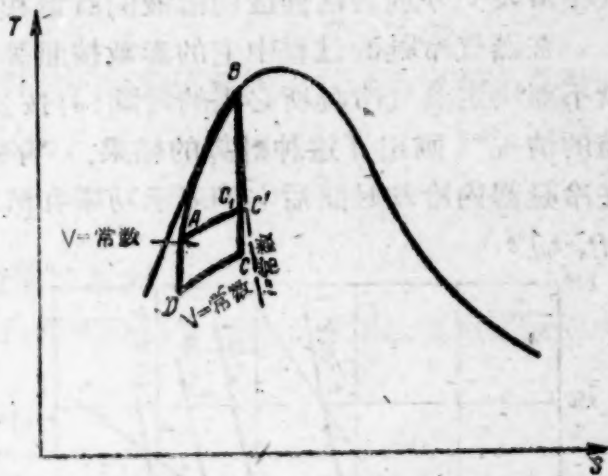


图3 閃发反应堆热力学循环的TS图线

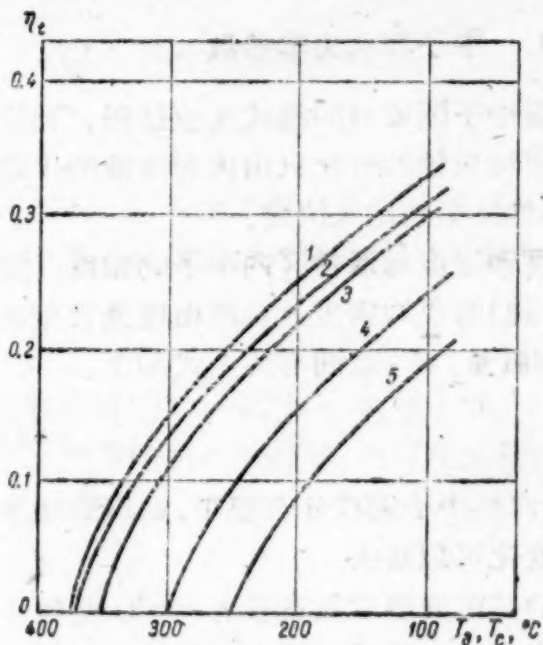


图4 热效率 η_c 对温度 T_B 及 T_C 的相依曲线(循环ABCD)。

1— $T_B=375^\circ\text{C}$; 2— $T_B=370^\circ\text{C}$; 3— $T_B=350^\circ\text{C}$; 4— $T_B=300^\circ\text{C}$; 5— $T_B=250^\circ\text{C}$ 。

图4上画出了循环ABCD内 η_c 对绝热膨胀起始和终结温度的相依曲线。在计算中，认为 T_A 等于 T_C 。如给定温度 T_B 及 T_C ，则当 $T_A \rightarrow T_B$ 时效率可以达到最大值。可是这样循环所作的功当然就趋向于零了。计算表明，当工作圆筒的直径和高都为1米，冷却管的两端都在工作圆筒内，而温度 T_B 等于 $\sim 350^\circ\text{C}$ ，总效率为20%时由一个工作圆筒可以取得的机械功率约为1000千瓦。

对溶液工作温度的选择 在动力閃发反应堆内为了求得充分高的效率必须尽量提高工作混合物的温度。只在溶液的最大温度 $T_B \lesssim 300^\circ\text{C}$ 时，上述活塞发动机的示意图才是有实际意义的。

在实验性閃发中子堆内就是另外一回事了。活性区内的平均热中子通量是实验性反应堆的重要特性，这一平均通量反比于同位素 U^{235} 的临界质量。所以为了提高平均热中子通量，必须在其他条件相同的情形下尽量缩小 U^{235} 的装载量，因而也就要尽量降低溶液的温度。反比于活性区体积的快中子通量是实验性反应堆的重要特性，为了减小活性区体积也须尽量降低中子温度。在温度为 $\lesssim 80^\circ\text{C}$ 时临界装载量达到最小值。进一步降低温度实际上对临界装载量就不起作用了。

同时中子通量正比于堆的功率。所以为了对溶液温度的最佳值作出最后结论，必须弄清

楚溶液温度的变化对堆的功率有什么作用。

閃发反应堆的热功率正比于中子閃发时溶液所发的热 Δt° 和閃发频率。如我們认为两次閃发之間的时间和在一次閃发中由冷凝器中取出热量的时间 Δt (这时功率当然达到最大值) 符合, 則堆的功率大致等于*

$$N = \frac{Mc\Delta t^\circ}{\Delta t}, \quad (1)$$

式中 M 及 c 分别为活性区内溶液的质量和热容量。

在蒸气冷凝的过程中它的参数按照等容綫 C_1A (图 3) 而变化。給定冷凝器的结构以后, 就不难决定蒸气冷凝所必需的时间; 并按公式(1)算出堆的最大功率了。图 5 上对实际上有价值的情况** 画出了这种計算的結果。穿經原点的直綫是按照公式(1)画出来的, 在給定溶液在冷凝器內冷却時間后它們表示功率和溶液发热的关系。

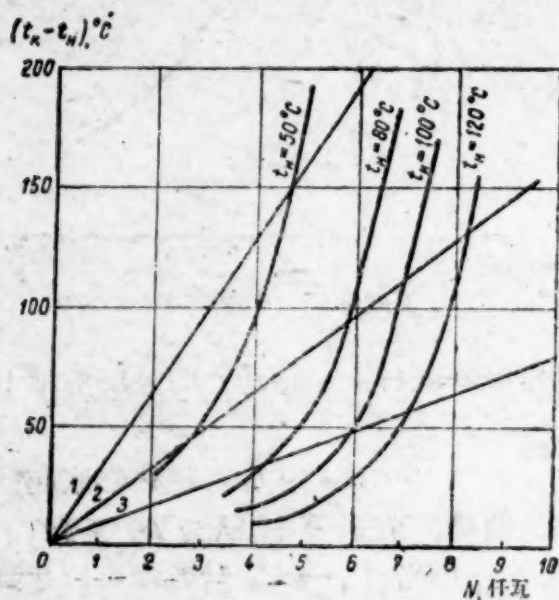


图 5 由冷凝器取出的功率对溶液的終結和起始温度之差 $t_k - t_n$ 的相依曲綫。

直綫相应于不同的循环周期: 1—— $\Delta t=2$ 秒; 2—— $\Delta t=1$ 秒; 3—— $\Delta t=0.5$ 秒。

由图 5 可見, 由某一数值开始 (約 100°C), 溶液发热的增大对功率增加的影响就不大了。这点可以用发热增大后在冷凝器內引出热量所需時間同时也增大来解释。溶液的起始温度低而发热少时, 需要的超临界性不大 (见图 6), 所以最好把工作状态选成这个样子, 使得溶液的起始温度 $\leq 80^\circ\text{C}$, 而中子閃发时溶液的发热 $\leq 100^\circ\text{C}$ (在实验性閃发堆內)。这样就能在超临界性的生成速率不大, 活性区內的压力也不大的条件下工作了。

3. 中子和水力学参数

现在来看看中子閃发时的鏈式反应过程, 和第 1 节一样; 假定反应性的变化只由因为溶液的比容增大, 因而由活性区被挤出来决定。

溶液的密度和温度与活性区内中子的密度 溶液 (按活性区体积) 的平均密度 ρ 和經由連通管被挤出的溶液质量 ΔM , 起始時間下活性区内溶液的密度 ρ_0 和质量 M_0 之間有关系式如下:

$$\rho = \rho_0 \left(1 - \frac{\Delta M}{M_0} \right). \quad (2)$$

此外, 溶液的密度是温度和压力的函数。由于活性区内热中子密度分布很平, 加以溶液連續被挤出, 使溶液温度拉平, 在活性区范围内溶液密度的变化可以略去。

在上面研究过的閃发中子堆示意图中最有实际意义的是溶液温度数量級为 300°C 或較小的这一方案。这时溶液密度的变化主要由温度的变化来决定。由活性区挤出溶液的連通管的横截面选得使活性区內的压力大于饱和压力不多。所以在計算时可以把溶液密度对饱和压力的相依性取作对温度的相依性。

方程式(2)可以改写成下形:

$$\frac{\rho}{\rho_0} = \frac{1}{1 + \int_{t_0}^{t^\circ} \beta(t^\circ) dt^\circ}, \quad (3)$$

* 原註: 实际上的功率要略略大些, 因为在反射层中也会发出部份热量 ($\leq 7\%$)。

** 原註: 見本文第二註釋。

其中 $\beta(t^\circ)$ 是水的相对膨胀系数, t_0 是溶液的起始温度. 溶液温度随时间的变化可用下式来描述:

$$\frac{dt^\circ}{dt} = \frac{g}{T(t^\circ)M(t^\circ)c(t^\circ)}N(t), \quad (4)$$

其中 $N(t)$, $T(t^\circ)$, $M(t^\circ)$, $c(t^\circ)$ 分别为活性区内中子的数目, 堆内中子的平均寿命, 温度 t° 及时间 t 时溶液的质量和热容量; $g = g_0 f$ (g_0 是 U^{235} 核俘获热中子时给溶液的热能, f 是 U^{235} 核俘获中子的几率).

在我们所研究的情形下决定活性区内的中子数对时间的相依性的方程式可以写成下形:

$$dN = \frac{N \Delta k(t)}{T(t)} dt, \quad (5)$$

$$\Delta k(t) = k_{\text{eff}}(t) - 1, \quad (6)$$

其中 k_{eff} 是没有考虑缓发中子的影响时中子的有效增殖系数.

k_{eff} 对溶液参数和活性区几何形状的相依性在我们所研究的情形下可用近似关系式来确定:

$$k_{\text{eff}} \simeq k_{\infty} e^{-\mathcal{M}_0^2 x^2 \gamma^2}, \quad (7)$$

$$x^2 = \left(\frac{\pi}{R + \delta} \right)^2,$$

其中 k_{∞} 是没有考虑缓发中子时的增殖系数; R 是活性区的半径, \mathcal{M}_0^2 是中子的有效迁移面积; δ 是考虑反射层影响的活性区半径有效附加值; γ 是温度为 t° 时溶液的比容对室温下的比容之比*.

引入下列无因次变数:

$$\tau = \frac{t}{T_0}, \mu = \frac{\Delta M}{M_0}, \theta = \frac{t^\circ}{100^\circ\text{C}}, y = \frac{N}{N_m}.$$

其中 N_m 是活性区内中子的某种特征值, 约等于中子闪发时活性区内的最大中子数(见下), T_0 是中子闪发之初活性区内中子的寿命. 很清楚,

$$T \simeq \frac{T_0}{1 - \mu}. \quad (8)$$

在起始时刻 $\tau = 0$, $\mu = 0$, $\theta = \theta_0$, $y = y_0$, $c = c_0$, $\rho = \rho_0$.

利用已引入的符号, 就可把方程式(3), (4), (5)写成下面形式:

$$\frac{\rho}{\rho_0} = 1 - \mu = \frac{1}{1 + \int_{\theta_0}^{\theta} \beta(\theta') d\theta'}, \quad (9)$$

$$\frac{d\theta}{d\tau} = \frac{c_0}{c} B y, \quad (10)$$

$$\frac{dy}{d\tau} = (1 - \mu) \Delta k(\theta) y \quad (11)$$

$$\left(B = \frac{g N_m}{V_{a.s.} c_0 100^\circ(\text{C}) \rho_0}, V_{a.s.} \text{ 是活性区的体积} \right).$$

其次假定起始时刻的剩余反应性是 Δk_0 , 其后由于溶液的密度按照公式(7)而降低的结果

* 原註: 在活性区的体积约为 15 立升, 反射层为钢时, $\mathcal{M}_0^2 \simeq 26 \text{ 厘米}^2$; $\delta \simeq 7.6 \text{ 厘米}$.

反应性降低。所以可以写:

$$\Delta k(\theta) = (1 + \Delta k_0) e^{-L^2 \left\{ \frac{1}{(1-\mu)^2} - 1 \right\}} - 1, \quad (12)$$

$$L^2 = \mathcal{M}_0^2 x^2 \left(\frac{\rho_{\text{HP}}}{\rho_0} \right)^2, \quad \rho_{\text{HP}} = 1 \text{ 克/厘米}^3.$$

方程式组(9)–(12)可以解成积分式:

$$y(\theta) = y_0 + \int_{\theta_0}^{\theta} F(\theta') d\theta', \quad (13)$$

$$\tau(\theta) = \int_{\theta_0}^{\theta} \frac{c(\theta') d\theta'}{c_0 B y}, \quad (14)$$

其中

$$F(\theta) = \frac{c(\theta)}{c_0 B} [1 - \mu(\theta)] \{ (1 + \Delta k_0) e^{-L^2 \left(\frac{1}{(1-\mu)^2} - 1 \right)} - 1 \}. \quad (15)$$

在我们研究的情形下 $\Delta k_0 \ll 1$, $\mu \ll 1$. 所以为了得出近似解, 可以在公式(15)中命 $c = c(\bar{\theta}) = \bar{c}$, 在方括弧内取 $\mu = \mu(\bar{\theta}) = \bar{\mu}$, 而在大括弧内的指数项可以分解为 μ 的幂级数, 在分解后的线性项系数中引入常数因子, 以这样修正后的线性项作近似. 常数因子必须选得使函数 $F(\theta)$ 的近似值和精密值在 μ 的同一数值下为零.

温度的平均值 $\bar{\theta}$ 实际上和 $\Delta k(\theta)$ 为零时的值相符合. 在用 $\mu(\bar{\theta})$ 来代换 $\mu(\theta)$ 时把这一数值选为平均值, 有

$$F(\theta) \simeq \frac{\bar{c}}{c_0 B} (1 - \bar{\mu}) (\Delta k_0 - m\mu), \quad (16)$$

其中

$$\bar{\mu} = 1 - \frac{1}{\sqrt{\frac{1}{L^2} \ln(1 + \Delta k_0) + 1}}, \quad m = \frac{\Delta k_0}{\bar{\mu}}.$$

由于 $\mu \ll 1$, 由公式(9)可得

$$\mu \simeq \int_{\theta_0}^{\theta} \beta d\theta' \quad (17)$$

在不高的温度下 ($t^\circ \lesssim 300^\circ\text{C}$) β 对压力的相依性不强而有下列近似关系式:

$$\beta = at^\circ = 0.075 \theta \quad (t^\circ \lesssim 200^\circ\text{C}; \theta \lesssim 2), \quad (18)$$

$$\beta = a_1 t^\circ + b_1 (t^\circ)^2 + d_1 (t^\circ)^3 = 0.133 \theta - 0.085 \theta^2 + 0.028 \theta^3 \quad (t^\circ \lesssim 300^\circ\text{C}; \theta \lesssim 3). \quad (19)$$

利用公式(16)–(19), 即可知函数 $y(\theta)$ 由下列方程式来定:

$$y = y_0 + \gamma_1(\theta - \theta_0) - \gamma_3(\theta^3 - \theta_0^3) \quad (t^\circ \lesssim 200^\circ\text{C}; \theta \lesssim 2), \quad (20)$$

$$y = y_0 + \gamma'_1(\theta - \theta_0) - \gamma'_3(\theta^3 - \theta_0^3) - \gamma'_4(\theta^4 - \theta_0^4) - \gamma'_5(\theta^5 - \theta_0^5) \quad (t^\circ \lesssim 300^\circ\text{C}; \theta \lesssim 3), \quad (21)$$

$$\gamma_1 = B_1 \Delta k_0 \left(1 + \frac{ma\theta_0^2}{2\Delta k_0} \right), \quad \gamma_3 = B_1 \frac{ma}{6},$$

$$\gamma'_1 = B_1 \left[\Delta k_0 + m \left(\frac{a_1}{2} \theta_0^2 + \frac{b_1}{3} \theta_0^3 + \frac{d_1}{4} \theta_0^4 \right) \right],$$

$$\gamma'_3 = B_1 \frac{ma_1}{6}, \quad \gamma'_4 = B_1 \frac{mb_1}{12}, \quad \gamma'_5 = B_1 \frac{md_1}{20},$$

$$B_1 = (1 - \bar{\mu}) \frac{\bar{c}}{B c_0}.$$

由方程式(20), (21)可以求出溫度 θ_m 的極大值, 這一極大值是 $\theta > \theta_0$ 時這些方程式的第一個近似根。

要是溶液的最終溫度 $t_k \lesssim 200^\circ\text{C}$, 則在使用公式(17), (18)及(20)來計算時可以達到很能令人滿意的精確度而計算特別簡單。現在我們使用最後幾個公式來作某些定性的結論。

由於 β 對溫度的相依性不強, 在作定性估計時可以認為 $\beta = \bar{\beta} = \text{常數}$ 。在這一情形下溶液的最終溫度就是

$$\theta_m = \theta_0 + \frac{\Delta k_0}{m\bar{\beta}}(1 + \xi), \quad (22)$$

而反應性的最終值

$$\Delta k_m = -\Delta k_0 \xi, \quad (23)$$

其中

$$\xi = \sqrt{1 + \frac{2c_0 B m \bar{\beta} y_0}{\bar{c}(1 - \bar{\mu}) \Delta k_0^2}}.$$

在實際上有假值的全部情形下 $\xi \simeq 1$ 。

由方程式(22)可得出溶液溫度最終值的變化和起始反應性數值的變化 Δk_0 之間的近似關係式如下:

$$\frac{\Delta \theta_m}{\theta_m} \simeq \left\{ 1 - \frac{\theta_0}{\theta_m} \left(1 + \frac{2c_0 B y_0}{\bar{c}(1 - \bar{\mu}) \xi \theta_0 \Delta k_0} \right) \right\} \frac{\Delta(\Delta k_0)}{\Delta k_0} \simeq \left(1 - \frac{\theta_0}{\theta_m} \right) \frac{\Delta(\Delta k_0)}{\Delta k_0}. \quad (24)$$

在實際上有假值的情形下當 $\theta_m \sim 2\theta_0$ 時由關係式(24)有:

$$\frac{\Delta \theta_m}{\theta_m} \simeq 0.5 \frac{\Delta(\Delta k_0)}{\Delta k_0} \quad (24')$$

在考慮了系數 β 對溫度的相依性以後, 上面所作的定性結論仍然正確。

可以認為, 如 $\frac{\Delta \theta_m}{\theta_m} \lesssim 0.1$, 則中子閃發時可以達到足夠的發熱穩定性。可能發生的 Δk_0 振動的規模可以按公式(7)估計。由它可知, 在活性區的體積 $V_{a.s.}$ 約為 15 立升時有下列關係式:

$$\frac{\Delta(\Delta k_0)}{\Delta k_0} \simeq -0.15 \frac{1 + \Delta k_0 \left(4 \frac{\Delta \gamma^2}{\gamma^2} + \frac{\Delta \rho_n}{\rho_n} \right)}{\Delta k_0}, \quad (25)$$

$$\rho'_n = \frac{\rho_n}{\rho_s},$$

式中 ρ_n 和 ρ_s 分別是氫和同位素 U^{235} 的核密度。

在 $\frac{\Delta \theta_m}{\theta_m} \lesssim 0.1$ 時比較公式(24')及(25), 可知在被研究的閃發反應堆數型中如滿足不等式

$$4 \frac{\Delta \gamma^2}{\gamma^2} + \frac{\Delta \rho_n}{\rho_n} \lesssim 0.2.$$

則放熱穩定的條件滿足。實際上, 這就表示如中子閃發以前如溶液溫度能以 $\pm 5-10^\circ\text{C}$ 的準確度維持不變, 活性區內鈾的數量以 $\pm 10\%$ 的準確度維持不變, 則可以達到充分穩定的放熱。

在以上研究過的中子閃發過程中如剩餘反應性在閃發時增大或縮小, 則閃發持續時間分別減小或增大。這一點可以用來解釋發熱中相當高的穩定性。如和已研究過的情形不同, 在中子閃發時反應性按照與剩餘反應性數值無關的一定規律而變化時, 維持使用普通水和液集鈾的閃發反應堆發熱的穩定性就困難了。可以證明, 在後一種情形之下, 為了維持充分的放熱穩定性, 必須以比在本文所描述的方式工作的反應堆上大幾倍的精確度來保證維持中子閃發開始之前溶液的溫度和鈾的質量不變。

为了以給定的精确度解方程式(9)及其他方程式,可以使用只在自变数改变不多的間隔内确定各函数的解析相依性这种方法,比起数值积分法来这一計算方法在溶液的最終温度高时解决所研究的問題的复杂程度有时要小些,相应的計算公式可以如下导出.設在時間 $\tau = \tau_i$ 时有相应于剩余反应性 Δk_i 的超临界性,对在其中满足不等式

$$\left| \frac{\Delta k_i(\tau) - \Delta k_i}{1 + \Delta k_i} \right| \ll 1 \quad (26)$$

的 τ 值間隔 ($\tau_i < \tau < \tau_{i+1}$) 來說 (上式中在 $\tau_i < \tau < \tau_{i+1}$ 时 $\Delta k_i(\tau) = \Delta k(\tau)$) 可以在方程式(7)的基础上写出

$$\Delta k_i(\tau) = \Delta k_i - (1 + \Delta k_i) \alpha_i [t_i^*(\tau) - t_i^*], \quad (27)$$

其中

$$\alpha_i = M_0^2 x^2 \left(\frac{\Delta \gamma^2}{\gamma^2} \right)_{t_i^* = \frac{t_i^* + t_{i+1}^*}{2}},$$

$$t_i^*(\tau) = t^*(\tau) \quad (\tau_i < \tau < \tau_{i+1} \text{ 时}).$$

联立解方程式(27), (4), (5), 可得

$$\tau = d_i \pm \frac{1}{\sqrt{P_i}} \ln \frac{1 + \sqrt{1 - \frac{2S_i}{P_i} y}}{1 - \sqrt{1 - \frac{2S_i}{P_i} y}}, \quad (28)$$

式中

$$S_i = \frac{gN_m(1 + \Delta k_i)\alpha_i(1 - \mu_i)}{M_0 c_i},$$

$$P_i = b_i^2 + 2L_i e^{a_i},$$

其中 a_i, b_i, d_i 是由起始条件 ($\tau = \tau_i, y = y_i$ 时) 决定的常数, d_i 按 (28) 式, a_i 及 b_i 按下式来决定:

$$a_i = \ln y_i, \quad b_i = \frac{d}{d\tau} \ln y_i.$$

相应地

$$\Delta k_i(\tau) = \pm \sqrt{P_i} \sqrt{1 - \frac{2S_i}{P_i} y}, \quad (29)$$

$$t_i^*(\tau) = t_i^* + \frac{1}{\alpha_i} \ln \frac{1 + \Delta k_i}{1 + \Delta k_i(\tau)}. \quad (30)$$

$\Delta k(\tau)$ 是单调下降函数. 当 y 采取使 $\Delta k(\tau)$ 为 0 的数值时函数 $\Delta k(\tau)$ 变号 (由正变负). 相应地表示式(28)中 $\tau(y)$ 的符号也变号.

现在来估计一下中子閃发时最大通量的数值. 为此我們使用公式(28). 考虑到在实际上有假值的情形下 $\Delta k_0 \ll 1$, 由公式(28)可得:

$$y_{\max} = \frac{P_1}{2S_i} \simeq y_0 + \frac{M_0 c_0}{2g\alpha_1 N_m (1 + \Delta k_0)} \Delta k_0^2 \quad (31)$$

或

$$N_{\max} = N_{om} + \frac{M_0 c_0}{2g\alpha_1 (1 + \Delta k_0)} \Delta k_0^2, \quad (32)$$

其中 N_{om} 是达到最大超临界性时活性区内的中子数.

根据起始条件可以估计出 N_{om} 的数值. 起始条件是形成起始反应性 Δk_0 时活性区内所发

的热比中子閃发时总放热小得多。

很清楚,在給定的参数 Q_1 和 Δk_0 的数值下放热 (Q_1) 終了时,中子密度的最大值恰好对应于超临界性瞬时生成这一情形。这时

$$N_0 \sim e^{\frac{\Delta k_0}{T}},$$

$$Q_1 \sim \frac{g}{\Delta k_0} e^{\frac{\Delta k_0}{T}}.$$

由此

$$N_{om} \simeq Q_1 \frac{\Delta k_0}{g}$$

或

$$N_{om} \simeq \frac{Q}{g} \frac{Q_1}{Q} \Delta k_0. \quad (33)$$

在实际上有假值的情形下 $\Delta k_0 \lesssim 0.1$, $M \simeq 15$ 公斤, $V_{a.s.} \simeq 15$ 立升, $Q \simeq 3000$ 大卡, $\frac{Q_1}{Q} \lesssim 0.1$, $a_1 \simeq 10^{-3} \frac{1}{^\circ\text{C}}$. 在这一情形下使用文献[1]中列举的鈾核裂变时放出能量的数据和有效中子截面的数据,就可得出中子閃发时估計按活性区体积平均后活性区内热中子通量极大值的公式:

$$(\bar{nv})_{\max} \simeq 2 \times 10^{19} \Delta k_0^2 \text{ 中子/厘米}^2 \text{ 秒}, \quad (34)$$

例如,当 $\Delta k_0 \simeq 0.1$ 时有

$$(\bar{nv})_{\max} \simeq 2 \times 10^{17} \text{ 中子/厘米}^2 \text{ 秒}.$$

上面举出的对最大中子通量的估計和直接計算是符合的。下面会举出这种計算的某些結果。图6和图7上表示的是实际上有假值的情形下*及不同起始超临界性 Δk_0 下中子閃发时活性区内溶液温度及热中子通量对時間的相依性的典型例子。

活性区内的压力 为了测定中子閃发时活性区内的压力必須研究溶液在这时所产生的运

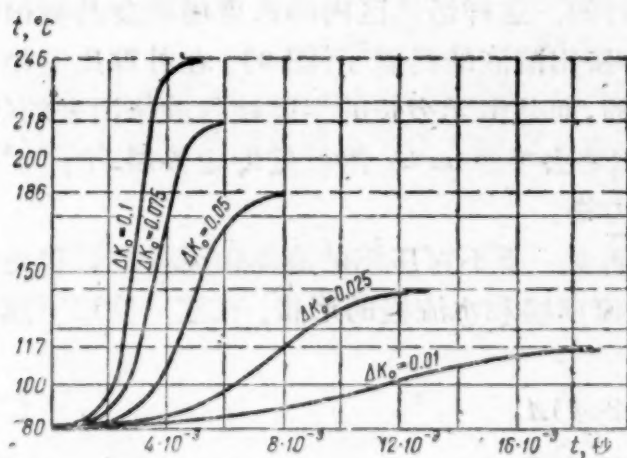


图6 在参数 Δk_0 的不同数值下活性区内溶液温度对時間的相依曲綫

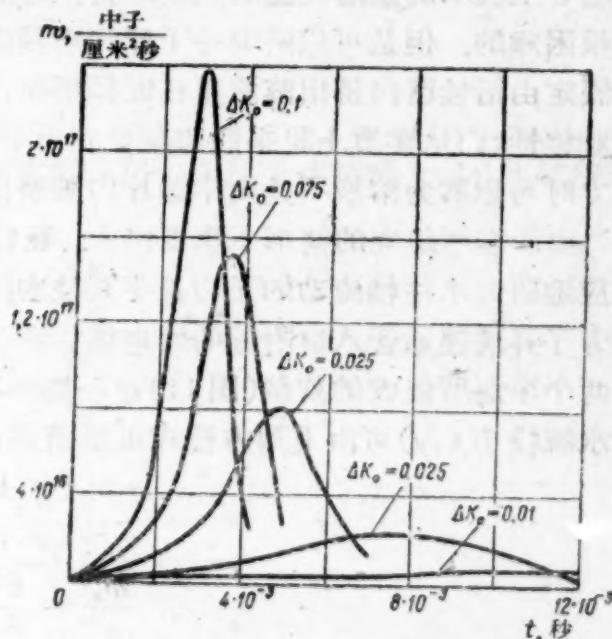


图7 在参数 Δk_0 的不同数值下活性区内热中子通量对時間的相依曲綫

* 原註:見本文第二註。

动。在一般情形下液体运动的方程式可以写成下形^[2]:

$$\rho \left[\frac{\partial \vec{w}}{\partial t} + (\vec{w} \nabla) \vec{w} \right] = -\text{grad} p + \eta \Delta \vec{w} + \left(\xi + \frac{\eta}{3} \right) \text{grad} \text{div} \vec{w}, \quad (35)$$

其中 \vec{w} 是速度, p 是压力, ρ 是密度, ξ 和 η 是粘滞系数。

連續方程式也经常有效:

$$\text{div} \vec{w} = -\frac{1}{\rho} \frac{\partial \rho}{\partial t}. \quad (36)$$

和上面一样,在被研究的情形下可以略去溶液密度对坐标的相依性,即认为 $\rho = \rho(t)$ 。这样,方程式(35)中的最末一项为零。此外,在所有实际上有意义的情形下, $\eta \Delta \vec{w}$ 项在压力内的份额是很小的,可以略去。所以在这里所研究的情形下,可以使用尤勒公式:

$$\frac{\partial \vec{w}}{\partial t} + (\vec{w} \nabla) \vec{w} = -\frac{1}{\rho} \text{grad} p. \quad (37)$$

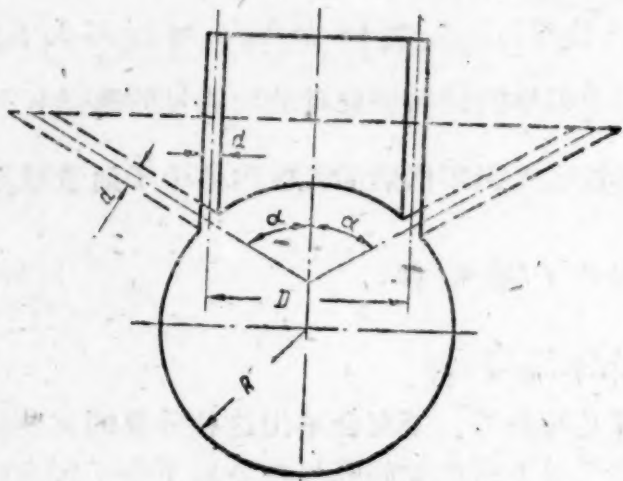


图8 活性区示意图

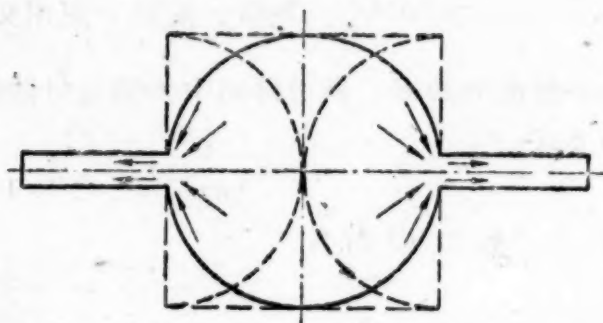


图9 由半圆片挤出溶液的情形

图8上表示的是活性区的大致形状。对图8上所画出的几何形状精密地解(36)及(37)当然是很困难的。但是可以研究一下能相当精确地估计速度场和压力场的简单算法。

假定由活性区内挤出溶液是在直径平面内进行的。这样活性区内的速度场就会具有很鲜明的对称性,而从实质上说来问题就变成由半圆片挤出溶液的问题了(图9)。在计算比它稍高的压力时可以认为溶液不是由半圆片内被挤出来的,而是由无穷长的半圆柱内被挤出来的(图10)。由于在所研究的情形下速度很大,最后可以略去平面 $aa'bb'$ 附近处的边界层(图10*),而相应地研究水往轴流动的无穷长半圆柱内的压力场。

为了弄清连通管入口附近的速度场,我们来研究一下不可压缩的液体由无限空间稳定地流入两个平面所组成的狭缝(图11)这一情形下的速度场和水流线的形状。在这一情形下速度场和水流线 $J(x, y)$ 可由下列方程式组来描述:

$$x = (\varphi + e^\varphi \cos \psi)A, \quad (38)$$

$$y = (\psi + e^\varphi \sin \psi)A, \quad (38')$$

$$\frac{w_x}{w^2} = \frac{\partial x}{\partial \varphi}, \quad \frac{w_y}{w^2} = \frac{\partial y}{\partial \varphi}$$

* 原註: 边界层的厚度是 $l \approx \frac{L}{\sqrt{Re}}$ ^[8], 式中 L 是特性尺寸, Re 是列諾里特斯 (Рейнольдс) 常数。在我們的情形下

L 是活性区直径 ($L \sim Da.3. \sim 30$ 厘米)。設 $l = 1$ 毫米, 即得相应的速度为 $w \approx 0.3$ 米/秒。在实际上有假值的情形下速度 $w > 1$ 米/秒。这样, 边界层的厚度不会超过 1 毫米。

(φ 是速度势, ψ 是通量函数, $2\pi A$ 是平面之间的距离).

由图 11 可见,直到连通管入口处为止,速度场是轴对称的.在连通管内水流很快地就变成平面平行的了.由于假定连通管的宽度(d)比它的直径和活性区的直径小得多,在所研究的情况下的现象也与此相似.水流的半径必须选为 $R_0 = \frac{d}{\pi}$. 这样连通管和水流的通过截面相同的条件才能得到满足.

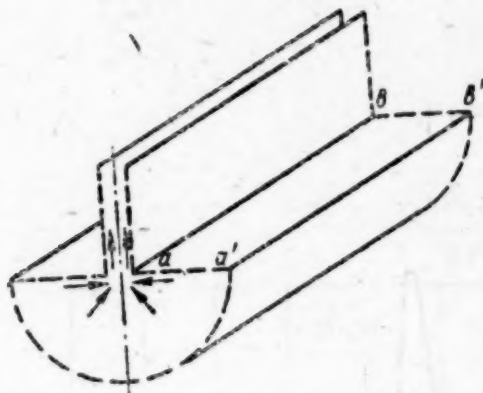


图 10 由无穷长半圆柱挤出溶液的情形

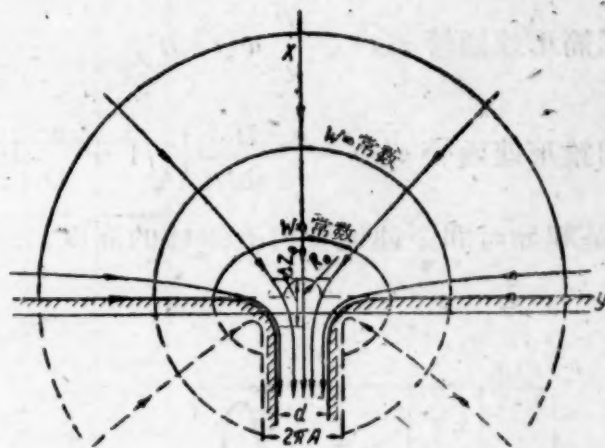


图 11 在平连通管入口附近液体的运动

在圆柱对称的情形下,使用方程式(36)及(37),便得速度和压力对半径 r 和时间 t 的相依性如下:

$$w(r, t) = \frac{r\rho'}{2\rho} \left(\frac{R^2}{r^2} - 1 \right), \quad (39)$$

$$p(r, t) = \frac{1}{8\rho} \rho'^2 R_0^2 \left[\left(\frac{R^4}{R_0^2} + 1 \right) - \left(\frac{r}{R_0} \right)^2 \left(\frac{R^4}{r^4} - 1 \right) \right] + \frac{1}{4} \left(\rho'' - \frac{\rho'^2}{\rho} \right) \times \\ \times R_0^2 \left[2 \left(\frac{R}{R_0} \right)^2 \ln \frac{r}{R_0} - \left(\frac{r^2}{R_0^2} - 1 \right) \right] + p(R_0 t) \quad (40)$$

(R 是圆柱的半径, $\rho' = \frac{d\rho}{dt}$, $\rho'' = \frac{d^2\rho}{dt^2}$).

决定圆柱表面上即 $r = R$ 时的压力是最有兴趣的. 压力在那里达到极大值. 比较(39)及(40),就可看出圆柱表面上的压力可以写成下形:

$$p_R(t) = \frac{\rho}{2} w_{r=R_0}^2 + \frac{\rho}{2} w'_{r=R_0} R_0 \left\{ \frac{\frac{R^2}{R_0^2} \left(2 \ln \frac{R}{R_0} - 1 \right) + 1}{\frac{R^2}{R_0^2} - 1} \right\} + p(R_0) \quad (41)$$

($w' = \frac{\partial w}{\partial t}$).

用 $p(w^2)$ 及 $p(w')$ 分别表示公式(41)内的第一及第二两项,则

$$p_R(t) = p(w^2) + p(w') + p(R_0). \quad (41')$$

在 $R \gg R_0$ 时

$$p_R \simeq \frac{\rho}{2} w_{r=R_0}^2 + \frac{\rho}{2} w'_{r=R_0} R_0 \left\{ 2 \ln \frac{R}{R_0} - 1 \right\} + p(R_0). \quad (42)$$

在公式(41)及(42)中,第一项相应于溶液穿经连通管的挤出过程稳定后容器内所产生的压力,第二项则决定挤出速度变化时克服溶液的惯量所需的压力. 在实际上有意义的情形下,

当 $R \gg R_0$ 时压力的組成項 $p(w')$ 內对活性区半径的相依性很弱, 指出这一点是很重要的, 所以在計算 $p(w')$ 的数值时可以不把有效半径代入 R 值, 只消用活性区直径代入就行了。

在估計 $p(R_0)$ 的分量时不仅要考虑反压力的存在, 还要考虑克服充滿連通管內的溶液柱的慣性所需的压力 $p(z)$ 。考虑到連通管做成寬度相同的薄圓筒形或薄圓錐形, 略去連通管壁上的边界层以后可得

$$p(z) = \rho w'_{r=R_0} \{z(t) + z_0\}, \quad (43)$$

对圓筒形連通管 $z(t) = \int_0^t w(t') dt'$,

对圓錐形連通管 $z(t) = \frac{D}{2 \sin \alpha} \left\{ \sqrt{1 + \frac{4}{D} \sin \alpha \int_0^t w(t') dt'} - 1 \right\}$

(z_0 是起始時間下連通管內液体柱的高度, 2α 是圓錐頂平面角)。

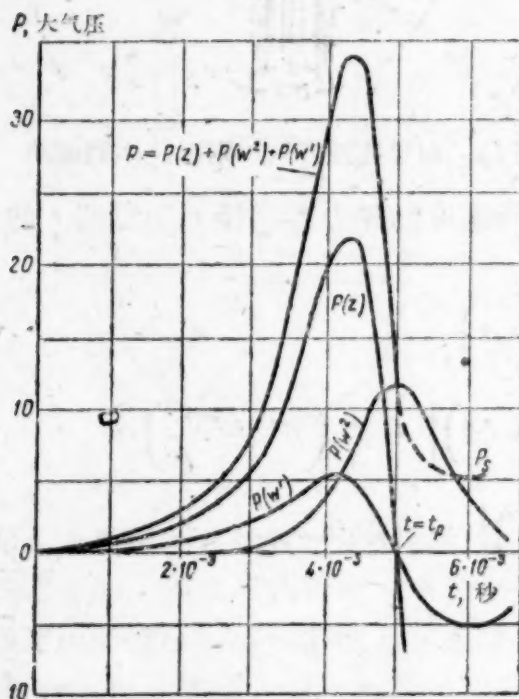


图 12 活性区内压力对時間的相依曲綫

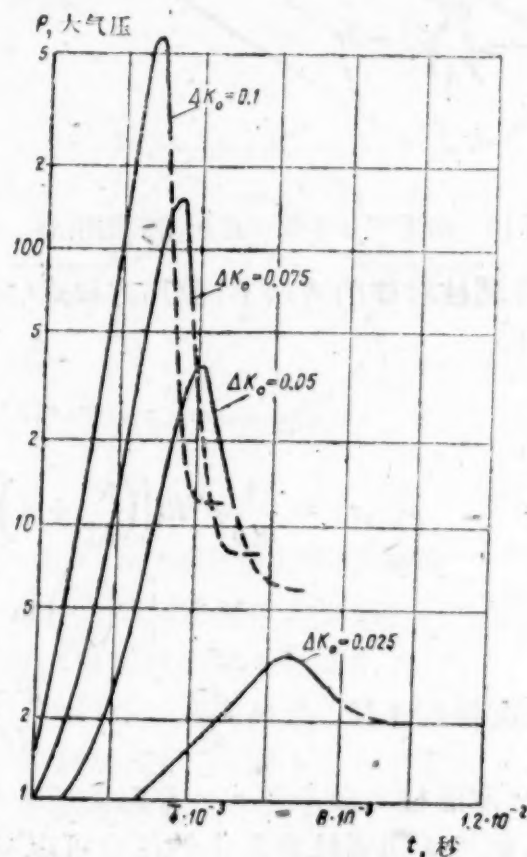


图 13 参数 Δk_0 不同数值下活性区内压力对時間的相依曲綫

为了計入靠近連通管入口处那部分溶液的运动, 在决定压力分量 $p(z)$ 时必须把連通管內溶液柱的真正高度加大一些, 加大的数值約等于連通管的寬度(图 11, $\Delta z_0 \sim d$)。

連通管內溶液的速度和活性区内溶液的温度之間有关系式如下:

$$w(\theta)_{r=R_0} = \frac{V_{a.3.}}{\omega T_0 (1 - \mu)^2} \frac{d\mu}{d\tau}, \quad (44)$$

其中 ω 是連通管通过截面的面积。

图 12 表示活性区内压力对時間的典型的关系曲綫 ($V_{a.3.} = 15$ 立升, $L^2 = 0.5$, $\Delta k_0 = 0.05$, $y = 0.01$, $\theta_0 = 0.8$, $z_0 = 5$ 厘米, $d = 2$ 厘米)。由图可見, 由某段時間 $t = t_p$ 开始压力的分量 $p(w')$ 和 $p(z)$ 会具有負值。这是由于由这段時間 t_p 开始溶液流入連通管的速度減小之故。这时在連通管附近流过的溶液应当中断而活性区內的压力應該降到由这时 (t_p) 溶液的温

度来决定的饱和压力值。由这段时间 t_p 开始压力曲线用虚线表示。

连通管内水流中断时由于反射层的性质改变，反应性突然降低，因而链式反应的衰减就会加速，而活性区溶液发热的最高温度会略略下降。

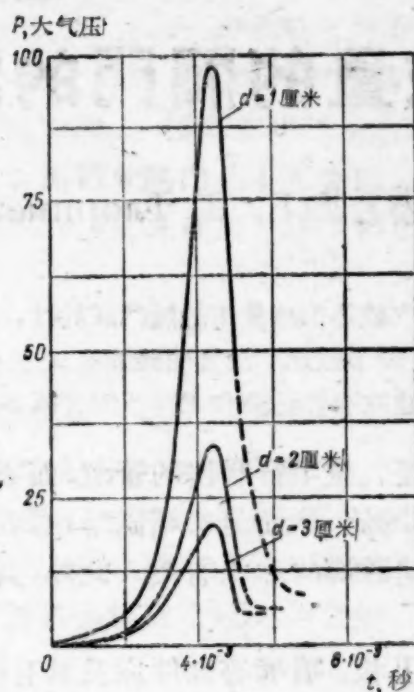


图 14 在不同的连通管宽度下活性区内压力对时间的相依曲线

图 13 及 14 表示，在起始反应性变化 Δk_0 及连通管宽度 d 变化时，图 12 所画压力对时间的相依性如何变化。

作者乘此机会感谢库尔恰托夫(И. В. Курчатов)院士对本工作的关怀，感谢然可夫(Ю. Н. Занков)参加对本工作结果的讨论，还感谢索柯洛夫(А. К. Соколов)参加做了若干计算工作。

译自 Атомная энергия Том 5 (1958) Вып. 6, 605—617.

参 考 文 献

- [1] Д. Юз: Нейтронные исследования на ядерных котлах, Изд. ИЛ, 1954.
- [2] Л. Д. Ландау, Е. М. Лифшиц: Механика сплошных сред, Гостехиздат, 1953, стр. 67.
- [3] Там же, стр. 183.
- [4] Г. Ф. Проскура: Механика турбомашин, Машигиз, Киев, 1954, стр. 73.

作为调节核反应堆工艺管道内载热剂流量的閥門的計算

弗洛林斯基(Б. В. Флоринский)

在进行作为调节反应堆管道内载热剂流量用的閥門設計时,将出现一些活瓣*形状的选择問題. 本文根据閥門的实驗特性,提供了调节载热剂流量曲綫的建立方法,并利用已給出的调节曲綫,确定閥門活瓣的形状. 并以例援引了建立有桿活瓣和无桿活瓣时所必需的計算.

由于核反应堆中,载热剂流经大量平行联接的管道,而要求細調其流量. 为此,就必需有可能将载热剂流量改变一个很小的值,从而足够精确地达到所給定的流量.

调节的均匀性,首先与调节閥活瓣的形状有关. 此外,其均匀性尚与装有閥門的迴路特性有关.

輸送管成形部分、流量測量孔板、噴嘴等部件以及具有固定通道截面的接头之水力阻力,一般以下式表示:

$$\Delta p = \xi \frac{\omega^2}{2g}, \quad (1)$$

其中: ω ——液体之速度,单位为米/秒. Δp ——流动液体的水力阻力(米液柱). ξ ——阻力係数(在管子情况下,設想其中包含了口径数,即 $\xi = \lambda \frac{l}{d}$).

各个部件和具有固定通道截面接头之阻力係数,一般地讲并非常数. 当雷諾数达到一定值时,阻力係数是雷諾数的函数. 由于雷諾数对水力阻力之影响,无可比拟地要比速度对水力阻力之影响小,因而认为,所指其全部阻力,均具有不变的阻力係数.

与这些部件不同的閥、水栓、閘門和其它类型的閉鎖调节装置是具有可变通道截面阻力的. 故其阻力係数是变的. 而影响其閥門阻力係数大小的主要是通道截面积或閥門开启度.

$Q, \Delta p$ 曲綫乃是不变的阻力係数特性. 它是根据式(1)建立的.

具有变阻力係数閥門的特性,不能以一根曲綫表示. 其实,针对閥門之每一开启度,均可以认为是在固定的通道截面情况下,具有不变的阻力係数.

每一开启度将符合于自己的 $Q, \Delta p$ 曲綫. 总括地以曲綫族表示其閥門特性(图 1).

鉴于流动液体在閥門中的复杂性,应用計算方法决定其阻力係数的大小是不可能的. 曲綫族应由实驗决定:在不同的流量下,液体流经有不同通道截面阻力測量的閥門.

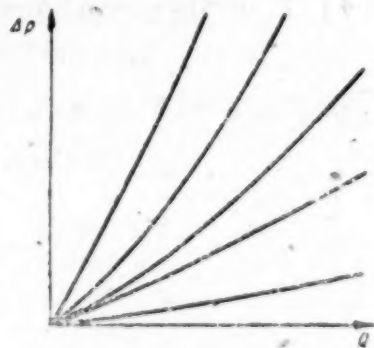


图 1 閥門特性曲綫族的一般形状

* 乃閥門之重要另件——譯者註.

液体流量和閥門开启度的关系(調节曲綫)

$Q, \Delta p$ 曲綫族是閥門的“客观”特性。不論閥門处在怎样的迴路中以及迴路的个别区段存在怎样的阻力,此曲綫族仍然是正确的。因此,当迴路工作时,閥門在一定的开启度情况下,允許經過其建立一定的液体流量。在这样的开启度和流量情况下,閥門之阻力将等于按其特性曲綫所找得的数值。如果迴路的阻力頗大,甚至在閥門最大开启度情况下,在此迴路中也不能保証所要求的流量,这时,就意味着选择此閥門是不正确的。

因此,液体流量和閥門开启度之关系(此种关系以下称之为調节曲綫),非但决定了閥門特性,且也决定了迴路的工作条件。

在迴路工作时,可知:

1. 流量 Q, H 与安置压力差的联系。
2. 迴路特性 $Q, \Delta p_k$ (除調节閥門 Δp_n)。
3. 迴路中所研究的部分和其它部分之相互联系。

显然,迴路的工作情况可能是极不相同的(例如:液流自具有固定液面的水池,流經一封閉而帶有离心泵的輸送管迴路)。但是,建立調节曲綫的原理却是一样的。

試看这样一种情况:当封閉迴路是核反应堆的一次迴路(图2)时。

載热剂用泵抽送入集流管,并由此送入一系列平行联接的管道。每根管道中的流量依赖于各閥門調节的传热情况。載热剂自管道流入合流的集流管,由此再入泵。为了簡化起見,在系統图上未接入热交换器。

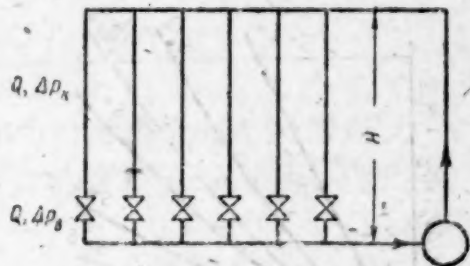


图2 反应堆管道的一次迴路系統图

若管道为数頗多,則在調节其中一根管道中的載热剂时,事实上經過反应堆的总流量无所变化。如此,泵是在恆定流量情况下工作的。因而,压力差也是恆定的。所以,具有載热剂总流量的迴路部分,其阻力是一定的。这是因为在分配集流管和合流集流管之間的压差 H 是恆定的緣故。

由于所有的管道和閥門是同样的,且其中之安置压差也是一样的,因此可以取出一根支管来研究(以后称之为它的分路)。并为其建立調节曲綫。同时,此曲綫对所有其它支管(分路)而言也是适用的。

建立二个流量 (Q_i 和 Q_{max}) 調节曲綫的方法示于图3。这方法是这样的:

1. 在 $Q, \Delta p$ 坐标中建立:

a) 用实验方法得到的 $Q, \Delta p_n$ 曲綫族表示其閥門特性。对閥門开启度为 $S = 1, 2, 3, 4, 5, 6$ 毫米时,在图中以六根曲綫表示。

b) 分路特性曲綫 $Q, \Delta p_k$ (此分路即由分配集流管到合流集流管,以导入和导出管等与工艺管道一端相联的任一平行支管),是由計算方法获得的。

B) 描繪安置压力和流量关系的曲綫。在我們的情况下,集流管中的压差与一根管子中

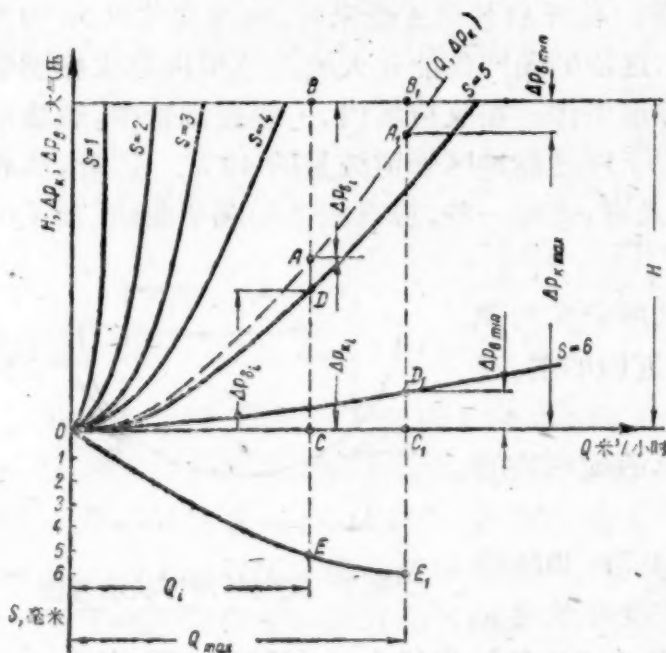


图3 建立二个流量 Q_i 和 Q_{max} 調节曲綫的方法

的流量无关。因此可以认为 H 等于常数。

在另一种情况下,譬如:分路乃是由一根管子组成的,则将在 H 等于常数的水平直线处,以离心泵的 Q, H 特性代替之。至于建立调节曲线的其余问题,正如以下所述及的一样。

2. 按流量 Q_i , 由 $Q, \Delta p_{\Sigma}$ 曲线得出分路阻力 $\Delta p_{\Sigma i} = CA$ 。由 H 等于常数之曲线,安置压差 $CB = H_i = H$ 。

3. 在同样 Q_i 流量的情况下,安置压差 $H_i - \Delta p_{\Sigma i} = AB$, 必然为阀门所消耗。若将 $H_i - \Delta p_{\Sigma i} = AB$ 之线段自 C 点往上量,则得到了在此流量下阀门所需要的开启度。 CD 线段上 D 点的曲线(本情况下乃 $S = 5$ 毫米之曲线),决定了阀门所需要的开启度($S = 5$ 毫米)。

4. 由流量 Q_i 和开启度($S = 5$ 毫米),可求得调节曲线的 E 点。此点处在 QS 坐标下面的正方形中。

利用这种方法也可得到调节曲线的其它各点。

为了得到载热剂可达的最大流量大小,必需选取这样的垂线 C_1B_1 , 它抵消了与其相等的线段 A_1B_1 (在安置压差等高线与迴路特性曲线之间) 和 C_1D_1 (在阀门最大开启度曲线和横坐标轴之间)。这二线段之相等,说明了在最大流量下压力差 $A_1B_1 = \Delta p_{\min}$ 等于在最大开启度时之阀门阻力 $C_1D_1 = \Delta p_{\min}$ 。

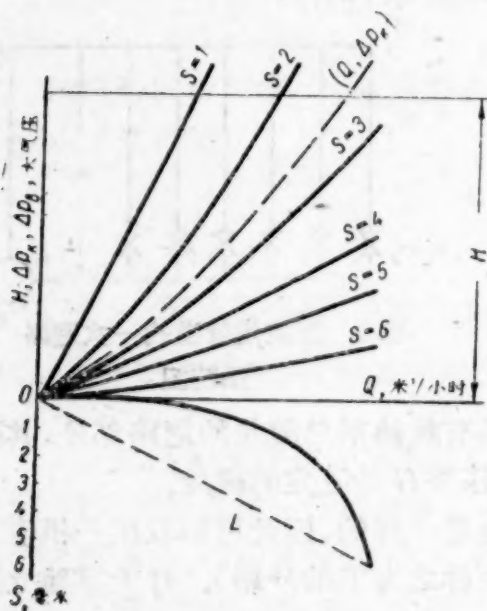


图4 当选择阀门活瓣形状不正确时的调节曲线例图

希望的均匀调节,应自边缘为流量的20%开始。或者,更好一些,应有线性的调节曲线(图4中直线 L)。

用计算方法决定活瓣形状时,要得到精确的所给定的调节曲线是不可能的。因此,要作一些假设,找到近似的解,在这计算中应根据阀门流动的实验加以修正。

我们举一个按已给定的调节曲线大概地计算活瓣形状的例子。

如果阀门使载热剂在所有各点(除去活瓣与阀座间的缝隙处)的速度均很小,则阀门阻力可看成等于此宽度在改变着的缝隙的阻力。例如,缝隙阻力可按外径为 d_0 (阀座之直径),内径为 d_k (活瓣直径),长为 l 的环形管道阻力计算。即:

调节阀活瓣形状之依据

实际分路中阀门流动的试验所确定的调节曲线,可用来通过与毫米相应的阀门开启度,建立所需的流量。然而,这未必能取得实际的应用。所以,根据流量计的指示来调节流量是最可靠的。所提到的这些建立调节曲线的方法,对计算及确定能保证得到所希望的(即希望的调节均匀性)调节曲线的阀门活瓣形状来讲是有实际意义的。

图4所示调节曲线是在不正确的选择阀门活瓣形状时得到的。在阀门开启最初2毫米时,调节从最大流量的0到80%。在开启其余4毫米时,流量变化共为80%到100%。这样的阀门仅能在大流量范围内要求细调节情况下很好地工作。在反应堆内,一般在圆管中,载热剂的流量近似于经过高地区管道流量的40%。因此,所希望的

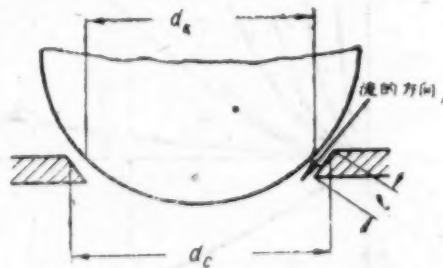


图5 阀门活瓣形状示意图

$$\Delta p_E = \xi \frac{l}{d_{\text{ЭКВ}}} \cdot \frac{\omega^2 \gamma_{\text{ж}}}{10^4 2g}, \text{公斤/厘米}^2. \quad (2)$$

我們以縫隙截面及流量表示載热剂的速度:

$$\omega = \frac{Q}{3600 \times 0.785(d_c^2 - d_k^2)}, \text{米/秒}. \quad (3)$$

此时:

$$\Delta p_E = \frac{\xi l \gamma_{\text{ж}}}{2g \times 10^4 \times 3600^2 \times 0.785^2 d_{\text{ЭКВ}}(d_c^2 - d_k^2)^2} Q^2. \quad (4)$$

严格地说, 系数 ξ 不是常数, 但由于变化着的縫隙截面, 比 ξ 的变化对閥門阻力大小的影响大得多, 因此, 认为閥門在任意开启度下, 系数 ξ 是不变的。

設

$$a = \frac{\xi l \gamma_{\text{ж}}}{2g \times 10^4 \times 3600^2 \times 0.785^2}$$

以 $d_c - d_k$ 代 $d_{\text{ЭКВ}}$, 則得:

$$(d_c - d_k)(d_c^2 - d_k^2)^2 = \frac{a \cdot Q^2}{\Delta p_E}. \quad (5)$$

利用計算方法确定閥門阻力的绝对值, 而系数 a 是不可靠的, 所以我們应将其轉化为相对量。为此, 在閥門活瓣全开启时的极限情况下, 我們写出方程式(5)。那时

$$d_k = 0, \quad \Delta p_E = \Delta p_{E \min}, \quad Q = Q_{\max}.$$

应用閥門完全开启时的最小阻力 $\Delta p_{E \min}$ (正如一般的按水力計算手册决定閥門阻力一样), 决定 Q_{\max} 之大小, 此时, 安置的压力差曲綫 Q, H 和迴路特性曲綫 $Q, \Delta p_E$ 的纵坐标之差为 $\Delta p_{E \min}$ 。

在閥門完全开启时式(5)为:

$$d_c^3 = \frac{a \cdot Q_{\max}^2}{\Delta p_{E \min}}. \quad (6)$$

式(5)除以式(6), 則得:

$$\left(1 - \frac{d_k}{d_c}\right) \left[1 - \left(\frac{d_k}{d_c}\right)^2\right]^2 = \frac{\Delta p_{E \min}}{Q_{\max}^2} \cdot \frac{Q^2}{\Delta p_E} = K_{\max} \frac{Q^2}{\Delta p_E}, \quad (7)$$

式中 K_{\max} ——閥門全开启的系数。

$$K_{\max} = \frac{\Delta p_{E \min}}{Q_{\max}^2} = \text{常数}. \quad (8)$$

为了簡化計算, 式(7)的无因次的左面部分

$$\left(1 - \frac{d_k}{d_c}\right) \left[1 - \left(\frac{d_k}{d_c}\right)^2\right]^2,$$

經計算, 其与 $\frac{d_k}{d_c}$ 之关系列于图 6 中。

以数字为例, 阐述一下在以下这种条件下閥門活瓣类型的建立。

反应堆的分配集流管与合流集流管之間安置的压力差 H 等于 14 大气压。用計算方法所确定的分路特性 $\Delta p_E = 0.58 Q^2$ 。閥座直径 $d_c = 30$ 毫米。閥門完全开启时的阻力(查手册)为 $\Delta p_{E \min} = 0.7$ 大气压。閥門活瓣的最大可調量 $S_{\max} = 8$ 毫米。

为了获得所希望的綫性調节曲綫, 我們將以下法处理(图 7)。

* 原文为 $\frac{a \cdot Q_{\max}}{\Delta p_{E \min}}$, 实係印誤——編者註。

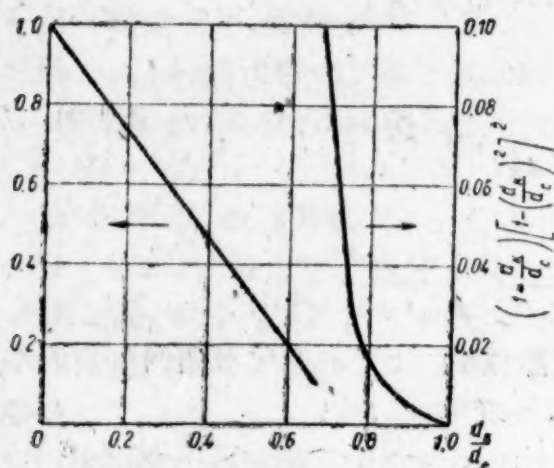


图6 方程式(7)左面部份的图表

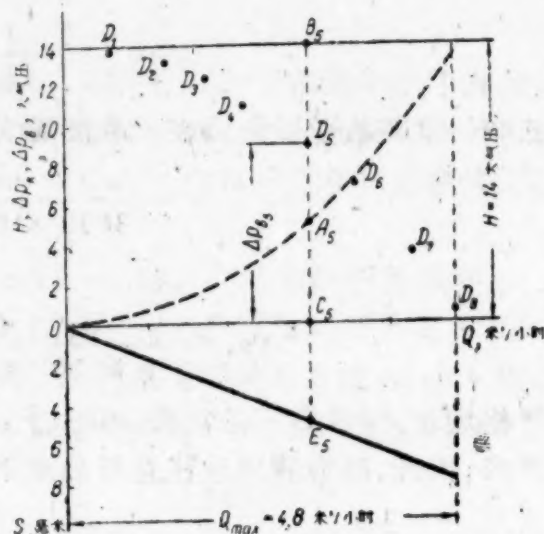


图7 确定閥門活瓣类型定点的例子

1. 作出安置的压力差曲线 ($H = \text{常数} = 14 \text{ 大气压}$) 和分路特性曲线 ($\Delta p_R = 0.58 Q^2$). 在下方正方形中我们画出了所希望的调节曲线 QS .

2. 找到 $Q_{\max} = 4.8 \text{ 米}^3/\text{小时}$, 此时 $\Delta p_{R \min} = 0.7 \text{ 大气压} = A_8 B_8$, 因此:

$$K_{\max} = \frac{0.7}{4.8^2} = 0.0304.$$

3. 按閥門每一开启度 ($S = 1, 2, 3 \dots 8 \text{ 毫米}$), 找到 $D_1, D_2, D_3 \dots D_8$ 各点.

与图3中按 D 点作调节曲线相反, 在图7上按所希望的调节曲线作出 $D_1, D_2 \dots D_8$ 等点. 譬如, 找图7中 D_5 这一点:

a) 在所希望的调节曲线上, 当开启度为 $S = 5 \text{ 毫米}$ 时, 可得 E_5 , 其相应的流量为 $Q_5 = 3 \text{ 米}^3/\text{小时}$.

b) 经过 E_5 点引垂线 $E_5 B_5$, 相应的恒定流量 $Q_5 = 3 \text{ 米}^3/\text{小时}$.

b) 当流量 $Q_5 = 3 \text{ 米}^3/\text{小时}$ 时, $A_5 C_5$ 决定了分路中的压力差损失 $\Delta p_{R5} = 5 \text{ 大气压}$.

γ) 在 $E_5 B_5$ 上自 B_5 点使 $B_5 D_5 = A_5 C_5$, 则找得 D_5 点. 这点乃是在开启度 $S_5 = 5 \text{ 毫米}$ 时的閥門 $Q, \Delta p_R$ 曲线上的点.

D_5 点表示: 当閥門开启度在 $S = 5 \text{ 毫米}$, 所流过之流量为 $Q_5 = 3 \text{ 米}^3/\text{小时}$, 且閥門阻力为 $\Delta p_R = 9 \text{ 大气压}$ 情况下, 为了获得线性的调节曲线所必需的一点.

4. 类似地找到其它 $D_1, D_2 \dots D_8$ 各点. 在每一不同开启度下 Q 和 Δp_R 列了一表

S	1	2	3	4	5	6	7	8
Q	0.6	1.2	1.8	2.4	3.0	3.6	4.2	4.8
Δp_R	13.8	13.4	12.4	11.0	9.0	7.0	3.6	0.7
$K_{\max} \frac{Q^2}{\Delta p_R}$	0.0008	0.0033	0.008	0.016	0.030	0.056	0.15	1.0
$\frac{d_R}{d_c}$	1.00	0.92	0.86	0.83	0.77	0.73	0.63	0.0
d_R	30.0	27.6	25.8	24.9	23.1	21.9	18.9	0.0

在此表中比例 $\frac{d_K}{d_c}$ 是由下法得到的, 表中所引 $K_{max} \frac{Q^2}{\Delta p_B}$ 之大小与式(7)相符, 等于:

$$\left(1 - \frac{d_K}{d_c}\right) \left[1 - \left(\frac{d_K}{d_c}\right)^2\right]^2.$$

由曲线图(图 6)得到比例 $\frac{d_K}{d_c}$.

5. 以閥門开启度及其相应的 d_K 值, 可得閥門活瓣之輪廓(图 8).

式(7)仅对图 5 这种活瓣有效. 如果是其它类型的活瓣, 則应该引出另外的式子.

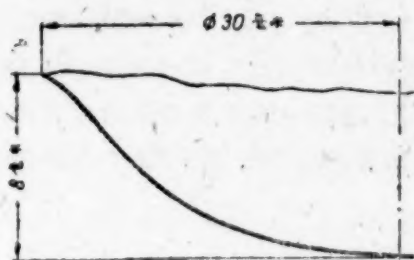


图 8 所确定的閥門活瓣輪廓

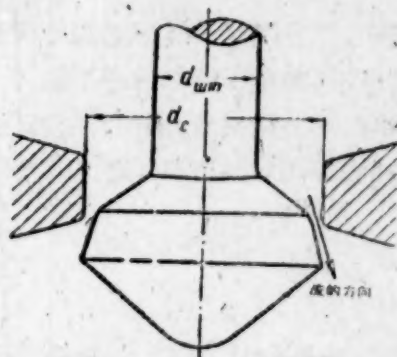


图 9 有桿閥門活瓣圖

例如: 图 9 之活瓣, 其不同在于在活瓣桿截面积上, 通道截面經常是在減小的. 以 $d_{\text{шп}}$ 表示活瓣桿的直径, 且使得 $\frac{d_{\text{шп}}}{d_c} = b = \text{常数}$ 与式(7)一起可得

$$\left(1 - \frac{d_K}{d_c}\right) \left[1 - \left(\frac{d_K}{d_c}\right)^2\right] = (1 - b)(1 - b^2) K_{max} \frac{Q^2}{\Delta p_B}. \quad (9)$$

計算方法的实验檢驗

为了在这种条件下, 引出数字的例子, 計算具有尺寸为: $d_{\text{шп}} = 10$ 毫米, $d_c = 22$ 毫米的有桿活瓣.

为了获得所希望的調节曲线, 采用了直线 L (图 10).

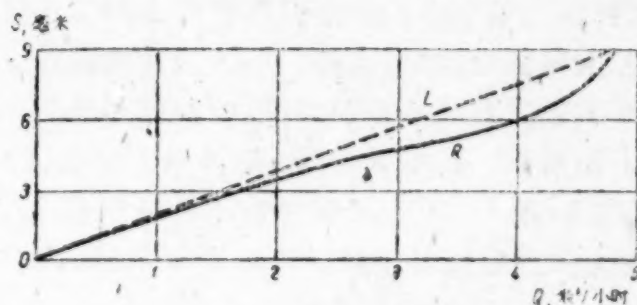


图 10 有桿活瓣的調节曲线
 L 是理想的曲线
 R 是实际的曲线

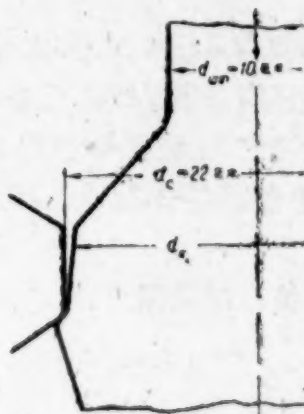


图 11 由計算結果得到的有桿的閥門活瓣的形状

按上述方法, 由計算結果得到如图 11 所描述的活瓣类型. 这种活瓣类型的閥門是有生产的.

利用以水流过这种閥門的实验方法, 得到了表示其特性的曲线族(图 12).

根据閥門特性曲綫(見图 12),安置的压力差($H = \text{常数} = 14 \text{ 大气压}$)和分路特性($\Delta p_k = 0.58Q^2$),則算出如图 10 所描述的实际的調节曲綫 R 。

果然,实际的調节曲綫 R ,并不符合所給定的直綫調节曲綫 L ,但是从它实用目的上講来,这已是足够精确的了。

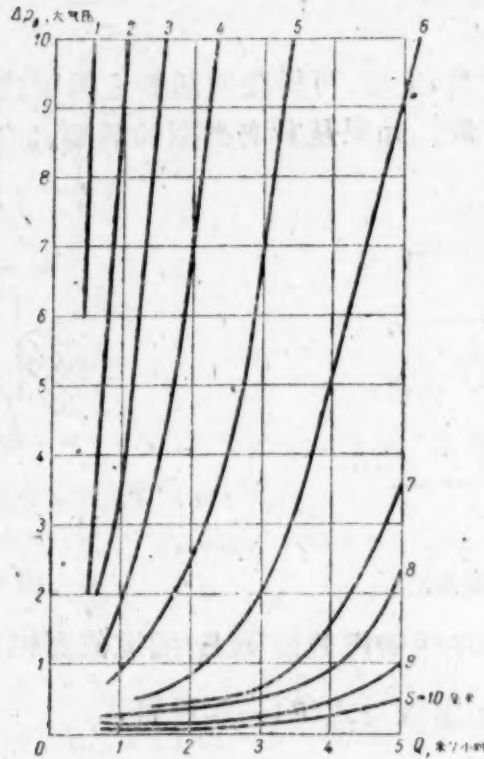


图 12 有桿閥門特性曲綫

必需強調指出:本文中所闡述的是針對:当預先已知分路特性,且应用大量的同型閥門場合下而言的,且所用的閥門并非标准的閥門,而是專門設計的閥門。

显然,隨意地为活瓣类型确定标准閥門*的办法是无意义的,因为,具有閥門的分路特性預先是不知道的。

譯自 Атомная энергия Том 5 (1958) Вып. 5, 526—532.

* 阿洛諾維奇(В. В. Аронович)和斯洛包特金(М. С. Слободкин):“Арматура регулирующая и запорная” 国立机械图书科技出版社, 1953 年。

作为辐射源用的(其中包括辐射化学上用的)核反应堆的循环迴路

略波兴(Ю. С. Рябухин) 勃列盖尔(А. Х. Брегер)

目前,为了在科学和技术各个领域内辐照的目的,特别是为了进行辐射化学的过程,有关利用核反应堆强射线流的问题已到必须加以解决的时候了。本文讨论了反应堆用于这类目的的某些方面。研究了能把 γ 射线从反应堆中“带出”而放入辐射装置中去的循环迴路,使在活化物质中生成一种不带有放射性子体的放射性同位素。从理论导出了操作公式和图表,可以计算出装置内放出的 γ 射线的强度,并选择能保障迴路最有利的工况的参数。

引言

研究者现在完全有可能把反应堆用作辐射源。利用裂变碎片的动力能是最有效的,但是与此同时放射性物质把被照的对象沾污了。辐射化学过程(见例[1],[2])可能做到这点,但是有一条件,首先要解决从碎片中提纯由于辐照而生成的产物这样一个非常复杂的问题。

中子和 γ 射线混合流的辐照与辐照对象的活化有关。从辐射化学角度来看,这一方法似乎可以相当广泛地应用,特别可用于在辐照对象中生成短寿命同位素那种场合。除此以外,还可以利用 $B(n, \alpha)$ 型; $Li(n, \alpha)$ 型反应。

工作过的释热元件所放出的(或者是它们的化学加工产物),以及循环裂变物质所放出的 γ 与 β 射线能的利用与辐照对象的放射性沾污无关,因此它被极广泛的采用着,特别是利用 γ 射线(见例[3]—[7])。

研究目的和任务简述

本文的目的是计算核反应堆——辐射装置*——的迴路,即循环物质**在反应堆中活化的迴路,而生成的同位素的 γ 射线用在装置内。

辐射装置的主要特点在于它的生产率。这种装置的生产率首先取决于单位时间内装置中放出的 γ 射线能量的大小。因而,问题就在确定活化物质停留在反应堆、装置以及与之有关的通路中的最适当时间,同时要求在预定的条件下:(1)活性区的中子通量,(2)活化物质的性质以及(3)迴路工作时间,使装置中每一升被活化物质所放出的 γ 射线的平均强度为最大值。本文将解决对一种不带放射性子体***的同位素的装置问题。

显然,在反应堆中由于长期活化而生成的同位素(例如 Co^{60})用于辐照的目的,是大家都知道的方法,它在这里是一种特殊的情况。

主要符号

φ ——活性区平均中子通量;

σ ——平均活化截面;

* 我们把对物质进行辐照的设备称为辐射装置。

** 液体,硬矿团,环状条带,气体都可以作为循环物质。

*** 活化物质内生成几种放射性同位素,而开始形成放射性同位素链。这个比较一般的现象,将在另一报导中探讨。

N ——1升中被活化物質的原子数;

Γ ——一次衰变中的 γ 射綫能量;

$A = \varphi \sigma N \Gamma$;

P ——裝置內每1升被活化物質在迴路工作時間內所放出的 γ 射綫的平均强度;

t_p, t_y ——一定体积的被活化物質在反应堆和裝置內循环一次所需的时间;

t_{py}, t_{yp} ——該体积的被活化物質在通路內从反应堆到裝置的行程往返循环一次所需的逗留时间;

$t_B = t_{py} + t_{yp}$;

λ ——該同位素放射性衰变常数;

$\tau = t_p \cdot \lambda$;

$\nu = t_y \cdot \lambda$;

$\eta = t_{py} \cdot \lambda$;

$\theta = t_{yp} \cdot \lambda$;

$\varepsilon = t_B \cdot \lambda$;

K ——迴路工作時間;

n —— K 時間內的循环次数;

V_p, V_y, V_B ——分別在反应堆、裝置以及通路內被活化物質的体积;

U ——在1升未衰变原子內 γ 射綫的儲藏能量;

$$\xi = \frac{V_B}{V_p + V_y} = \frac{t_B}{t_p + t_y}.$$

指数“ид”表示理想迴路;指数“с”表示具有常数 τ 和 ν 的迴路.

最适宜的迴路情况

理 想 迴 路

显而易见,在其他同样的条件下,在通路內被活化物質逗留时间 t_B 愈短,平均强度 P 就愈大. 我們研究一种理想迴路,在它的里面 t_B 值可以忽略.

最普通的情况, τ 与 ν 一个循环一个循环独立地改变,我們可以下式表示平均(迴路工作時間)强度*:

$$p^{ид} = \frac{A}{\sum_{i=1}^n (\tau_i + \nu_i)} \cdot \sum_{i=1}^n [1 - \exp(-\nu_i)].$$

$$\sum_{k=1}^i [1 - \exp(-\tau_k)] \exp \left[- \left(\sum_{l=k+1}^i \tau_l + \sum_{l=k}^{i-1} \nu_l \right) \right]. \quad (1)$$

可以証明**, τ, ν, n 在任何总和情况下, $p^{ид} \leq A/4$. 每个 n 都具有自己的与 $p^{ид}$ 极大值相适应的总和 ν_{max}, τ_{max} . 极大值 $p^{ид}$ 随 n 或多或少与 $A/4$ 有所区别. 强度等于 $A/4$,我們称这为绝对极大强度 $p_{a max}$. 我們研究一下实际上很重要的具有容积 V_p, V_y 和固定循环次数的理想迴路,也就是一个循环一个循环 τ 和 ν 值不变的理想迴路. 这种迴路的强度等于***:

$$p_c^{ид} = \frac{A[1 - \exp(-\tau)][1 - \exp(-\nu)]}{(\tau + \nu)[1 - \exp(-(\tau + \nu))]} \times \left[1 - \frac{1 - \exp[-n(\tau + \nu)]}{n[\exp(\tau + \nu) - 1]} \right]. \quad (2)$$

n 为常数时,求得这个函数的极大值为 $p_c^{ид max}$. 首先我們要指出,在任意 n 时, $\tau_{max} = \nu_{max}$. 实

* 見附录 II. 1.

** 見附录 II. 2.

*** 应用几何級数公式两次,式(2)不难从式(1)导出.

实际上, p_c^{NA} 是一函数, 它对称于 τ 和 ν , 并只有一个极大值. 将式(2)中的 ν 以 τ 代之, 并使对 τ 的导数等于零, 得到强度极大值的条件. 图 1 和图 2 上的曲线表示 $\tau_{\max} = \varphi(n)$, $p_{c\max} = f(n)$.

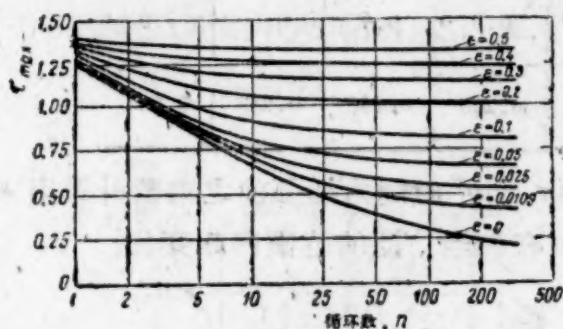


图 1 最适用的迴路情况测定的曲线

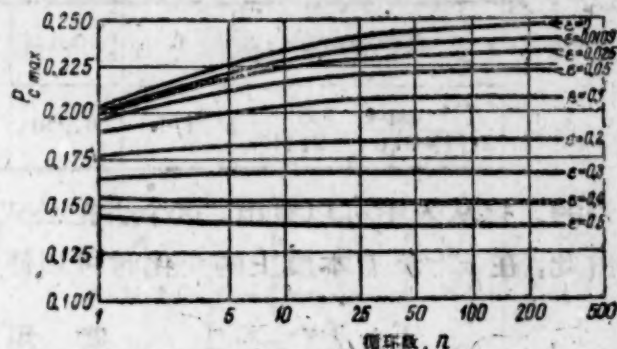


图 2 装置内放出的射线强度测定的曲线

对于理想迴路 ($\epsilon = 0$), $\lim_{n \rightarrow \infty} \tau_{\max} = 0$, 而 $\lim_{n \rightarrow \infty} p_{c\max}^{NA} = A/4$. 强度 $A/4$ 对应于饱和活性. 当 n 循环* 时聚集在被活化物质中的 γ 射线能量在反应堆出口处等于:

$$U_c^{NA} = \frac{A[1 - \exp(-\tau)][1 - \exp[-n(\tau + \nu)]]}{\lambda[1 - \exp[-(\tau + \nu)]]},$$

而

$$\lim_{n \rightarrow \infty} U_c^{NA} = \frac{A[1 - \exp(-\tau)]}{\lambda[1 - \exp[-(\tau + \nu)]]}$$

与 n 无关. 如果 $\tau = \tau_{\max} = \nu_{\max} = 0$, 则 $\lim_{n \rightarrow \infty} U_c^{NA} = \frac{A}{2\lambda}$ 而与 n, τ, ν 无关. 一般说来, τ 与 ν 固定不变的迴路在最后 n 时不算是最有效的. 实际上, 在该 n 时最有效的迴路为**:

$$\begin{aligned} \sum_{k=1}^p [1 - \exp(-\tau_{k\max})] \times \exp\left[-\left(\sum_{l=k+1}^p \tau_{l\max} + \sum_{l=k}^{p-1} \nu_{l\max}\right)\right] = \\ = \sum_{i=p}^n [1 - \exp(-\nu_{i\max})] \times \exp\left[-\left(\sum_{l=p+1}^i \tau_{l\max} + \sum_{l=p}^{i-1} \nu_{l\max}\right)\right]. \end{aligned}$$

由此得出:

$$\begin{aligned} \exp(-\nu_{1\max}) - \exp(-\tau_{1\max}) &= \sum_{i=2}^n [1 - \exp(-\nu_{i\max})] \times \\ &\times \exp\left[-\left(\sum_{l=1}^i \tau_{l\max} + \sum_{l=2}^{i-1} \nu_{l\max}\right)\right] > 0, \text{ 即 } \nu_{1\max} < \tau_{1\max}. \end{aligned}$$

$$\begin{aligned} \exp(-\tau_{n\max}) - \exp(-\nu_{n\max}) &= \sum_{k=1}^{n-1} [1 - \exp(-\tau_{k\max})] \times \\ &\times \exp\left[-\left(\sum_{l=k+1}^n \tau_{l\max} + \sum_{l=k}^{n-1} \nu_{l\max}\right)\right] > 0, \text{ 即 } \tau_{n\max} < \nu_{n\max}. \end{aligned}$$

τ 与 ν 固定不变时的迴路最大强度比 τ 与 ν 可变时究竟小多少, 为解决这样一个问题, 我们先看一下图 2 中最上面一条曲线 ($\epsilon = 0$). 不难看出, $n = 2$ 时其差别最大. 运算结果说明, $n = 2$ 时的最大强度 $p_{c\max}^{NA}$ 在 $\tau_1 = \nu_2 = 1.14$ 和 $\tau_2 = \nu_1 = 0.76$ 的情况下才能实现, 且等于 $0.217A$, 它比相应数值 $p_{c\max}^{NA}$ 只大 1.4%. 因而, 为了增加强度的目的而不用最简单的迴路(τ 与 ν 固定

* 该能量等于放射性原子数乘一次蜕变出的 γ 射线能量. 在迴路中形成的放射性原子数的公式推论可以参看, 例如, 文献[8]—[10].

** 见附录公式(6p).

不变)在任何 n 时都是不合适的。

在研究 τ 与 ν 固定不变的理想迴路的最后我們要提一下, 函数的极大值 $p_c^{max} = f(\tau, \nu)$

$\tau(=\nu)$	0	0.1	0.2	0.3	0.4	0.6	1.0
$\frac{[1 - \exp(-\tau)]^2}{2\tau[1 - \exp(-2\tau)]}$	1/4	0.250	0.249	0.248	0.246	0.243	0.231

是傾斜的。这从表中可以看出, 这个表把公式(2)中 $\tau = \nu^*$ 时的方括弧前之乘数計算出来了。

由此, 在 p_c^{max} 沒有本质上的变化时可以使 τ 与 ν 在相当广泛的范围内起变化。

实 用 迴 路

一般情况 計算被活化物质在通路內逗留的时间的迴路, 我們称之为实用迴路。在这种情况下, 强度公式写成下式:

$$p_c = \frac{A}{\sum_{i=1}^n (\tau_i + \nu_i + \eta_i + \theta_i) - \theta_n} \sum_{i=1}^n [1 - \exp(-\nu_i)] \times \\ \times \sum_{k=1}^i [1 - \exp(-\tau_k)] \times \exp \left[- \left(\sum_{l=k+1}^i \tau_l + \sum_{l=k}^{i-1} \nu_l + \sum_{l=k}^i \eta_l + \sum_{l=k}^{i-1} \theta_l \right) \right]. \quad (3)$$

如果 τ, ν, η 和 θ 不变, 則

$$p_c = \frac{A[1 - \exp(-\tau)][1 - \exp(-\nu)] \exp(-\eta)}{[(\tau + \nu + \eta + \theta) - \theta/n][1 - \exp[-(\tau + \nu + \eta + \theta)]]} \times \\ \times \left[1 - \frac{1 - \exp[-n(\tau + \nu + \eta + \theta)]}{n[\exp(\tau + \nu + \eta + \theta) - 1]} \right].$$

通常从反应堆到装置的往返通路是一样的, 即 $\eta = \theta = \epsilon/2$. 則

$$p_c = \frac{A[1 - \exp(-\tau)][1 - \exp(-\nu)] \exp(-\epsilon)}{[(\tau + \nu + \epsilon) - \epsilon/2n][1 - \exp[-(\tau + \nu + \epsilon)]]} \times \\ \times \left[1 - \frac{1 - \exp[-n(\tau + \nu + \epsilon)]}{n[\exp(\tau + \nu + \epsilon) - 1]} \right]. \quad (4)$$

在特殊場合下方程式(4)可簡化。当 $n \rightarrow \infty$,

$$p_c = \frac{A[1 - \exp(-\tau)][1 - \exp(-\nu)] \exp(-\epsilon/2)}{(\tau + \nu + \epsilon)[1 - \exp[-(\tau + \nu + \epsilon)]]}. \quad (4, a)$$

当 $n = 1$,

$$p_c = \frac{A[1 - \exp(-\tau)][1 - \exp(-\nu)] \exp(-\epsilon/2)}{\tau + \nu + \epsilon/2}. \quad (4, b)$$

从方程式(4)可看出, 正如在理想迴路中一样, 在任意的 ϵ 和 n 值时, $\tau_{max} = \nu_{max}$. 如果 n 趋近 ∞ , 而 ϵ 是有限的, 那么 τ_{max} 不能趋近于 0, 因为这表示被活化物质在反应堆和装置內 (即有效体积內) 的逗留时间, 比在通路中 (即有害体积內) 的逗留时间要短得多。

应用方程式(4)中 $\nu = \tau$, 再使 τ 的导数等于 0, 我們求得强度的极大值的条件。图 1、3 和 4 中相应地列出了函数 τ_{max} 在已知 ϵ 时与 n 的关系和其在已知 $n = \infty$, $n = 1$ 时 τ_{max} 与 ϵ 的关系。图 2、3、4 中列出 $p_{c, max}$ (方程式 4, a 与 4, b 中的) 的相应关系。利用这些曲线图, 可

* 不难看出, 方括弧內的乘数, 在实际数值 n 时, 对于这样的計算是不关紧要的。

以很快计算出对我们有用的数值,并作出一些结论:

1. 在 n 大时,迴路情况及强度与 ϵ 密切有关;在 n 小时,它们的关系就不显著.
2. 从图 2 可看出,随着 ϵ 增大到 $\epsilon \approx 0.35$, $p_{0\max}$ 与 n 的关系逐渐减小,而 ϵ 大于 0.35 时这种关系重新又开始增大,同时,这一关系具有相反的性质. 后面这种情况与在 ϵ 大和 n 小时公式(3)中没有 θ_n 值有关.

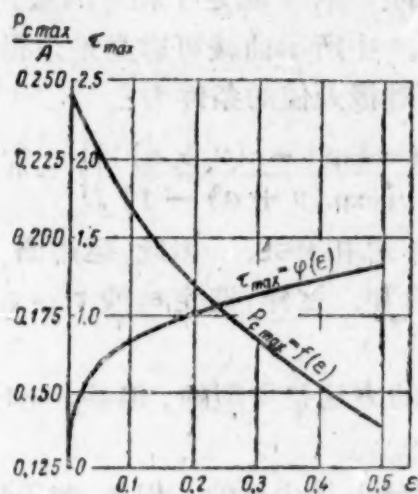


图 3 最适用的情况和装置内放出的射线强度测定的曲线(无限次数循环)

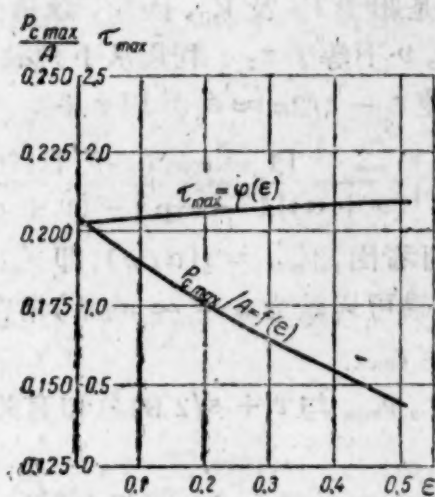


图 4 最适用的制度和装置内放出的射线强度测定曲线(一次循环)

3. 如上所述,对理想迴路来说,如没有固定不变的 τ 与 ν ,就不会有真正强度的增大. 而对实用迴路,如没有固定不变的 τ 与 ν ,那就更不合适.

τ, ν 与 ϵ 小的实用迴路 如果 τ, ν 与 ϵ 足够小,而 n 相当大,因而 $\epsilon/2n \ll \epsilon$,那么从公式(4)取得头两项分解指数和去掉 $\exp(-\epsilon/2)$,则可得出:

$$p_0 = \frac{A\tau\nu}{(\tau + \nu + \epsilon)^2} \left[1 - \frac{1 - \exp(-\lambda K)}{\lambda K} \right]. \quad (5)$$

从此公式可看出,倍数相同的 τ, ν 与 ϵ 的变化,即循环次数的变化,并不影响结果.

假设 $\nu = \tau$, 则

$$p = \frac{A}{4(1 + \epsilon)^2} \left[1 - \frac{1 - \exp(-\lambda K)}{\lambda K} \right],$$

即在 $\tau(=\nu)$ 和 ϵ 小时强度只与有害体积对有效体积之比值有关.

公式(5)中方括弧前的乘数渐增,而方括弧内的乘数与公式(4)中相应的乘数相比渐减. 在 n 大时,第二个乘数的插入在这方面影响不大. 因此,整个来说,公式(5)得出增高了的结果. τ, ν 与 ϵ 越大,结果也越高. 换句话说,如果已知 V_D, V_Y 与 V_B ,则在 ϵ, τ, ν 较小情况下强度较大(即使是在 ϵ, τ, ν 小时情况不是很适用的). 研究公式(4,5)时,容易相信,这个结论同样适用于 n 小的时候.

应用公式(5)代替公式(4)时,我们估计一下误差. 设 $\frac{\tau\nu}{(\tau + \nu + \epsilon)^2} = B$;

$$\frac{[1 - \exp(-\tau)][1 - \exp(-\nu)] \exp(-\epsilon/2)}{(\tau + \nu + \epsilon)[1 - \exp(-(\tau + \nu + \epsilon))]} = C.$$

可以证明,假如 $\tau < 0.2$; $\nu < 0.2$; $\epsilon < 0.2$, 则

$$(B - C)/C < 0.01.$$

假如 $\tau < 0.2$ 和 $\nu < 0.2$, 则可运用公式(5)以计算距理想迴路的偏差。如果 $\epsilon < 10^{-3}$, 则当 $\tau > 0.2$ 和 $\nu > 0.2$ 时, 迴路的准确度达到 1%, 可认为是理想的。

实用迴路的非最有利情况

已知 ϵ 和 n 在最适用的情况时, 为了求得 p 的极大值, 须选择 τ 和 ν 。然而, 看来, 已知 ϵ 决定 τ , 也就是给予 V_B 及 V_p , 因此, 该情况不是最适用的。在 ν 满足于相对的极大值 p_c (以 ν'_{\max} 表示) 时, ν 不等于 τ 。利用从下列设想中的图 1、3、4 中所示曲线可容易地求得十分准确的 ν'_{\max} 值。使 $\epsilon - \epsilon/2n \approx \epsilon$, 并以 $\tau + \epsilon = \alpha$ 。则 p_c 相对极大值的条件为:

$$\frac{d}{d\nu} \left\{ \frac{[1 - \exp(-\nu)]}{(\nu + \alpha)[1 - \exp[-(\nu + \alpha)]]} \times \left[1 - \frac{1 - \exp[-n(\nu + \alpha)]}{n[\exp(\nu + \alpha) - 1]} \right] \right\} = 0.$$

从此方程式可看出, $\nu'_{\max} = f(\alpha, n)$, 即 ν'_{\max} 仅仅与 τ 和 ϵ 总和有关。因此, 运用图 1 曲线(或图 3 曲线, 如果可以认为 $n = \infty$ 的话)常常可得出上述总和。这样, 选定 ϵ , 使 $\tau = \tau_{\max}$ 。这时 $\nu'_{\max} = \nu_{\max} = \tau_{\max}$ 。

$n = 1$ 时, ν'_{\max} 与 $\tau + \epsilon/2$ 的总和有关。求得 ν'_{\max} 的方法是相似的, 但是, 此时运用图 4 的曲线。

关于 $n \neq 1$ 而同时 $1/2n$ 值与 1 (设 $n = 3$) 相近, 实际上是少见的。但是, 如果估计, 极大值 p 是倾斜的, 那么可以用内插法准确地求得 ν'_{\max} 。

迴路计算举例

金属铀是最有效的循环物质(按辐射装置所放出之 γ 射线强度来说)之一。下面是铀迴路的计算举例。

在液体运动速度极大 $w_{B \max} = 0.1$ 米/秒时, 如果 $\varphi = 10^{13}$ 中子/厘米²秒, $V_p = 1$ 升, $K = 50$ 天, 通路长度 $2l = 20$ 米, 通路最小允许截面 $S_{B \min} = 0.5$ 厘米², 要求选择液体铀迴路情况和测定它的平均强度。假如, $w_B = w_{B \max}$ 和 $S_B = S_{B \min}$, 则 $\epsilon = \frac{2l\lambda}{w_{B \max}} = 4.28 \times 10^{-2}$,

$V_B = 2l \cdot S_{B \min} = 1$ 升和 $\tau = \epsilon \frac{V_B}{V_p} = 4.28 \times 10^{-2}$ 。因为 $\lambda K = 924$, 那么, 就可认为 $n = \infty$ 。

因而, 运用图 3 曲线可以求得 ν'_{\max} , 从此图可看出, 在这种情况下 $\tau + \epsilon \approx \tau_{\max}$ 。这样一来, $\nu'_{\max} = \tau_{\max} = 8.56 \times 10^{-2}$, $V_y = 2$ 升, $p_c = 0.125A$ 。为了减少在循环时的机械损耗, 在该情况下可以使 τ , ν 和 ϵ 提高相同的倍数而使强度无重大的损失。并且, $\nu = 0.214$, $\tau = 0.107$ 和 $\epsilon = 0.107$; 此时, $w_B = 0.04$ 米/秒, 而

$$p_c = 0.124A = 0.124\varphi\sigma N\Gamma = 0.124 \times 10^{13} \times 145 \times 10^{-24} \times 3.82 \times 10^{25} \times 2.45 = 1.69 \times 10^{16} \text{ 兆电子伏/秒升} = 2700 \text{ 瓦/升},$$

这大约与每立升具有放射性强度为 2.7×10^5 克当量镭的辐射源相当。

为了在 $\epsilon = 4.28 \times 10^{-2}$ 时保证最有利的情况, 必须具备 $\tau = \nu = 0.62$; 那么 $V_p = V_y = 14.5$ 升和 $p_c = 0.226A = 4900$ 瓦/升。

这样一来, 最有利的情况的转变在这种情况下, 按每 1 公升被活化物质的强度计, 使生产量增加 $\frac{0.226}{0.125} = 1.8$ 倍。

作者趁此机会向提出总的研究方向的维塞洛夫斯基 (В. И. Веселовский) 教授和参加结果讨论的卡尔波夫 (В. Л. Карпов) 表示感谢。

附录

1. 公式(1)推論

由于 k 循环所生成的原子蜕变在装置中经过 i 循环放出的能量等于:

$$E_{ik}^{nd} = \frac{A}{\lambda} [1 - \exp(-\tau_k)] [1 - \exp(-\nu_i)] \times \exp \left[- \left(\sum_{l=k+1}^i \tau_l + \sum_{l=k}^{i-1} \nu_l \right) \right].$$

經 i 循环全部放出之能量:

$$\sum_i^{nd} = \frac{A}{\lambda} \sum_{k=1}^i [1 - \exp(-\tau_k)] [1 - \exp(-\nu_i)] \times \exp \left[- \left(\sum_{l=k+1}^i \tau_l + \sum_{l=k}^{i-1} \nu_l \right) \right].$$

n 次循环的平均强度:

$$\rho^{nd} = \frac{\sum_{i=1}^n E_i}{\sum_{i=1}^n (\tau_{pi} + \nu_{yi})} = \frac{A}{\sum_{i=1}^n (\tau_i + \nu_i)} \sum_{i=1}^n [1 - \exp(-\nu_i)] \times \sum_{k=1}^i [1 - \exp(-\tau_k)] \exp \left[- \left(\sum_{l=k+1}^i \tau_l + \sum_{l=k}^{i-1} \nu_l \right) \right].$$

2. 原理論証

“不等式

$$\frac{A}{\sum_{i=1}^n (\tau_i + \nu_i)} \sum_{i=1}^n [1 - \exp(-\nu_i)] \sum_{k=1}^i [1 - \exp(-\tau_k)] \times \exp \left[- \left(\sum_{l=k+1}^i \tau_l + \sum_{l=k}^{i-1} \nu_l \right) \right] \leq A/4$$

在 τ, ν, n 的任一实数总和的情况下都遵守的”。

$2n$ 方程式为 ρ^{nd} 极大值的条件:

$$\frac{\partial \rho^{nd}}{\partial \tau_p} = 0, \quad \frac{\partial \rho^{nd}}{\partial \nu_p} = 0 \quad (p=1, 2, 3 \dots n).$$

令

$$[1 - \exp(-\nu_i)] \sum_{k=1}^i [1 - \exp(-\tau_k)] \exp \left[- \left(\sum_{l=k+1}^i \tau_l + \sum_{l=k}^{i-1} \nu_l \right) \right] = B_i,$$

我們有:

$$\frac{\partial \rho^{nd}}{\partial \tau_p} = \frac{A}{\left[\sum_{i=1}^n (\tau_i + \nu_i) \right]^2} \left\{ \sum_{i=1}^n (\tau_i + \nu_i) \frac{\partial}{\partial \tau_p} \sum_{i=1}^n B_i - \sum_{i=1}^n B_i \right\} = 0.$$

由此得出

$$A \frac{\partial}{\partial \tau_p} \sum_{i=1}^n B_i - \rho^{nd} = 0. \quad (1n)$$

类推

$$A \frac{\partial}{\partial \nu_p} \sum_{i=1}^n B_i - \rho^{nd} = 0. \quad (2n)$$

計算出

$$\frac{\partial}{\partial \tau_p} \sum_{i=1}^n B_i \text{ 和 } \frac{\partial}{\partial \nu_p} \sum_{i=1}^n B_i.$$

$$\frac{\partial}{\partial \tau_p} \sum_{i=1}^n B_i = \frac{\partial}{\partial \tau_p} \sum_{i=1}^{p-1} B_i + \frac{\partial}{\partial \tau_p} B_p + \frac{\partial}{\partial \tau_p} \sum_{i=p+1}^n B_i, \quad \frac{\partial}{\partial \tau_p} \sum_{i=1}^{p-1} B_i = 0.$$

$$\begin{aligned}
\frac{\partial B_p}{\partial \tau_p} &= \frac{\partial}{\partial \tau_p} \left\{ [1 - \exp(-v_p)] \times \left[\sum_{k=1}^{p-1} [1 - \exp(-\tau_k)] \times \right. \right. \\
&\quad \left. \left. \times \exp \left[- \left(\sum_{l=k+1}^p \tau_l + \sum_{l=k}^{p-1} v_l \right) \right] + 1 - \exp(-\tau_p) \right] \right\} = \\
&= [1 - \exp(-v_p)] \left\{ \exp(-\tau_p) - \sum_{k=1}^{p-1} [1 - \exp(-\tau_k)] \times \exp \left[- \left(\sum_{l=k+1}^p \tau_l + \sum_{l=k}^{p-1} v_l \right) \right] \right\}. \\
\frac{\partial}{\partial \tau_p} \sum_{i=p+1}^n B_i &= \sum_{i=p+1}^n [1 - \exp(-v_i)] \times \left\{ \frac{\partial}{\partial \tau_p} \sum_{k=1}^{p-1} [1 - \exp(-\tau_k)] \times \right. \\
&\quad \times \exp \left[- \left(\sum_{l=k+1}^i \tau_l + \sum_{l=k}^{i-1} v_l \right) \right] + \frac{\partial}{\partial \tau_p} \sum_{k=p+1}^i [1 - \exp(-\tau_k)] \times \\
&\quad \times \exp \left[- \left(\sum_{l=k+1}^i \tau_l + \sum_{l=k}^{i-1} v_l \right) \right] + \frac{\partial}{\partial \tau_p} \left([1 - \exp(-\tau_p)] \times \exp \left[- \left(\sum_{l=p+1}^i \tau_l + \sum_{l=p}^{i-1} v_l \right) \right] \right) \right\}. \\
\frac{\partial}{\partial \tau_p} \sum_{k=1}^{p-1} [1 - \exp(-\tau_k)] \times \exp \left[- \left(\sum_{l=k+1}^i \tau_l + \sum_{l=k}^{i-1} v_l \right) \right] &= \\
&= - \sum_{k=1}^{p-1} [1 - \exp(-\tau_k)] \times \exp \left[- \left(\sum_{l=k+1}^i \tau_l + \sum_{l=k}^{i-1} v_l \right) \right]. \\
\frac{\partial}{\partial \tau_p} \sum_{k=p+1}^i [1 - \exp(-\tau_k)] \times \exp \left[- \left(\sum_{l=k+1}^i \tau_l + \sum_{l=k}^{i-1} v_l \right) \right] &= 0. \\
\frac{\partial}{\partial \tau_p} \left([1 - \exp(-\tau_p)] \times \exp \left[- \left(\sum_{l=p+1}^i \tau_l + \sum_{l=p}^{i-1} v_l \right) \right] \right) &= \exp \left[- \left(\sum_{l=p}^i \tau_l + \sum_{l=p}^{i-1} v_l \right) \right].
\end{aligned}$$

最后得

$$\begin{aligned}
\frac{\partial}{\partial \tau_p} \sum_{i=1}^n B_i &= [1 - \exp(-v_p)] \left\{ \exp(-\tau_p) - \sum_{k=1}^{p-1} [1 - \exp(-\tau_k)] \times \right. \\
&\quad \times \exp \left[- \left(\sum_{l=k+1}^p \tau_l + \sum_{l=k}^{p-1} v_l \right) \right] \left. \right\} + \sum_{i=p+1}^n [1 - \exp(-v_i)] \times \\
&\quad \times \left\{ \exp \left[- \left(\sum_{l=p}^i \tau_l + \sum_{l=p}^{i-1} v_l \right) \right] - \sum_{k=1}^{p-1} [1 - \exp(-\tau_k)] \times \exp \left[- \left(\sum_{l=k+1}^i \tau_l + \sum_{l=k}^{i-1} v_l \right) \right] \right\}. \quad (3n)
\end{aligned}$$

采用相同的运算求

$$\frac{\partial}{\partial v_p} \cdot \sum_{i=1}^n B_i,$$

得

$$\begin{aligned}
\frac{\partial}{\partial v_p} \sum_{i=1}^n B_i &= \sum_{k=1}^p [1 - \exp(-\tau_k)] \exp \left[- \left(\sum_{l=k+1}^p \tau_l + \sum_{l=k}^p v_l \right) \right] - \\
&\quad - \sum_{i=p+1}^n [1 - \exp(-v_i)] \times \sum_{k=1}^p [1 - \exp(-\tau_k)] \times \exp \left[- \left(\sum_{l=k+1}^i \tau_l + \sum_{l=k}^{i-1} v_l \right) \right]. \quad (4n)
\end{aligned}$$

换变已得的任一公式(3n和4n)为余因式乘积,如后者(4n),因为

$$\begin{aligned}
\sum_{i=p+1}^n [1 - \exp(-v_i)] \sum_{k=1}^p [1 - \exp(-\tau_k)] \times \exp \left[- \left(\sum_{l=k+1}^i \tau_l + \sum_{l=k}^{i-1} v_l \right) \right] &= \\
&= \left\{ \sum_{k=1}^p [1 - \exp(-\tau_k)] \exp \left[- \left(\sum_{l=k+1}^p \tau_l + \sum_{l=k}^{p-1} v_l \right) \right] \right\} \times \\
&\quad \times \sum_{i=p+1}^n [1 - \exp(-v_i)] \times \exp \left[- \left(\sum_{l=p+1}^i \tau_l + \sum_{l=p}^{i-1} v_l \right) \right],
\end{aligned}$$

則

$$\frac{\partial}{\partial v_p} \cdot \sum_{i=1}^n B_i = \left\{ 1 - \sum_{i=p}^n [1 - \exp(-v_i)] \times \exp \left[- \left(\sum_{l=p+1}^i \tau_l + \sum_{l=p}^{i-1} v_l \right) \right] \right\} \times \\ \times \sum_{k=1}^p [1 - \exp(-\tau_k)] \exp \left[- \left(\sum_{l=k+1}^p \tau_l + \sum_{l=k}^{p-1} v_l \right) \right]. \quad (5n)$$

現从 2n 方程式想象地求得所有 τ_{\max} 和 v_{\max} , 并将它們代入方程式(1n)和(2n). 得出

$$A \frac{\partial}{\partial \tau_p} \sum_{i=1}^n B_{i \max} - \rho_{\max}^{\text{нл}} = A \frac{\partial}{\partial v_p} \sum_{i=1}^n B_{i \max} - \rho_{\max}^{\text{нл}} = 0; \\ \frac{\partial}{\partial \tau_p} \sum_{i=1}^n B_{i \max} = \frac{\partial}{\partial v_p} \sum_{i=1}^n B_{i \max}.$$

代入(3n)和(4n)的导数, 得出

$$\sum_{k=1}^p [1 - \exp(-\tau_{k \max})] \exp \left[- \left(\sum_{l=k+1}^p \tau_{l \max} + \sum_{l=k}^{p-1} v_{l \max} \right) \right] = \\ = \sum_{i=p}^n [1 - \exp(-v_{i \max})] \times \exp \left[- \left(\sum_{l=p+1}^i \tau_{l \max} + \sum_{l=p}^{i-1} v_{l \max} \right) \right]. \quad (6n)$$

將脚碼 "max" 列于(5n)之 τ 和 v , 代入(5n)

$$\sum_{k=1}^p [1 - \exp(-\tau_{k \max})] \times \exp \left[- \left(\sum_{l=k+1}^p \tau_{l \max} + \sum_{l=k}^{p-1} v_{l \max} \right) \right].$$

根据(6n)而且

$$\sum_{i=p}^n [1 - \exp(-v_{i \max})] \times \exp \left[- \left(\sum_{l=p+1}^i \tau_{l \max} + \sum_{l=p}^{i-1} v_{l \max} \right) \right].$$

將(5n)代入(2n), 最后得出

$$A(1-x)x - \rho_{\max}^{\text{нл}} = 0,$$

式中

$$x = \sum_{i=p}^n [1 - \exp(-v_{i \max})] \times \exp \left[- \left(\sum_{l=p+1}^i \tau_{l \max} + \sum_{l=p}^{i-1} v_{l \max} \right) \right].$$

但因为 $(1-x)x \leq \frac{1}{4}$, 所以 $\rho_{\max}^{\text{нл}} \leq A/4$.

譯自 Атомная энергия Том 5 (1958) Вып. 5, 533—541.

参 考 文 献

- [1] P. Hardeck, S. Dondes: *Nucleonics* 14, No. 7, 22 (1956).
- [2] P. Hardeck, S. Dondes: *Nucleonics* 15, No. 8, 94 (1957).
- [3] Энергетические ядерные реакторы и использование продуктов деления. Сборник статей. Изд. ИЛ, 1955.
- [4] А. Х. Брегер, В. А. Бельнский, В. Л. Карпов, С. Д. Прокудин, В. Б. Осипов: Мощный источник γ -излучения Co^{60} для радиационно-химических исследований (21000 г экв радия). Доклад на Международной конференции по применению радиоизотопов в научных исследованиях. Париж, 1957. См. также труды Всесоюзной научно-технической конференции по применению радиоактивных и стабильных изотопов и излучений в народном хозяйстве и науке. Мощные гамма-установки. Изд. АН СССР, М., 1958, стр. 182.
- [5] D. T. Bray, C. F. Leysé: *Nucleonics* 15, No. 7, 76 (1957).
- [6] E. O. Guernsey, R. M. Ball: *Nucleonics* 15, No. 7, 80 (1957).
- [7] R. Harrington: *Rubber Age*, No. 6, 971 (1957).
- [8] C. Lock: Mathematics of fission product formation in reactors with circulating fuel; C/M 278; A.E.C.E. стр. 5, 1956.
- [9] Ядерные реакторы. Т. II. Техника ядерных реакторов. Изд. ИЛ, 1957.
- [10] Т. Роквелл: Защита ядерных реакторов. Изд. ИЛ, 1957, гл. 4.

鈾 的 机 械 性 能

謝爾蓋耶夫 (Г. Я. Сергеев)

季 托 娃 (В. В. Титова)

薩維茨基 (Е. М. Савицкий)

茹里科娃 (А. А. Жулькова)

尼科拉耶娃 (З. П. Николаева)

本文描述在室溫和高溫時鈾的機械試驗的結果。列舉了溫度在 $20 \sim 600^\circ\text{C}$ 範圍以內鈾的硬度， α 和 γ 相區內受壓縮時的流動壓力，拉伸時的機械性質，以及在 α ， β ， γ 相區溫度的衝擊韌性數據。在機械試驗時，顯示出大顆粒鈾的單個顆粒各向異性的性質。表明了，出現同素異形體的轉變和結晶結構中鈾的變形差異劇烈地影響到鈾的機械性質。表明了機械性能與鈾中含碳量的關係。

文獻[1]，[2]中描述了鈾的機械性能，但是在這些文獻中沒有表明它的組份。用來作下列作為研究材料的鈾，是經在 γ 相區溫度內壓延而成的，其總變形率約 90%，並在空氣中冷卻。表 1 表示金屬中的雜質含量。在研究由於溫度所引起的機械性能變化時，採用了一次冶煉的樣品。用不同冶煉方法，但雜質含量相近的一些試樣，來研究碳對機械性能的影響。

表 1 冶煉鈾的典型分析

元 素 的 含 量, %								
Fe	Si	Ni	Mn	Co	Cu	B	N	C
$8 \cdot 10^{-3}$	$5.0 \cdot 10^{-3}$	$4.0 \cdot 10^{-4}$	$7.0 \cdot 10^{-4}$	$3.0 \cdot 10^{-4}$	$7.0 \cdot 10^{-4}$	$2.0 \cdot 10^{-5}$	$3.0 \cdot 10^{-3}$	0.05

高溫時鈾的硬度是在專門設計的儀器中(圖 1)，於真空(壓力 10^{-3} 毫米水銀柱)狀況下測定的。用測力計來檢驗 50 公斤的負荷。一般情況下加壓的時間是 15 秒，並且在負荷下保持 30 秒。採用了頂角為 90° 的伯別基特合金(特硬質合金鋼)錐體作為硬度計壓頭。樣品的直徑和高度等於 6 毫米，庫巴索夫(Кубасов)硬度值(H_K)的定義是印痕的面積除負荷：

$$H_K = \frac{50}{\frac{\pi}{4} d_{ep}^2} \text{ 公斤/毫米}^2,$$

其中 d_{ep} ——印痕的平均直徑。

已經確定，樣品的硬度隨溫度升高而減低。加熱至 600°C ，硬度大致從 350 降至 50 公斤/毫米²(圖 2)。含碳量從 0.07% 增至 0.24%，並未察覺到硬度按一定規律變化。圖 3 中表示在恆定溫度下的持久硬度與延續時間的關係。

在真空的儀器(參閱圖 1)內受壓縮時測定鈾的流動壓力，在該儀器的工作空間中裝置了加壓的儀器以代替測定硬度用的設備。對直徑和高度為 6 毫米的樣品作了試驗。

試驗結果表明，在 α 相區內壓縮時，碳的存在影響到鈾的流動壓力。由圖 4 得出結論，流動壓力是隨鈾中含碳量的增加而提高，從 0.09% 增加到 0.24%。例如，溫度為 650°C 和應變

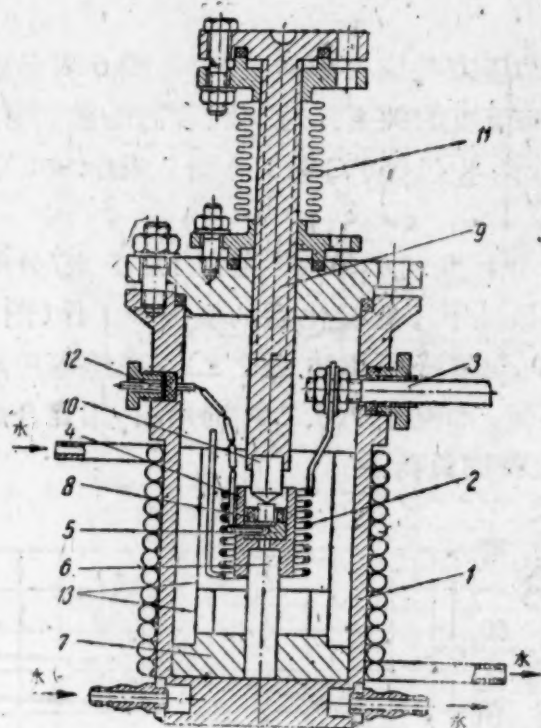


图1 高温时测定鈾硬度的仪器简图。

1.壳体; 2.加热器; 3.导电体; 4.插座;
5.垫片; 6.导向栓; 7.定心板; 8.定心环;
9.冲头; 10.伯列基特合金锥体; 11.弹簧
套; 12.热电偶; 13.钨屏蔽。

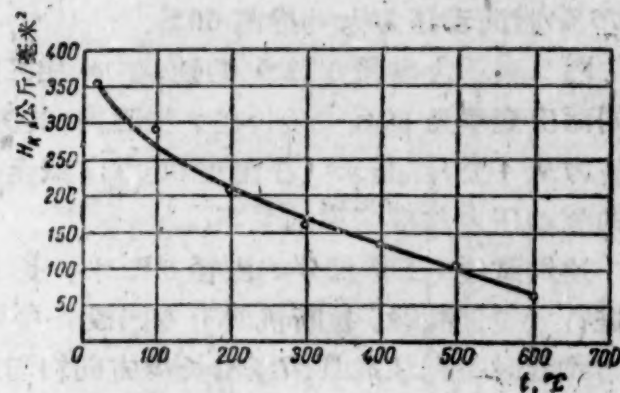


图2 鈾的短时硬度(含碳量 0.24%)与温度的变化关系。



图3 600°C 时, 鈾的持久硬度与加负荷时间的变化关系。

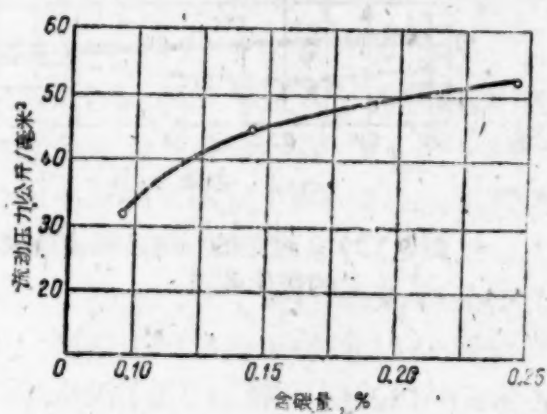


图4 温度 650°C 时, 鈾的流动压力与含碳量的关系(应变率 75%)。

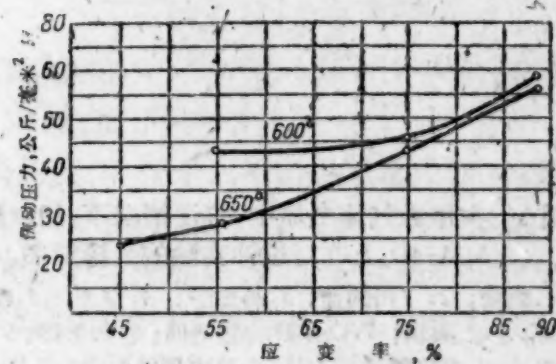


图5 在 α 相区内, 鈾的流动压力(含碳量 0.13%)与应变率的关系。

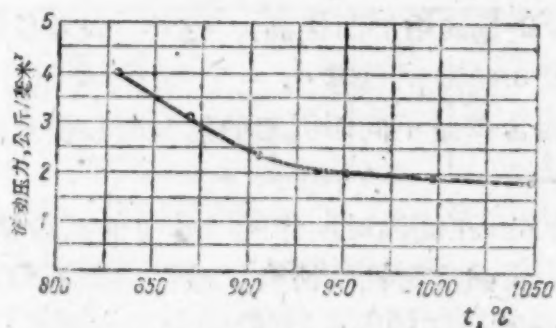


图6 在 γ 相区内鈾的流动压力与温度的关系(应变率 69%)。

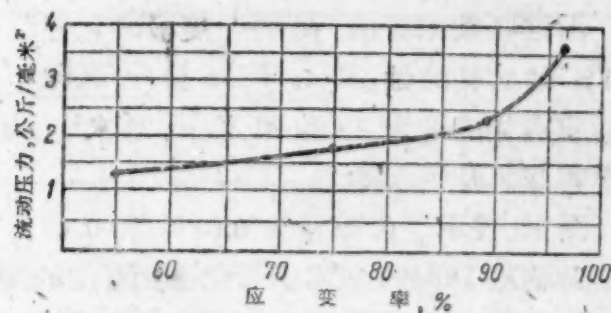


图7 在温度 900°C 时鈾的流动压力与应变率的关系。

率 75% 时流动压力大约提高 60%。

图 5 表示含碳量 0.13% 的铀, 在 α 相区内, 其流动压力与应变率的关系。图 6 表示成分相同而应变率为 69% 的铀, 在 γ 相区内, 其流动压力与温度的关系。对 γ 相状态的铀而言, 流动压力从 4 公斤/毫米² (在温度 800°C) 减至 1.8 公斤/毫米² (1050°C 时)。图 7 表示 900°C 时铀的流动压力与应变率的关系。

比例试样 (工作部分的直径 5 毫米, 长 28 毫米) 在拉断机 ИМ-4Р 上以 1.2 毫米/分的速度进行了拉伸试验。拉断机具有专门设备可以在高温条件下于经纯化后的氢气中工作 (图 8)。机器设计时特别注意到保证沿长度方向均匀加热试样 (温度降不超过 $\pm 2^\circ\text{C}$)。在炉内可以加热到 1000°C。温度低于 700°C 时, 用铬-铝热电偶测量, 而高于 700°C 时则用铂-铂铑合金热电偶。高温试验时在指定的温度上保持 15 分钟, 以后就加负荷。

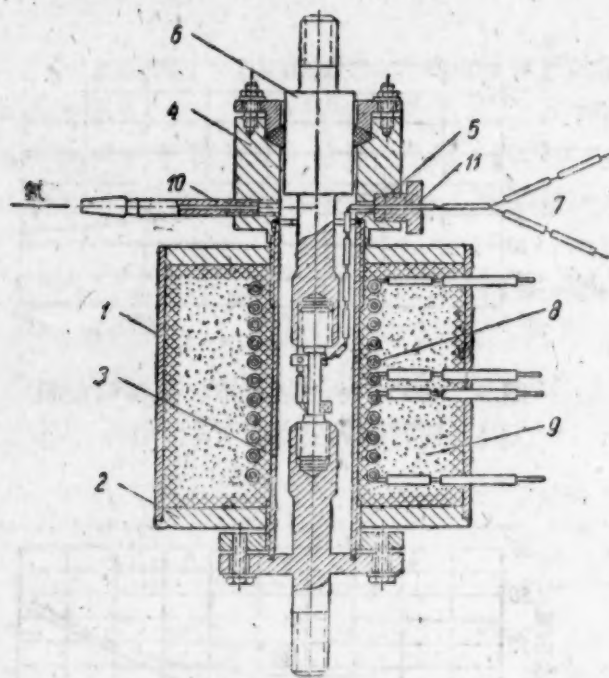


图 8 在中性气体气氛中, 高温情况下, 用试验机 ИМ-4Р 上进行拉伸试验的装置简图。

1. 密封筒; 2. 下面的盖; 3. 马弗炉; 4. 盖头; 5. 密封环; 6. 上夹顶; 7. 电位计的热电偶; 8. 加热器; 9. 材料; 10. 氢气管道接头; 11. 热电偶的引线。

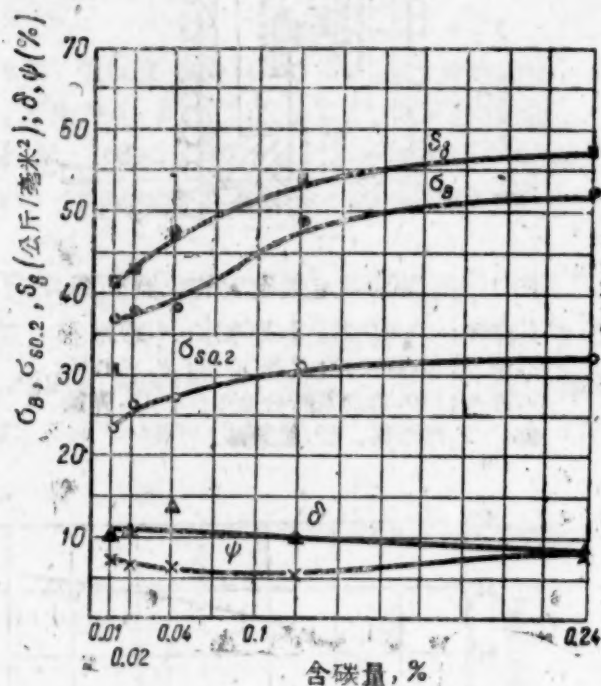


图 9 20°C 时铀的机械性能随含碳量的变化曲线。

确定了下列各特性: 强度极限—— σ_b (公斤/毫米²), 真实的强度极限—— S_b (公斤/毫米²), 条件屈服极限—— $\sigma_{s0.2}$ (公斤/毫米²), 延伸率—— δ (%), 横截面积的收缩率—— ψ (%)。

图 9 表示含碳量为 0.01—0.24% 热轧的铀样品在室温时拉伸试验的结果。

由这些数据看出, 铀的强度极限和屈服极限随含碳量的增加而提高。这样, 假若含碳量 0.01% 的热轧的铀, 其 $\sigma_b = 36$ 公斤/毫米², 则含碳量 0.24% 的铀其 $\sigma_b = 52$ 公斤/毫米²。这时屈服点相应地为 23 和 31 公斤/毫米²。室温时, 因含碳量不同而引起的延伸率和横截面收缩率的变化是不大的。

图 10 表示了含碳量为 0.02% 和 0.12% 的热轧的铀, 在高温时所作的一些拉伸试验结果。

大约从 100—150°C 开始, 随着温度的提高而使表现强度特性的所有机械性能都单调地下降, 表现塑性的机械性能则增加。特别应该指出, 在 α 相存在的温度区域内, 屈服点很低。当屈服点降低的同时, 在温度为 100°C 左右的范围内, α 铀的强度极限显著地增加。文献 [3] 中提到过这种现象。在进入 β 相温度区域时强度极限重新增加, 而 δ 和 ψ 值都减低。例如, 对于含

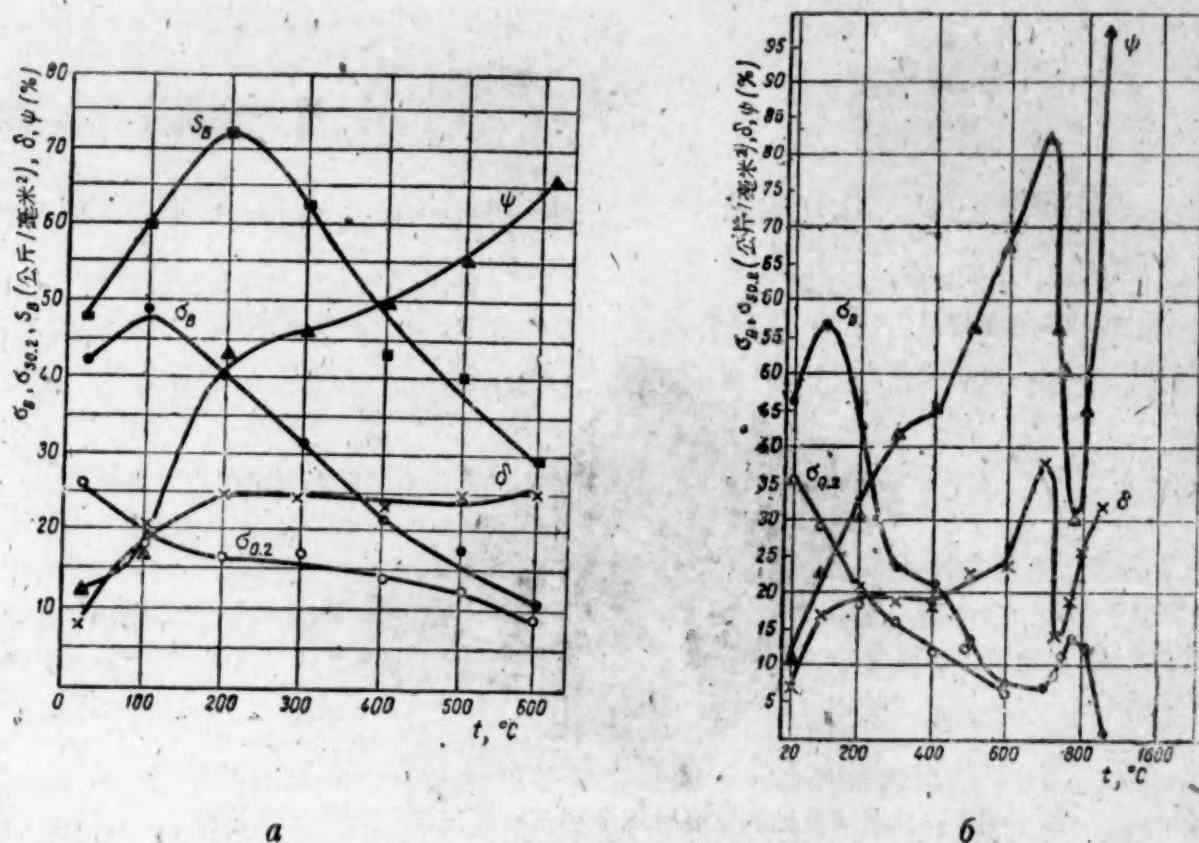


图 10 鈾的机械性能随温度的变化
a——含碳量 0.02%; b——含碳量 0.12%。

碳量 0.12% 的鈾, 750°C 时 $\sigma_s = 12$ 公斤/毫米², $\delta = 18\%$, $\psi = 51\%$, 600°C 时 $\sigma_s = 7$ 公斤/毫米², $\delta = 23\%$ 和 $\psi = 76\%$ 。

繼續的提高温度并进入 γ 相区内, 引起强度极限急剧的下降, δ 和 ψ 增加。因此, 在 850°C 时对含碳量 0.12% 的鈾 $\sigma_s = 0.8$ 公斤/毫米², $\delta = 31\%$, 而 $\psi = 97\%$ 。

在冲击材料试验机 MK-30 上对直径为 11 毫米长度 55 毫米具有美納日 (Менаж) 圓形凹槽的样品 ($R = 1 \pm 0.1$ 毫米, 宽度 2 ± 0.1 毫米, 深度 1.5 毫米) 进行了冲击韧性的試驗。

为了在高温情况下进行試驗, 样品在充滿氫气气氛的炉中加热, 炉子安置在試驗机支架水平面上。在指定的温度下保持 15 分鐘后, 将样品安放在試驗机支架上由摆的冲击打碎样品。試驗結果表明 (表 2), 在 α 相区内冲击韧性随試驗温度增加而提高。在温度曲綫上冲击韧性的急剧下落表明 β 鈾的出現。在 γ 形态区域内样品并未断裂, 而仅在試驗机支架間扭曲。 γ 鈾的塑性很大, 以至在 γ 相区内冲击韧性的数值不能确定。

表 2 鈾的冲击韧性与試驗温度的关系 (含碳量 0.03%)

試驗温度, °C	20	100	200	300	400	500	600	700	750	800
相对的冲击韧性, 公斤米/厘米 ²	1.4	2.3	4.0	5.8	8.0	11.7	2.7	2.0	2.4	>12.0

* 取三个样品的平均值。

由于鈾在物理-机械性能方面的各向异性表现的很显著, 在鈾塑性变形的过程中可以看到很多的特点。例如, 鑄造或热压的圓柱形鈾样品在压缩試驗过程中变形后常常并不形成規則形状的“桶”。因之由于粗晶体不均匀的变形在样品的表面上产生出凸凹的起伏 (图 11)。

在不同温度下以不同速度对鈾作拉伸試驗过程中在样品上形成粗細不同的縮頸 (代替一



图 11 20°C 时沿高度方向压缩了 30% 的铀样品($\times 3.5$).

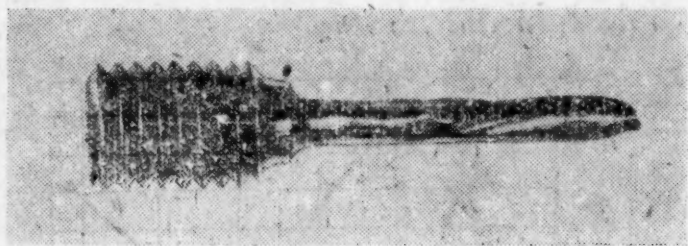


图 12 經高溫时拉伸試驗后的 铀样品($\times 1$).

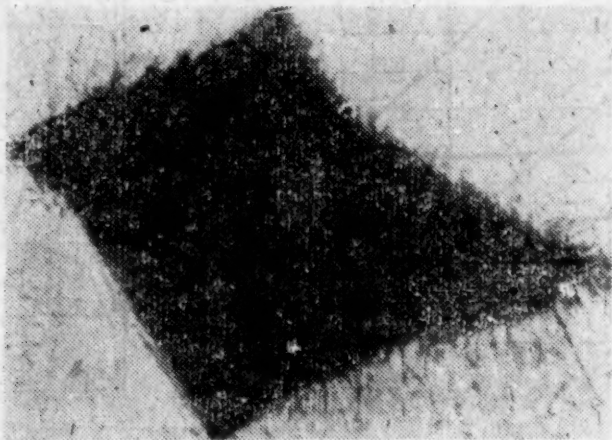


图 13 在測量铀的硬度时以金刚石稜錐在样品表面上冲压的方法得到的印痕形状($\times 100$).

种軸頸)并出現螺旋狀的表面(图 12). 縮頸本身的截面具有橢圓的形狀.

当用金刚石稜錐在样品表面上压痕的方法作硬度試驗时,清楚地看出印痕是不对称的(图 13).

試驗結果表明,在晶体結晶中相的差別剧烈地影响到在各种温度下所測定的铀的机械性能.

具有体心正立方晶格的 γ 铀具有最大的塑性. 四角形的 β 铀特点是偏于脆性并对应变速度的敏感性很高. 这样,在 β 相区域内当进行拉伸和冲击韧性試驗时,从塑性变化的曲线上看到具有最小值,尤以冲击韧性試驗时表现的更加明显. 在选择有利的应变热力学条件时(在作用力和温度情况方面),含碳量不多的 α 铀具有良好的塑性应变性能. 由于菱形晶格的 α 铀对称性很低,在各种試驗中表现出的机械性能显著地各向异性.

哲譯自 Атомная энергия Том 5 (1958) Вып. 6, 618—623

参 考 文 献

- [1] F. G. Foote: Металловедение урана. Доклад № 555, представленный США на Международную конференцию по мирному использованию атомной энергии, Женева, 1955.
- [2] G. A. Stohr, R. Chevigny: Прессование урана в гамма-фазе. Доклад № 351, представленный Францией на Международную конференцию по мирному использованию атомной энергии, Женева, 1955.
- [3] R. W. Nichols: Nucl. Eng. 2, 18, 355 (1957).

鈹

麥爾生 (Г. А. Меерсон) 索柯洛夫 (Д. Д. Соколов)
 米羅諾夫 (Н. Ф. Миронов) 波格拉德 (Н. М. Богорад)
 帕霍莫夫 (Я. Д. Пахомов) 里沃夫斯基 (Д. С. Львовский)
 伊凡諾夫 (Е. С. Иванов) 什米列夫 (В. М. Шмелев)

文中根据苏联工作者的研究成果討論了金属鈹的性質和主要的制备方法。

对比了氟化物的鎂热还原法、电解法以及用真空蒸餾法使鈹純化。

討論了几种用金属陶瓷方法制备鈹制品的工艺方案，在真空感应炉中熔炼并离心浇鑄的工艺，对鈹的型材的压挤的研究，以及致密鈹的組織和性能。已經知道，将在真空中热压成的毛坯压挤得到的純鈹試样，在 425°C 具有接近 20 公斤/平方毫米的抗拉强度极限和高度的可塑性（延伸率大于 20%）。

近十年来，对于鈹作为一种可能的原子反应堆結構材料的兴趣增长了。小的热中子俘获截面和大的中子散射系数使它成为一种优秀的減速剂和反射层材料。除这些性質以外，还应当提到小的比重（1.845 克/立方厘米），相对較高的导热性和熔化温度（1285°C），在輻照作用 and 高温条件下的稳定性。此外，鈹在高温下对于空气、二氧化碳气、水和某些熔融金属是足够稳定的。这些性質使我們也有可能采用鈹作为释热元件的外壳。

在拟制鈹的生产工艺时，提高对金属的化学純度的要求、鈹的塑性低和化合物的毒性都引起很大的困难。制备鈹的原料的主要类型是綠宝石矿 $\text{Be}_3\text{Al}_2[\text{Si}_5\text{O}_{18}]$ 。

工业用的氢氧化鈹是所有各种类型鈹产品的半成品，它可以按下述的硫酸盐化的工艺路綫得到。

鈹矿石与氧化鈣在电弧炉中同熔，以使鈹轉化为溶解状态。将熔融体粉碎，在 280—320°C 用硫酸处理，再用加了硫酸鈹的水浸出，以将鋁以鋁鈹明矾的形式分离，然后用各种方法清除掉重金属并以硫酸鈹处理。由于水解的作用碱性的（основной）碳酸鈹分离出来了。

所得到的碱性碳酸盐大約具有以下成分，数值以相对于鈹的百分比表示：

Fe	0.02—0.06	Si	0.3—0.5
Mn	0.006—0.009	Ni	0.003—0.005
Al	0.1—0.2	Cu	痕量

为了得到高純度的氧化鈹，須将工业用的碱性碳酸鈹溶于醋酸，而用蒸餾的方法清除掉醋酸鈹中的杂质，再用高热分解法分离出具有高純度的細散的氧化鈹。氧化物中的杂质含量大致如下：

Fe	$5-6 \times 10^{-4}$	Cu	$1-2 \times 10^{-4}$
Mn	$2-4 \times 10^{-5}$	Zn	$4-6 \times 10^{-3}$
Mg	$2-4 \times 10^{-4}$	Ca	$2-3 \times 10^{-3}$
Ni	$2-4 \times 10^{-4}$	Na	$3-5 \times 10^{-3}$
Al	$1-2 \times 10^{-3}$	Si	$1-2 \times 10^{-3}$

这种氧化物在純度上最适于生产某些原子反应堆上用的陶瓷制品^[1]。

已經知道三种主要的制备金属铍的方法:

- 1) 电解氟铍酸钠 (Na_2BeF_4) 或氟氧化铍 ($2\text{BeO} \cdot 5\text{BeF}_2$) 的混合物;
- 2) 电解熔融氯化铍与氯化钠的混合物;
- 3) 用金属镁还原氟化铍。

第一种方法具有一系列缺点,其中主要是在高温电解时氟化铍蒸发量很大,因此产量低而且生产的危害性大。

按第二种方法制备铍采用工业氢氧化物或碱性碳酸铍作为初始的半成品。将氢氧化物煅烧成氧化铍,压成砖并进行氯化。已经知道,在 $550-650^\circ\text{C}$ 在电炉中进行氯化可以用熔过的石英 (плавленый кварц) 的砖作为坚固的炉衬材料。在氯化过程中得到的氯化铍蒸发并凝集在加热到 $280-300^\circ\text{C}$ 温度的镍容器中。每经过一定时间将氯通过窗口放到具有气密联接的可更换的镍容器中去。然后,将氯化铍与 $\text{NaCl}(1:1)$ 一同加入镍的电解器中。可更换的镍阴极使我们分两个阶段进行电解。第一阶段在近于 1.5 伏的电压下进行,目的是要清除掉电解液中电位比铍更正的杂质。在第二阶段在 $320-350^\circ\text{C}$ 纯铍以鳞片状沉积在新的阴极上。用位于电解槽中心的石墨棒作为阳极。

为了更好地将金属与电解液分开,在取出阴极以前先将电解槽短时间过热到 $\sim 380^\circ\text{C}$ 的温度。为了将阴极沉积物上的电解液中的残渣除掉,用弱的硝酸溶液加以冲洗,然后干燥。分析指出,在铍的较细的部分中沾污的量最大,因此这一部分要与金属的主要部分筛分开来。

由氯化物电解得到的铍的化学成分大致如下(以百分比表示):

Fe	0.01—0.02	Cu	0.02—0.07
Mn	0.001	Si	0.01
Ni	0.02—0.05	Cr	< 0.003

这种方法的主要优点在于能够得到具有高纯度的铍,因为在氯化 and 电解的各个阶段都进行着对一系列杂质的清除。这种方法的缺点在于直接产量低,设备复杂,氯化铍的吸湿性强和必须防止它与空气接触,氯化铍的毒性强,使得生产设备的构造由于必须精细地加以密封而复杂化。

最经济的而且技术上已实现的生产铍的方法——用镁还原氟化铍。将工业的氢氧化物或碱性的碳酸铍溶入加有氟化铵的氢氟酸中。将所得到的氟铍酸铵溶液用吸收法除去铁、锰和重金属杂质并加以二氧化铅处理。将所得的溶液进行蒸发,氟铍酸铵 $\text{BeF}_2(\text{NH}_4)_2$ 的晶体就脱出了。脱出的 (отфугованный) 氟铍酸铵晶体在 $900-950^\circ\text{C}$ 分解。在冷凝器中出现的氟化铵回转到制取氟铍酸铵的过程中。将熔融的氟化铍浇入石墨模中,并在感应加热的石墨坩埚中在 $\sim 1300^\circ\text{C}$ 的温度下用镁还原。除去了炉渣夹杂物的金属球再放到感应炉中在真空中重熔。

这种铍的化学成分可以用下列数据表明(以百分比表示):

Fe	0.08—0.10	Mn	0.01—0.02
Al	0.02—0.03	Cu	0.003—0.005
Si	0.01—0.03	Ni	0.003—0.005

要得到纯度最高的铍须用将工业纯的金属在高真空中蒸馏的方法,在 $1350-1380^\circ\text{C}$ 的温度进行蒸馏,这时蒸发速度达到每平方厘米熔融体表面 0.3 克/小时。用氧化铍坩埚蒸发金属,外面用电阻炉加热,以钼丝作为发热体。

金属的冷凝在由钼片制成的分馏塔中进行,象铁、铜和镍这些杂质基本上留在坩埚里的残渣中,而易挥发的成分(锰、铝)则聚集在分馏塔的最冷的上部。铍的主要部分(95—97%)凝集在分馏塔的下部和中部,其温度为 $1150-1050^\circ\text{C}$,这一部分铍是具有高纯度的产品,其中平均

含有(以百分比表示):

Fe	0.005	Ni	0.003
Al	0.003	Cr	0.005
Cu	0.004	Mn	0.002

鈹的鑄造有一定的困難。與由粉末燒結成的金屬比較，由鑄造得到的金屬通常具有較粗大的晶粒(有時還有分散的小氣孔)而且比較脆。因此在鈹制品的生產中廣泛採用了金屬陶瓷的方法^[2]。

製造鈹制品的金屬陶瓷工藝有好幾種方案，可以根據每種制品的具體類型並根據向它們提出的要求而採用。

由以上所述各種方法中的任一種方法得到的金屬，在經過預先的真空重熔，除氣或蒸餾後，轉變為粉末。在通常情況下，粉的粒度為負* 500 微米，僅在個別情況下才要採用更細的粉末。採用細顆粒粉末的缺點之一是隨着粉末細碎程度的增高氧含量也增長。在粉碎以前蒸餾過的鈹中氧含量為萬分之幾，而在用它制成的粒度為負 500 微米的粉末中氧含量則上升到千分之幾。

將鈹粉在真空中熱壓 (1×10^{-2} — 1×10^{-3} 毫米汞柱) 可以得到大的毛坯或制品，並具有最大的密度(到 1.85 克/立方厘米)，小晶粒的組織和相對較高的、各方向相等的機械性能^[2]。熱壓在優質石墨質的壓型中進行，壓型用在高溫煅燒過的細碎的氧化鈹潤滑。在 1120—1150°C 的溫度壓制壓力為 50—30 公斤/平方厘米以下。

在某些情況下採用在空氣中熱壓的方法。這樣制品中的氧和氮含量略有增高。這種過程與真空壓制的區別在於要求將壓制壓力提高到 100—150 公斤/平方厘米。

為了製造高密度和高強度的制品還採用了“溫”壓的方法，使用金屬壓型在空氣中進行，溫度 550—600°C，壓力 4—5 噸/平方厘米。

如果要求所得到的制品比較不硬，則可採用最簡單的金屬陶瓷方法，可以得到密度為 1.75—1.82 克/立方厘米** 的制品。將鈹粉在冷態用 10—15 噸/平方厘米的壓力壓制，在真空中 1180—1200°C 燒結，然後進行孔型壓制。孔型壓制(калибровка) 或者在冷態 10—15 噸/平方厘米的壓力下，或者在 500—550°C 溫度和 8—10 噸/平方厘米的壓力下進行。

用金屬陶瓷方法得到的制品或毛坯長度小(長度與斷面尺寸之比不大於 2)，要得到長度較大而且密度大的制品須對金屬陶瓷的毛坯進行壓力加工。考慮到鈹的塑性較差，最適當的辦法是採用擠壓過程，對它在熱變形區域(高於重結晶溫度)的研究尚未得出正面的結果。

為了保護鈹免於在加熱時氧化以及在擠壓時免於與壓型粘結而採用了鋼的保護殼，但類似^[3]的實驗指出，由制品表面上取去保護殼是一個複雜的操作，易引起小斷面制品的破裂。

鈹在 425°C 的溫度具有最高的塑性。因此在擠壓以前使毛坯和壓型加熱到近於 500°C 的溫度。採用膠狀的石墨作為潤滑劑以保證擠壓時不發生金屬的粘結，並能獲得具有良好的表面的制品，其上復有一薄層石墨。

通過通常採用的模具擠壓鈹時，由於入口錐形的角度大(150°)而圓柱部分短(0.5 個直徑)，因此會發生橫斷面上的裂痕，而且要求較大的壓力。根據克洛茲和古林斯基(Creutz and Gurinsky)的數據^[4]，最好的入口錐形角度為 90—120°C。文獻[1]中確定最好的角度為 90°。將入口錐形的角度減至 60° 就使得被擠壓制品斷面上的變形發生不均勻現象。將這角度增加

* 粒度負 500 微米即在 500 微米以下之意——譯者註。

** 原文為 r/cm²，顯係排印錯誤——譯者註。

到 120° 則造成压挤压力的增高。研究指出, 模具的圆柱形部分的大小实际上不影响压力, 但如果它愈大, 則棒料在未变形的热区中的停留時間就愈长, 这样残余应力就取消了, 并因而消除了横断面裂痕出現的原因。因此所采用的模具圆柱形部分的长度等于 ~ 1.5 倍直径。模具槽口断面的急剧变化(在模具的錐形与圆柱形部分相交处)也是形成裂痕的原因之一。

挤压时的最大变形程度为允許压力所限。考虑到模具的强度, 希望压力不超过 12 吨/平方厘米。最小变形程度决定于不破坏連續性而得到制品的条件。在变形度 $> 65\%$ 时发生横断面的裂痕。这样, “温” 挤压可以用 70—85% 的最好变形度进行。

为了减少毛坯上料头的量而增加产量, 装上用低碳鋼 (Ст.3) 作的“軟” 垫圈, 当挤压时它就填满模具, 形成挤压的殘尾并将棒料由模具中挤出。

研究的結果断定, 在挤压过程中, 随同鈹的流动軸心部分相对于外圓各层发生很大的超前現象。文献 [3]、[4] 指出, 由于采用前端車成錐形的毛坯, 超前的程度減小了。在本文作者的工作中发现, 由于采用“軟” 垫圈取得了良好的結果, 在垫圈与毛坯連接的一端上有錐形的凹部。这种形状首先促使外圓各层的运动 (因而部分抵消了它們在挤压过程中的滞后), 并减少挤压縮孔的数量, 这种縮孔在使用平垫圈时曾发现过。根据經驗, 車圓錐形的最好角度选定为 $150-160^{\circ}$ 。垫圈的环的宽度取决于所采用的容器的直径。

对 500°C 下管的挤压过程的研究指出, 由于单位压力大在径向发生很大的应力, 这些应力又传到頂桿 (игла) 上。在頂桿上同时有拉伸应力作用, 这是由于頂桿与管的內壁間的摩擦而产生的。因此会发生拉长有时还会将頂桿拉断。采用具有不大的錐度 (1:1000 以下) 的頂桿就消灭了拉断的現象, 因为对于管的內壁的摩擦大大減小了。

挤压有稜角的断面的制品比較困难, 因为存在着稜边, 会由于应力集中而在稜上形成横断面的裂痕。将制品断面上的角稍加圓化則可以制得六角形和矩形断面的沒有可見缺陷的型材。

鈹的性質根据其純度和組織的不同而在很大的范围内变动*。即使是塑性最好的——蒸餾的和电解的 (由氯化物)——金属品种也不能在冷态进行压力加工。制品的制造工艺也对鈹的性質有重大影响。

直接由热压或燒結后得到的試样具有平衡的組織 (图 1), 而挤压出的試样則为纖維状 (图 2)。挤压出的試样在 $750-850^{\circ}\text{C}$ 退火能保証再結晶。

由真空中热压得到的試样具有不大的塑性; 而由这种毛坯在 500°C 挤压出的試样, 則表现出在挤压方向塑性有很大的增长, 同时强度增长 1.5 倍 (見表)。

試样制备方法	性			質		
	20°C			425°C		
	σ_b 公斤/平方毫米	δ %	ϕ %	σ_b 公斤/平方毫米	δ %	ϕ %
真 空 中 热 压	20	0.2	0.2	12	3.5	6
由真空热压的試样挤压	35	2	2	19	21	38

鈹在 425°C 的温度具有最大的塑性。与 20°C 时的性質相比, 热压試样的强度降低 40%,

* 在物理-机械性能的研究中有西道洛夫 (Б. А. Сидоров) 和斯捷潘諾夫 (М. И. Степанов) (Н. Н. Давиденков 实驗室的工作者) 参加。



a



b

图1 用金属陶瓷方法制得的铍毛坯的显微组织
制备方法: *a*——压制、烧结并孔型压制; *b*——热压。



a



b

图2 挤压出的棒的显微组织
a——变形的; *b*——退火的。

塑性有所增加,但仍不够高。在 425°C 下,挤压的试样的强度降低同样的数量级,而塑性则大大提高(延伸率达21%,颈部收缩率达38%)。

铍具有很高的正弹性模数。在室温下进行的加压试验指出,弹性模数等于 3.03×10^6 公斤/平方厘米,在 $500-600^{\circ}\text{C}$ 的高温下略为降低(大约2%)。

对于用金属陶瓷方法制成的毛坯,压制方向与其性质没有显著的影响,由于其中存在着无方向性的组织,与之相比较,挤压得到的试样的性质,在垂直于棒的轴线方向有不大的改善。

机械性能试验的结果取决于试样的切削加工状况和试样的表面质量,因为铍对刻痕非常敏感。

铍的制品宜于用硬质合金(碳化物)刀具进行切削加工,同时也宜于磨削。

铍在空气中的耐热性是相当高的,它可以在 500°C 的温度下保持几千小时不破坏,但在 1000°C 仅1小时铍的表面就已被一厚层疏松的氧化物所复盖。

对于水来说,铍是个相当稳定的材料(水中溶解的氧愈少,则稳定性愈强)。局部的杂质(локализованная примесь)——主要是碳化物——的存在使铍的稳定性变坏。

工业用铍在经过初次的真空重熔后仍然含有一定数量的杂质:碳化物的氧化物和未排除掉的挥发性盐(氟化铍、氟化铍等的残余),它们在铍铸件中造成气孔、夹杂和孔穴。因此采用了与离心浇铸相结合的铍的真空重熔法,此法的优点在于能保证最完全地清除掉气体和夹杂物*。

离心浇铸的最重要的特点是结晶的方向性,这是由于浇铸的金属由外围向中心冷却以及新浇入的金属由中心向外表面补给所造成的。在铸型旋转的过程中,离心力将金属内部的气体、氧化物和其他的沾污排出到铸件表面上。

真空熔炼和离心浇铸的优点的结合(见图3)使我们可以改善铍铸件的质量并铸成各种制品。

最适合于熔铍的坩埚材料是氧化铍,由化学纯的氧化铍压制并烧结成的坩埚,化学性也是很稳定的。石墨不能用作熔炼用坩埚的材料,因为它会被液体金属侵蚀,但石墨是一种适当的铸型材料。铸件的表面层结晶很快,因此可以保护铸件免于渗碳。

将由铍块组成的炉料加入氧化铍的坩埚中,坩埚有一注流孔,由也是氧化铍制成的塞子盖着。在炉中达到真空(1×10^{-4} 毫米汞柱)后,开始加热到 $800-900^{\circ}\text{C}$ 。在这时期中排除了炉料中所吸附的湿气、气体和挥发性氟化物,后者主要由捕集器所收集,并有一部分沉积在炉盖的水冷表面上。然后,以化学纯的干燥氩气充入炉中,达到

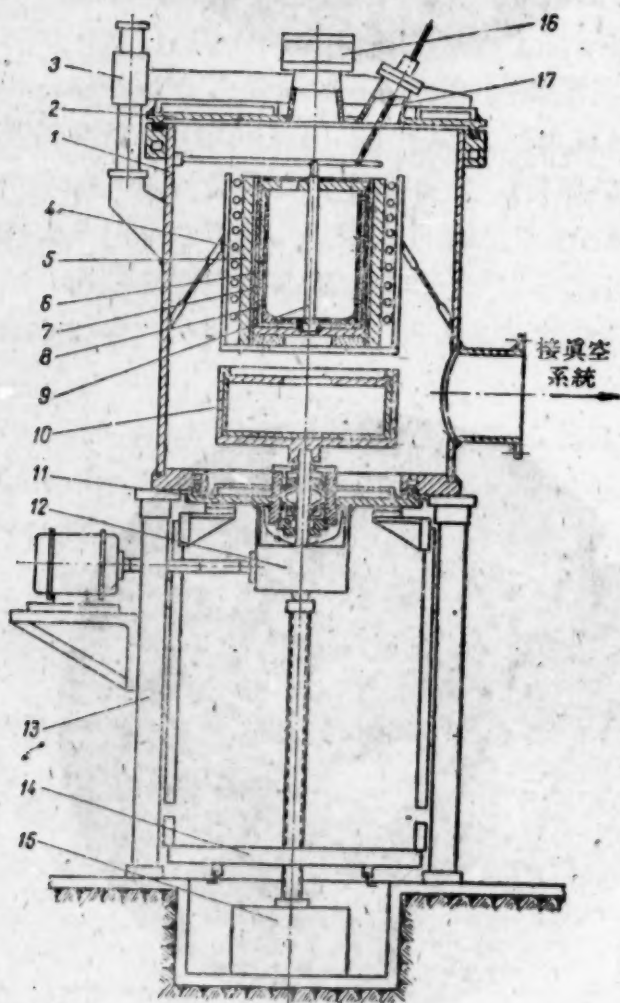


图3 铍的真空熔炼和离心浇铸装置图

- 1—炉壳; 2—炉盖; 3—炉盖升降机构; 4—感应圈; 5—感应圈的炉衬; 6—加热器; 7—炉衬(BeO); 8—坩埚; 9—塞子; 10—铸型; 11—底盘; 12—铸型旋转机构; 13—炉的支柱; 14—小车; 15—底盘升降机构; 16—窥视窗; 17—塞子的拉杆。

* 真空熔炼和离心浇铸部分的作者是伊凡诺夫(Е. С. Иванов)和什米列夫(В. М. Шмелев)。

30—50 毫米汞柱的残留压力,使金属熔化并过热到 1450—1470°C. 经过5分钟的保持后,提起塞子,金属就浇入旋转着的石墨型中。

建造具有不同内腔形状的铸型,就可以生产出各种形状的铸件,并能同时铸出若干个另件,一般是轮廓简单的,以免在收缩时造成困难。制品的每一种新的形状和尺寸都要重新选择浇满铸型的速度和旋转速度,一定的浇铸速度是通过改变注流孔的断面而得到的。

已经在真空熔炼并离心浇铸的装置上铸出了各种空心圆柱形的铍制品,具有良好的表面。将制品用X射线在各个方向进行照射,结果发现没有任何用这种方法所能找到的内部缺陷。

经过切削加工的铸件密度为 1.82—1.84 克/立方厘米,这就证明了在铸件中残存着不多的分散的小孔,这些小孔无论用X射线透视的方法,或是金相磨片的研究,都不能发现。铸造毛坯的组织允许对它切削加工而不致剥蚀晶粒(图4)。铸态铍的显微组织和宏观组织示于图5。沿着平行于圆柱端面的平面制备磨片。

铸出的小直径圆柱形制品用来作为管坯,可以“温”压出具有各种壁厚的管。

由上述方法制成了具有相当高的密度的、各种尺寸的制品,以及对铸造铍进行切削和挤压加工的可能性,使我们有理由认为,铍的真空熔炼和离心浇铸适用于以下情况,即当要求制造

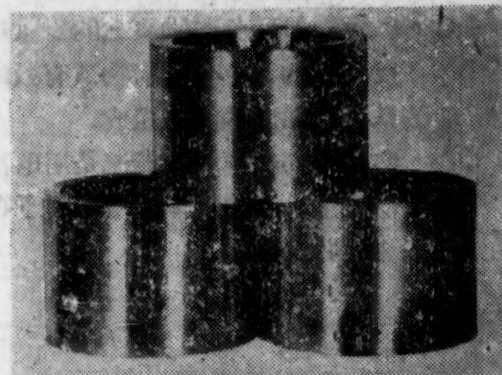
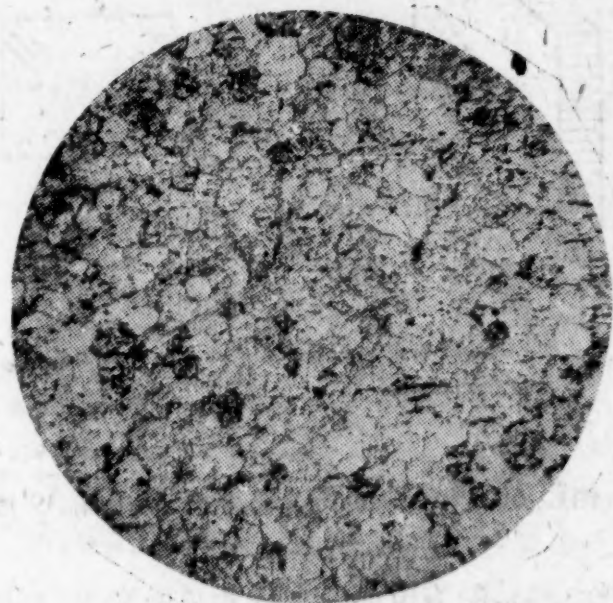


图4 铸出并机械加工的铍圆筒



a



b

图5 铸态铍的组织: a——显微组织($\times 90$); b——宏观组织($\times 20$)。

大尺寸的制品,因而用金属陶瓷的方法制造感到困难时。随着今后的不断改善,除了金属陶瓷方法以外,真空铸造工艺可能会被用来制造许多制品。

译自 Атомная энергия Том 5 (1958) Вып. 6, 624—630

参 考 文 献

- [1] Г. А. Меерсон, Г. Е. Каплан, Г. Ф. Силина, Д. Д. Соколов: Исследования в области геологии, химии и металлургии (Доклады советской делегации на Международной конференции по мирному использованию атомной энергии, Женева, 1955).
- [2] V. V. Beaver: The Metal Beryllium, American Society for Metals, 1955, Ch. V «B», 152.
- [3] P. Loewenstein, A. R. Kaufmann, S. V. Arnold: The Metals Beryllium, American Society for Metals, 1955, Ch. V «D», 241.
- [4] S. Creutz and D. Gurinsky: Metals Progress, No. 62, 82 (1952).

Co⁶⁰ 和 Au¹⁹⁸ 的 γ 射线在各种物质上的反照率

布拉托夫 (Б. П. Булатов) 加路索夫 (Е. А. Гарусов)

本文中实验地确定了 Co⁶⁰ (1.17; 1.33 兆电子伏) 和 Au¹⁹⁸ (0.410 兆电子伏) 的 γ 射线沿 0; 45 和 60° 角入射到各种物质上的能量反照率的绝对值。

反照率的大小与散射物质有效的原子序数和厚度的关系也进行了研究, 还确定了散射辐射强度的角分布和它的能谱组成。

实验中初级辐射的能流是用电离室和“仑琴 X-5”照相软片测定的。散射辐射的强度采用气体计数器测量, 这种气体计数器对于各种能量的 γ 光子, 实际上它的效率是常数。散射辐射的能谱成分由铅吸收法确定。

1. 测量方法

反照率的绝对值定义为总散射能流 J (兆电子伏/秒) 与入射在散射体表面上初级辐射的总能流 J_0 (兆电子伏/秒) 之比,

$$\eta = \frac{J}{J_0}.$$

图 1 就是进行实验的简图。

放射源放在铅准直器里, 放出的 γ 光子成一窄束射到散射体上。

准直器里装有 5 毫米厚的有机玻璃 (плексиглас)* 套筒; 盛放射源的小铝罐, 直径 5 毫米、高 10 毫米、壁厚 0.5 毫米, 就放在套筒里。准直器的形状由实验选择, 使得从出射阑片边缘散射的 γ 射线本底最小。作为散射物质的, 利用过碳、水、有机玻璃*、镁、铝、铁、铜、黄铜、镉、汞、铅、铋、铀、还有砖和木块。

散射物大小做成 65 × 65 厘米², 它放在与放射源相距 60 厘米的地方 (与准直器相隔 39 厘米)。

散射 γ 射线的能流密度 $J(\theta, \varphi)$ (兆电子伏/厘米²·秒), 随方位角 θ 和纬度角 φ 的变化, 利用探测器沿着一半球面上的移动来测量, 这球面的中心在入射辐射与散射体平面的交点, 球面半径取 15 厘米。

反散射的总能流 J 由 $J(\theta, \varphi)$ 沿整个半球面作数值积分确定。

初级 γ 射线束射在散射体表面上的束点直径和初级辐射的能流密度用仑琴射线底片“仑琴 X-5”和 КИД-1 剂量室来确定。仑琴射线底片和电离室经过放射性强度为 635 ± 5% 毫居里的 Co⁶⁰ 标准放射源刻度。

利用的直射 γ 射线束研究反照率时, 散射体表面入射位置上 γ 射线的束点直径等于 4.50 ± 0.05 厘米。

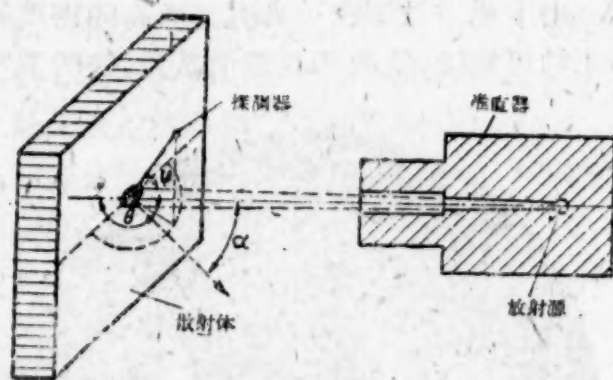


图 1 实验简图

α ——初级射束的入射角; θ 和 φ ——散射的方位角和纬度角。

* 多甲基丙烯酸树脂——译者。

进行斜束实验时,准直器内再嵌入一附加阑片,使束点直径减细到 2.38 ± 0.07 厘米(指直射条件时)。改变束线的入射角时,束点的直径正比于 $1/\cos\alpha$ 变化。

初级辐射的总能流依能流密度沿束点面积的积分确定。

测量散射辐射的探测器是一特殊设计的计数管^[1],主要部分就是 CTC-5 型的钢壁计数管(工作有效长度 65 毫米,直径 10 毫米,壁厚 58.5 毫克/厘米²)。计数管外面包上一个套,它是由 87 毫克/厘米² 厚的锡箔和 280 毫克/厘米² 厚的铅箔中间夹一层 1.5 毫米厚铝衬垫物组成的。

计数管对 γ 辐射能量的效率曲线示于图 2 上。

在测量散射辐射强度时,估计了在我們观察的立体角内散射光子的能谱组分,并且对能量 0.08—0.4 兆电子伏范围内探测器效率平均值的偏离进行了校正。散射 γ 光子的能谱依在铅中的吸收来确定的。

研究散射辐射强度的角分布,测量进行 $5-10^\circ$, 并且每一点的测量都进行 5—6 次,本底测量次数也一样多。

确定的反照率的绝对值总的误差 $\pm 15\%$ 。

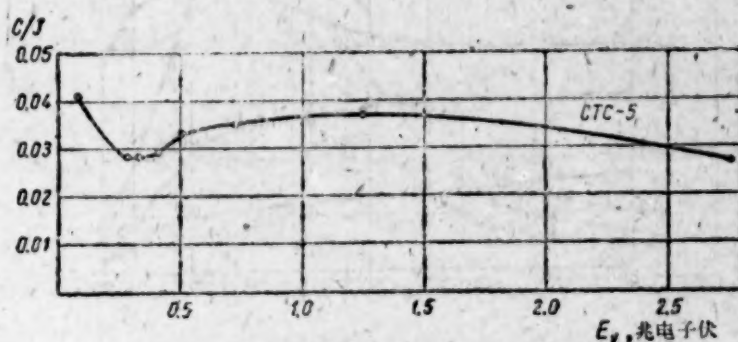


图 2 计数管效率与 γ 辐射能量的关系

II. 实验结果

测量 Co⁶⁰ γ 辐射在不同角度上散射辐射能谱组成的某些结果列在表 1 里。

表 1 散射 γ 辐射的能谱组分

散 射 物 质	碳		铝		铅	
散射角,度	135	105	160	105	135	105
一次散射光子的能量,千电子伏(理论值)	243	300	212	300	243	300
硬成分能量,千电子伏	$265 \pm 10\%$	$315 \pm 10\%$	$215 \pm 10\%$	$300 \pm 10\%$	$265 \pm 10\%$	$300 \pm 10\%$
软成分能量,千电子伏	$140 \pm 10\%$	$110 \pm 10\%$	$150 \pm 10\%$	$150 \pm 10\%$	$113 \pm 10\%$	$120 \pm 10\%$
软成分在总的剂量上的贡献, %	6.4 ± 0.6	3.0 ± 0.3	15.2 ± 1.5	5.3 ± 0.5	2.3 ± 0.2	2.1 ± 0.2

从所有计数率的对数与铅箔厚度关系得到的图线上看,散射辐射可以分成两部分:硬成分,它在能量上相当于一散射的;软成分,相当于多次散射的。对铅,软成分的强度不超过散射在我們观察的立体角内 γ 辐射强度的 3%;对轻物质,不超过 5—15%。

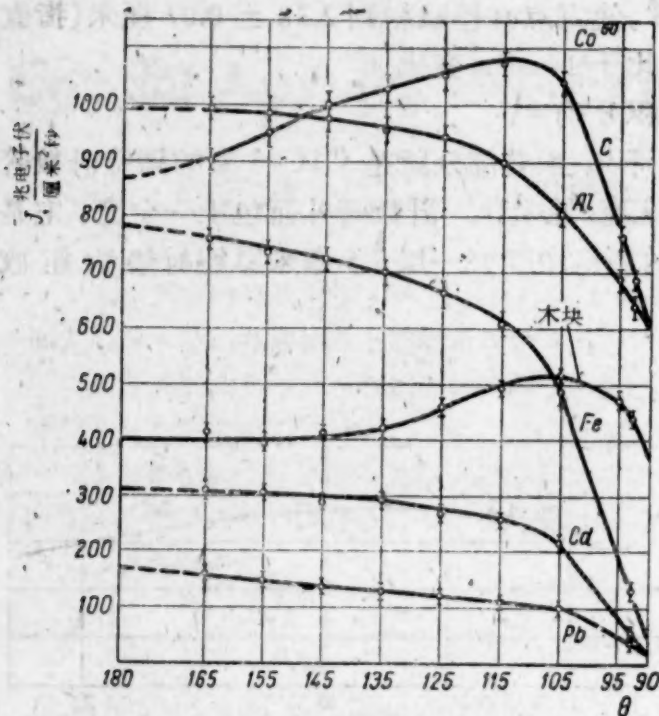
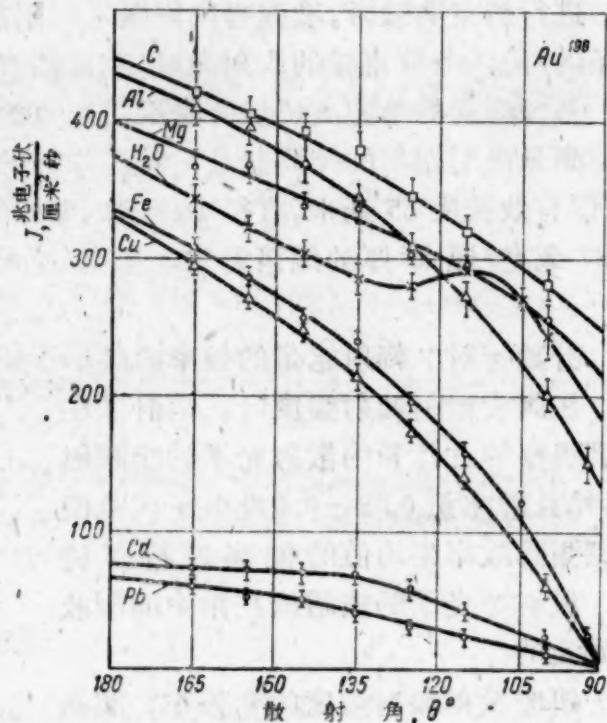
a) 初级射束正入射 测量 Co⁶⁰ 和 Au¹⁹⁸ 的 γ 射线在各种物质上反散射强度与散射角关系的結果表示在图 3 和图 4 中,散射体的厚度实际上已相当于“无限厚”的了。

图 5 上表示的是 Co⁶⁰ γ 辐射能量总反照率大小与散射体厚度关系的图线。

图 6 和图 7 表示出 Co⁶⁰ 和 Au¹⁹⁸ γ 辐射能量反照率的最大值随散射体有效原子序数变化的图线。

从图 5 可见:对重物质(铅)当厚度为 5—10 克/厘米² 时反照率达到最大值,这厚度相当于 Co⁶⁰ γ 光子在铅中 0.5—1.0 的自由程长度,对于轻物质(铝、有机玻璃、碳)只在 20—35 克/厘米² 厚度才达到最大值,也就是 1—2 自由程长度的厚度,这与文献[2],[3] 的数据是一致的。

能量反照率大小与散射体厚度关系的特征,可以用经验公式很好地描述:

图3 Co^{60} 的散射 γ 辐射强度与散射角的关系图4 Au^{198} 的散射 γ 辐射强度与散射角的关系

$$\eta(d) = \eta(\infty)(1 - e^{-d/a}) \quad (1)$$

其中 $\eta(\infty)$ 是“无限厚”散射体反照率的最大值； d 是散射体厚度，用克/厘米²表示； a 是常数。

对 $Z \leq 26$ 的物质，在 $\pm 15\%$ 界限内常数 a 等于这样的数值——10克/厘米²，也就是大约半个 Co^{60} γ 光子在这物质中的自由程长度。对铅 $a = 2.4$ 克/厘米²。

Co^{60} γ 辐射从 $Z_{\text{有效}} \geq 13$ 的物质上散射的强度随着散射角由 180 到 90° 变化而减小。在 180—135° 角范围内，减小得比较慢，而当散射角小过 135—125° 后，强度急剧地下降；对重散射体（铁、铜、铅）实际上已经降到零了；对铝，降到 180° 时强度的 50—60%。

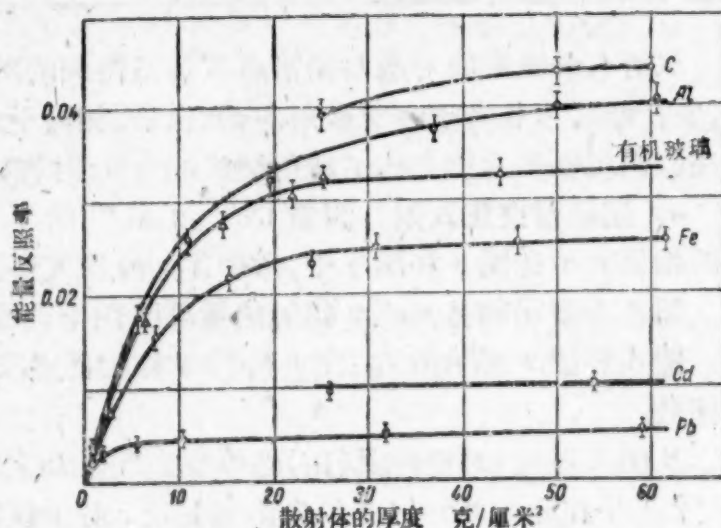
对 $Z < 13$ 的物质（碳、木块、有机玻璃），散射辐射的强度起先随着散射角减小而增加，而当散射角小过 110° 后才开始下降。

对于一薄层重散射物质（0.5—1.5 克/厘米²），散射辐射强度一样，起先上昇而后在散射角小于 105° 以后下降。这一点是这样解释的，虽然散射的机会随散射角减小而上昇

$$\frac{d_e \sigma_s(90^\circ)}{d\Omega} \bigg/ \frac{d_e \sigma_s(180^\circ)}{d\Omega} \approx 2^{[4]}, \quad (2)$$

但是散射以后，散射光子在物质中经过的路程也增长了，因此被吸收的机会，随散射体的 $Z_{\text{有效}}$ 愈大也就愈大。

Au^{198} 散射辐射的强度对除掉水和有机玻璃外所有物质皆随着散射角从 180 到 90° 的改变而单调减少。在碳和镁的情况下下降得比较慢，90° 散射角位置上辐射强度接近于散射角 180° 位置辐射强度的 50%。这关系对铝、铁和铜那样的散射元素表现得更加明显。从铝上反散射在 90° 角位置的辐射强度只有在 180° 角散射的强度的

图5 Co^{60} γ 辐射总能量反照率大小与散射体厚度的关系

33%。对铜和铁在 90° 角的散射辐射强度实际上已经降到零了。对重物质(铜、铅)到 140—135° 位置散射辐射强度改变很少,可是角度小过 135° 强度就很快地减少到零。

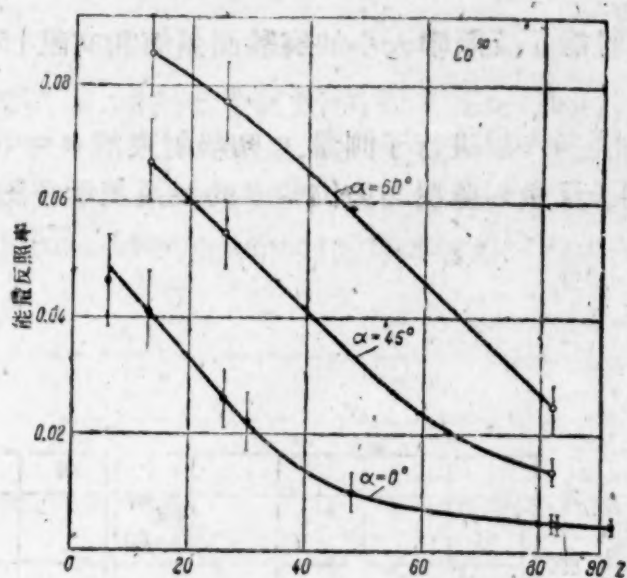


图 6 Co⁶⁰ γ 辐射反照率大小随散射物质有效原子序数 Z 变化的关系

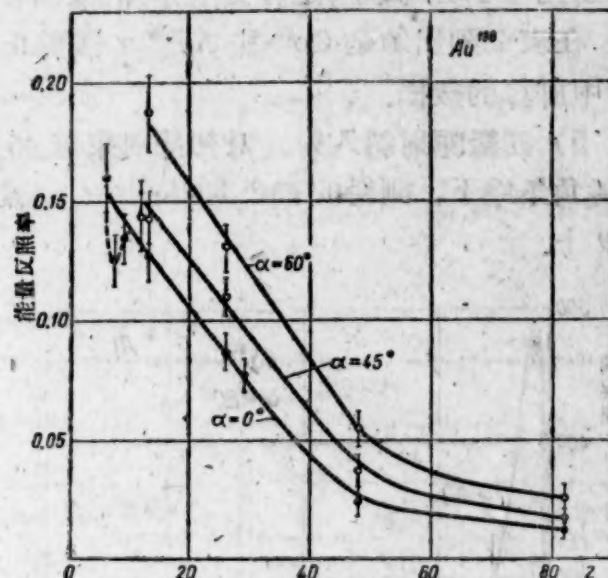


图 7 Au¹⁹⁸ γ 辐射反照率大小随散射物质有效原子序数 Z 变化的关系

Au¹⁹⁸ γ 辐射在水和有机玻璃上的散射强度,也就是从小 Z 物质和密度相当小的物质上的散射强度,随着散射角的减小而增强,散射角为 110—115° 时经过极大,而后下降到 90° 时接近于 180° 角位置强度的 50%。

从图 6 和 7 可以看出,Co⁶⁰ 和 Au¹⁹⁸ γ 辐射反照率的大小随散射物质有效原子序数的增加而减小,有平方反比关系。

在 Z 从 7 到 10 范围内,由于散射物质密度的影响引起的极小不很明显。对 Z 有效处于这个范围内密度比较小的物质(水、木块和有机玻璃),散射 γ 光子有效的放射源放得深一些,也就是距离探测器远一些,而对 Z 接近的——碳、镁和铝,但密度大一些的物质距离近一些。经相应

表 2 初级辐射正入射条件下 Co⁶⁰ 和 Au¹⁹⁸ γ 辐射的能量反照率

Co ⁶⁰						Au ¹⁹⁸				
散射物质	Z 有效	实验值	计 算 值			散射物质	Z 有效	实验值	计 算 值	
			[6]	[5]	公式(3) 计 算				[5]	公式(3) 计 算
碳	6	0.046	—	—	—	碳	6	0.16	—	—
有机玻璃	—	0.033	—	—	—	水	7.48	0.125	—	0.128
木块	—	0.023	—	—	—	有机玻璃	—	0.134	—	—
铝	13	0.041	0.044	0.041	0.041	镁	11	0.144	—	0.095
铁	26	0.026	0.028	—	0.029	铝	13	0.127	0.11	0.125
黄铜	29.5	0.022	—	—	0.025	铁	26	0.087	—	0.090
铜	48	0.010	—	—	0.009	铜	29	0.077	—	0.083
锡	50	—	0.011	—	—	镉	48	0.024	—	0.028
汞	80	0.0055	—	—	0.0054	铅	82	0.013	—	0.013
铅	82	0.005	0.002	—	0.004					
铋	83	0.0048	—	—	0.0036					
钍	92	0.0045	—	—	0.0056					
铀	—	0.035	—	—	—					

的几何修正后消除了极小。

对所有的物质,能量反照率的大小随着入射 γ 辐射的能量增加而减小。在 $\pm 12\%$ 的界限内,正比于 $1/E_\gamma$ 减小,这和文献[5]的数据相一致。

在表2列出的是 Co^{60} 和 Au^{198} γ 辐射正入射时能量反照率大小的实验测量值和文献[5]、[6]中计算的数据。

6) 初级辐射斜入射 对初级射束沿 45° 和 60° 角入射进行了测量。初级射束沿 $\alpha = 60^\circ$ 入射角条件下,测得的 Co^{60} 和 Au^{198} γ 射线从铝上反散射强度与方位角 θ 的关系表示在图8和9上。

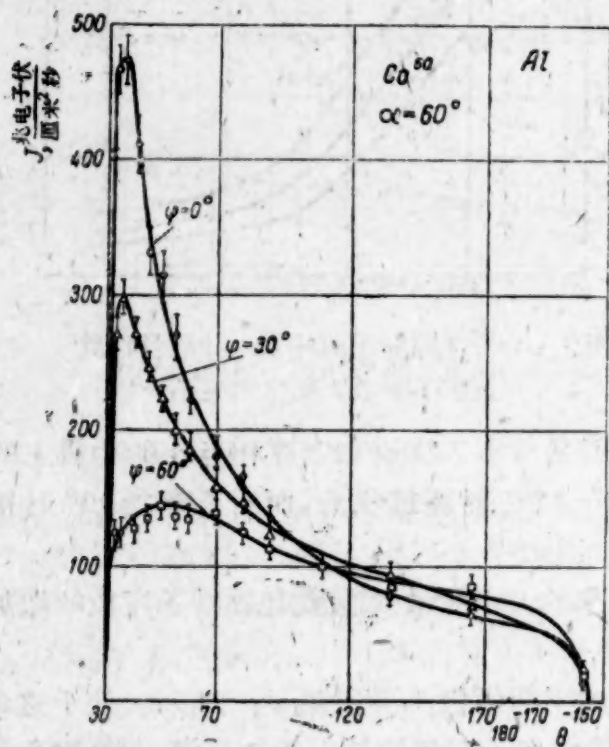


图8 初级射束入射角 $\alpha=60^\circ$ 时, Co^{60} γ 射线从铝上反散射强度与方位角 θ 的关系

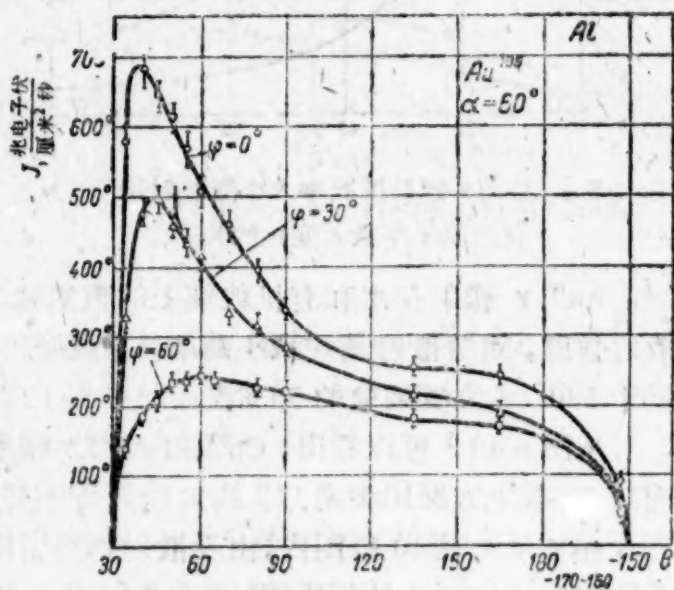


图9 初级射束入射角 $\alpha=60^\circ$ 时, Au^{198} γ 射线从铝上反散射强度与方位角 θ 的关系

对所有的物质,角度关系的曲线在小角度 θ 地方都有明显的极大。随着 θ 角度增大,散射辐射强度降到零。

随着极角 φ 增大,角分布的各向异性逐渐减少。在 $\varphi = 60^\circ$ 时,反散射辐射强度实际上已与方位角 θ 无关了。

当增大初级射束在散射体面上的入射角时,由于 γ 光子小角度散射占据优势,角分布的各向异性增强。各向异性还随散射物质原子序数减小而增强。

当初级 γ 辐射能量减小时,散射辐射强度的角分布按照康普顿散射理论趋向于各向同性。

在初级射束斜入射条件下,反散射辐射的强度与方位角 θ 关系的一般特征和[5]的理论结果相符合。

图6和7上表示了初级射束入射角等于 0° ; 45° 和 60° 角时 Co^{60} 和 Au^{198} γ 射线能量反照率大小随散射物质原子序数变化的图线。

从图上应该可以得出:对于所有物质随着初级射束入射角增大, γ 射线能量反照率增高。对 Co^{60} 和 Au^{198} γ 辐射,能量反照率大小的增高随入射角从 0° 到 60° 正比于 $1/\cos\alpha$ 增加,而与散射物质的原子序数无关。与这规律偏离不超过 $\pm 15\%$ 。只有 Co^{60} γ 辐射在铅上的反照率例外,偏差达到 $\pm 25\%$ 。在这情况下,反照率的大小正比于 $1/\cos^2\alpha$ 变化,偏差 $\pm 11\%$ 。

γ 輻射反照率大小与初級射束能量 E_r , 入射到散射体表面的入射角 α , 散射物質的有效原子序数 Z 和密度 ρ 之間的关系, 可以用經驗公式很好地表示

$$\eta(E_r, \alpha, Z, \rho) = 3.2 \frac{1}{E_r} \cdot \frac{1}{\cos \alpha} \cdot \frac{\rho}{Z^2} \pm 20\%, \quad (3)$$

其中 E_r 用兆电子伏表示, 而 ρ 用克/厘米³. 这公式对 $Z > 6$ 的物質可以应用.

計算得到的結果与文献[5]—[7]的理論計算沒有矛盾.

在表 3 中, 列举了 Co⁶⁰ 和 Au¹⁹⁸ γ 輻射在各种入射角时实验測量的和采用蒙特-卡洛方法 (метод Монте-Карло) 計算的能量反照率大小.

表 3. Co⁶⁰ 和 Au¹⁹⁸ γ 射綫的能量反照率

Co ⁶⁰							Au ¹⁹⁸					
散射物質	Z	能 量 反 照 率					散射物質	Z	能 量 反 照 率			
		实 驗		文献[5],[6]的数据					实 驗		[5]工作結果	
		45°	60°	45°	60°	80°			45°	60°	45°	60°
鋁	13	0.068	0.086	0.070 0.078	0.102 —	0.210 0.192	鋁	13	0.142	0.187	0.138	0.170
鉄	26	0.054	0.077	0.061	—	0.175	鉄	26	0.110	0.131	—	—
錳	48	—	—	0.038	—	0.141	錳	48	0.047	0.054	—	—
鉛	82	0.014	0.025	0.015	—	0.092	鉛	82	0.018	0.026	—	—

这一項工作是依兰普斯基(О. И. Лейпунский)教授的建議設置的, 作者对教授的科学指导致以真誠的感謝. 作者深深感謝布別恩(Н. Я. Бубен)和斯脫来尔柯夫(А. С. Стрелков)对我們工作的帮助和結果的討論.

譯自 Атомная энергия Том 5 (1958) Вып. 6, 631—637.

参 考 文 献

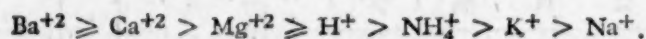
- [1] В. Н. Сахаров: *Атомная энергия* **3**, № 7, 61 (1957).
- [2] J. Percins: *J. Appl. Phys.* **26**, 1372 (1955).
- [3] J. Putman: *J. Scient. Instrum.* **32**, 394 (1955).
- [4] H. Johns, J. Langhlin: *Radiation Dosimetry*, Academic press Inc. Publishers, N. Y., 1956, p. 64.
- [5] J. Percins: *J. Appl. Phys.* **26**, 655 (1955).
- [6] E. Hayward, J. Hubbell: *Phys. Rev.* **93**, 955 (1954).
- [7] J. Corned, R. Liston: *Proc. Roy. Soc.* **203**, 323 (1950).

用胶岭石吸附放射性铯和用煅烧法 固定铯的规律性的研究

斯皮岑(Викт. И. Спицин)

哥拉莫夫(В. В. Грамов)

詳細地研究了用胶岭石吸附 $\text{Sr}^{89,90}$ 的条件。根据降低放射性铯吸收的本領, 可将不同的阳离子排成下列:



指出了, 用胶岭石吸附放射性铯具有离子交换的特性, 并且遵守质量定律。在溶液中含有与铯能生成难溶性盐的阴离子 CO_3^{-2} , SO_4^{-2} , CrO_4^{-2} 时, 不会改变吸附机构, 然而降低了放射性铯吸附的本領, 看来, 是由于形成了放射性胶体的緣故。

研究了在煅烧时用胶岭石土固定放射性铯的过程。在温度高于 $850-900^{\circ}$ 时煅烧并增加煅烧时间 1—2 小时以上并不影响固定放射性铯的程度。同时用河水和海水洗滌后放射性約 2%。

我們假定, 在結晶格子开始变化以前 ($T=800^{\circ}\text{C}$), 固定决定于铯和吸附剂形成少量可溶性的化学化合物。当温度高于 800°C 时, 这个过程决定于結晶格子的变化和矿物的逐渐玻璃化。

为了吸收铯的放射性同位素和其他碎片元素, 胶岭石是較好的天然吸附剂^[1, 2]。为了淨化各种含有放射性混合物的废水溶液, 将它予以推广是很合适的。

用胶岭石吸附微量的不同离子的机构我們不作詳細地研究。我們曾經作了吸收放射性 Sr^{90} 的研究工作, 从毒性这个角度来看, 它是碎片放射性同位素中最危險的一种。

为了进行工作, 曾采集了三个产地的胶岭土: 奥哥兰林 (A), 克里米亚 (B), 西哈薩克斯坦 (B)。

A 地的材料几乎是純粹的胶岭石, 含有少量的(小于 5%)晶石和云母混合物, 当淘洗的时候, 很容易将它们释出。

B 地的胶岭土(龙骨)含有大量的鈣和鎂的碳酸盐混合物。最后很容易用酸洗去。

B 地的材料是由大的顆粒組成。这便有可能选出几乎是純的胶岭土型的物质。

这些黏土的吸收本領是相同的并且約略等于 1 毫克当量/克。

放射性铯的吸附

經過适当的加工处理^[3]和淘洗以后可以得到均匀粉末形的吸附剂, 顆粒的綫度等于 0.01 毫米或者更小一些。

使 10—15% 的溶液多次振盪, 吸附剂盐就变为不同的阳离子形。在用蒸餾水冲洗以后并在温度 80° 的条件下干燥到风干状态就准备工作。用这个方法就得到了 H^{+} , Na , K , NH_4 , Ca , Mg , Ba , Al , Fe 形的吸附剂。

将微量铯引入到系統中, 在靜止的条件下研究了取决于溶液成分的吸附剂-溶液系統。

铯在吸附剂和溶液之間的分佈係数 η 可以用下式表示^[4]:

* 为了轉入 H-形, 吸附剂曾和 4% 的 HCl 溶液一起搖盪。

$$\eta = \frac{V \cdot C_{Me} \cdot 100}{V \cdot C_{Me} + q_{Me}}, \quad (1)$$

这里, V 是溶液的体积, C_{Me} 是离子在溶液中的平衡浓度, q_{Me} 是悬浮吸附剂的被吸收离子的量。

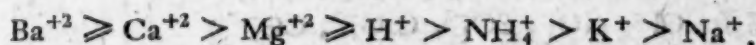
在小烧杯内放一克的吸附剂和 50 毫升的溶液, 其中含有放射性铯和与吸附剂的类型相应的不同量的阳离子的氯化物。在接近平衡以前就将烧杯振动, 此后, 取出样品以便测量。全部结果, 是当相同的起始强度时得到的: 2×10^{-2} 毫居里/升和 $pH = 7-8$ 。溶液的离子强度在 0.2 到 0.002 之间变动。

取决于溶液成分的这三种吸附剂的分布系数 η 的变化具有一般的特点。因此我们仅只引用了奥哥兰林的混凝土的资料。在图 1 内纵轴表示 η 值的百分数, 横轴表示溶液的浓度。

各种阳离子的吸收过程决定于许多因素: 吸附剂的性质, 溶液的成分, 阳离子的特点和首先是阳离子的电荷。

由图 1 可以得出结论, 随着原子价的增加和有放射性铯的蒸汽中的水化物离子半径的减少; 而使最后的吸附作用减小。

因而, 根据阳离子将铯从胶岭石中取代出的本领可以将它们作如下的排列:



对于 Sr-Fe, Sr-Al 系的结果不应该和单价或双价阳离子的资料相比较, 因为当得到 Fe-和 Al-形吸附剂时及当进行吸附实验时 pH 的值等于 2。

从文献中可见, 用胶岭石吸附放射性是以离子交换机构进行的^[5-7], 并且可用尼柯里斯基(Никольский)^[5]公式来描述

$$\frac{q_2}{q_1} = K \frac{a_2^{\frac{1}{z_2}}}{a_1^{\frac{1}{z_1}}} \quad (2)$$

这里, q 是离子的吸附量(毫克当量/克), a 是离子的平衡活度(毫克当量/毫升), K 是离子交换吸附常数, z 是离子的原子价。

由尼柯里斯基^[5], 安季帕娃-卡拉塔也夫^[6]和其他研究人员的工作可以得出结论, 规律性(2)适用于有不均匀的交换羣的物质。这种情况显然可以用这一点来解释: 均匀的交换羣(段)在这种吸附剂中占优势并且决定了过程的机构。

为了阐明吸收微量铯是否遵守方程式(2), 我们将方程式(1)和(2)进行若干变换。同时得到如下的表式:

$$\eta = \frac{1}{1 + K_s/a_2^{1/z_2}}, \quad (3)$$

这里

$$K_s = \frac{1}{V} (S^{1/z_2}/K)^{z_1},$$

K 是方程式(2)的常数, S 是吸附剂的容量(毫克当量/克)。

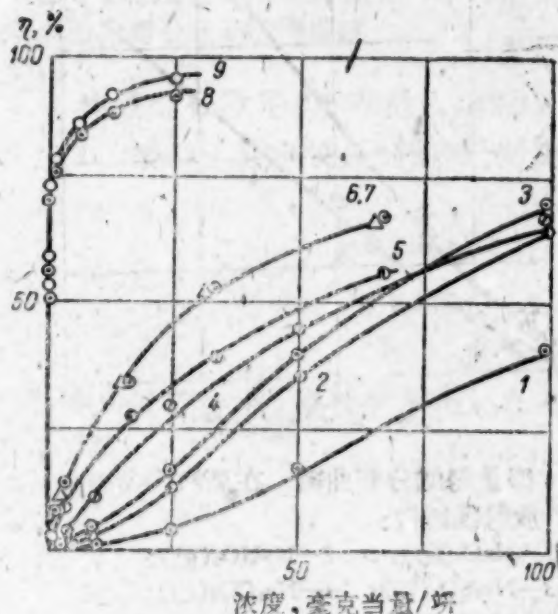


图 1 微量铯在溶液和吸附剂之间的分布曲线, 实验中存在阳离子:

- 1— Na^+ (○); 2— K^+ (●); 3— NH_4^+ (○);
4— H^+ (○); 5— Mg^{+2} (●); 6— Ca^{+2} (○);
7— Ba^{+2} (△); 8— Fe^{+3} (○); 9— Al^{+3} (○)。

方程式(3)可以用不同的曲线来图示其与参数以及比例 $z_1:z_2$ 的关系。详细的计算在文献[4]内已讲过了。脚码 1 总是指微量铯,脚码 2 是指附加的大量离子,在方程式(3)中 η 以分数表示。将方程式取对数我们得到,

$$\lg\left(\frac{1}{\eta} - 1\right) = \lg K_s - \frac{z_1}{z_2} \lg a_2. \quad (4)$$

将 $\lg\left(\frac{1}{\eta} - 1\right)$ 和 $\lg a$ 的值画成坐标图以后,我们就得到一条直线,这个直线的斜率决定于每一种离子蒸汽电荷之比。

对于铯蒸汽——单价阳离子,斜率是 2,对铯蒸汽——二价离子,斜率是 1。

由图 2 显然可见,所有阳离子的性能很好地符合于方程式(2),并且由它能导出方程式(4)。氢离子是例外(在图 2 里没有画上它的曲线)。这种情况可以用 H^+ 离子影响到吸附剂的表面电荷,亦即使交换羣的作用改变来解释。

从所得到的实验资料(它和尼柯里斯基方程相合)可以得出结论,用胶岭石吸收微量铯是离子交换的过程,即放射性铯的行为原则上和大量铯没有差别。

应用上述结论和方法以后,我们就提出一个实验以解释在吸收放射性铯中与铯形成难以溶解的化合物的阴离子的影响。我们曾经对胶岭土系(图 3)——放射性铯——溶液 NaX 作了研究,其中 X 是阴离子: Cl^- , NO_3^- , SO_4^{2-} , CrO_4^{2-} , CO_3^{2-} 。

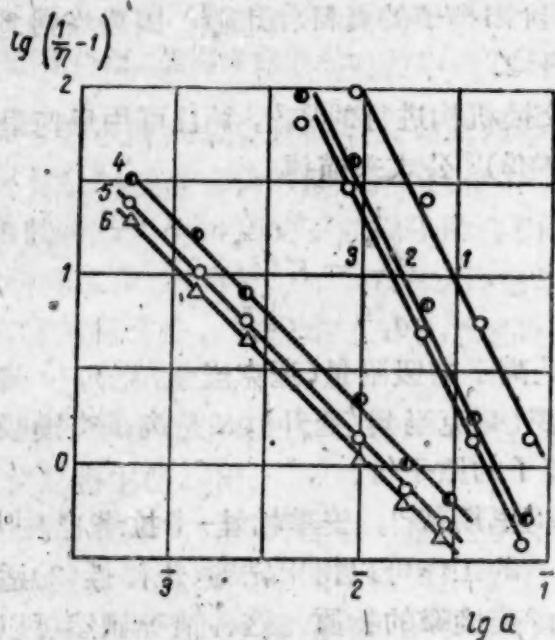


图 2 当有阳离子:

1— Na^+ (○); 2— K^+ (●); 3— NH_4^+ (○);
4— Mg^{2+} (●); 5— Ca^{2+} (○); 6— Ba^{2+} (△)
时,微量铯在溶液和吸附剂之间计算的分布等温线。

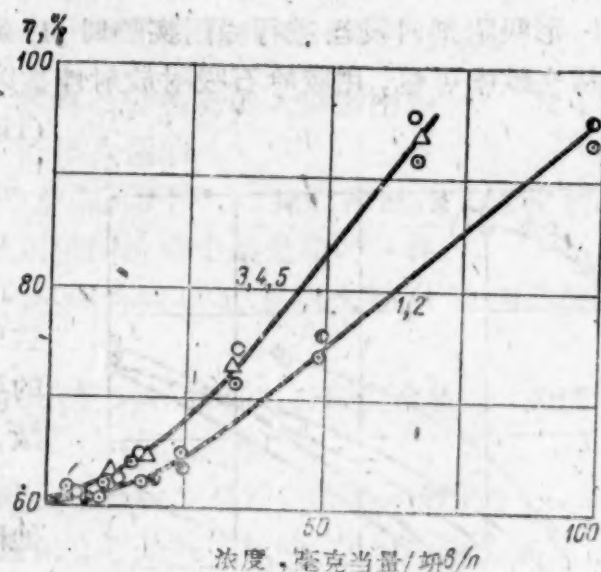


图 3 微量铯的分布曲线。在蒸汽内含有放射性铯盐:

1— $NaCl$ (○); 2— $NaNO_3$ (●);
3— Na_2SO_4 (○); 4— Na_2CO_3 (○);
5— Na_2CrO_4 (△)。

分析了图 3 以后就可以得出结论,存在能够和铯形成难溶性的化合物的阴离子时,就使得吸收铯的本领降低。这是由于,阴离子 SO_4^{2-} , CrO_4^{2-} , CO_3^{2-} 和微量铯形成了放射性胶体,这可以用渗析表示出来。从图 4 可见,方程式(4)的直线关系仍然保持着,因为,放射性胶体的相对量随着阴离子浓度的增加,显然是个常数。

比较图 2 和图 4 可以得出结论,微量铯的行为不因阴离子的性质有所改变,并且在这种情况下,也能很好的用方程式(2)来描述。

上述结论,与文献[8]相矛盾,那儿曾经观察到,当形成难溶性化合物时,用土壤吸附微量

锶的增加。这种现象是可以解释的：吸附剂没有预先变成相应的阳离子形状。通常，天然离子交换剂在吸收的情况下包含钙和镁的离子。排除在锶蒸汽中它的离子使得钙和镁的难溶性盐降低，解释了在该实验中微量锶捕获的提高。

在我们安排的实验中未将吸收剂预先加工，在有能形成难溶性盐及锶的阴离子时实际观察到 $\text{Sr}^{89,90}$ 的捕获有增加。

放射性锶的固定

胶岭石土的离子交换本领，由于煅烧的结果将大大地减少^[9, 10]。因为胶岭石的结构只保持到温度 $700-900^\circ$ ^[7, 11]，某些作者^[9, 10, 12]假设：被该矿石吸收的离子的交换本领的损失是与在矽酸盐层内决定交换的离子羣表面的迁移率有关系的。

在 915° 时^[13]煅烧含有裂变产物的胶岭石土以后海水浸析出仅仅近于吸收的放射性的 0.2%。假如在 1200° 以及更高的温度下进行这过程时，那么胶岭石就玻璃化并更强烈地固定吸收了放射性元素^[2, 4-16]。

然而在文献中尚缺乏固定象锶这种重要的放射性元素的资料，因此在本文中对此问题作了专门的研究。放射性锶由上述产地的胶岭石从强烈搅拌的含 1.8×10^{-3} 居里/升无载体 $\text{Sr}^{89,90}$ 的蒸馏水中吸收。当达到平衡以后用离心法将吸附剂从溶液中分离并用重蒸馏水冲洗。然后将吸附了放射性锶的胶岭石放在马弗炉内在温度 $600, 850$ 及 1200° 时煅烧并粉化到小于 0.05 毫米的粒子。在计算时要考虑到煅烧后吸附剂重量的改变。

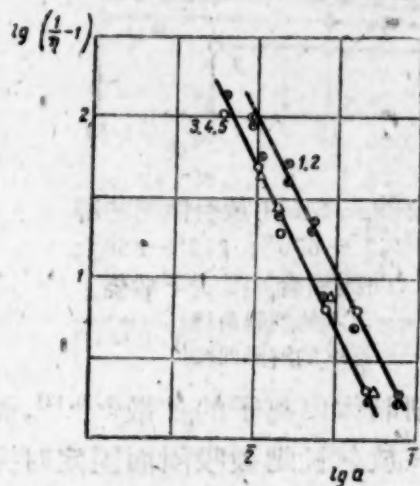


图4 当有阴离子时计算的微量锶分布的等温曲线

称胶岭石样品 0.5 克放入烧瓶中，烧瓶内装 50 毫升的两类溶液^[17]：

1. 接近于河水成分的溶液，阳离子浓度(毫克/升)是：

Ca^{+2} —67.2;	Mg^{+2} —17.4;
$\text{K}^{+} + \text{Na}^{+}$ —15.4;	Cl^{-} —6.5;
SO_4^{-2} —26.6;	CO_3^{-2} —66.9;
$\text{pH} = 8.9$.	

2. 近于海水*成分的溶液，阳离子浓度(百分重量, 克%)是：

Ca^{+2} —0.041;	Mg^{+2} —0.14;
Na^{+} —1.06;	K^{+} —0.038;
Br^{-1} —0.0065;	Sr^{+2} —0.0013;
F^{-} —0.0001;	Si —0.00005;
Cl^{-} —1.89;	$\text{pH} = 8.9$.

摇动烧瓶直到看不到放射性锶再倒到液体中去。要 2 天到 6 天才达到平衡。用 β 计数管记录 $\text{Sr}^{89,90}$ 的 β 辐射，要考虑到由 Sr^{90} 生成的子体 Y^{90} 。实验数据如图 5, 6, 7 所示。

从图 5, 6, 7 得到放射性锶的固定过程基本上在 $800-900^\circ$ 时就结束了。被河水洗走的放射性锶的数量对于所有三种吸附剂来说都达到 2%。或其放射性约 10^{-3} 毫居里/升，而以海水洗达到 2.6%。提高煅烧温度到 1200° 显然不增加放射性锶的固定性。

* 仅仅只要按阳离子模拟出海水的成分，其中阳离子数量不小于 0.1 毫克/升。

很明显,反映放射性铯被不同解吸溶液洗净曲线的相互近似与固定过程的完成有关。几乎所有的离子都失去了交换能力,而因此溶液浓度的变化不影响到铯的解吸作用。

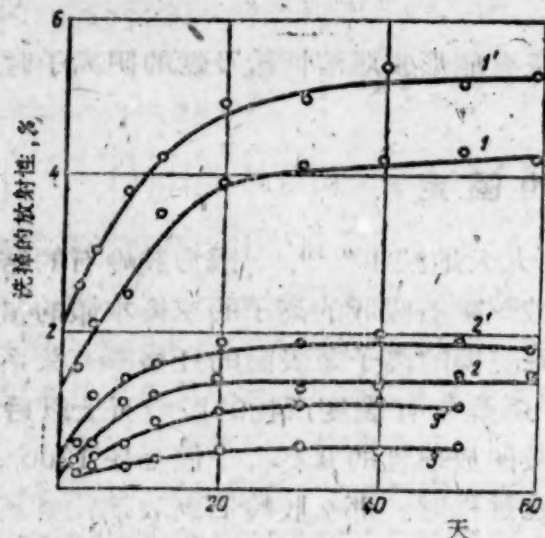


图5 从奥哥兰林的斑脱土中放射性铯的解吸作用。该土在1,1'—600°C; 2,2'—850°C; 3,3'—1200°C温度下煅烧
无撇的数字——河水的解吸曲线;
有撇的数字——海水的解吸曲线。

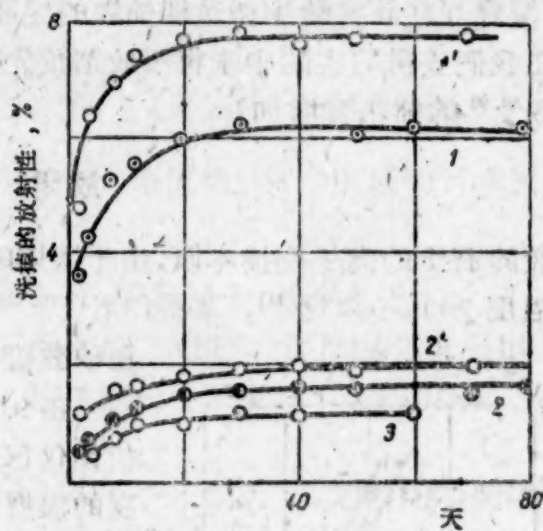


图6 从克里米亚的基尔土中放射性铯的解吸。该土在: 1,1'—600°C; 2,2'—850°C; 3,3'—1200°C(曲线相合)温度下煅烧
无撇的数字——河水的解吸曲线;
有撇的数字——海水的解吸曲线。

在煅烧时阳离子被胶岭石固定可以解释为不仅是由于吸收剂晶体内离子的扩散^[9,10,12],而且是由于阳离子与吸附剂以坚固的化学键形成化合物。例如,在放射性铯被吸附而固定时完全可能结合成尖晶石类化合物^[18]。

应用数量足以使肉眼觉察到的铯以X射线照相方法尝试企图发现这化合物,得到的结果却不是单值的,并且过程的全部特点是:以两种观点都令人满意地解释了随着温度增加固定性

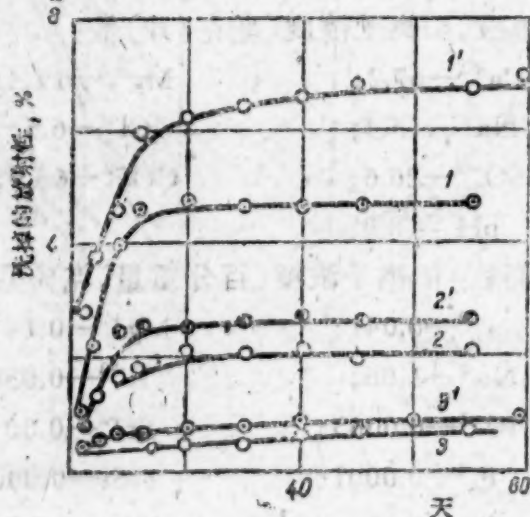


图7 从西哈萨克斯坦胶岭石中放射性铯的解吸。胶岭石在1,1'—600°C; 2,2'—840°C; 3,3'—1000°C温度下煅烧
无撇的数字——河水的解吸曲线;
有撇的数字——海水的解吸曲线。

程度增加,解吸溶液浓度的影响等,因此也不能阐明该现象的机构。然而在我们看来,是有方法检验关于阳离子与吸附剂结合成化合物的假设。

众所周知,扩散是随时进行着的,假如这时扩散过程起决定性作用,那就应当期望在其它

相同条件下根据吸附剂煅烧时间 $\text{Sr}^{90,99}$ 的固定程度有增加。在表中引入了研究煅烧时间对放射性铯固定的实验结果,由此得出煅烧时间根本不影响放射性铯的固定程度。因此可以认为在煅烧时放射性铯固定过程中,至少在胶岭石晶格开始改变以前(在 $800-850^\circ\text{C}$ 时^[19])起决定性作用是吸附剂及被吸附的阳离子之间以强化学键结合成化合物。

以海水解吸放射性铯(在 760°C 时煅烧以胶岭石固定的放射性铯)

加工时间, 天	被冲洗的放射性量, %					
	奥哥兰林的斑脱土煅烧的时间, 小时			克里米亚的基尔石煅烧的时间, 小时		
	1	3	10	1	3	10
2	0.98	1.19	1.10	0.94	1.25	1.13
4	1.23	1.33	1.31	1.39	1.42	1.45
6	1.57	1.49	1.48	1.57	1.49	1.62
12	1.48	1.56	1.57	1.93	1.98	2.03
19	1.60	1.64	1.61	2.66	2.57	2.61
26	1.69	1.63	1.66	2.77	2.84	2.90
32	1.86	1.62	1.68	3.02	2.96	2.83
40	1.81	1.70	1.66	2.91	3.00	2.85

在胶岭石晶格中开始变化后固定过程就决定于阳离子的迁移或晶体内表面部分的迁移。

译自 Атомная энергия Том 5 (1958) Вып. 4, 446—452.

参 考 文 献

- [1] W. J. Lacy: *Industr. Engng. Chem.* **46**, 1061 (1954).
- [2] C. B. Amphlett: *J. Appl. Chem.* **6**, 10, ii—266 (abstracts), 1956.
- [3] Л. М. Васильев: Основы современной методики и техники лабораторных определений физических свойств грунтов. Гос. изд. литературы по строительству и архитектуре, М., 1958.
- [4] С. Ю. Еловяч, Л. Г. Кузьмина: Коллоид. ж. **XVIII**, № 3, 268, 1956.
- [5] Б. П. Никольский, В. И. Парамонова: *Успехи химии* **VIII**, вып. 10, 1535 (1939).
- [6] И. Н. Антипов-Каратаев и др: Коллоид. ж. **X**, № 2, 73 (1948).
- [7] Р. Е. Грым: Минералогия глин. Изд. ИЛ, 1956.
- [8] J. R. Henry: *Nucl. Sci. Abstrs* **10**, № 9, 3183 (1956).
- [9] U. Hofmann, I. Endell: *Angew. Chemie* **52**, № 56, 708 (1939).
- [10] U. Hofmann, R. Klemen: *Z. anorgan. und allgem. Chem.* **262**, № 1—5, 95—99 (1950).
- [11] Д. С. Белякин, В. П. Иванова: *ДАН СССР* **XVIII**, № 4—5, 279—289 (1938).
- [12] R. Greene-Kelly: *Mineral. Mag.* **XXX**, № 228, 604—615 (1955).
- [13] L. P. Hatch, W. H. Regan, B. Manowitz, F. Hittman: *Proc. Intern. Conf. Peaceful Uses Atomic Energy*, Geneva, 1955, U. N., N. Y., v. 9, p. 648.
- [14] W. S. Ginell, J. J. Martin: *Nucleonics* **12**, № 12, 14—18 (1954).
- [15] J. K. Grover: *Chem. Age* **77**, 1968, 556 (1957).
- [16] C. B. Amphlett: *Energia nucl.* **1**, № 2, 80 (1957).
- [17] В. И. Перельман: Краткий справочник химика. Гос. научно-техн. изд. химической литературы, стр. 316, 1956.
- [18] П. П. Будников, А. С. Бережной: *Успехи химии* **17**, № 5, 585 (1948).
- [19] Н. И. Горбунов, И. Г. Цюрупа, Е. А. Шурыгин: Рентгенограммы, термограммы и кривые обезвоживания минералов, встречающихся в почвах и глинах. Изд. АН СССР, 1952.

天然产状中放射性矿石的定量辐射测量*

沙什金 (В. Л. Пашкин)

报 导 I

天然产状中——直接在山地坑道工作面中或钻孔中进行的放射性矿石的 γ 射线测量可以使得在沒有取样和沒有化学分析的情况下确定矿石中放射性元素的含量。

γ 射线定量测量的准确程度在很大程度上是取决于所测 γ 射线之能谱成份的正确计算。放射性矿石 γ 射线的能谱是由射线分散作用决定,并与矿石成份有关。已记录的矿层的 γ 射线强度与计数管阴极的材料有关(钨质、铜质、石墨质),这是由于计数管的能谱灵敏度的差别所致。用不同阴极组成的盖革计数管测量的 γ 射线强度的对比可说明矿石 γ 射线的能谱成份。

为了用统一单位——微伦/小时表示测量结果,辐射仪必须要用正确的标准源进行标定,但用标定方法也不能除去辐射仪读数与计数管能谱灵敏度的关系。

本文中确定了在含矿层表面和钻孔中进行测量时所应用的 γ 射线强度与矿石中放射性元素含量有关的换算系数(见表)。在钻孔中进行测量时低能的反散射 γ 射线有着极重要的意义。

借助于这些系数,根据计数管的读数就可计算出矿石中放射性元素的含量。

近年来 γ 方法的发展引起了对放射性取样和 γ 测井方法的研究,这些方法是根据在天然产状中对矿石 γ 射线的测量来确定放射性元素的含量,其准确程度达一般的取样测量。在铀矿床的勘探和开采中这些方法获得了广泛的应用。

对放射性矿石和岩石在天然产状中进行测量的一般原则以及 γ 测井的方法和操作在文献[1]、[2]中有详尽的阐述。放射性取样方法和 γ 测井结果的定量解释直到目前为止还未曾有过叙述。

穿过物质产生 γ 射线的理论许多国外学者都进行了详细研究^{[3]-[5]},但是这些研究在定量辐射测量应用中的进一步发展都是首次在本论文中进行阐述。

γ 射线定量测量的物理基础

主要经验 大块铀矿石和钍矿石的 γ 射线的能谱成份不是由原生 γ 射线多少确定,而是由原生 γ 量子在岩石本身内多次散射过程中形成的散射 γ 射线的多少来确定的。来自点放射源的 γ 射线通过很厚的分散物质层时所发生的 γ 射线的散射过程有许多作者进行了详细研究^{[3]-[5]}。

1951—1952年作者舍尔科夫(Е. Е. Щелков)指出了在进行定量 γ 测量时计算在岩石本身中放射性 γ 射线散射的必要性。散射决定放射性岩石 γ 射线的能谱成份,因而也决定用各种类型的计数管记录下来的 γ 射线的强度。

用套在计数管筒上的圆柱状铅罩来减弱 γ 射线的实验可求出放射性矿石 γ 射线能谱成份的定性特点。

γ 射线的能谱成份复杂时,用各种类型计数管记录下来的 γ 射线强度与这些计数管的能谱灵敏度有关:计数管阴极物质的原子序数愈高,对低能 γ 量子的灵敏度也就愈大^[6]。在能量

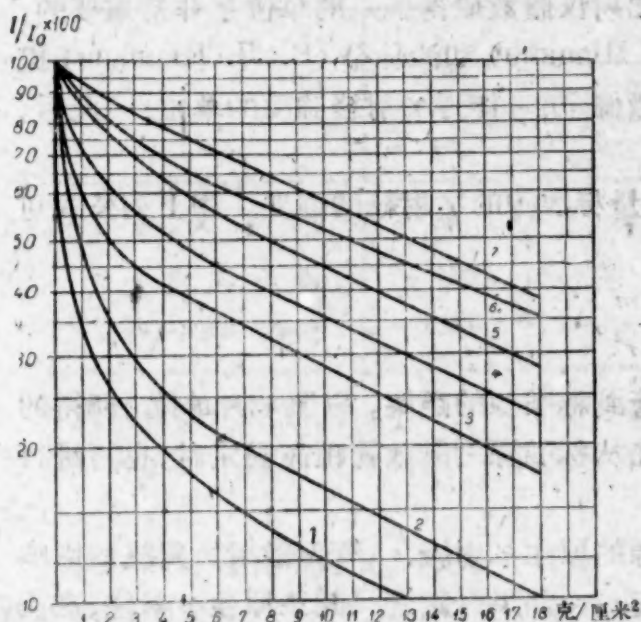
* 原书有六张彩色插图。

强的部分(大于1兆电子伏),大多数计数管的灵敏度与 γ 量子的能量大致成比例。

表中所列的减弱曲线是用有铝管保护的三种类型的充气计数管在铀矿石层的模型中测出的。BC型计数管的阴极是由钨制成,MC——铜,ГC——石墨。

在用对软 γ 射线感应非常灵敏的BC计数管进行测量时,因被铅罩(大约2克/平方公分)吸收使 γ 射线很显著地减弱,这就说明在矿层的 γ 射线能谱中有许多软组份,这些软组份几乎完全被这个铅罩所吸收。在用MC计数管测量的曲线表中也显出了软 γ 射线的影响,但在用ГC计数管测量的图表中几乎显示不出。比较这些资料 and 计数管能谱灵敏度,可以说明:上述软 γ 射线的能量小于0.2兆电子伏^[6]。

无限大岩层* γ 射线的能谱成份与岩石的平均原子序数有关。这一点从用BC和MC计数管在矽酸盐岩石上和少灰份的煤炭上所测的减弱曲线中就可看出。在煤中和在原子序不大的介质中一样,散射 γ 射线的软组份相当发达。用ГC计数管测量时,在这些岩石上测出的 γ 射线减弱曲线中的差别就消失了。这说明 γ 射线坚硬部分的能谱成份是一样的。



在圆柱形铅罩中用各种计数管测定铀矿层的 γ 射线减弱曲线表。铝管厚1公厘。

1—BC计数管,含灰份16%的煤; 2—BC计数管,矽酸盐; 3—MC计数管,含灰份16%的煤; 4—MC计数管,矽酸盐; 5—ГC计数管,煤和矽酸盐; 6—MC计数管,被屏蔽的点状镭放射源; 7—ГC计数管,被屏蔽的点状镭放射源。

在测量含铀煤时,4克/厘米²厚的铅吸收的软 γ 射线占用BC计数管测定的 γ 射线总强度的76%,在测量矽酸盐岩石时占69%。用MC计数管测量时,同一类软 γ 射线在测煤时占49%,在测矽酸盐岩石时占35%。在用ГC计数管测量的能谱中软 γ 射线一共占23%,与岩石的性质无关。

因此,在具不同平均原子序的岩石中 γ 射线散射的差别仅表现于散射 γ 射线能谱中的软部分。

无限大岩层 γ 射线能谱的理论分析 铀矿石和钍矿石的无限大岩层的 γ 射线能谱在理论上是于1954年由沃斯科波依尼科夫(Г. М. Воскобойников)研究出的。他证明了,散射 γ 射线的强度随分散介质原子序数的增加而迅速减少。在介质的原子序数增加时,对散射 γ 射线总强度有影响的散射 γ 射线值的量逐次减低,这显然是与光电吸收作用的增加有关。

在原子序数不大的(29以下)介质中,散射 γ 射线的能谱强度只有在低能量子的较窄部分(花岗岩从0.05到0.3百万电子伏,煤从0.025到0.25百万电子伏)才能达到很高的数值,在这里它为具有强能量的散射 γ 射线能谱强度的10—20倍。

具有不到0.5兆电子伏量子能量的软散射 γ 射线的能谱分配和强度实际上与0.5兆电子伏以上的量子能量的硬原生射线的能谱成份无关。另一方面对原子序近于29以下的介质来说,实际上可以认为能量大于0.25兆电子伏的散射硬 γ 射线的能谱强度与介质的原子序数无关;对原子序数大的介质来说硬散射 γ 射线的强度随原子序数的增加而减弱。

散射 γ 射线的理论分析,可以作出铀和钍的无限大岩层的 γ 射线能谱的定性特点。

* 当放射性岩层面积的增加不能引起被测定的 γ 射线强度的增加时,这放射性岩层对 γ 射线来说是无限大的。

这些岩层的能量在 0.5 兆电子伏以上的硬 γ 射线为强度较小的散射 γ 射线的连续能谱; 在此能谱中明显地分出了原生 γ 射线的强度线。硬 γ 射线的强度和能谱成份, 除了极富的铀矿石或钍矿石(含量大致在 7% 以上者)之外, 一般与岩石的成份无关。在能谱的此部分中完全保留了铀系和钍系原生 γ 射线中的区别。

在能量 0.5 兆电子伏以下的软 γ 射线部分中, 散射 γ 射线的强度随量子能量的减小迅速增大, 而且原生 γ 射线的单色线在连续能谱上也完全消失。此部分的 γ 射线强度和能谱分配实际上与原生 γ 射线的成份无关, 对铀矿石和钍矿石来说都是一样的。

从此得出结论, 除了极富的铀矿石和钍矿石之外, 对所有的岩石来说, 与岩石成份有关的 γ 射线强度的变化实际上完全是由于小于 0.25 兆电子伏量子能量的软 γ 射线本身强度的变化而产生的。从而得出一个非常重要的结论: 在用对软 γ 射线灵敏度小的计数管(ГС型)或用带有由多原子序数材料制成的防止软 γ 射线的厚套管的计数管进行测量时, γ 射线的强度与散射岩层的成份无关。

辐射仪的标定 为了进行定量 γ 射线分析, 辐射仪读数取得统一的单位是非常重要的。1947 年巴拉诺夫(В. И. Баранов), 沙茨金(К. А. Шацкий)和沙什金(В. Л. Шашкин)提出了用点状镭标准源标定辐射仪的方法, 并采用了微伦/小时作为 γ 射线强度的单位。此后, 这种标定方法也为美国的物探人员所采用^[2]。

辐射仪标定是在标准源离计数管不同距离时测量标准源的 γ 射线的强度。用下列公式可求出该距离处的 γ 射线强度。

$$I = 8.5 \times 10^9 \frac{m}{r^2},$$

m —标准源中以克为单位的镭的含量, r —从计数管到标准源的距离, 以厘米为单位; 所得的系数为镭的 γ 常数, 以 1 伦/小时克厘米²来表示。在从标准源到计数管距离固定时, 也可进行标定, 但是需要改变标准源的强度。

标定的条件是, 进行标定的计数管只记录标准源的原生 γ 射线。有无散射 γ 射线的影响可用在圆柱形铅罩内屏蔽计数管和标准源的方法检查。如果计数管只记录原生 γ 射线, 那么在屏蔽计数管和标准源时所测的减弱曲线是相符合的。当散射 γ 射线有显著影响时, 在屏蔽计数管时所测的减弱曲线就会示出较软的 γ 射线。

由于计数管的阴极是由不同材料制成的, 其能谱性质也各所不同, 因此它们对镭标准源 γ 射线的灵敏程度也就各不相同。于是, 用厚 1 毫米的铅套管和同样大小计数管, 量 1 个微伦/小时的强度能得: BC 计数管——4—9.9 脉冲/分钟; MC——4—4.7 脉冲/分钟, ГС——4—5.3 脉冲/分钟。

标准源的 γ 射线和天然产状中的放射性矿石的 γ 射线在能谱成份上有所差别。由于这种差别的存在, 用不同类型的计数管, 或用同一类型的计数管, 但辐射仪的套管厚度不同去测量岩层的 γ 射线强度, 所得到的用微伦/小时表示的数值也不相同。因此辐射仪的标定只是提供一个用统一单位——微伦/小时表示辐射仪读数的方便方法, 这个单位在此种情况下是假定的, 而不是 γ 射线强度的绝对单位。

根据用具有各种能谱灵敏度的计数管所测的 γ 射线强度结果的比例关系可得出被测 γ 射线能谱成份的定性特点。对镭标准源 γ 射线的能谱成份来说, 以微伦/小时表示的所有类型计数管的读数都算作一样。在测量含其他能谱成份的 γ 射线时, 以微伦/小时表示的 BC 和 MC 或 MC 和 ГС型计数管所测的强度比例愈大, 这说明在所测射线中的软组份就愈多。这个比例, 有时把它假定为能谱比例, 可作为放射性岩石 γ 射线的特性。

无限大的和半无限大的铀矿层的 γ 射线 在层向和厚度为无限大的(半无限大矿层)铀矿层表面,或在无限大矿层的内部(无限大矿层)所测的 γ 射线强度与和蜕变产物成放射性平衡的铀含量之间的比例关系,对放射性岩石 γ 射线的定量辐射测量有着很大的意义。这些比例和矿石成份、计数管阴极材料及辐射仪套管厚度的关系也有着重要的意义。

表中所列无限大和半无限大矿层系数的平均值是0.01%的平衡铀含量的微伦/小时值,这是在模型中用实验方法求得的,此模型是一个装满具已知铀含量的碎矿石的箱子。在研究实验材料时考虑了矿石丢掉的氢;而在有些实验中利用了实际上不护散的矿石。

在用阴极由不同原子序数元素制成的各种计数管所测的相应系数中的明显差别是由于无限大铀矿层 γ 射线能谱中软 γ 射线(其能量约0.1—0.2兆电子伏)作用的结果。TC计数管实际上不记录这种能量的 γ 射线,因此用它所得的系数值就较小。在用带套管(铁1毫米和铅3毫米)的计数管测量时,软 γ 射线根本透不过套管,因此系数对所有这三种类型的计数管都是差不多大小的。

	系			数		
	铝组成的套管,厚1毫米			铁(1毫米)和铅(3毫米)组成的套管		
	TC	MC	BC	TC	MC	BC
无限大岩层	89	144	234	70	74	77
半无限大岩层	43	56	79	36	39	37
反散射射线的系数	1.03	1.28	1.48	0.97	0.95	1.04

沃斯科波依尼科夫给不同平均原子序数的岩石和用铜或铅阴极计数管测量 γ 射线时算出了无限大矿层系数的理论数值。他证明了,岩石的平均原子序数愈大,无限大矿层的系数就愈小。

表中的实验资料与其计算完全相符。事实上,含铀达千分之几的花岗岩,在用铜阴极计数管测量 γ 射线时,其无限大矿层系数的理论数值等于每0.01%U为140微伦/小时,在误差范围内,与相应的实验数值(铝套管中的MC计数管)相吻合。用铅计数管测量时,算出的系数值每0.01%U为240微伦/小时。能谱比例的相应理论数值等于1.73。如果能谱比例的变化和阴极材料原子序数差成比例,那么用BC和MC计数管测量的能谱比例的理论数值则等于1.63,而所获得的实验读数为1.66。实验时所用岩石的平均原子序数与花岗岩的原子序数相近。

反散射 γ 射线* 依据测量的几何条件,无限大岩层的系数应该比半无限大岩层的系数大一倍。事实上,在用对软 γ 射线灵敏的计数管测量时,这些系数的比例都大于一倍。这与反散射 γ 射线的影响有关^{[7][8]},此反散射 γ 射线为大于90°角的散射出的 γ 射线(入射和散射射线方向之间的角)。表中所列反散射射线的系数是无限大岩层系数对半无限大岩层两倍系数的比。当用辐射仪薄套管和在把BC计数管换成TC计数管时,反散射射线的系数有显著减少,这说明这些射线的能量不大。在用加厚套管的计数管测量时,反散射射线的系数在规定的准确范围内等于1。用另一句话讲,厚套管实际上不能放过这些射线;TC计数管几乎不记录反散射的 γ 射线。

根据在岩层表面和钻孔中所测的能谱比例的比较也证明反散射 γ 射线的能量小。因为,用厚为1公厘的铝套管保护的BC和TC计数管测量的半无限大岩层系数的比例等于1.84,而

* 有时把它们叫做进入的二次射线。

无限大岩层的相应比例等于 2.64 (在鉛孔中测量)。

* * *

放射性岩层 γ 射线的实验和理论给 γ 射线的定量分析作出了有实际意义的结论:

1. 用对软 γ 射线灵敏的计数管和只加薄保护套管的计数管测量时, 必须考虑到被记录的 γ 射线强度与岩石原子序数、计数管阴极材料和辐射仪套管壁厚度等之间的关系。

2. 应根据硬 γ 射线来作定量测量, 为此, 应利用对软 γ 射线灵敏度弱的计数管 (如 ГС 型), 或用厚约 4 克/平方公分的鉛套管屏蔽的任何类型的计数管。在这种情况下, 普通岩石 (其原子序数既不大, 也不小) 的 γ 射线强度与岩石平均原子序数无关。

报 导 II

本文阐述根据 γ 射线进行放射性矿石的辐射取样方法和含矿钻孔 γ 测井结果的定量解释方法。

辐 射 取 样

铀矿石和钍矿石的放射性提供了在天然产状中, 不必要采取矿石的样品就可直接确定其中铀和钍含量的可能性。这种方法是以前 γ 射线强度的测量为基础, 把它假称为辐射取样方法。此种方法是在 1947—1948 年由巴兰诺夫 (В. И. Баранов)、沙什金、格拉马科夫 (А. Г. Грамаков)、希里亚耶娃 (М. Б. Ширяева) 和布里塔耶夫 (М. Д. Бритаев) 研究出的, 从此这种方法得到了极广泛的应用。

众所周知, 在含放射性元素均匀的无限大岩层表面所测的 γ 射线强度与放射性元素含量之间存在着下列的关系:

$$I = \frac{2\pi k q \cdot \rho}{\mu},$$

q 表示单位重量中的放射性元素含量; $\frac{\mu}{\rho}$ 表示 γ 射线的有效质量减弱系数, k ——以克/克表示镭含量的比例系数, 为镭的 γ 常数。

当质量减弱系数不变时, 用这个公式可以得出放射性元素的含量与 γ 射线强度成比例。

在辐射取样时, 要从用计数管记录的总 γ 射线中, 必须分出从进行取样的坑道壁上放出的射线。这一任务可用格拉马柯夫提出的加屏法来解决。

不加屏时用计数管记录的 γ 射线强度等于

$$I_0 = I_1 + I_{ок} + I_{\phi},$$

I_1 表示从进行取样的坑道壁上射来的 γ 射线, $I_{ок}$ ——从围岩射来的 γ 射线, I_{ϕ} ——辐射仪的天然本底。

如果在计数管和进行取样的岩石之间放一块鉛板——屏, 那么从进行取样的岩石射来的 γ 射线就部分地被吸收了, 因此用仪器记录的总 γ 射线用下列公式表示:

$$I_s = (1 - \alpha) I_1 + I_{ок} + I_{\phi},$$

这里 α 表示 γ 射线被吸收在鉛屏中的系数。加屏和不加屏的仪器读数的差别

$$I_0 - I_s = \alpha I_1,$$

也就是与所屏蔽岩石的 γ 射线强度成比例。考虑到 γ 射线强度与放射性元素的含量成比例关系时可以写成

$$q = B(I_0 - I_s),$$

这里 B 表示岩石中放射性元素含量和在不加屏与加屏所测的 γ 射线强度差之间的比例系数

(简称“屏系数”)。在数量上它等于岩石中放射性元素的同样含量,这时被该屏吸收的 γ 射线强度等于微伦/小时。

带有起屏作用插衬物的所谓带缝屏管在实际工作中得到了极广泛的应用(图1)。这种类型的屏壁有不同的样式。

在矿层模型中确定屏壁系数最为简便,该模型为大小 $1 \times 1 \times 1$ 米的箱子,满装着具已知平衡铀含量的仔细搅和过的碎矿石。矿石应该是不扩散的,或者在计算系数时要把丢掉的氢考虑进去。屏管系数的确定是在矿石的表面上进行屏管缝张开时和关闭时的多次测量。

从放射性岩石 γ 射线能谱成份的分析中可以看出,屏管系数与辐射仪套管的厚度和计数管阴极材料有关。表1中所列的是带缝屏管的系数,带缝屏管见图1。

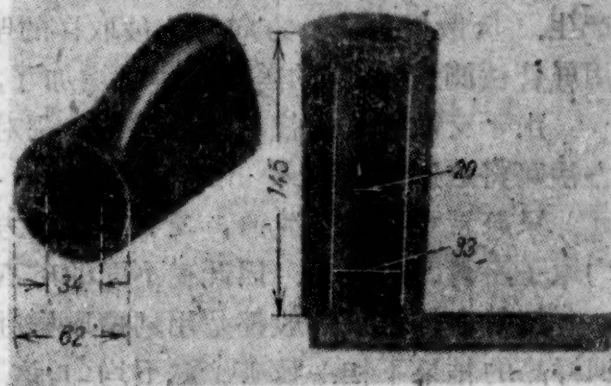


图1 放射性取样用的带插衬物的圆柱状带缝屏管。

表1 带缝屏管系数(表中单位为每微伦/小时 $\times 10^{-4}\%$ U)

套 管	BC	MC	TC
铝 套 管, 厚 1 毫 米	3.5	5.7	8.7
铁-铅套管, 铅 3 毫米, 铁 1 毫米	11.8	13.4	14.5

从表1中可以看出,不同类型计数管的屏管系数在用薄套管时有显著的差别,但在用厚套管时则极为相近。

当矿化分布均匀,且又知道屏管系数时,可以根据屏管缝张开和关闭测量过的 γ 射线强度的差别确定该岩石中放射性元素的含量。一般在铀矿石取样时屏管的系数以每个微伦/小时差的铀的百分数表示,相应地取样结果以铀的百分数表示。这只有在被取样的矿石中放射性平衡和没有钍系元素的情况下才是正确的。辐射取样不适用于铀钍矿石,而且在平衡破坏的铀矿石上它提供的不是铀含量而是以平衡铀表示的镭含量。完全不含铀的钍矿石的辐射取样与铀矿石的取样相同。

在矿化不均匀时,用加屏管方法的个别测量,不能正确地确定岩石中放射性元素的含量。在这种情况下所得 γ 射线强度的差首先与在进行测量的表面上的矿化分布有关。根据屏管缝张开和闭合测量的 γ 射线强度差计算的铀含量可能大于也可能小于岩石中的平均含量,因为岩石的 γ 射线对计数管有影响。在根据许多测点的辐射取样结果取平均值时,矿化分布不均匀的影响就会改小,并且带开口缝和闭合缝屏管的辐射读数的平均差就会象在矿化均匀的岩石上所测的一样,其含量等于被取样地段的平均品位。

通常辐射取样是沿和该矿床在刻槽取样时和刻槽方向相一致的线进行。沿线布置测量点,点与点之间的距离与计数管阴极的长相等。对记录被取样岩石的所有点的 γ 射线来说,这就保证了记录被取样岩石各点 γ 射线的条件一样。在每一点上进行两次测量:屏管缝张开测一次,闭合测一次。在整理结果时,在一个假定“样品”的范围内(此假定样品一般等于在该矿床上所采用的刻槽样品的长度)根据屏管缝张开和闭合的测量计算平均差。然后根据平均差再乘屏管系数就可算出与该“样品”相符的铀含量。

輻射取样應該用具有極準確讀數的各種類型的野外輻射儀進行。輻射儀靈敏度的穩定性在工作過程中可用射線標準源來檢查。

當在整個斷面穿過礦體的山地坑道中進行取样或在空氣中含有大量氡的坑道中取样時，從圍岩或存於坑道空氣中的氡蛻變產物射來的 γ 射線，在被取样的岩石中引起反散射射線的產生。反散射射線的方向與從被取样的壁射來的 γ 射線方向相同。由於這些射線的影響，在用屏管法測量時，它的差數效率就增加了，因此所得的輻射取样結果就比真正的要高。

由於反散射 γ 射線的能量很小，用對軟 γ 射線無靈敏性的計數管或用厚套屏壁計數管的方法可將這影響消除。

只記錄主要是原生的，硬 γ 射線的方法實際上也可以消除被記錄的 γ 射線強度和岩石平均原子序數間的關係。因此在不同的礦石上進行輻射取样時，可以利用同樣的屏管系數。

輻射取样結果一般都是用刻槽取样進行檢查。由於礦化不均勻，輻射和刻槽取样的個別样品的結果不相一致礦化愈不均勻，這些差別就愈多。可用足夠數量(25—30)一米長的样品的輻射取样和刻槽取样的平均含量是否吻合的方法來証實輻射取样結果的正確程度。輻射和刻槽取样結果比較的例子見表2中。

表 2

样品編號	含 鈾 量 (%)		样品編號	含 鈾 量 (%)		样品編號	含 鈾 量 (%)	
	輻射取样	刻槽取样		輻射取样	刻槽取样		輻射取样	刻槽取样
1	0.37	0.53	14	0.64	0.85	27	0.12	0.13
2	0.51	0.48	15	0.04	0.04	28	0.51	0.58
3	0.84	0.71	16	0.99	1.41	29	0.99	0.80
4	0.83	1.05	17	0.27	0.82	30	0.51	0.55
5	0.36	0.38	18	0.49	0.13	31	0.40	0.50
6	0.56	0.55	19	0.52	0.49	32	0.84	0.68
7	0.50	0.42	20	0.57	1.12	33	0.28	0.21
8	0.58	0.42	21	0.24	0.59	34	0.42	0.20
9	0.39	0.40	22	0.18	0.03	35	0.11	0.18
10	0.79	0.40	23	0.66	0.54	36	0.10	0.03
11	0.69	0.60	24	0.22	0.21	37	0.37	0.28
12	0.31	0.18	25	0.10	0.11	Ср.	0.46	0.46
13	0.08	0.09	26	0.57	1.37			

γ 測 井 的 定 量 解 釋

γ 測井，就是沿鑽孔軸測量 γ 射線的強度，這種方法廣泛應用於放射性礦石的普查和勘探中。 γ 測井結果的定量解釋使得能夠確定鑽孔中放射性元素的綫狀儲量，也就是礦體厚度乘含量所得的積。在岩心採取率不好時， γ 測井是定量地說明用鑽孔揭露的礦體的唯一方法。

γ 測井的定量解釋是以利用異常面積為基礎(圖2)。1947年卡贊斯基(А. П. Казанский)得出了一個把異常面積和礦體厚度及 γ 射線強度聯繫起來的公式

$$S = h \cdot I_{\infty},$$

這裡 S 表示以微倫/小時·公分表示的異常面積； h ——以厘米表示的礦體厚度； I_{∞} 表示含量與礦體中含量相等的無限大岩層的 γ 射線強度。此後，帶有較普遍形式的這一公式又為布拉舍維奇^[1](Ю. П. Булашевич)得出。如果鑽孔穿過礦體與厚度成角時，那麼在公式中井筒厚度就代替了真厚度。

无限大岩层 γ 射线的强度用下列公式表示

$$I_{\infty} = \frac{4\pi k \cdot q \cdot \rho}{\mu},$$

这里 q 表示单位重量内的放射性元素含量, $\frac{\mu}{\rho}$ 表示 γ 射线的有效质量减弱系数, k 表示比例系数。

从这个公式可以看出, I_{∞} 因之也就是异常面积与岩石密度(在固定的减弱质量系数时)和钻孔的直径无关。但是在异常面积不变的情况下, γ 测井曲线的形状与钻孔直径有很大的关系。

由于无限大岩层 γ 射线的强度与放射性元素含量成比例, 异常面积的公式可用下列形式表示

$$S = \eta \cdot h \cdot q,$$

从这里可以得出, 异常面积和钻孔中放射性元素线状储量成比例 ($h \cdot q$)。

对放射性含量不同, 但密度相同的一组岩层来说, 根据 γ 场重迭的原则很容易证明异常面积与放射性元素的总储量成比例, 而和沿厚度含量分布的情况无关。

以微伦/小时乘厘米表示的异常面积虽然不决定于计数管阴极的长度, 但 γ 测井曲线形状的变化实质上却与计数管阴极的长度有关。

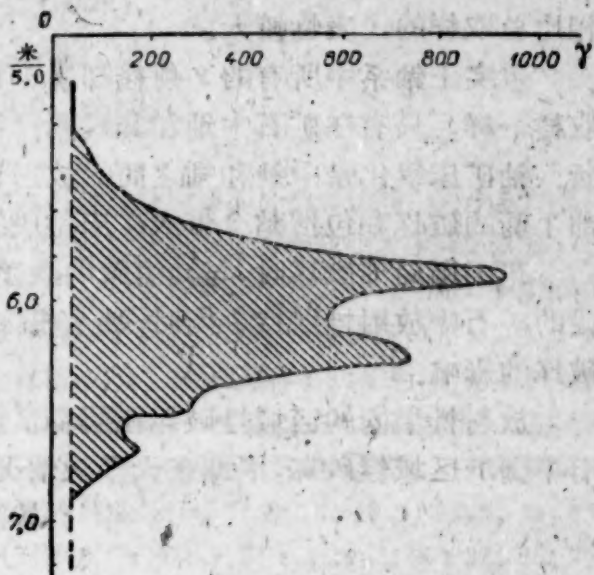


图2 矿体地段 γ 测井曲线图。
黑道表示异常面积。

由于异常面积不是取决于岩石密度、钻孔直径和计数管阴极长度, 因此在定量解释 γ 测井时, 它是异常最适用的特性。

知道换算系数 η 就完全可以根根据异常面积算作放射性元素的线状储量。在估计了矿石扩散的无限大岩层模型的实验中可求出此换算系数。在有铀矿化时, 它以每单位百分铀含量的, 或较常用的是每 0.01% 铀含量的微伦/小时表示。文章 2 的表 1 中所列的是用不同类型计数管和不同套管测出的这一系数的数值(无限大岩层系数)。

和辐射取样一样, 在 γ 测井中最好只测硬 γ 射线的强度, 以便消除系数与岩石平均原子序数的关系。

在标准 γ 测井仪 (KPT, KPL) 中采用带厚 4—5 毫米铁套管的 MC 型铜阴极计数管。对这种 γ 射线接收仪来说, 换算系数实际上与岩石的平均原子序数无关。根据在不同成份岩石中的测量, 它等于每 0.01% 平衡铀为 115—125 微伦/小时。这给在不同成份的岩石中利用同样系数提供了根据。只有含铀量大约在 7% 以上的岩石, 由于 γ 射线能谱成份的改变, 其换算系数就变小, 能谱成份的变化是因为与普通岩石相比, 这种岩石的平均原子序数高得很多。

知道无限大岩层的系数就能够直接根据 γ 测井曲线面积确定钻孔中铀的线状储量 (在铀和其蜕变产物之间保有放射性平衡时)。

士巴克 (B. A. Шпак)、奥夫其尼伊科夫 (A. K. Овчинников) 等研究出了在矿化分布均匀的情况下和沿厚度含量逐渐改变的情况下根据 γ 测井曲线确定矿体厚度的方法。但是用这种方法解释在矿化不均匀的情况下测量的 γ 测井时, 只能大概地确定矿体厚度。

也可根据 γ 测井曲线形状和放射性矿体影响带的大小, 用评价矿体界线的方法大致确定其厚度。

利用 γ 测井定量解释结果进行储量计算时,确定厚度中的不大的误差不起什么作用,因为厚度的缩小和增大对经常保持固定的沿钻孔的线状储量没有影响。这一特点在矿化不均匀的情况下不能准确确定矿体厚度时,对解释 γ 测井资料有着极重要的意义。

由于矿化不均匀,根据个别钻孔、 γ 测量解释资料和岩心取样(在岩心能全部采取的情况下)确定的放射性元素线状储量可能不相吻合。只有平均根据许多钻孔求出的线状储量才能使这些结果相吻合。这对 γ 测井解释结果和在被钻孔穿过矿体处的矿体总取样结果的比较也是一样的。在后一种情况下可以只减少根据钻孔进行平均结果的钻孔数量,因为与岩心取样相比总取样的代表性较大。

事实上铀系中所有的 γ 射线都属于铀的蜕变产物,所以 γ 测井同根据 γ 射线进行的辐射取样一样,只有在矿石中铀和其蜕变产物之间保持放射性平衡时,才得出铀含量的正确推断。铀矿床氧化带中铀和镭之间的放射性平衡的破坏是很常见的。因此必须把不同符号的局部平衡的破坏和包括整个带或矿床地段的单方面的区域性平衡破坏区别开。

在平衡局部破坏时,与其有关的误差再一次说明在矿化分布上不均匀。如果在被取样地段的矿石中放射性保持平衡时,那么根据许多样品和钻孔结果进行平均,就可以抵消平衡局部破坏的影响。

放射性平衡的区域性破坏在解释 γ 测井或辐射取样时会引起一系列的误差。但是很少见有平衡的区域性破坏,因此在大多数情况下 γ 测井和辐射取样都能提供可靠的结果。

韩淑真译自 Атомная энергия Том II (1957).

Вып. 1, 48—53; Вып. 2, 157—162.

朱志祥校

参 考 文 献

- [1] В. Н. Дахнов: Интерпретация результатов геофизических исследований разрезов скважин. Гостехиздат, 1955.
- [2] H. Faul (edit): Nuclear Geology, New York, 1955.
- [3] U. Fano: *Nucleonics* 11, № 8, 9 (1953).
- [4] G. Peebles: *J. Appl. Phys* 24, № 10 (1953).
- [5] L. W. Spenser, U. Fano, *J. Res. Nat. Bur of St.* 46, 446 (1951).
- [6] В. Векслер, Л. Грошев, Б. Исаев: Ионизационные методы исследования излучений. Гостехиздат, 1949.
- [7] Г. В. Горшков: Труды ГРИ, т. III, 1937.
- [8] K. W. F. Kohlrausch: Radioaktivität, Leipzig, 1928.
- [9] Ю. П. Булашевич: Известия АН СССР (серия геофизическая), № 3 (1955).
- [10] В. Л. Шашкин: Атомная энергия 2, 48 (1957).

給編輯部的信

水中的 Co^{60} 源的散射 γ 輻射剂量的角分布

庫哈切維奇 (В. И. Кухтевич)

采 賓 (С. Г. Цыпин)

舍梅欽戈 (Б. П. Шеметенко)

本文中,分別對下面兩種情況進行了關於 Co^{60} 點源($E_0=1.17$ 兆電子伏, $E_0'=1.33$ 兆電子伏)有屏蔽圓錐體時產生的散射 γ 輻射穿透的研究: a)圓錐體靠近放射源的情況, b)圓錐體靠近探測器的情況。

放射源 S , 探測器 D 和屏蔽圓錐體的位置示在圖1中。測量是在大小為 $2 \times 2.2 \times 1.6$ 立方米的水箱中(實際上相當於無限大幾何條件)進行的。用閃爍 γ 劑量儀電流的工況,作為探測器。晶体莖作為空氣當量的閃爍體^[1],其高0.6厘米直徑分別為1.2厘米(情況“a”)和0.7厘米(情況“b”)。光电倍增管的光陰極和晶体之間用有機玻璃做的高15厘米,直徑1.2厘米的光導體隔開。劑量計所容許的劑量率測量範圍為 0.4×10^{-2} —40 倫/小時(晶体直徑為1.2厘米時)及 2.33×10^{-2} —233 倫/小時(当晶体直徑為0.7厘米時)。為了避免記錄由於 γ 射綫打在光电倍增管外殼上出來的電子而使用了鉛套屏蔽。

放射源 Co^{60} 是直徑為0.5厘米的球形金屬鈷制成。為了保證能超過必要的強度範圍,採用了兩個這樣的源,其強度為 0.197 ± 0.02 和 1.370 ± 0.014 居里。

屏蔽的圓錐體用天然鈾製造的,它高4厘米。

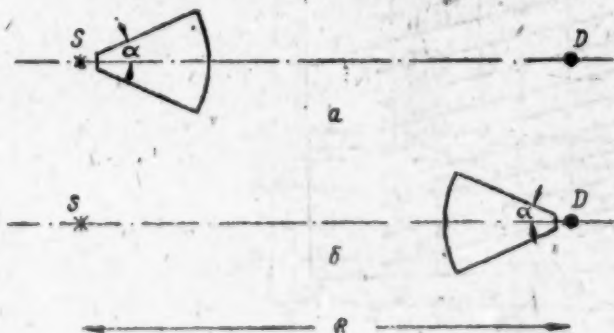


圖1 放射源 S ,探測器 D 和屏蔽圓錐體位置的簡圖。

a——屏蔽圓錐體靠近放射源; σ ——屏蔽圓錐體靠近探測器; R ——放射源至探測器的距離;
 d ——圓錐體的半頂角。

因為放射源和探測器都不是點狀的,而用來製造屏蔽圓錐體的鈾是絕對可靠地吸收 γ 射綫的物質。因此有效半頂角 α 並不等於角度的幾何值。圓錐體的有效角度按下面的方法用實驗決定。

在情況“a”中,圓錐體靠近放射源,並且放射源是圓錐體的圓心,探測器放在對稱軸綫上。在情況“b”中,放射源和探測器的地位對調。用這樣的方法確定的角度為: 3; 5; 7; 10; 18.5; 28.5; 45; 65; 80°(對情況“a”)和 9.5; 12; 19.5; 27; 37; 55; 71°(對情況“b”)。

情況“a”和“b”中劑量率對角度 α 的關係分別表示在圖2和圖3中。 $\alpha=0$ 時的劑量率(僅僅是散射輻射引起的)是按下面公式計算得到的:

$$A_{\text{散射}} = [B(E_0, \mu R) - 1] A_{\text{非散射}}$$

此處 $A_{\text{非散射}}$ 相當於沒有散射 γ 射綫時的劑量率, $B(E_0, \mu R)$ 是積累因子。對 Co^{60} 兩個能量的源計算的 $B(E_0, \mu R)$ 的數值與文獻[2]—[4]的結果相符合。測量誤差不大於5%。

在圖4和圖5中分別對情況“a”和“b”表出了有圓錐體時測量的劑量率 $A_{\text{散射}}^{\text{R}}$ 和沒有圓錐體時測量的劑量率 $A_{\text{散射+非散射}}^{5, \text{R}}$ 的百分比值 P 對角度 α 的依賴關係。在這些曲綫中 $\alpha=0$ 時的 P 從關係式1—

$\frac{1}{B(E_0, \mu R)}$ 計算得出,此式是 $\frac{A_{\text{散射}}^{\text{R}}}{A_{\text{散射+非散射}}^{5, \text{R}}}$ 當 $\alpha \rightarrow 0$ 的

極限情形。沒有圓錐體時測量的劑量率 $A_{\text{散射+非散射}}^{5, \text{R}}$ 對放射源至探測器之間的距離 R 的依賴關係利用實驗得到,並且顯示出和文獻[3]—[5]所得出的結果很好一致。

從已得到的結果(圖2—5)應該得出:劑量率和 $P(\%)$ 對角度 α 的依賴關係在情況“a”中下降得比較快,並且這個差隨著 R 的增加有強烈的表現。這一點可以這樣來解釋:在情況“a”中,運動方向的主要改變和 γ 射綫能量的減少是發生在放射源的直接

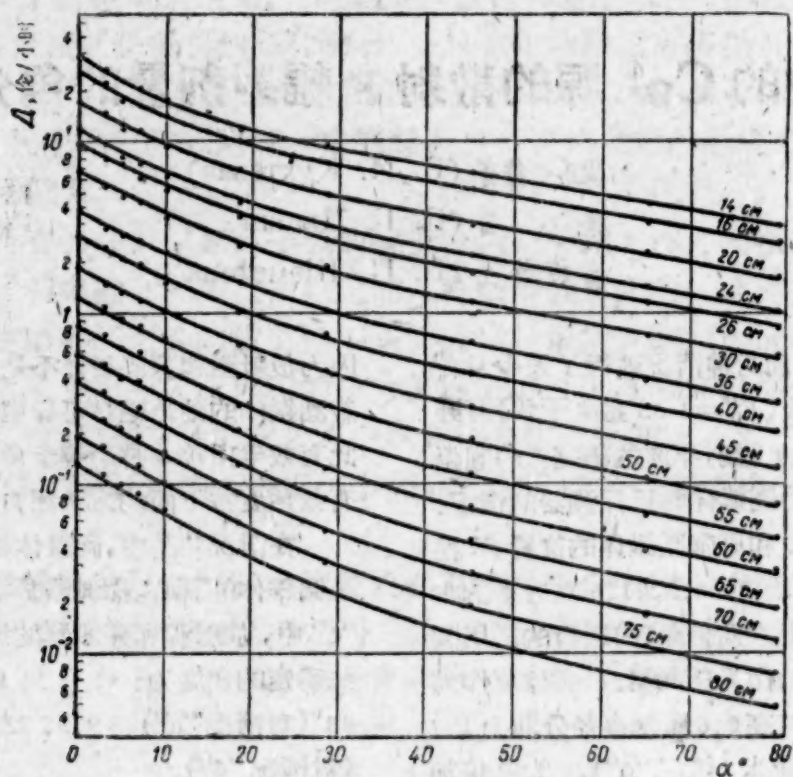


图2 情况“a”中,不同距离R的剂量率 $A_{\text{散射}}^R$ 对 α 的关系曲线

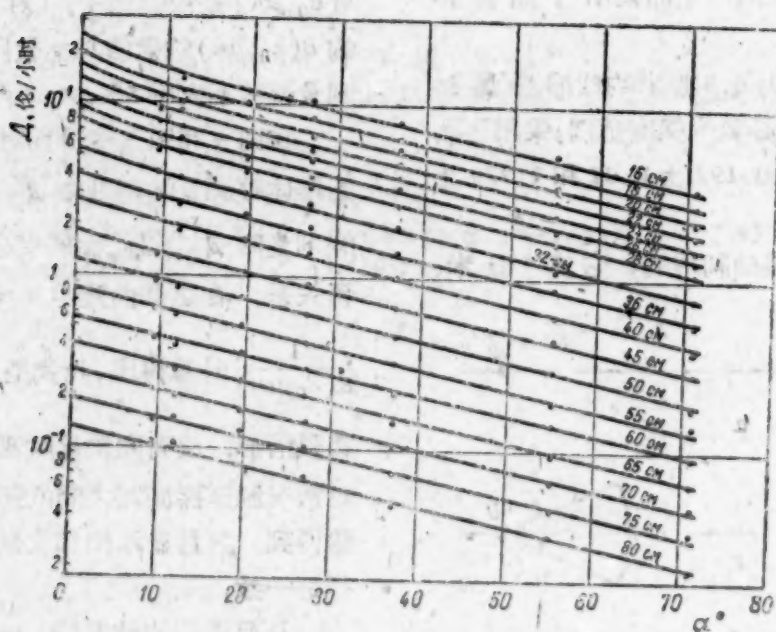


图3 情况“b”中,不同距离R的剂量率 $A_{\text{散射}}^R$ 对角度 α 的关系曲线。

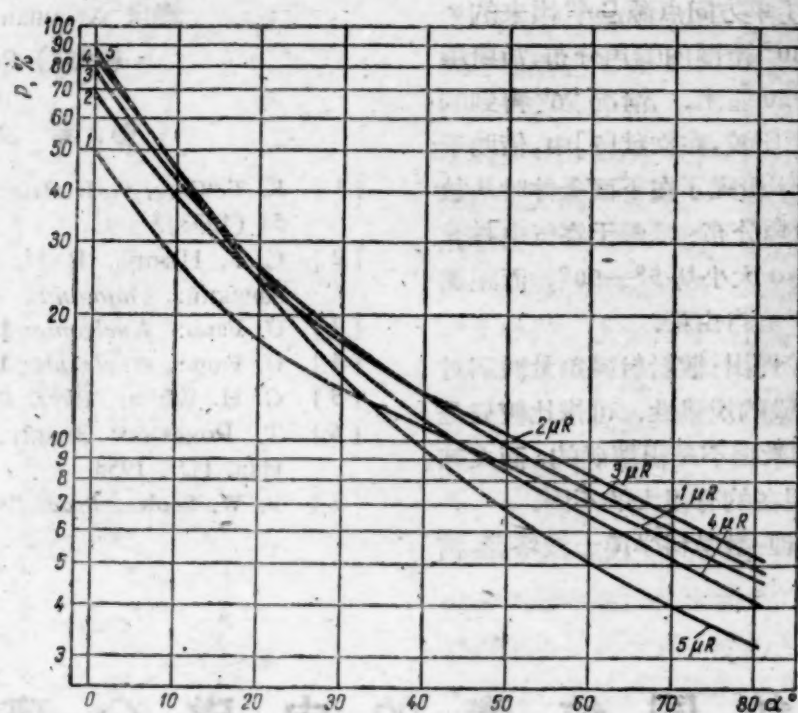


图4 有圆锥体时测量的剂量和没有圆锥体时测量的剂量的百分比值 P 对角度 α 的关系曲线(情况“a”),

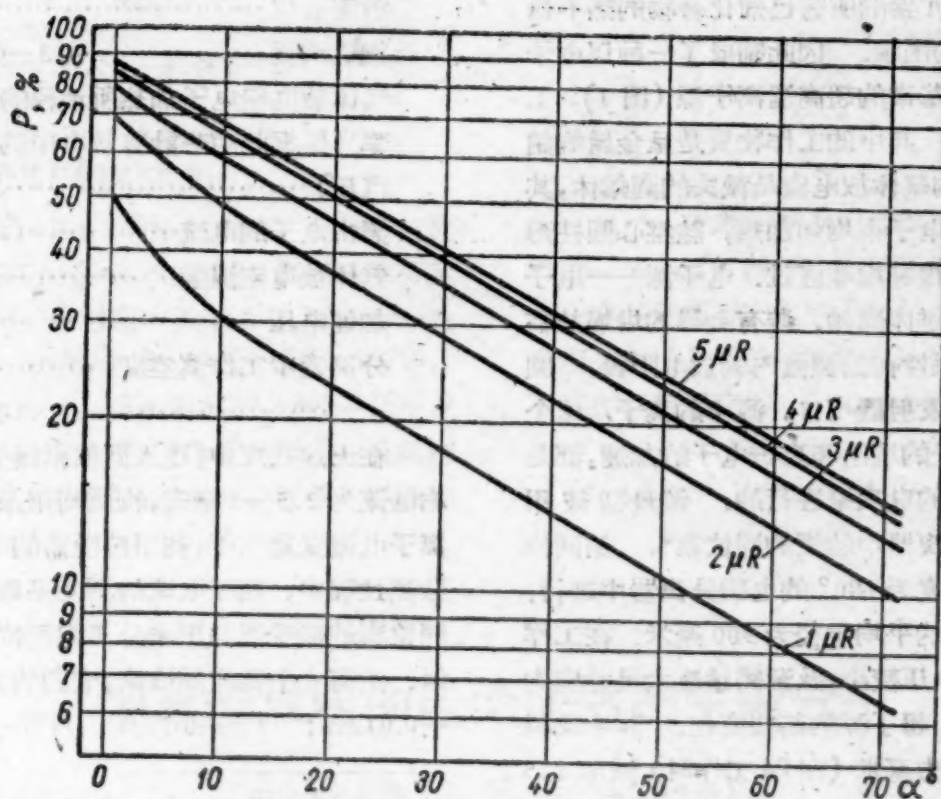


图5 情况“b”中,有圆锥体时测量的剂量和没有圆锥体时测量的剂量的比值 P 对角度 α 的关系曲线.

附近区域并且低能量的 γ 射线发生于和情况“6”比较起来大得多的距离上。

情况“a”中得到的结果和文献[6]的数据进行比较,在文献[6]中研究了单方向点源 Co^{60} 出来的 γ 射线在水中当 $\alpha = 0-60^\circ$ 范围内的角分布,放射源至探测器的距离从20—50厘米。情况“6”得到的结果和文献[7]的数据相比较,在文献[7]中,借助于靠近探测器的屏蔽圆锥体研究了在下面条件时从放射源 Co^{60} 出来的 γ 射线角分布:源置于空气中并有半无限几何条件。角度 α 大小从 $5^\circ-90^\circ$,而距离从0.7—2.5个 γ 射线平均自由程。

和文献[6],[7]比较得出:散射射线剂量减弱对角度 α 的依赖关系有一般的规律性。可惜比较只是定性的,因为文献[6]的数据不是很精确的,而文献[7]的实验几何条件和现在的有很大的不同。

最后,作者感谢物理-数学科学博士波塔連柯

(И. И. Бодаренко), 尼可拉依喜維利 (Ш. С. Николайшвили) 对测量方法和结果的讨论,以及薩尔狄柯沃依(В. П. Салтыковой)参加了一系列的测量。

譯自 Атомная энергия Том 5
(1958) Вып. 6, 638—641.

参 考 文 献

- [1] R. T. Carr, G. J. Hine: *Nucleonics* 11, № 11, 53 (1953).
- [2] С. Г. Цыпин, В. И. Кухтевич, Ю. А. Казанский: *Атомная энергия* № 2, 71 (1956).
- [3] U. Fano: *Nucleonics* 11, № 8, 8 (1953).
- [4] U. Fano: *Nucleonics* 11, № 9, 55 (1953).
- [5] G. H. White: *Phys. Rev.* 80, 154 (1950).
- [6] Т. Роквелл: *Защита ядерных реакторов*. Изд. ИЛ, 1958.
- [7] B. W. Spole: *Proc. Roy. Soc.* 230, 343 (1955).

鉑 同 位 素 的 电 磁 分 离

古 謝 夫 (В. М. Гусев)

鉑同位素的分离,和鈮,鈳,鈷和鐵的同位素分离一样,由于这些元素的所有已知化合物的热不稳定性,造成了一定的困难。因此制成了一种以电子轰击气体放电室为基础的超高温离子源(图1),工作温度达 2800°C 。其中的工作物质是呈金属的鉑族元素。离子源的气体放电室是截头的圆锥体,其侧面用空心圆柱形电子束均匀加热,该空心圆柱形电子束被均匀磁场很好地准直过。电子源——电子枪——的位置与圆锥体同轴。装有金属的坩埚放在圆锥体内部,它是保持在鉑蒸汽内的放电极。圆锥体的侧面有一个发射缝切口,源中的离子从这个切口里取出。离子的取出和轰击电子的加速,都是通过一个高伏装置的电压来进行的。源最初被用来分离在小电磁分离器中的鈮的同位素^{*}。鉑同位素的浓集在聚焦角度为 180° 的电磁分离器中进行。分离室中离子轨道的平均半径为900毫米。在工作过程中,由于鉑蒸汽压较小,及源需适应大尺寸室内的工作条件,因而引起了源的某些变化。其中发射缝尺寸从 2×40 平方毫米(在Pd工作时)减至 1.5×30 平方毫米(几乎减少一半)。此时,从源中取出的鉑离子的总平均电流从10—12减至5—6毫安,但物质的利用系数增加了四倍。在分离鉑同位素时,源的工作状况具有下列数据:

金属鉑蒸汽中的放电电流……………0.5安
放电电压……………250伏
物质消耗……………0.3—0.4克/小时
气体放电室电子加热所消耗的功率(根据此功率计算放电中的蒸汽压)……………3—3.5千瓦
轰击电子的电流……………130—140毫安
气体放电室温度…………… $\sim 2250^\circ\text{C}$
加速电压……………25千伏
分离室中工作真空度……………

…………… $1-2 \times 10^{-5}$ 毫米汞柱

在上述状况中,进入同位素接受器“袋子”的平均电流为2.5—3毫安,物质利用系数约5%。束的离子电流变动水平,利用接受器的电流示波来检查。分离过程中,离子电流的调变系数不超过1—2%。同位素的接受器与用来分离鈮同位素的接受器相似。鉑有6个稳定同位素,它们的天然分布为: Pt^{190} —0.012%; Pt^{192} —0.78%; Pt^{194} —32.8%; Pt^{195} —

* 古謝夫(В. М. Гусев): Труды Всесоюзной научно-технической конференции по применению радиоактивных и стабильных изотопов и излучений в народном хозяйстве и науке. Изд. АН СССР, М., 1958, стр. 68.

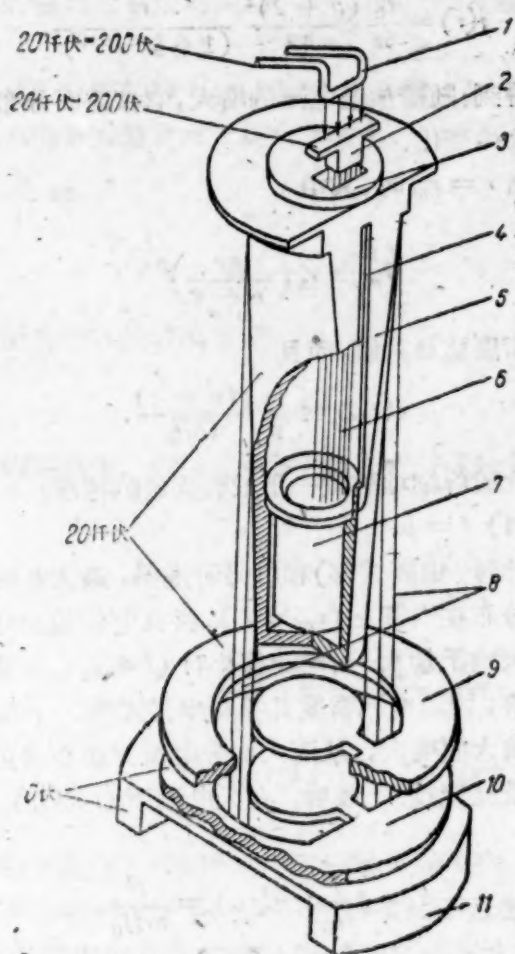


图1 离子源原理图:

1——阴极灯丝; 2——旁热式阴极; 3——圆锥体的盖; 4——拉出离子的缝; 5——气体放电室(外面——截头圆锥体, 内部——圆柱形空腔); 6——分离元素蒸汽中的放电柱体; 7——装有金属的坩埚; 8——能量为25千电子伏的轰击电子束; 9, 10——隔板; 11——板状石墨电子放射体。

33.7%; Pt^{196} —25.4%; Pt^{198} —7.23%。由于邻接同位素束之间距离不大(~ 4.5 毫米), 所以分离分两个周期进行。第一个周期中采用了下列同位素: Pt^{190} , Pt^{192} , Pt^{194} , Pt^{196} , Pt^{198} , 第二个周期中采用了 Pt^{190} , Pt^{192} , Pt^{195} , Pt^{198} 。同位素 Pt^{195} (在第一种情况下), Pt^{194} , Pt^{196} (第二种情况下)在接受器石墨隔板的连接板上散射。束位置的正确度由测量接受器袋

前电流比率来决定。束的聚焦程度按束电流的调变系数和铂同位素光谱波形图来检查(图2)。

分离过程结束后, 接受器袋的铜盖板用稀硝酸来处理, 通过溶液的过滤, 不溶的铂被分离开来。铂同位素的捕集与提取系数为72.7%。铂的浓集同位素的质谱测量分析, 用金属样品在MC-3质谱仪中进行。浓集同位素样品的分析结果列于表内。为了进行比较, 表的最后一栏中列入了表示美国橡树岭实验室内电磁分离器中铂同位素浓集的数据。可以认为, 所得的结果可能再改善, 因为铂同位素的分离能在进一步研究超高温离子源的条件下进行。上述的源也可用来分离钨的同位素及制备铀, 钼同位素的靶, 其样品曾在1958年日内瓦展览会上展出过。

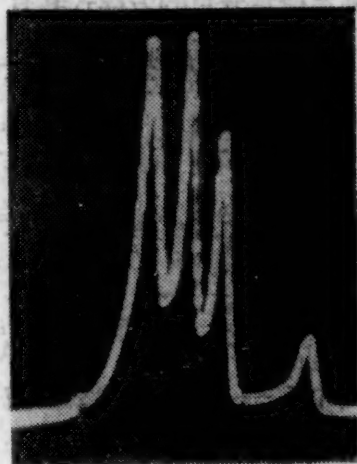


图2 铂同位素光谱的波形图。

同位素	浓集样品中的含量 %	美国橡树岭实验室内浓集样品中的含量 %
Pt^{192}	16.2	13.9
Pt^{194}	72.3	65.1
Pt^{196}	62.2	60.1
Pt^{198}	41.7	65.9
Pt^{198}	67.1	61.0

最后, 作者向帮助进行工作的卓洛塔列夫(В. С. Золотарев)领导从接受器袋中进行化学分离铂同位素的阿历克山也夫(Б. А. Алексеев)曾研究铀样品质谱测量分析法的苏茨达列夫(В. А. Суздаlev)及阿尔札尼基查(К. Г. Орджоникидзе)表示感谢。

译自 Атомная Энергия Том 5

(1958) Вып. 6, 641—642.

强直线放电中电流密度的平衡分布

高夫里日内赫(Л. М. Коврижных)

本文中得到了直线放电中当沿着筒轴方向有附加电流流过时电子和离子密度的平衡分布。

设在筒内流过放电电流 I , 筒是由二个半径各

为 r_1 和 r_2 ($r_1 < r_2$) 的同轴圆柱构成的; 而沿着筒轴分布着附加电流 I 。分别以 $\rho_e(r)$ 和 $\rho_i(r)$ 表示电子和离子的密度, T_e 和 T_i 表示它们的温度, 而以 β_e 和

β_i 表示其纵向飘移速度对光速的比值。此时, 如果假定压强张量是各向同性的, 且离子为单电荷, 则确定稳定分布的方程式具有下列形式**:

$$\left. \begin{aligned} \rho_e [E_r - \beta_e H_\varphi] + \frac{k}{e} \frac{\partial}{\partial r} (\rho_e T_e) &= 0; \\ \rho_i [E_r - \beta_i H_\varphi] - \frac{k}{e} \frac{\partial}{\partial r} (\rho_i T_i) &= 0; \end{aligned} \right\} \quad (1)$$

$$\left. \begin{aligned} \frac{1}{r} \frac{\partial}{\partial r} r E_r &= 4\pi e (\rho_i - \rho_e); \\ \frac{1}{r} \frac{\partial}{\partial r} r H_\varphi &= 4\pi e (\rho_i \beta_i - \rho_e \beta_e); \end{aligned} \right\} \quad (2)$$

其中 k —— 波兹曼常数, 而 e —— 电子电荷的绝对值。

将认为飘移速度 β_e, β_i 和温度 T_e, T_i 与半径无关, 这在密度不很大时看来是完全合理的。此时可以证明: 如果能够在轴上形成电荷, 它等于

$$q = \frac{I}{c} \frac{T_i \beta_e + T_e \beta_i}{T_e + T_i}, \quad (3)$$

则方程式(1), (2)的非零解为:

$$\left. \begin{aligned} \rho_e(r) &= \bar{\rho}_e \frac{r^p}{(1 + \xi^{-1} r^{p+2})^2}; \\ \rho_i(r) &= \bar{\rho}_i \frac{r^p}{(1 + \xi^{-1} r^{p+2})^2}; \end{aligned} \right\} \quad (4)$$

其中

$$\left. \begin{aligned} \bar{\rho}_e &= \frac{k}{2\pi e^2} \frac{(p+2)^2}{\xi} \frac{T_e(1-\beta_i^2) + T_i(1-\beta_e\beta_i)}{(\beta_e - \beta_i)^2}; \\ \bar{\rho}_i &= \frac{k}{2\pi e^2} \frac{(p+2)^2}{\xi} \frac{T_e(1-\beta_e\beta_i^2) + T_i(1-\beta_e^2)}{(\beta_e - \beta_i)^2}; \end{aligned} \right\} \quad (5)$$

$$p = \frac{4}{x-1} \left[1 - \frac{I}{I_0} (1+x) \right]; \quad (6)$$

$$x = \frac{1}{2} [(z-1)(\gamma-1) + \sqrt{(z-1)^2(\gamma-1)^2 + 4z}]; \quad (7)$$

$$\xi = x r_1^{p+2}; \quad z = \left(\frac{r_1}{r_2} \right)^{p+2}; \quad \gamma = \frac{I_0 - 2I}{I}$$

$$I_0 = \frac{2kc}{e} \frac{T_e + T_i}{\beta_i - \beta_e}$$

这样, 引入轴向附加电流 I 导致: 只有当轴上存在电荷 q 时, 才可能有定态; q 只有在 $I = 0$ 或 $\beta_i/\beta_e = -T_i/T_e$ 时才等于零。由表式(4)或(5)得出: 整个气体柱是带电的, 而且包含在单位长度中的电荷等于

$$Q = \frac{I}{c} \frac{T_e \beta_i + T_i \beta_e}{T_e + T_i} = q \frac{I}{I}. \quad (8)$$

顾及关系式(4), (5), 我们得到关于电流密度的表式

$$j(r) = \frac{I_0}{\pi} \frac{(p+2)^2}{4\xi} \frac{r^p}{(1 + \xi^{-1} r^{p+2})^2}. \quad (9)$$

由此得到: 随着放电电流的增大, 它按截面分布的性质将发生变化。

当 $r = r_m$ 时, 其中

$$r_m = r_1 \left(\frac{px}{p+4} \right)^{\frac{1}{p+2}} \quad (10)$$

电流密度达最大值, 而且

$$j(r_m) = \frac{I_0}{\pi} \frac{p(p+4)}{16r_m^2}. \quad (11)$$

比较详细地讨论一下最有兴趣的情况:

(1) $I = 0$.

此时, 由表式(6)和(10)所推得, 最大电流密度总是分布在内壁上 ($r_m = r_1$), 并且它按截面分布的性质决定于量 p 。当电流很小时 ($I \ll I_0$), 参量 p 接近于零, 因而电流密度几乎与半径无关。 p 随着电流的增大而增大, 从而大部分电流开始在接近于筒的内壁处流过。最后, 在大电流下 ($I \gg I_0$), 我们得到

$$q = 4 \frac{I}{I_0}; \quad j(r_m) = \frac{I^2}{\pi r_1^2 I_0}, \quad (12)$$

即实际上全部电流都集中在靠近 $r = r_1$ 的薄层中。如果认为 $r_1 = 0$, 则就是在 $I \sim I_0$ 时, 分布也已经具有 δ -型的性质。在特殊情况下 $r_1 = 0, \beta_i = 0, T_i = 0$; 这个结果曾被托弄曼和柯康得到***。

(2) $I = \text{常数} < 0$ (I 和 I 方向相反)。

当电流很小 ($I \ll I_0$) 时, 参量 p 具有最小值, 等于 $-4 \frac{I}{I_0}$, 因而电流密度随半径的增大而单调增大。 p 随电流的增大而增大, 从而电流密度对半径的关系将变得愈来愈尖锐。从电流值 $I = -I$ 开始, 最大密度离开筒的外壁, 向内壁移动。当 $I \gg I_0 - 2I$ 时, 电流分布的特性变为和 $I = 0$ 时的情况相似。

最后我们来研究这样一个情况: 中心导体是“反向导电”的, 并且有一部分放电电流流过它:

$$I = -kI.$$

在这种情况下, 最大电流恒处在筒的内部, 当 k 由 0 变到 1 时, 它从内壁 ($r_m = r_1$) 移到外壁 ($r_m = r_2$)。当电流很小 ($I \ll I_0$) 时, p 接近于零, 电流按

* 注意: 在所有导得的关于 β_e 和 β_i 的公式中, 都把它们了解为代数值, 即如果认为 $I > 0$, 则 $\beta_i > 0$, 而 $\beta_e < 0$ 。

** 电极附近发生的过程不考虑。

*** P. Thonemann, W. Cowhig: Proc. Phys. Soc. B64, 345 (1951)

截面的分布几乎是均匀的,只有微弱的最大值,它在

$$r = [r_1^2 + k(r_2^2 - r_1^2)]^{1/2}$$

处.随着电流的增大, r_m 要减小,参量 p 要增大,因而分布的最大值将成为愈来愈显著.末了,当电流

$I \gg \frac{I_0}{2k}$ 时

$$\gamma \approx 2k, p \approx \frac{4k(x+1)}{x-1} \frac{I}{I_0},$$

所以所有的电流将集中在

$$r_m = r_1 x^{\frac{1}{p+2}}$$

附近的薄层中. 这样,例如,当 $k = \frac{1}{2}$ 时,我們得

到:

$$\text{如果 } I \ll I_0; \quad r_m = \left[\frac{r_1^2 + r_2^2}{2} \right]^{1/2}$$

$$\text{如果 } I \gg \frac{I_0}{2k}, \quad r_m = \sqrt{r_1 r_2}.$$

这样,如果在内部导体上通过反向电流(它为放电电流的 k 倍),则在放电电流值充分大时,放电将定域在筒的内部(在 $r = r_m$ 附近, r_m 与 k 的数值有关),这意味着放电对器壁的隔离,并形成一个空心的薄柱体.

順譯自 Атомная энергия Том 5
(1958) Вып. 6, 648—649.

瞬时裂变中子谱的分类法

卡伐達夫 (В. П. Ковалев) 斯坦文斯基 (В. С. Ставинский)

在文献[1]—[3]中报道,实验发现 U^{233} , Pu^{239} , 及 Cf^{252} 的裂变中子谱比 U^{235} 的裂变中子谱要硬一些,并且硬度由 U^{233} 的谱到 Cf^{252} 的谱逐渐增加.

本文企图在蒸发模型的基础上归纳有关裂变中子谱的实验结果.

根据文献[4],激发态核放出中子的几率 $W(\epsilon)d\epsilon$ (在核坐标系内,能量为 ϵ 到 $\epsilon + d\epsilon$ 之间)可由下式表示:

$$W(\epsilon)d\epsilon = \text{常数} \sigma(E_B, \epsilon) \epsilon \times \exp \left[-\frac{\epsilon}{\tau(E_B - E_{cn})} - \frac{\epsilon^2 \alpha}{\tau(E_B - E_{cn})} \right] d\epsilon. \quad (1)$$

此处 $\sigma(E_B, \epsilon)$ ——组成复合核逆过程的截面, E_B ——复合核的激发能, E_{cn} ——中子结合能, $\tau(E_B - E_{cn})$ ——剩余核的温度,它由下列方程式决定:

$$E = \alpha \tau^2. \quad (2)$$

方程式(2)中的常数 α 由粒子数和粒子间的相互作用决定.对于退化的费米核子气体 $\alpha \approx 0.07A$, 此处 A 为粒子数[5].考虑核子间的相互作用可以使 α 值减少 15—20%[6].现有的实验结果和这些估计并不矛盾[7].我们采用值 $\alpha = 0.06A$, 这值和 U^{235} 裂变中子谱的测量结果符合得很好.

公式(1)和通常所用公式的不同是在于多了 $\epsilon^2 \alpha / \tau$ 这一项,此处

$$\alpha = \frac{1}{4(E_B - E_{cn})}.$$

计算这一项的必要性在于,在实验中发现能谱的

硬部分有差异而硬部分这一项的贡献占 10—20%.忽略这一项将导致 τ 公式中常数 α 增加 15—20%,这就使 α 值和实验结果的符合恶化.

考虑到碎片的运动,由单个碎片出来的裂变中子谱 $N(E)$ 在实验室坐标系内有下列形式[8]:

$$N(E) = \text{常数} \int_{E(1-\sqrt{\omega/E})^2}^{E(1+\sqrt{\omega/E})^2} W(\epsilon) \epsilon^{-1/2} d\epsilon, \quad (3)$$

此处 ω ——每一核子碎片的平均动能.

由于裂变中子谱的主要部分是在 $\epsilon < 3$ 兆电子伏的能量区域,按我们以前的工作[9]取:

$$\sigma(E_B, \epsilon) \sim 1/\sqrt{\epsilon}.$$

取这样的近似,根据公式(3)可得

$$N(E) = \text{常数} \cdot \exp \left[-\frac{E}{\tau} - \frac{\alpha E(E + 6\omega)}{\tau} \right] \times \times \text{sh} \left[\frac{2\sqrt{\omega E}}{\tau} (1 + 2\alpha E + 2\omega\alpha) \right]. \quad (4)$$

公式(4)是以裂变中子谱的计算为基础的.在 $\alpha = 0$ 时这公式简化为大家知道的由古列维奇 (Гуревич) 和莫钦 (Мухин)[10]及瓦特 (Watt)[11]所得到的公式.

确定从单个碎片飞出的裂变中子能谱形状的最重要的参数是碎片的激发能,其数值主要决定于碎片分裂过程的详细情节.实验上还不知道这个数值的最可几值,也不知道他的分布规律.李奇曼 (Leachman)[12]曾尝试进行一对碎片总激发能分布的计

算。但是根据已知的分布计算所得的值 $\nu_{\text{A}}/\nu_{\text{T}}$ 及 E_{γ} 和实验不符合^{[8], [12]} (此处 $\nu_{\text{A}}/\nu_{\text{T}}$ ——自轻碎片组和重碎片组飞出的平均中子数的比值, E_{γ} ——由 γ 光子从裂变碎片带走的平均能量)。

因此在本文中裂变中子能谱的分析探讨是将根据下列几个简化了的假定:

1. 研究的是二个碎片的最可几裂变型式。
2. 在碎片的坐标系内认为中子的角分布是各向同性的。
3. 和每个碎片激发能分布相对应的选定某个由实验观察所得的值 $\nu_{\text{A}}/\nu_{\text{T}}$, $\bar{\nu} = \nu_{\text{A}} + \nu_{\text{T}}$ 而定的有效激发能量。这里研究 $1 \leq \nu_{\text{A}}/\nu_{\text{T}} < 2$ 的情况, 它相当于大多数元素在自发裂变时及热中子作用下裂变时^{[13], [14]}的情况。

在文献^{[8], [15]}中所测得对 U^{235} 及 U^{233} 的比值 $\nu_{\text{A}}/\nu_{\text{T}}$ 相应地等于 1.3 ± 0.08 及 1.24 。在对其他元素计算 $\nu_{\text{A}}/\nu_{\text{T}}$ 时假定, $\nu_{\text{A}}/\nu_{\text{T}}$ 是碎片最可几质量比值的线性函数。然而, 可以看出, $\nu_{\text{A}}/\nu_{\text{T}}$ 关系的选择对计算结果的影响并不显著。在假定对所有的元素 $\nu_{\text{A}}/\nu_{\text{T}} = 1.3$ 所得到的结果都很近似。

每个碎片的有效能量由方程式

$$\nu_{\text{A}, \text{T}} = 2 - P_{1\text{A}, \text{T}},$$

可得, 此处 $P_{1\text{A}, \text{T}}$ ——轻碎片或重碎片只放出一个中子的几率。显然

$$P_{1\text{A}, \text{T}} = \frac{\int_{E_{\text{B1}, \text{T}} - E_{\text{CB1}, \text{T}} - E_{\text{CB2}, \text{T}}}^{E_{\text{B1}, \text{T}} - E_{\text{CB1}, \text{T}}} \omega(\epsilon) d\epsilon}{\int_0^{E_{\text{B1}, \text{T}} - E_{\text{CB1}, \text{T}}} \omega(\epsilon) d\epsilon} \quad (5)$$

此处 $E_{\text{CB1}, \text{T}}, E_{\text{CB2}, \text{T}}$ ——碎片内“第一”及“第二”中子的结合能。

计算时假定:

$$E_{\text{CB2}, \text{T}} = E_{\text{CB1}, \text{T}} + 0.15 \text{ 兆电子伏}。$$

计算所用的值 $E_{\text{B1}, \text{T}}, \nu_{\text{A}}/\nu_{\text{T}}$ 及其他计算裂变中子谱所必需的参数引自文献^{[13], [14], [16]}, 并都列在表内。

自两碎片飞出的总裂变中子谱具有较复杂的结构, 因为按我们所说的每一碎片可以或是放出几率为 $P_{1\text{A}, \text{T}}$ 的一个中子, 或者是放出几率为 $1 - P_{1\text{A}, \text{T}}$ 的二个中子。可以证明, 由于碎片的运动, 能谱的精确公式和每个碎片先后放出二个中子的能谱公式相近似的。为了简化能谱的计算设想二个中子是近似于先后放出的。

自每个碎片放出“第一”中子的能谱按公式(4)计算, “第二”中子的能谱——按公式

$$N'_{\text{A}, \text{T}}(E) = \text{常数} \int \frac{E(1 + \sqrt{\omega/E})^2}{E(1 - \sqrt{\omega/E})^2} \epsilon_2^{-1/2} d\epsilon_2 \times \\ \times \int_0^{E_{\text{B1}, \text{T}} - E_{\text{CB1}, \text{T}} - E_{\text{CB2}, \text{T}} - \epsilon_2} \epsilon_1^{1/2} (E_{\text{B1}, \text{T}} - \\ - E_{\text{CB1}, \text{T}} - E_{\text{CB2}, \text{T}} - \epsilon_1) e^{-\tau_{\text{A}, \text{T}} d\epsilon_1} \quad (6)$$

“第二”中子能谱具有相似的形状是由于碎片在放出第一个中子以后, 它的激发能量较第二中子的结合能高得不多, 因此碎片在放出第二中子后的能级密度随能量的关系变化很小; 而截面 $\sigma(E_{\text{B}} - E_{\text{CB1}} - E_{\text{CB2}}, \epsilon_2)$ 可以认为是常数。

U^{235} 的计算结果和实验数据^{[17], [18], [20]} 在图 1 给出。虚线是相应于

$$N(E) = \text{常数} \cdot E^{1/2} \exp\left(-\frac{E}{B}\right), \quad (7)$$

的近似公式, 此处 $B = 1.29$ 。由图可见计算和实验的符合很好。

用能阈探测器比较 $\text{U}^{235}, \text{U}^{233}, \text{Pu}^{239}$ 的裂变中子能谱^{[2], [3]}, 导出 U^{233} 及 Pu^{239} 硬度参数的值 B , 分别等于 1.33 及 1.34 。在能谱的硬度主要决定于“第一”中子的假定下, 计算得出这二个值是 1.346 及 1.345 , 在误差范围内是和实验相符的。

对其他裂变元素参数 B 的相仿的计算和能谱的测量发现有一种总的趋向, 即裂变中子能谱随 Z^2/A 的增大而稍硬, (Z ——电荷, A ——裂变核的原子量)。

计算所得的硬度参数 B 随 Z^2/A 的变化增加的概图于图 2 中列出。

由表及图 2 还可看出, 裂变核的激发能量增加 1 兆电子伏时, 硬度参数 B 增加 1—2%, 这和文献^{[3], [14]}的结果相符。

在低能量 (< 1 兆电子伏) 的区域内上述计算得出 $\text{U}^{235}, \text{U}^{233}, \text{Pu}^{239}$ 裂变中子能谱的差别不超过 12%。这结果和已有的在 50—700 千电子伏能量范围内对这些元素能谱测量的实验结果^[17] 并不矛盾。

知道“第一”及“第二”中子的能谱和中子在碎片内的结合能就可以估计中子从碎片带走的平均能量 E_0 的值, 及 γ 射线从裂变碎片带走的部分激发能量 E_{γ} 。

如果 $\bar{\nu}$ 随激发能量变化的线性规律是对的, 则计算所得的值 $1/E_0$ 应该和测得的值 $\Delta\nu/E$ ^{[13], [19]} 相符合。 $\text{U}^{235}, \text{U}^{233}, \text{Pu}^{239}$ 的 $1/E_0$ 值和实验值 $\Delta\nu/\Delta E$ 在激发能量一直到中子在裂变核内结合能的二个数量级时在误差范围内还是符合的, 只在高的激发能量范围和实验值有些差异, 但是这分歧也很容易解

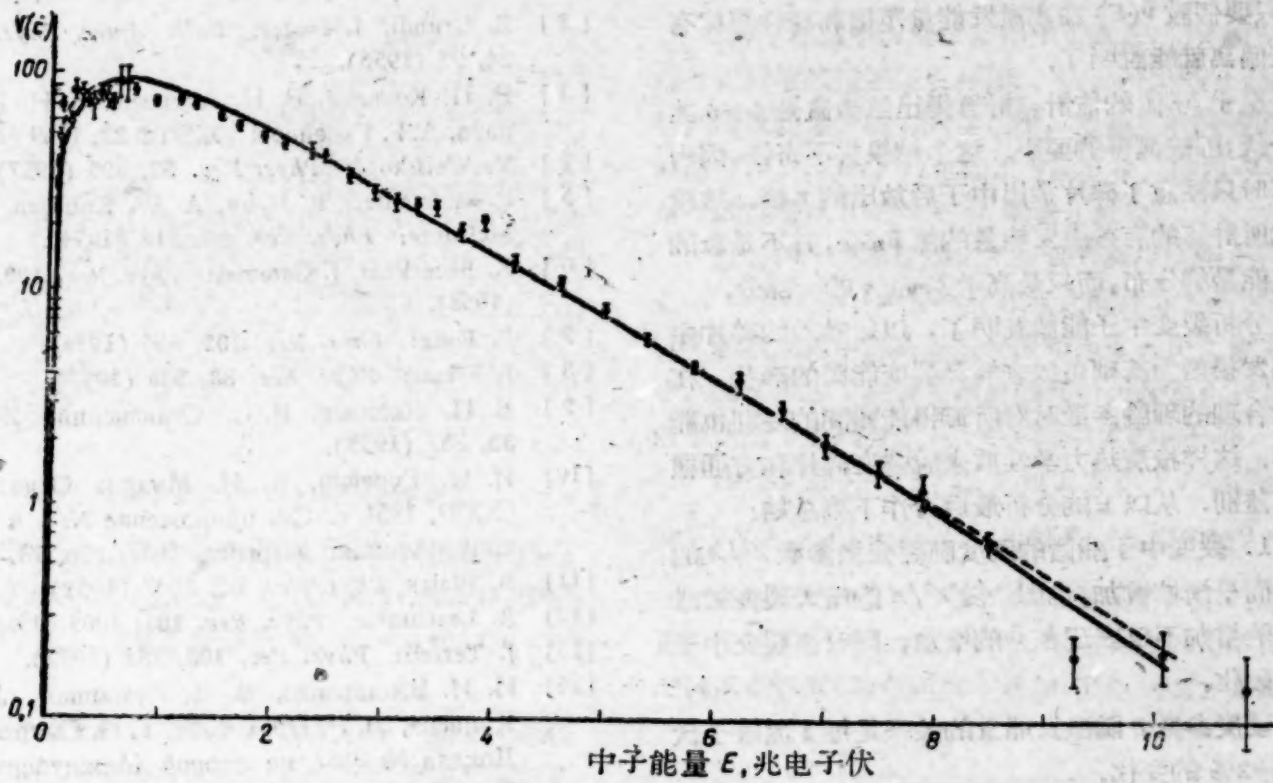


图1 U^{235} 裂变中子能谱的计算结果。

○——文献[17]的数据；■——文献[18]的数据；●——文献[20]的数据。

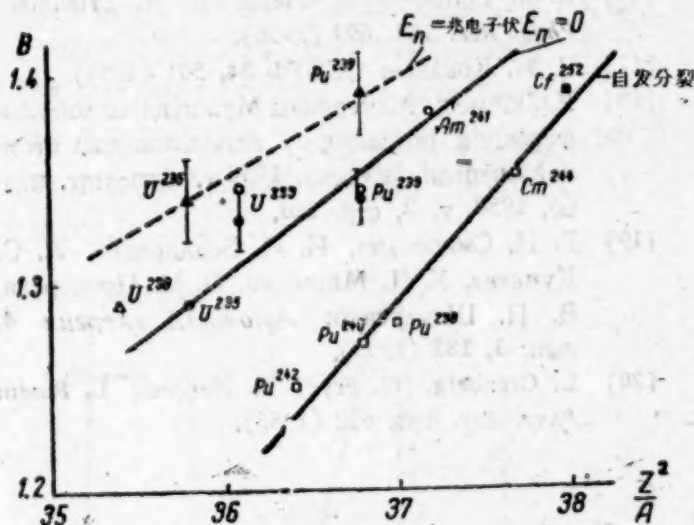


图2 裂变中子能谱硬度随裂变核参考 Z^2/A 的变化。

●▲■——文献[1],[3],[14]的数据；
○△□——计算结果。

计算能谱的参数

核	$\bar{\nu}$	$\frac{\nu_L}{\nu_T}$	E_{VL} , 兆电子伏	E_{VT} , 兆电子伏	E_{SVL} , 兆电子伏	E_{SVT} , 兆电子伏	ω_L , 兆电子伏	ω_T , 兆电子伏	$\frac{1}{E_0}$, 兆电子伏 ⁻¹	$\frac{\Delta \nu}{\Delta E}$ 兆电子伏 ⁻¹ $E_n=4$ 兆电子伏*	$\frac{\Delta \nu}{\Delta E}$ 兆电子伏 ⁻¹ $E_n=15$ 兆电子伏*
U^{235}	2.47 ± 0.03	1.26	11.5	10.5	5.00	5.04	1.06	0.47	0.152	0.136 ± 0.025	0.135 ± 0.012
U^{233}	2.58 ± 0.06	1.28	12.2	11.3	5.14	5.34	1.08	0.44	0.142	0.127 ± 0.025	0.124 ± 0.011
Pu^{239}	3.05 ± 0.08	1.22	13.2	11.4	5.39	5.13	1.00	0.51	0.147	0.131 ± 0.022	0.121 ± 0.013
Am^{241}	3.14 ± 0.04	1.20	13.4	12.0	5.10	5.30	1.00	0.52	0.143	—	—
Pu^{242}	2.18 ± 0.09	1.20	11.6	10.2	5.32	4.89	1.00	0.52	0.143	—	—
Pu^{240}	2.26 ± 0.05	1.22	12.0	10.4	5.39	5.13	1.00	0.51	0.145	—	—
Pu^{238}	2.33 ± 0.08	1.24	12.3	10.9	5.54	5.39	1.00	0.50	0.140	—	—
Cm^{244}	2.82 ± 0.05	1.18	13.8	11.8	5.83	5.27	1.00	0.57	0.131	—	—
U^{238}	2.86 ± 0.06	1.23	11.8	10.2	4.77	4.65	1.00	0.50	0.159	—	—

* E_n ——引起裂变的中子的动能。

决,只要假设 $\bar{\nu}(E)$ 在高激发能量范围和线性规律有某些偏离就能说明了。

至于 E_γ 值的估计,计算得出这数值是 4—6 兆电子伏,即较测得的小。这个结果并不奇怪,因为计算时只注意了碎片放出中子后放出的 γ 射线。这就是说所计算的有效激发能量的值 $E_{\text{eff},\gamma}$,并不是总的激发能量的分布,而只是高于 $E_{\text{eff},\gamma}$ 的一部分。

分析裂变中子能谱证明了,以运动着的碎片中子蒸发模型为基础可以来解释裂变能谱的形状,在选择合理的理论参数时对所测得能谱间的差别也能解释。这样按着热力学性质来说裂变碎片和普通核没有差别。从以上的分析最后可作下列总结:

1. 裂变中子能谱的硬度随裂变核参数 Z^2/A 的增大而平滑地增加,也即是随 Z^2/A 的增大裂变核激发能的增加不仅表现在 $\bar{\nu}$ 的增加,同时使裂变中子能谱硬化。

硬度参数 B 随激发能量的关系是每 1 兆电子伏有 1—2% 的变化。

2. 要同时描述自碎片放出中子及 γ 射线的过程,必须知道每个碎片激发能量的分布。

最后作者感谢兰普斯基 (А. И. Лейпунский) 对这工作的关怀和一起讨论结果,对鲍达林可 (И. И. Бондаренко) 及乌萨乔夫 (Л. Н. Усачев) 给以一系列的指教表示感激,并感谢哈林 (В. П. Харин) 所作的数字计算。

译自 Атомная энергия Том 5

(1958) Вып. 6, 649—652

参 考 文 献

[1] A. B. Smith, P. R. Fields, I. H. Roberts: *Phys. Rev.* **108**, 411 (1957).

[2] Z. Grudl, I. Neuer: *Bull. Amer. Phys. Soc.* **24**, 95 (1956).

[3] В. П. Ковалев, В. Н. Андреев, М. Н. Николаев, А. Г. Гусейнов: *ЖЭТФ* **33**, 1069 (1957).

[4] V. Weisskopf: *Phys. Rev.* **52**, 295 (1957).

[5] R. Hofstadter, B. Hahn, A. W. Knudsen, I. A. McIntyre: *Phys. Rev.* **95**, 512 (1954).

[6] K. Brueckner, J. Gammel: *Phys. Rev.* **109**, 1023 (1958).

[7] P. Fong: *Phys. Rev.* **102**, 434 (1956).

[8] J. Fraser: *Phys. Rev.* **88**, 536 (1952).

[9] В. П. Ковалев, В. С. Ставинский: *ЖЭТФ* **35**, 787 (1958).

[10] И. И. Гуревич, К. Н. Мухин: Отчет АН СССР, 1951 г. См. приложение № 1 к журналу «Атомная энергия», 1957, стр. 74.

[11] B. Watt: *Phys. Rev.* **87**, 1037 (1952).

[12] R. Leachman: *Phys. Rev.* **101**, 1005 (1956).

[13] J. Terrell: *Phys. Rev.* **108**, 783 (1957).

[14] И. И. Бондаренко, В. Д. Кузьминов, Л. С. Куцаева, Л. Н. Прохорова, Г. Н. Смиренин: Доклад № 2187 на второй Международной конференции по мирному использованию атомной энергии, Женева, 1958.

[15] J. Fraser, J. Milton: *Phys. Rev.* **93**, 818 (1954).

[16] A. B. Smith, P. R. Fields, A. M. Friedman: *Phys. Rev.* **104**, 699 (1956).

[17] В. Н. Ковалев: *ЖЭТФ* **34**, 501 (1958).

[18] Р. Личмен: Материалы Международной конференции по мирному использованию атомной энергии, Женева, 1955 г. Физ.-мат. изд-во, 1958, т. 2, стр. 220.

[19] Г. Н. Смиренин, И. И. Бондаренко, Л. С. Куцаева, Х. Д. Мищенко, Л. И. Прохорова, В. П. Шеметенко: *Атомная энергия* **4**, вып. 3, 188 (1958).

[20] L. Cranberg, G. Frye, N. Nereson, L. Rosen: *Phys. Rev.* **103**, 662 (1956).

在鉄及鉛中散射的 γ 射线的角分布和能量分布

喀費斯基 (Ю. А. Казанский)

别洛夫 (С. П. Белов)

馬多謝維奇 (Е. С. Матусевич)

在以前发表的文章[1], [2]中,研究了 Co^{60} 点源在半无穷大介质 (混凝土, 铅) 的条件下散射的 γ 辐射的能量角分布。在文献[3]中报导有最大能量为 10 兆电子伏的电子回旋加速器的截止辐射经铅过滤器后角分布的测量结果。

在本工作中测量了 Co^{60} 及 Au^{198} 源的 γ 射线

($E = 1.33$ 及 1.17 兆电子伏及 $E = 0.411$ 兆电子伏) 经过铅 ($\mu_0 = 2.2; 4.1; 6.3; 8.2$, 这里 μ_0 是 γ 射线吸收系数, γ 是铅或铁过滤器厚度) 及铁 ($\mu_0 = 2; 4; 6; 8.5; 9.8$) 散射的能量角分布。

测量是在半无穷大几何条件下进行的。源, 介质及探测器的位置, 还有实验装置的主要几何尺寸都

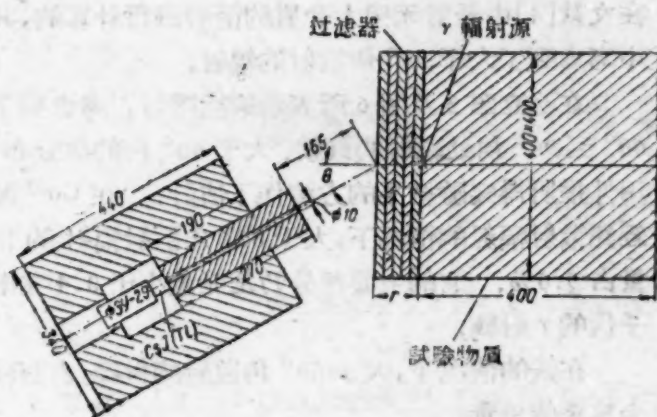
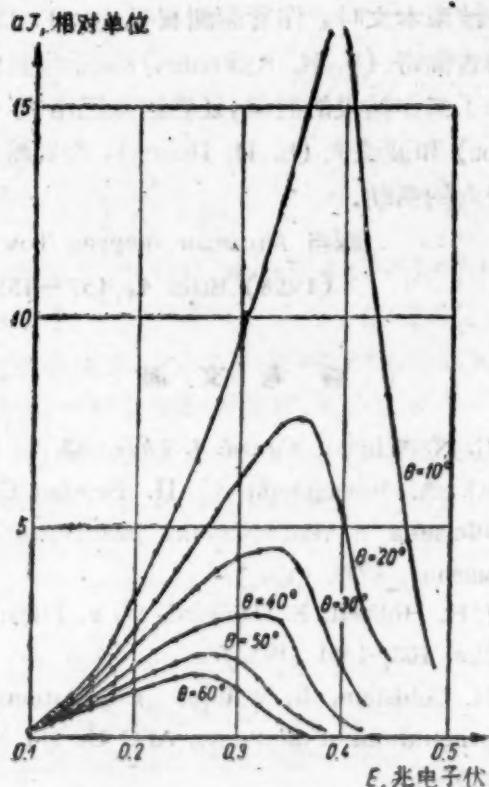


图1 实验装置图(尺寸以毫米为单位)。

表示在图1中。从介质出来的散射辐射借助于由直径30毫米高27毫米的CsI(Tl)晶体作成的闪烁谱仪记录下来。测量了 θ 等于10, 20, 30, 40, 50, 60°等角度。

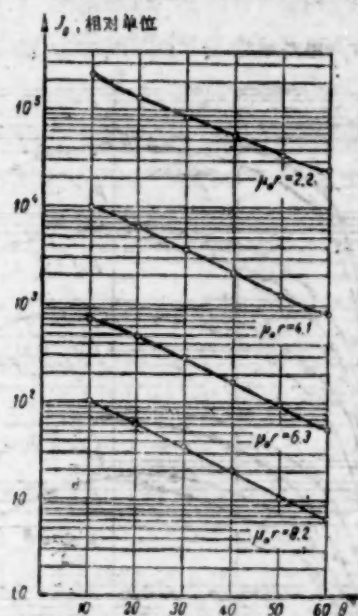
测得的谱所包括的脉冲振幅是和 γ 量子在晶体中由光电吸收及康普顿散射生成的电子的能量成正比的。为了从所得到的谱中减去康普顿电子的部分,作出了数字矩阵,考虑了不同初始能量的 γ 射线的康普顿分布的形式。 γ 射线的能量是将下列单能量源的康普顿电子的实验分布外推得到的: Ce^{141} (0.145 兆电子伏), Cr^{51} (0.320 兆电子伏), Au^{198} (0.411 兆电子伏), Cs^{137} (0.661 兆电子伏), Zr^{95} (0.760 兆电子伏), Zn^{65} (1.12 兆电子伏), K^{42} (1.51 兆电子伏)。

图2 在铅中散射的初始能量为0.411兆电子伏的 γ 射线对于 $\mu_0 r = 6$ 的强度底能量角分布图。

此外,在谱中对谱仪效率作了修正。实验方法部分更详细的描述以后再作。这样得出的分布,正确到谱仪能量分辨力的修正值,乃是 γ 射线的散射能谱 $N(E, r, \theta) dE d\Omega$,也即沿方向 θ 在立体角 $d\Omega$ 中运行的能量从 E 到 $E + dE$ 的量子数目。

就各种不同厚度 $\mu_0 r$ 所得到的强度底能量角分布 $dI = E \cdot N(E, r, \theta) dE d\Omega$ 相互之间差别并不显著。 Co^{60} 源放在铅中的典型的角分布图曾引在文献[2]中。图2表示了在铁中散射的初始能量为0.411兆电子伏的 γ 射线对于 $\mu_0 r = 6$ 的强度的角分布。

在图3及4中,以任意单位表示了 $I_\theta(r, \theta) = 2\pi \int_E N(E, r, \theta) \sin \theta d\theta dE$,也就是在角度 θ 到 $\theta + d\theta$ 之间按所有极坐标角 φ 积分的 γ 量子所取走的总能量。如果 Co^{60} 源放在铅中,则 I_θ 与角度的关系将是超越函数性质:随着距离 r 增加,可以见到各向异性

图3 在 Co^{60} 源放于铅中的条件下,对于各种 $\mu_0 r$,作为角度 θ 的函数的 $I_\theta(r, \theta)$ 值。

$\mu_0 r = 2.2$ 的曲线就绝对值而言并不与其他几条曲线很准确地关联着,因为测量是用另外一种放射性强度的源作的。

图4 在 Au^{198} 源放在铁中的条件下,对于各种 $\mu_0 r$,作为角度 θ 的函数的 $I(r, \theta)$ 值。

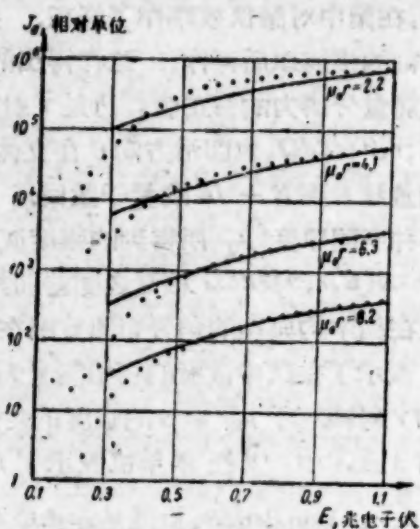


图5 对于各种 $\mu_0 r$, Co^{60} 源 γ 辐射在铅中散射的强度能谱。

实验结果(点)都根据文献[4]的计算结果(实线)归一化。

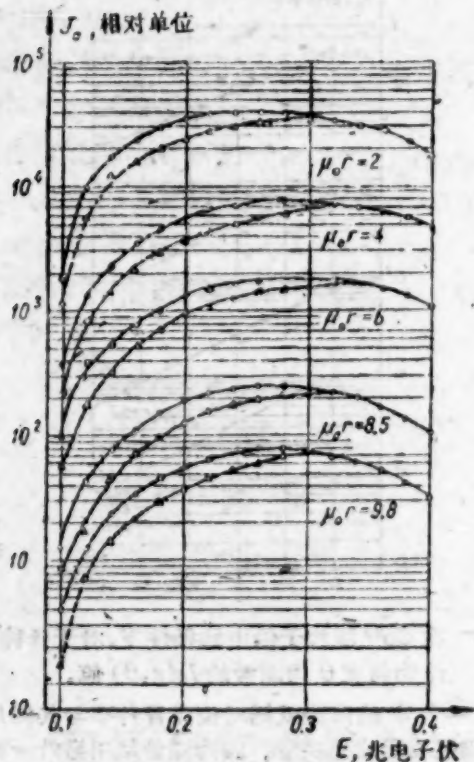


图6 对于各种 $\mu_0 r$, Au^{198} 源 γ 射线在铁中散射的能谱(实线)。

虚线是不计散射大于 60° 角的射线的能谱。

有很弱的增加。

在图5及图6中表示了散射辐射强度的能谱:

$$I_0(E, r) = 2\pi \int_0^\pi EN(E, r, \theta) \sin \theta d\theta dE.$$

对铅而言,在能量超过0.4兆电子伏时,实验所得的能谱和计算所得的能谱符合得很好。可以作为特征的是,对于较小的厚度,在能谱形状上有较大的偏离。能量低于0.4兆电子伏时的偏离可以解释为,

在文献[4]中是对无穷大介质的情形进行计算的,其中考虑到了大于 90° 角散射的辐射。

在建立图5及图6所表示的能谱时,考虑到了 60° 到 90° 角处辐射的贡献。大于 60° 角的角分布,用外推所得实验结果的方法作了估计。在 Co^{60} 源经铅散射辐射的情况下,大于 60° 角散射辐射的份量占3.6%。它的主要部分乃是能量小于0.4兆电子伏的 γ 射线。

在铁的情况下,大于 60° 角散射的射线,占有较为显著的份量。

散射 γ 射线角分布实验结果的误差,是由测量误差(平均为3%)以及测量结果处理误差相加起来的。后者在小能量范围时很大,而在谱的中段则大约减小到,对 Co^{60} 源而言为4%,对 Au^{198} 源而言为2%。

这样,对于所测谱的中段来说,总实验误差是5—7%。

根据文献[1]—[3]以及本工作的结果,可以作出若干个结论来。散射 γ 射线强度底角分布随散射介质厚度增加改变很弱,这种情况一直到厚度等于10倍自由路程长度时都保持着。这个结论对于原子序数小的(混凝土),中间的(铁)及大的(铅)物质在0.4到1.3兆电子伏的能量范围内都是正确的。

从介质中散射出来射线的各向异性,是随着原子序数的增加而增强的,而在硬 γ 射线的情况下,这个关系更为清楚。

在结束本文时,作者感谢崔宾(С. Г. Цыпин)和库赫吉维奇(В. И. Кухтевич)给予宝贵的忠告及参加了工作结果的讨论,还感谢朱巴洛夫(С. И. Чубаров)和波波夫(В. И. Попов),在实验进行中给了极大的帮助。

译自 Атомная энергия Том 5
(1958) Вып. 4, 457—459.

参考文献

- [1] G. N. Whyte: *Canad. J. Phys.* **33**, 96 (1955).
- [2] Ю. А. Казанский, С. П. Белов: Сборник «Физика и теплотехника реакторов». Атомиздат, 1958, стр. 123.
- [3] J. H. Hubbell, E. Hayward, W. F. Titus: *Phys. Rev.* **108**, 1361 (1957).
- [4] H. Goldstein, E. Wilkins: Calculations of the penetrations of the γ -rays, AEC US No 40, 3075 (1954).

能量为 14 兆电子伏的中子分裂 U^{235} 及 U^{238} 时的平均中子数 $\bar{\nu}$

弗列洛夫 (Н. Н. Флеров) 塔雷辛 (В. М. Талызин)

文献[1],[2]中叙述过的快中子探测器曾于 1954 年用来测量了 $\bar{\nu}$ 值; $\bar{\nu}$ 是所研究的物质在一次裂变中的平均中子数. 这个值可利用能量为 14 兆电子伏中子穿过可裂变物质样品后测量中子通量的增加来测定.

记录能量为 14 兆电子伏的中子时,探测器的计数率等于[2]

$$N_0 = I_0 k_0. \quad (1)$$

在有样品进行测量时,由于非弹性过程(基本上是裂变和 $(n, 2n)$ 反应)的结果,探测器计数率增加,并等于

$$N_1 = I_0 k_0 e^{-n\sigma_{in}l} + I_0 k_1 (1 - e^{-n\sigma_{in}l}) \frac{\bar{\nu}\sigma_f + 2\sigma_{n,2n}}{\sigma_{in}} (1 + \beta). \quad (2)$$

公式(1)和(2)中 σ_f 是裂变截面; $1 + \beta$ 是考虑到由于次级中子引起铀裂变所致中子数增加的系数;其余符号与文献[2]中相同.

令

$$\frac{N_1}{N_0} = 1 + \gamma \quad \text{和} \quad \frac{k_0}{k_1} \frac{1}{1 + \beta} = \alpha$$

我們得到

$$\bar{\nu} = \frac{\alpha\gamma}{\sigma_f} \frac{\sigma_{in}}{1 - e^{-n\sigma_{in}l}} + 2 - (2 - \alpha) \frac{\sigma_{in}}{\sigma_f}. \quad (3)$$

在推出公式(3)时,沒有考虑到中子的非弹性散射 $(n, n\gamma)$ 和 $(n, 3n)$ 反应. 从铅与铋的实验中知道,非弹性散射截面小于中子非弹性作用截面的 10%. 可以认为:对可裂变物质而言,它将还要小一些. 显然 $(n, 3n)$ 反应截面更小,因为其反应阈接近于初级中子的能量. 因此由这些过程所决定的公式(3)中的修正项

$$\frac{\sigma_{n,n\gamma} - \sigma_{n,3n}}{\sigma_f}$$

很小,以致可以不考虑. 飞出带电粒子的中子俘获反应也因其过程的截面很小可以忽略.

由金属铀制成的球形样品(外直径为 4 厘米,内直径为 3.4 厘米,小孔直径为 2.1 厘米)放在厚为 0.9 毫米的镉套当中. 整个又放在薄壁黄铜容器中.

一个样品是用天然铀做的,而另一个则用含 90.1% U^{235} 的铀做成.

为了确定中子数的增加 $1 + \gamma$, 进行有样品和沒有样品时的测量. 在沒有样品的实验中,空的黄铜容器中装有镉套. 由于有样品和沒有样品的多次测量得到了系数 $1 + \gamma$ 的值(见表).

由次级中子引起 U^{235} 分裂所致中子数增加的修正系数 $1 + \beta$ 是由实验测定的. 将具有相似裂变中子谱的源放在 U^{235} 样品的中心时,知道中子数增加的系数等于 1.031 ± 0.004 . 表中所列 $1 + \beta$ 的值是考虑了次级中子在样品中平均路程约样品厚度的二倍时得到的. 而 U^{238} 的 $1 + \beta$ 值是在对裂变中子其裂变截面 $\sigma_f = 0.27 \pm 0.03$ 巴恩的假定下通过计算得到的[3].

同样地可以确定与慢中子作用下 U^{235} 裂变有关的效应. 将空的容器与 U^{235} 样品一起放在离能量为 14 兆电子伏的中子源 23 厘米处的空腔的角上. 探测器计数率增加 $(0.3 \pm 0.3)\%$. 考虑到与能量为 14 兆电子伏的中子直接作用的修正系数对 U^{235} $1 + \Delta = 1.002 \pm 0.003$; 对 U^{238} $\Delta = 0$.

为了从公式(3)计算 $\bar{\nu}$ 值,必須得知道非弹性作用截面 σ_{in} , 裂变截面 σ_f 以及探测器灵敏度系数的比值 k_0/k_1 . 对 σ_{in} 尚未有公布的资料,然而它可以通过文献[4]实验结果外推,用公式

$$\sigma_{in} = \pi(1.2A^{1/3} + 2.1)^2 \times 10^{-26} \text{ 厘米}^2$$

或总截面 σ_t 的一半来很精确地测定[5],[6]. 我們取 $\sigma_{in} = (2.85 \pm 0.10)$ 巴恩; U^{238} 的裂变截面 σ_f 取 (1.13 ± 0.05) 巴恩[7]; 而 U^{235} 則 $\sigma_f = (2.30 \pm 0.15)$ 巴恩[8].

在文献[1]中测得系数比值

$$k_0/k_1 = 0.874 \pm 0.030.$$

对 U^{238} 利用公式(3)和考虑了 U^{235} 样品中同位素组分后更全面的公式,可以得到列于表中的 $\bar{\nu}$ 值. 必須指出:所得 $\bar{\nu}$ 值(尤其对于 U^{238})有一約 2—5% 的不大的误差,它可以用公式(3)中忽略了 $(n, n\gamma)$ 和 $(n, 3n)$ 反应的修正项 $\frac{\sigma_{n,n\gamma} - \sigma_{n,3n}}{\sigma_f}$ 来解释.

引起了对于 η 值的注意, η 是铀核在一次俘获能量为 14 兆电子伏中子中次级中子的平均数。假定

$$\eta = \frac{\bar{\nu}\sigma_f + 2\sigma_{n,2n}}{\sigma_{in}}, \text{ 由公式(1)和(2)我們得到}$$

$$\eta = \alpha \left(\frac{\gamma}{1 - e^{-\gamma \sigma_{in}}} + 1 \right). \quad (4)$$

表中引入了 U^{235} 和 U^{238} 的 η 值。必須指出,除了 γ 和 α 的實驗值外, η 值仅决定于 σ_{in} 。

实 驗 結 果

	$1 + \gamma$	$1 + \beta$	$\bar{\nu}$	η
U^{238}	1.084 ± 0.003	1.011 ± 0.001	4.50 ± 0.32	2.99 ± 0.15
U^{235}	1.128 ± 0.005	1.062 ± 0.008	4.13 ± 0.24	3.71 ± 0.20

正如公式(3)所示, $\bar{\nu}$ 与 σ_f 值的关系很小, 因为 $\bar{\nu}$ 值不大, 而 $(\bar{\nu}-2)$ 反比于 σ_f 。但当裂变截面值 σ_f 有一些修正时, 尤其对于 U^{235} , 本文所得 $\bar{\nu}$ 值的数值可能有某些改变。 σ_{in} 值的修正对 $\bar{\nu}$ 值的影响很小。

所得到的 U^{238} 的 $\bar{\nu}$ 值曾进一步用其他方法^[9]测量证实。所得 $\bar{\nu}$ 值等于 4.45 ± 0.35 。

文献[10]中所得到的 U^{238} 的 $\bar{\nu}$ 值 ($\bar{\nu} = 4.45 \pm 0.20$) 发现与本文结果很好符合。

文献[11]、[12]中用其他方法所得到的 U^{235} 的 $\bar{\nu}$ 值等于 4.7 ± 0.5 和 4.51 ± 0.19 , 比本文稍大了一些。

我們认为感谢弗列洛夫 (Г. Н. Флеров) 經常

对工作的关怀和结果的讨论以及索洛维也夫 (С. Н. Соловьев) 在实验中的帮助是我們自己愉快的責任。

海谷譯自 Атомная энергия Том 5
(1958) Вып. 6, 653—654.

参 考 文 献

- [1] Н. Н. Флеров, В. М. Талызин: *Атомная энергия* III, 291 (1957).
- [2] Н. Н. Флеров, В. М. Талызин: *Атомная энергия* 5, вып. 6, 653 (1958).
- [3] N. Pais: *Nucleonics* 13, 67 (1955).
- [4] Н. Н. Флеров, В. М. Талызин: *Атомная энергия* № 4, 155 (1956).
- [5] J. H. Coon, E. R. Graves, H. H. Barschall: *Phys. Rev.* 88, 562 (1952).
- [6] М. М. Халецкий; ДАН 113, 305 (1957).
- [7] Н. Н. Флеров, А. А. Березин, И. Е. Челноков: *Атомная энергия* 5, вып. 6, 657 (1958).
- [8] А. А. Березин, Г. А. Столяров, Ю. В. Никольский, И. Е. Челноков: *Атомная энергия* 5, вып. 6, 659 (1958).
- [9] Н. Н. Флеров, Е. А. Таманов: *Атомная энергия* 5, вып. 6, 654 (1958).
- [10] S. Blaize, M. Gandin, R. Joly, J. Leroy, G. Vendryes: Доклад на Международной конференции по взаимодействию нейтронов с ядрами. Нью-Йорк, сентябрь 1957 г.
- [11] А. Н. Протопопов, М. В. Блинов: *Атомная энергия* 4, вып. 4, 374 (1958).
- [12] Г. Н. Смиренкин, И. И. Бондаренко, А. С. Куцаева, Х. Д. Мищенко, Л. И. Прохорова, Б. П. Шеметенко: *Атомная энергия* 4, вып. 2, 188 (1958).

在能量为 14 兆电子伏的中子作用下 U^{238} 分裂

时产生的平均中子数

弗列洛夫 (Н. Н. Флеров)

塔馬諾夫 (Е. А. Таманов)

文献[1]中曾利用能量为 14 兆电子伏中子通过铀样品后中子通量的增加测量了 $\bar{\nu}$ 值。 $\bar{\nu}$ 是一次裂变中的平均中子数。从而引起了人們用其他方法去测量它的兴趣。本文于 1955 年完成的, 它通过一次裂变过程所产生的中子的二重符合数测定了 U^{238} 的 $\bar{\nu}$ 值。由于中子探测器绝对灵敏度精确测量的困难, 必須同时测量鉛中 $(n, 2n)$ 反应产生的中子数。这样, U^{238} 核裂变所产生的平均次级中子数就可由与鉛中 $(n, 2n)$ 反应获得的中子数的比值来确定。必須指出, 中子探测器的灵敏度不应当与裂变或 $(n, 2n)$

反应所记录的中子的能量有关。

方法 在一次裂变过程中, 产生中子脉冲 n 重符合的几率可以用下面的方法来测量^[2]。裂变中产生的平均中子数 $\bar{\nu} = \sum \nu I(\nu)$ (其中 $I(\nu)$ 表示一次裂变中生成 ν 个中子的几率, 且 $\sum I(\nu) = 1$)。从裂变产生的总数目 ν 中记录 n 个中子的几率等于

$$P(n, \nu) = \frac{\nu!}{n!(\nu-n)!} \epsilon^n (1-\epsilon)^{\nu-n},$$

其中 ϵ ——记录中子的效率。用 F_f 表示单位時間中的裂变数; N_n 表示单位時間內 n 重符合的数目。我

們得到

$$N_n = F_f \sum_{\nu=n}^{\infty} I(\nu) \frac{\nu!}{n!(\nu-n)!} \varepsilon^n (1-\varepsilon)^{\nu-n}. \quad (1)$$

因为所采用的中子探测器的效率 $\varepsilon \approx 0.01$, 因此

$$\left. \begin{aligned} N_1 &= F_f \bar{\nu} \varepsilon; \\ N_2 &= F_f \frac{\bar{\nu}^2 - \bar{\nu}}{2} \varepsilon^2; \\ N_3 &= F_f \frac{\bar{\nu}^3 - 3\bar{\nu}^2 + 2\bar{\nu}}{6} \varepsilon^3 \end{aligned} \right\} \quad (2)$$

由于三重符合比二重符合小二个数量级, 故在以后的计算中没有考虑进去。

在能量为 14 兆电子伏的中子与 U^{238} 作用时, 除了裂变外, 还有 $(n, 2n)$ 反应。因此二重符合数等于

$$N_2 = \left(F_f \frac{\bar{\nu}^2 - \bar{\nu}}{2} + F_{n,2n} \right) \varepsilon^2, \quad (3)$$

其中 $F_{n,2n}$ 是单位时间内在铀里面 $(n, 2n)$ 反应的数目。对厚为 l , 每立方厘米有 n 个原子核的 U^{238} 样品, F_f 由下式决定:

$$\left. \begin{aligned} F_f &= I_0 (1 - e^{-n\sigma_{in}l}) \frac{\sigma_f}{\sigma_{in}}; \\ F_{n,2n} &= I_0 (1 - e^{-n\sigma_{in}l}) \frac{\sigma_{n,2n}}{\sigma_{in}}, \end{aligned} \right\} \quad (4)$$

其中 I_0 是能量为 14 兆电子伏中子的通量; σ_{in} 是该能量中子与 U^{238} 非弹性作用的截面; σ_f 是裂变截面; $\sigma_{n,2n}$ 是 $(n, 2n)$ 反应截面。从公式(3)和(4)我们得出

$$N_2 = I_0 \varepsilon^2 \frac{1 - e^{-n\sigma_{in}l}}{\sigma_{in}} \left(\frac{\bar{\nu}^2 - \bar{\nu}}{2} \sigma_f + \sigma_{n,2n} \right). \quad (5)$$

在铅作样品的实验中, 其 $\sigma_f = 0$ 。

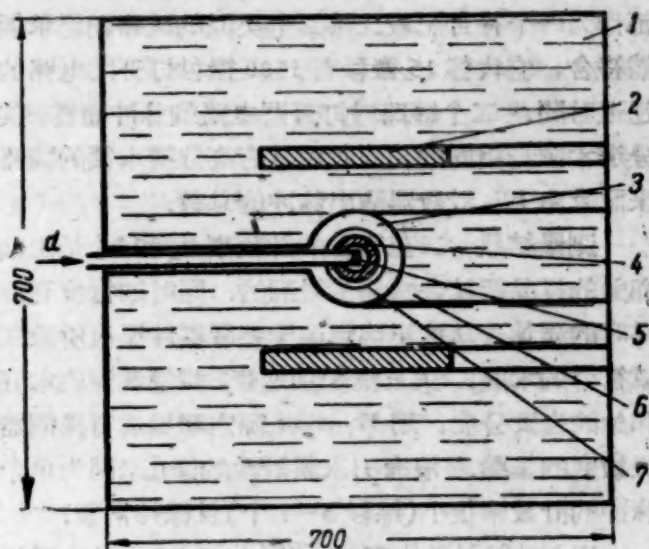
$$N'_2 = I_0 \varepsilon^2 \frac{1 - e^{-n'\sigma'_{in}l}}{\sigma'_{in}} \sigma'_{n,2n} \quad (5')$$

从(5)与(5')相除, 消去探测器的灵敏度, 并取 $I(\nu)$ 为泊松分布 $I(\nu) = \frac{\bar{\nu}^\nu e^{-\bar{\nu}}}{\nu!}$, 即 $\bar{\nu}^2 = \bar{\nu} + \bar{\nu}$ 。我们得到

$$\frac{\bar{\nu}^2}{2} = \frac{N_2}{N'_2} \frac{1 - e^{-n'\sigma'_{in}l}}{\sigma'_{in}} \frac{\sigma_{in}}{1 - e^{-n\sigma_{in}l}} \frac{\sigma'_{n,2n}}{\sigma_f} - \frac{\sigma_{n,2n}}{\sigma_f}. \quad (6)$$

必须指出, 式(6)右面部分第二项远比第一项为小, 因此, $\bar{\nu}$ 值基本上由实验中很精确测量的值所决定。

仪器 测定 $\bar{\nu}$ 的实验装置示于图中。在装满水的槽中央, 于球形空腔中置有能量为 14 兆电子伏的中子源(离子加速管的氘靶)以及由铀或铅制成的样品。在距离空腔中心 14.5 厘米处放有六个 BF_3 计数器(长 26 厘米、直径 2.8 厘米, 浓集 B^{10} 达 71.6%)。这个距离是在事先的实验中用一个 BF_3 计数器选定的, 在那个地方记录由 $Ra-\gamma-Be$, $Na-\gamma-Be$, $Ra-\alpha-Be$



实验的示意图。

1—盛水的立方槽; 2—六个 BF_3 计数器; 3—球形空腔; 4—样品; 5—中子源; 6—更换样品时屏蔽观察窗的石蜡填入物; 7—毫米级厚的铅套。

和有类似裂变谱的源出来的中子的效率保持常数(具有精确度 10%)。表中引入了探测器相对灵敏度测量的结果, 它是用六个 BF_3 计数器对强度相等(精确度 2—4%)而能量不同的中子源得到的。

探测器的相对灵敏度

源			
Ra- γ -Be	类似裂变谱	Ra- α -Be	Po- α -Be
0.96	1	0.89	0.88

取类似裂变谱的源出来的中子探测器的灵敏度为 1, 从表中看到, 对于次级中子探测器灵敏度为常数的假定是很好地被满足的。

由天然的金屬铀或鉛做成的球形样品(外直径分别为 6.4 和 8.5 厘米)放在使其中心与靶心相重合的地方。为了减少在慢中子作用下 U^{235} 的裂变, 样品的直径将取作空腔直径的二分之一, 并将样品放在球形铅套当中(内直径 8.5 厘米, 壁厚 1 毫米), 此铅套无论在有或没有样品的测量中都把它放在空腔里面。

从所有六个 BF_3 计数器出来的脉冲经放大与成形以后, 输入并打开延迟 15 微秒开启 100 微秒的门电路。这样, 由裂变或 $(n, 2n)$ 反应生成的第一个记下来的中子脉冲打开门电路而本身并不通过门电路, 在第一个脉冲后 15—115 微秒间隔内记下来的第二个中子脉冲通过门电路与第一个脉冲符合计数; 同样时间内经门电路的二个或二个以上的脉冲

* 加撇的量表示铅样品的。

都作为一个符合计数。第二个类似的线路图记录偶然符合，它代替 15 微秒有 1500 微秒打开门电路的延迟时间。二个线路对打开门电路的脉冲而言，其分辨本领是相同的。同时用具有高分辨本领的线路来记录由 BF_3 计数器输出脉冲的总数。

测量结果 二重符合的计数率 N_2 和 N_2' 是由铀和铅的样品经过多次测量得到的。同时进行没有样品时的测量，从这里确定由于装置零件反应所致二重符合的本底。关上离子加速管，测量装置的本底和铀的自发分裂。用 $\text{Po}-\alpha\text{-Be}$ 源定期地进行探测器灵敏度的检验。没有引入误计数的修正，因为单个脉冲的计数率很小（每秒 5—7 个）且保持常数。

用 α 粒子计数来直接检验 (d, t) 反应中的中子通量由于 α 计数管很小的立体角是很困难的。在个别的实验中，当探测器单个脉冲的计数率较大时， α 计数管曾用来测定铀和铅样品与没有样品时单个脉冲计数率的比值（具有准确度 1.5%），可以利用探测器的单个脉冲来检验所得到的系数。

利用已知的铀和铅的截面积

$$\sigma'_{in} = (2.54 \pm 0.05) \text{巴恩}^{[3]};$$

$$\sigma'_{n,2n} = (2.30 \pm 0.19) \text{巴恩}^{[4]};$$

$$\sigma_f = (1.13 \pm 0.05) \text{巴恩}^{[5]};$$

$$\sigma_{in} = (2.85 \pm 0.10) \text{巴恩}^*$$

和取 $\sigma_{n,2n} = \sigma_{in} - \sigma_f$ ，从表式 (6) 经引入不大的修正——考虑到由于非弹性作用产生的中子引起的铀的附加分裂后，得到 $\bar{\nu} = 4.3 \pm 0.3$ 。这个值曾在 $\bar{\nu}$ 值遵从泊松分布的假定下得到过，那时 $\bar{\nu} = \bar{\nu} + \bar{\nu}$ 。在文献 [6]—[10] 中指出：对于自发分裂以及 80 千电子伏中子作用下分裂的多裂变元素，其分布接近于二项式分布，即 $\bar{\nu} = \bar{\nu} + \frac{m-1}{m} \bar{\nu}$ ，这里 m ——分裂放出的最大中子数。在泊松分布中 $m = \infty$ 。可以假定，用能量 14 兆电子伏中子分裂铀时，也接近于二项式分布，具有 m 等于 10—15。这时得到的 $\bar{\nu}$

值必须引入 3.5—5% 的修正。我们得到

$$\bar{\nu} = 4.45 \pm 0.35.$$

公式 (6) 中仅考虑了能量为 14 兆电子伏的中子与铀作用时主要的过程——裂变及 $(n, 2n)$ 反应。非弹性散射及 $(n, 3n)$ 反应的修正很小，因此没有考虑。

该 $\bar{\nu}$ 值与文献 [1] 中得到的 4.50 ± 0.32 很好地符合，而文献 [9] 得到的 $\bar{\nu}$ 发现也与我们的结果很好符合。

我们认为感谢弗列洛夫 (Г. Н. Флеров) 对工作的宝贵意见和经常的关怀以及塔雷辛 (В. М. Талызин) 对工作的讨论是我们愉快的责任。

译自 Атомная энергия Том 5 (1958)

Вып. 6, 654—656.

参 考 文 献

- [1] Н. Н. Флеров, В. М. Талызин: *Атомная энергия* 5, № 6, 653 (1958).
- [2] K. W. Geiger, D. C. Rose: *Canad. Phys.* 32, No. 8, 498 (1954).
- [3] Н. Н. Флеров, В. М. Талызин: *Атомная энергия*, № 4, 155 (1956).
- [4] Н. Н. Флеров, В. М. Талызин: *Атомная энергия* 5, № 6, 653 (1958).
- [5] Н. Н. Флеров, А. А. Березин, И. В. Челноков: *Атомная энергия* 5, № 6, 657 (1958).
- [6] D. A. Hicks, J. Ise, R. Pyle: *Phys. Rev.* 97, 564 (1955).
- [7] R. Pyle, D. A., Hicks and J. Ise: *Phys. Rev.* 616 99, Rev. (1955).
- [8] J. E. Hammel, J. F. Kephart: *Phys. Rev.* 100, 190 (1955).
- [9] S. Blaize, M. Gandin, R. Joly, Hero, G. Vendryes: Доклад на Международной конференции по взаимодействию нейтронов с ядрами. Нью-Йорк, сентябрь 1957 г.
- [10] B. C. Diven, H. C. Martin, R. F. Taschek, J. Terrell: *Phys. Rev.* 101, 1012 (1956).

* 这个值由文献 [3] 的资料用外推法得到的。

能量为 14.6 兆电子伏的中子分裂 U^{238} 的截面

弗列洛夫 (Н. Н. Флеров)

别列琴 (А. А. Березин)

契尔诺科夫 (И. Е. Челноков)

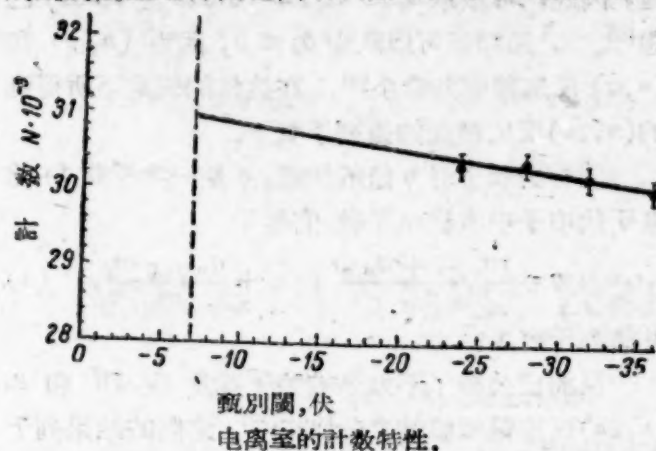
文献 [1] 中当测定 $\bar{\nu}$ ——14 兆电子伏中子作用 U^{238} 裂变生成的平均中子数——时，出现了精确测量裂变截面的必要性，它引起了人们特别的注意。

测定裂变截面的实验是在 1952 年进行的。采

用了薄壁电离室，电极中的一个安有带 U_3O_8 层的金箔，这层是用电解法涂上去的，具有直径 7.2 厘米，表面密度 0.5 毫克/厘米²。在层里的铀量可用二种方法测定：称量及根据 α 粒子计算。其结果很符合

(具有精确度 1%)。电离室安置在离开离子加速管氘靶一定的距离处,对于氘束成 0° 角 (氘的能量为 140 千电子伏)。能量为 14.6 兆电子伏的中子通量的绝对值是由 $T(d,n)He^4$ 反应根据一定立体角下面 α 粒子计数决定。 α 计数管的结构及中子绝对通量测量的详细情形在文献[2]中有叙述。

为了确定在铀层里裂变的总数,在甄别器不同的甄别阈上进行测量,并外推到零阈 (参看插图)。



这样的测量在离开靶两种距离 R 上进行,并指出:

对于 $R = 20$ 厘米,散射中子的本底达 1%,对于 $R = 28.3$ 厘米,达到 2%。引入本底, U_3O_8 层内裂变碎片的吸收,氘靶室和电离室壁上非弹性过程及 U^{235} 裂变一系列不大的修正后,得到能量为 14.6 兆电子伏中子分裂 U^{238} 的截面:

$$\sigma_f = (1.13 \pm 0.05) \text{巴恩}.$$

文献[3]中引入了由没有发表的尼尔 (Нир) 的工作中得来的 U^{238} 裂变截面对于大能量范围的中子的关系曲线和对于中子能量为 14 兆电子伏的 σ_f 值,这些数值发现和我們工作的结果很好符合。

海谷译自 Атомная энергия Том 5 (1958)
Вып. 6, 657.

参考文献

- [1] Н. Н. Флеров, В. М. Талызин: Атомная энергия 5, 653 (1958).
- [2] Н. Н. Флеров, В. М. Талызин: Атомная энергия III, 291 (1957).
- [3] R. K. Smith, R. L. Henkel, R. A. Nobles: Доклад на Гордоновской конференции, США, 1957.

能量为 14 兆电子伏的中子与铍、铅及铋 相互作用下 $(n, 2n)$ 反应截面的测定

弗列洛夫 (Н. Н. Флеров)

塔雷辛 (В. М. Талызин)

文献[1]中所叙述的快中子探测器——石墨稜柱——曾用来测量铍、铅和铋的 $(n, 2n)$ 反应截面。在立方空腔 (边长为 30 厘米) 中心的稜柱中,放置着能量为 14 兆电子伏的中子源——利用 (d, t) 反应的离子加速管的靶。在离开空腔中心 70 厘米处,用 BF_3 计数管测量热中子密度。正如文献[1]中所指出的:这探测器在中子能量为 0.1—8 兆电子伏范围内有恒定的灵敏度,而对能量为 14 兆电子伏中子则灵敏度较小。

$(n, 2n)$ 反应截面利用所研究物质的样品和没有样品时探测器计数率的比值来测定。探测器在记录能量为 14 兆电子伏中子时,计数率等于

$$N_0 = I_0 k_0,$$

其中 I_0 ——中子通量, k_0 ——对 14 兆电子伏中子探测器的灵敏度。

当安置所研究物质的球形样品于空腔中时,探测器计数率增加:

$$N_1 = I_0 e^{-n\sigma_{in}l} k_0 + I_0 (1 - e^{-n\sigma_{in}l}) \frac{2\sigma_{n,2n} + \sigma_{n,n'}}{\sigma_{in}} k_1,$$

其中 n ——每立方厘米中物质原子核的数目; l ——样品厚度; $\sigma_{in} = \sigma_{n,2n} + \sigma_{n,n'} + \sigma_c$ ——非弹性作用截面; $\sigma_{n,2n}$ —— $(n, 2n)$ 反应截面; $\sigma_{n,n'}$ ——非弹性散射截面; σ_c ——飞出带电粒子的反应和 (n, γ) 反应的截面的总和; k_1 ——探测器对非弹性相互作用产生的中子的灵敏度。

令

$$\frac{N_1}{N_0} = 1 + \gamma,$$

我們得到

$$\sigma_{n,2n} - \sigma_c = \frac{k_0}{k_1} \frac{\sigma_{in}}{1 - e^{-n\sigma_{in}l}} \gamma - \left(1 - \frac{k_0}{k_1}\right) \sigma_{in}. \quad (1)$$

这公式对重元素是正确的。在轻元素情况下,弹性散射中子的能量与初级中子能量有很大的不同,以致公式有某些复杂化:

$$\sigma_{n,2n}-\sigma_c = \frac{k_0}{k_1} \frac{\sigma_t}{1-e^{-n\sigma_t l}} \gamma - \left(\frac{k_2}{k_1} - \frac{k_0}{k_1} \right) \sigma_t - \left(1 - \frac{k_2}{k_1} \right) \sigma_{in}, \quad (2)$$

其中 σ_t ——总截面, k_2 ——探测器对弹性散射中子的平均灵敏度。

公式(1)和(2)是在 $(n, 3n)$ 反应截面小得可以忽略的假定下得出的。从公式中可以看出: $\sigma_{n,2n}-\sigma_c$ 测量的准确度决定于 γ 值的统计精确度。 $\frac{k_0}{k_1}$ 的精确度与 σ_{in} 及 σ_t 截面值的关系不大。

金属铅和铋球形样品的外直径为 12.5 厘米, 内直径为 4.5 厘米; 金属铍样品的外直径为 6.7 厘米, 内直径为 3 厘米; 所有样品的小孔直径为 2.2 厘米。样品安置得使其中心与靶心相合。用记录 $d-t$ 反应中 α 粒子的正比计数器作为校正器 (монитор)。

由于有样品和没有样品时多次测量的结果, 得到了列于表 1 的 γ 值。

总截面的测量是利用金属铍制的三个样品完成的。其直径为 2.99 厘米, 1.778 厘米, 2.695 厘米, 厚 0.883 厘米。离开靶 61 厘米处安置闪烁计数器; 在计数器与靶之间放置样品。铍的总截面等于

$$\sigma_t = (1.42 \pm 0.02) \text{ 巴恩},$$

发现与文献[3]—[7]的结果很好地符合。

利用文献[2]中的 σ_{in} 值, 文献[1]中的 $\frac{k_0}{k_1}$

0.874 ± 0.030 , 并取铍的 $\frac{k_2}{k_1}$ 的计算值为 0.93 ± 0.02 ,

以及我们测量的总截面值 $\sigma_t = (1.42 \pm 0.02)$ 巴恩, 可以得到 $\sigma_{n,2n}-\sigma_c$ 的值。表 1 中引入的 $\sigma_{n,2n}-\sigma_c$ 的值是经过一系列不大的修正的——球的小孔的存在、样品中中子非弹性散射所致中子路程的增加以及在铍中中子的增殖 ($\approx 3\%$)。

显然对于铍截面 σ_c 基本上决定于 (n, α) 反应, 因此; 可以取 $\sigma_c \approx \sigma_{n,\alpha} = (0.010 \pm 0.001)$ 巴恩^[8]。对铅和铋可以认为 $\sigma_c \approx 0$, 因为 (n, p) 和 (n, α) 反应截面非常小^[9]。在这样的假定下所得到的 $(n, 2n)$ 反应截面的值列于表 1。

同样引起了对 η 值的注意, η 是一次俘获 14 兆电子伏中子中次级中子数, 它等于

$$\eta = \frac{2\sigma_{n,2n} + \sigma_{n,n'}}{\sigma_{in}} = 1 + \frac{\sigma_{n,2n}-\sigma_c}{\sigma_{in}}, \quad (3)$$

其值列于表 1。

目前已公布了不太多的关于测量 Be, Pb 和 Bi $(n, 2n)$ 反应截面值的文献^{[10]—[13]}, 它们的结果列于表 2。

文献[10]中得到的具有很好的统计精确度的铅和铋的 $(n, 2n)$ 反应截面比本文结果低很多。看来, 如作者所指出的: 在该工作中存在系统误差。

文献[13]中所得的一系列元素的 $\sigma_{n,2n}$ 值, 包括铅和铋的, 都超过所有非弹性过程截面值的总和。

表 1 测量结果

量 \ 元素	Be	Pb	Bi
γ	0.149 ± 0.004	0.330 ± 0.007	0.303 ± 0.007
σ_{in} , 巴恩	0.64 ± 0.02	2.54 ± 0.05	2.59 ± 0.03
$(\sigma_{n,2n}-\sigma_c)$, 巴恩	0.54 ± 0.06	2.30 ± 0.19	2.42 ± 0.20
$\sigma_{n,2n}$, 巴恩	0.55 ± 0.06	2.30 ± 0.19	2.42 ± 0.20
η	1.84 ± 0.09	1.91 ± 0.08	1.93 ± 0.08

表 2 比较本文结果与其他文献的结果

源	$(n, 2n)$ 反应截面, 巴恩		
	Be	Pb	Bi
本文	0.55 ± 0.06	2.30 ± 0.19	2.42 ± 0.20
格列烏斯等 ^{[10]*}	—	$(1.76 \pm 0.04) - (2.12 \pm 0.05)$	$(1.86 \pm 0.02) - (2.19 \pm 0.03)$
华西里也夫等 ^{[11]**}	0.7	—	—
罗申等 ^[12]	0.42 ± 0.07	—	2.3 ± 0.3
阿什貝等 ^[13]	0.54 ± 0.04	2.72 ± 0.20	2.60 ± 0.19

* 这个值是在以下假定下得到的: 对铅 $0 \leq \sigma_c \leq 0.36$ 巴恩; 对铋 $0 \leq \sigma_c \leq 0.33$ 巴恩。

** 内插值

参考文献

- [1] Н. Н. Флеров, В. М. Талызин: *Атомная энергия* III, 291 (1957).
 [2] Н. Н. Флеров, В. М. Талызин: *Атомная энергия* № 4, 155 (1956).
 [3] A. H. Lasday: *Phys. Rev.* **81**, 139 (1951).
 [4] J. H. Coon, E. R. Graves, H. H. Barschall: *Phys. Rev.* **88**, 562 (1952).
 [5] L. S. Goodman: *Phys. Rev.* **88**, 686 (1952).
 [6] C. F. Cook, T. W. Bonner: *Phys. Rev.* **94**, 651 (1954).
 [7] М. М. Халецкий: *ДАН* **113**, 305 (1957).
 [8] M. E. Battat, F. L. Ribe: *Phys. Rev.* **88**, 159 (1952); **89**, 80 (1953).
 [9] E. B. Paul, R. L. Clarke: *Can. J. Phys.* **31**, 267 (1953).
 [10] E. R. Graves, R. W. Davis: *Phys. Rev.* **97**, 1205 (1955).
 [11] С. С. Васильев, В. В. Комаров, А. М. Попова: *ЖЭТФ* **33**, 527 (1957).
 [12] L. Rosen, L. Stewart: *Phys. Rev.* **107**, 824 (1957).
 [13] V. I. Ashby, H. C. Catron, L. L. Newkirk, C. I. Taylor: Доклад на Международной конференции по взаимодействию нейтронов с ядрами, Нью-Йорк, сентябрь 1957 г.

能量为 14.6 兆电子伏的中子对 U^{235} 及 Th^{232} 的分裂截面

别列琴 (А. А. Березин)

尼柯里斯基 (Ю. В. Никольский)

斯托梁罗夫 (Г. А. Столяров)

契尔诺科夫 (И. Е. Челноков)

14.6 兆电子伏的中子分裂 U^{235} 及 Th^{232} 的截面曾于 1952 年用二种不同的方法测量过。

U^{235} 的分裂截面是利用与同样能量中子分裂 U^{238} 截面的比值来测定的。带有 U^{235} 和 U^{238} 的电离室轮换地放在离子加速管靶的与氘束成 0° 角的中子流里面，靶上进行着 $d-t$ 反应。电离室接到同样的具有恒定脉冲甄别阈的綫性放大器上面。采用二个相同的有圆柱形电极的薄壁电离室。每个电离室(直径 2.5 厘米)电极的外部由铅箔制成。其内表面用文献[1]所述的方法涂上一层天然铀，以及另一个用电解法涂浓集到 97% 的 U^{235} 层。天然铀层的表面密度达 ~ 2 毫克/厘米²，而 U^{235} 层 ~ 0.5 毫克/厘米²。在单独的测量中，需测定一个电离室的 U^{238} 及另一个的 U^{235} 的有效量。电离室放在大小为 $60 \times 60 \times 70$ 厘米³ 的石墨棱柱内；围有 4 厘米厚石蜡层的 Po-Be 中子源也放在同样的地方。由于在这些测量中，在同样时间间隔内记录的裂变数正比于电离室内 U^{235} 的有效量，因而电离室 U^{235} 及 U^{238} 有效量的比值利用已知样品同位素组分来确定。考虑到铅比值的差引入不大的修正。

在加速管上测量时，利用记录 $T(d, n) He^4$ 反应中 α 粒子的正比计数器作为检验器。为了减少由于仪器可能有的不大的不稳定性和电离室装置的不精确性所引起的误差，进行多次重复循环测量。在每次重复中都进行二个电离室在快中子与热中子里的

测量。为了减小散射中子引起的本底，将电离室放在铅(厚 1 毫米)和碳化硼(厚 10 毫米)制的套子里面。在离开靶不同的距离处测定本底的修正。对有 U^{235} 的电离室的本底达有效值的 2%。引入不大的修正后得到下列 U^{235} 和 U^{238} 分裂截面的比值： $\frac{\sigma_f^{235}}{\sigma_f^{238}} = (2.03 \pm 0.09)$ 巴恩。利用 14.6 兆电子伏能量的中子分裂 U^{238} 的截面值 σ_f 等于 (1.13 ± 0.05) 巴恩，我们得到 14.6 兆电子伏中子分裂 U^{235} 的截面值 σ_f^{235} 等于 (2.30 ± 0.15) 巴恩。

Th^{232} 的分裂截面借助于放在能量为 14.6 兆电子伏中子中的电离室来测量。电离室的结构，相对于离子加速管靶的位置以及测量中子绝对通量的仪器都与文献[2]中测量 U^{238} 分裂截面时的一样。采用的是涂于铅箔上的氧化钍(类似于文献[1]所叙述的方法涂上去的)，其表面密度 ≈ 0.5 毫克/厘米²。层含 16.6 ± 0.5 毫克钍。考虑了不大的修正后得到 14.6 兆电子伏中子分裂 Th^{232} 的截面值，它等于 (0.37 ± 0.02) 巴恩。文献[3]中的 U^{235} 和 Th^{232} 的分裂截面值发现与本文所得结果很好地符合。

作者深深地感谢弗列洛夫(Н. Н. Флеров)对结果的讨论。

譯自 *Атомная энергия* Том 5(1958)

Вып. 6, 659—660.

参考文献

- [1] Б. Росси, Г. Штауб: Ионизационные камеры и счетчики. Изд. ИЛ, 1951.
[2] Н. Н. Флеров, А. А. Березин, И. Е. Челно-

- ков. *Атомная энергия* 5, 658 (1958).
[3] А. Н. Протопопов, Ю. А. Селицкий, С. И. Соловьев: *Атомная энергия* 4, вып. 2, 190 (1958).

新的錫同位素

謝里諾夫 (И. П. Селинов)
胡列里查 (Д. Е. Хулелидзе)
布里奧查 (Ю. А. Блиодзе)

格里茨 (Ю. А. Гриц)
巴洛尼 (Е. Е. Барони)
捷明 (А. Г. Демин)

庫沙凱維奇 (Ю. П. Кушакевич)

作者們曾对浓集同位素 Sn^{112} (52.3%) 和 Sn^{114} (57.2%) 的錫在 $E_d = 10$ 兆电子伏氘核中照射所产生的同位素进行了研究。在照射过的 Sn^{112} 和 Sn^{114} 的样品上发现以前所不知道的放射性, 它們的半衰期分別地为 7 ± 0.5 分和 31 ± 1 分。按吸收方法所测定的 β^+ 譜上限, 在两种情况下, 都接近于 2 兆电子伏。

用两个浓集样品所获得的新同位素的化学分离表明, 上述放射性属于錫的放射性。錫的分离按照古脫察特方法(稍有改变)进行的。产額~70%的放射性錫的化学分离能在 6 分鐘內結束。測量开始前每一样品的放射性强度为几百微居里, 而 7 分鐘的錫起始强度比从錫的其他同位素杂质中所产生的錫同位素起始强度大 19 倍, 31 分鐘錫起始强度要大

69 倍。

新的錫同位素能在 (d, n) 及 $(d, 2n)$ 反应中形成, 但是最可能是在 $\text{Sn}^{112}(d, n) \text{Sb}^{113}$ 及 $\text{Sn}^{114}(d, n) \text{Sb}^{115}$ 反应中获得, 因为当 $E_d = 10$ 兆电子伏时, 在錫的輕同位素上逃出一个中子反应几率最大, 而不是二个中子。此外, 在 $\text{Sb}^{(115)}$ 射綫中未观测到 $E_\gamma > 0.5$ 兆电子伏的表征由錫形成的錫的貧中子偶同位素的首批激发能級的 γ 綫 (Sn^{116} 的 $E_\gamma = 1.3$, Sn^{120} 的 — 1.18 兆电子伏, 这样奇同位素 Sn^{117} 的 — 0.16 及 Sn^{119} — 0.02 兆电子伏)。

目前正在进一步研究所发现的同位素的精确的衰变图問題。

譯自 *Атомная энергия* Том 5 (1958)

Вып. 6, 660.

在迴旋加速器上制备同位素 As^{74}

古尔達瑪希維利 (А. И. Гулдамашвили) 德米特利也夫 (П. П. Дмитриев)
克拉斯諾夫 (Н. Н. Краснов) 米辛 (В. Я. Мишин) 哈甫洛夫 (Е. Н. Хапров).

在迴旋加速器上用氘核輻照鍺以獲得 As^{74} 以前在文獻[1]—[4]中都會有過報導。文獻[3]中給出 As^{74} 的产額在氘核能量为 15 兆电子伏时为 5.2 微居里/微安小时。

我們獲得砷的同位素是在迴旋加速器上用能量为 10.8 兆电子伏氘核的外束輻照金属鍺制取的[5]。图 1 上給出靶的装置, 这个装置的特点在于, 冷却水直接冲洗受輻照鍺板的內表面, 鍺板是在真空中鑄成板坯, 然后磨成所要的尺寸 ($170 \times 40 \times 4$ 毫米³)。

强度为 60—70 微安的氘束打在大小是 150×25 毫米的鍺表面上, 这块面积是由靶法兰盘的口所限制的。冷却鍺板的水流量是 5 升/分。为了要获得

金属状的放射性比度高的純同位素 As^{74} 采取了下面的办法。輻照过的鍺在王水中經過二次 15—20 分鐘的煮沸, 有 97—98% 的放射性都进入溶液內。溶液的蒸发和由 11 N HCl 中提去痕量的 GeCl_4 按文獻

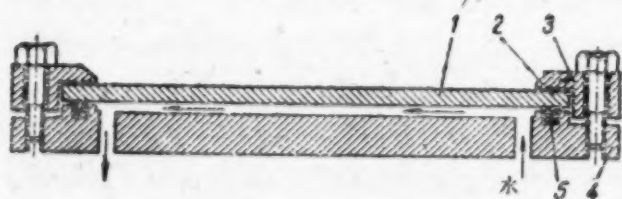


图 1 靶的装置

1——鍺板; 2——軟墊衬物; 3——法兰盘;
4——座架; 5——橡皮密封物。

[6]中所述的方法进行。附加的砷载体的量是50微克。放射性同位素砷的化学产额在提去锗的剩余物后~90%。

由盐酸溶液中集积放射性同位素砷采用了馬夏的方法。在盐酸中浓度为20%的放射性砷以亚砷化氢的形态分离出来；反应瓶这时予以冷却^[7]。通过内径为5毫米用煤气噴灯加热的管子，亚砷化氢分解出放射性金属砷，它以黑色鏡状沉淀在形状略有不同的洛克曼(Lockemann)仪器^[8]石英滴管的壁上。滴管的內径不大于0.6毫米。从溶液中分离出砷以后，把滴管抽真空并且摘取下来，砷又赶到滴管一端的安瓿中去。摘下滴管后，放射性砷集积在体积为0.6厘米³的安瓿中。按这样的方法做了二个起始总放射性为60毫居里的As⁷⁴源。

按这办法进行处理时約60%的放射性砷积存在滴管内，3—4%留在加热部分前面的粗管子里，約10%剩在盐酸溶液内，而其余的以AsH₃状随氢流挥发走了。把砷赶到安瓿摘下来时不会引起AsH₃显著的损失。

砷As⁷⁴的放射性是在辐照后30天在“仙人掌”

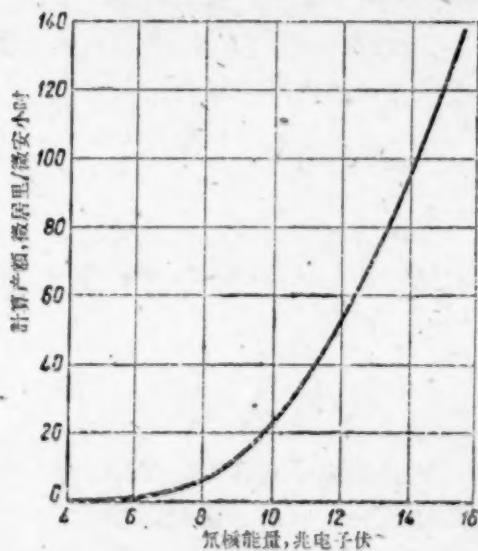


图2 在金属锗(天然同位素的組成)的厚靶上由反应 $\text{Ge}^{73}(d,n)\text{As}^{74}$ 及 $\text{Ge}^{74}(d,2n)\text{As}^{74}$ 而得As⁷⁴的产额随氦核能量变化的計算值

型的微仑計上和Co⁶⁰源比較的方法来測量的。取As⁷⁴的电离常数为4.29仑/小时毫居里^[9,10]。为了消除As⁷³的輻射影响，采用了适当的滤片。同位素As⁷⁴的总产额等于25微居里/微安小时。确定这个值时的誤差是15%。As⁷⁴的理論計算产额由图2给出。氦核能量为10.8兆电子伏时的产额和我们的結果符合得很好。

还进行了As⁷⁴射綫在鉛中的吸收測量，測量和計算結果相符。得出As⁷⁴的半衰期等于 13.4 ± 0.4 天。

作者感謝日列波夫教授(Б. С. Джелепов)，雪林諾夫(И. П. Селинов)及巴洛尼(Е. Е. Барони)的寶貴意見和对工作关怀，馬克西莫夫(М. З. Максимов)专誠进行了As⁷⁴产额曲綫的計算，还感謝布里奥查(Ю. А. Блюдзе)及齐伏朵夫斯基(И. И. Животовский)对这工作的帮助。

譯自 Атомная энергия Том 5 (1958) Вып. 6 660—661.

参 考 文 献

- [1] R. Sagane, G. Miyamoto, M. Ykawa: *Phys. Rev.* **59**, 904 (1941).
- [2] J. W. Irvine: *J. Phys. Chem.* **46**, 910 (1942).
- [3] H. J. Watters, J. F. Fagan: *Phys. Rev.* **92**, 1248 (1953).
- [4] P. H. Steker, Ong Ping Hek: *Physica* **19**, 279 (1953).
- [5] П. П. Дмитриев, Н. Н. Краснов, Е. Н. Хапров: *Атомная энергия* III, № 7, 45 (1957).
- [6] M. Green, S. A. Kefele: *J. Chem. Phys.* **22**, 760 (1954).
- [7] В. А. Назаренко, Г. В. Флянтикова, Н. В. Лебедева: *Заводская лаборатория* **23**, 891 (1957).
- [8] G. Lockemann: *Z. angew. Chem.* **18**, 423 (1905).
- [9] S. Jehanssen, Y. Cauchis, K. Siegbahn: *Phys. Rev.* **82**, 275 (1951).
- [10] Б. С. Джелепов, Л. К. Пекер: *Схемы распада радиоактивных изотопов*, М., Изд. АН СССР 1957.

列宁格勒近郊的放射性沉降

斯維道夫 (В. П. Шведов)
盖介諾夫 (Л. И. Геденов)

布利諾夫 (В. А. Блинов)
安古基諾夫 (Е. П. Анкудинов)

由于原子武器和热核武器的連續試驗，地球表面上不断地发生着放射性产物的沉降及其浓集。在列宁格勒近郊曾測量过这些产物的放射性大小。

用不同的方法进行样品的收集。其中最主要的

是在底部鋪有粘性紙，邊緣高10厘米，面积1平方米的土坑內利用沉淀法收集大气中的塵埃和大气渣滓。土坑露天放置一昼夜。应用这些方法收集的效率为88%。用在底部装有酸性水同样露天放置的高

壁瓷器进行沉降的放射性产物的收集。这种方法的效率可为100%^[1,2]。

在温度~500°C下将所收集的物质(水、雪、粘有灰尘的黏性纸)蒸发和进行残渣的灰化。磨碎所获取的灰渣,然后利用钟型计数管测量其放射性。

为将一分钟的脉冲数转化为绝对活度,故在同一计数器上研究具有已知绝对比活度的不同重量的样品。该样品由粘性纸灰化获得的非放射性灰渣或由水蒸发后,煅烧的残渣制成。在这些样品中放入含有铀²³⁵裂变产物的溶液。利用按巴拉诺夫及波列魏模型制成的4 π 计数器来测定被加入的产物的绝对放射性^[3]。这样,就得转化因数与样品重量的关系曲线。

放射性产物沉降的表面密度用单位面积上单位放射性强度来表示。此值根据下列公式确定:

$$\sigma = \frac{ncf}{s}$$

式中 n ——样品的计数强度(每分计数次数);
 c ——由计数强度换算成绝对放射性强度的因数;
 f ——考虑到所选择的收集方法的效率的因数;
 s ——收集面积。

每昼夜确定 σ 值,在第一次测量后的某一段时间中注视一昼夜沉降的物质放射性的下降过程。同时,在很多情况下可以确定形成所研究沉淀物的爆炸日期^[4-7]:在这种情况下,沉降被称为“信号沉降”,所有其余的被称为“本底沉降”。

图1-4中所示为用对数表示的从1954年4月1日-1957年12月31日间每天观察到的放射性产物的沉降密度。虚线为每年的平均水平。放射性产物沉降的不均匀性反映出地球物理学因素及试验系列进行期限的错综复杂。观察到某些“平静”期,1954年和1955年较清楚,1956年和1957年明显地减少。

表1给出了每年放射性沉降的情况。测定的平均沉降密度和一年中所有昼夜沉淀的算术的平均值

表1 1954年—1957年列宁格勒近郊放射性产物的沉降密度

年	昼夜沉降密度,毫居里/平方公里			信号沉降数
	年平均数	年本底平均数	观察的最大值(观察时间)	
1954	0.73	0.31	12.48(10,11)	36
1955	1.28	0.40	93.00(13,3)	53
1956	0.70	0.45	16.41(26,11)	40
1957	1.67	0.50	43.42(19,04)	94
1958 (在6月1日)	—	—	—	42

相同。利用本底平均的方法求得平均的本底沉降密度。

表1的数据指出昼夜沉降的放射性平均数值迅速增加。沉降的平均本底密度增加比较慢,为一很小的值。由这些结果同样可以看出所有放射性沉淀大部分取决于信号沉降,所观察到的沉降的增长主要是放射性产物的“新的”沉降增长。这就说明,违反了里波^[8,9]的断言,绝大多数分裂产物不仅进入它们沉降不快的同温层,而且也进入沉降很快进行的对流层^[10]。

整个来说表1的数据,特别是爆炸产物在地球上迅速沉淀的事实,以及平静期的减少证实了核试验增长的强度。这与根据预测核爆炸^[11]危险性而规定的在世界上进行核试验的某些固定速度有矛盾。

当经常记录沉降强度和了解放射性产物增长时可以探求它们的浓集情况,即可以得到任何一天考虑了每个昼夜样品蜕变的所有早期沉降产物的总放射性。

如果以昼夜来测量时间并标记收集样品日(从开始观察之日起) i 天沉降密度值以 σ_{ii} 标记,则在其他任一 k 天,放射性即为 σ_{ik} 。借助弗埃及魏格纳精确关系式^[2,3]可求得该放射性。

$$\sigma_{ik} = \sigma_{ii} \left(\frac{k-i+\tau}{\tau} \right)^{-1.15}$$

式中 τ ——沉降日放射性产物的增长。

k 日结束前在单位面积内将聚集有放射性 A_k ,它由下式来决定

$$A_k = \sum_{i=1}^{i=k} \sigma_{ik}$$

当进行放射性这样的计算时必须了解一昼夜内任意收集的样品的增长。对信号样品来说,它是已知的,但如果为本底样品,测定增长是不可能的(一般在低值 σ_{ii} 情况时),可认为放射性产物在地球任一点,前述试验系列进行的中期 i 日形成。

表2是在每年观察的初期和中期利用同样的计算方法求得的结果。

表2 列宁格勒近郊沉降的放射性产物的积累

日期	放射性积累,毫居里/厘米 ²	日期	放射性积累,毫居里/厘米 ²
1.07. 1954	13	1.07. 1956	68
1.01. 1955	56	1.01. 1957	87
1.07. 1955	87	1.07. 1957	142
1.01. 1956	72	1.01. 1958	151

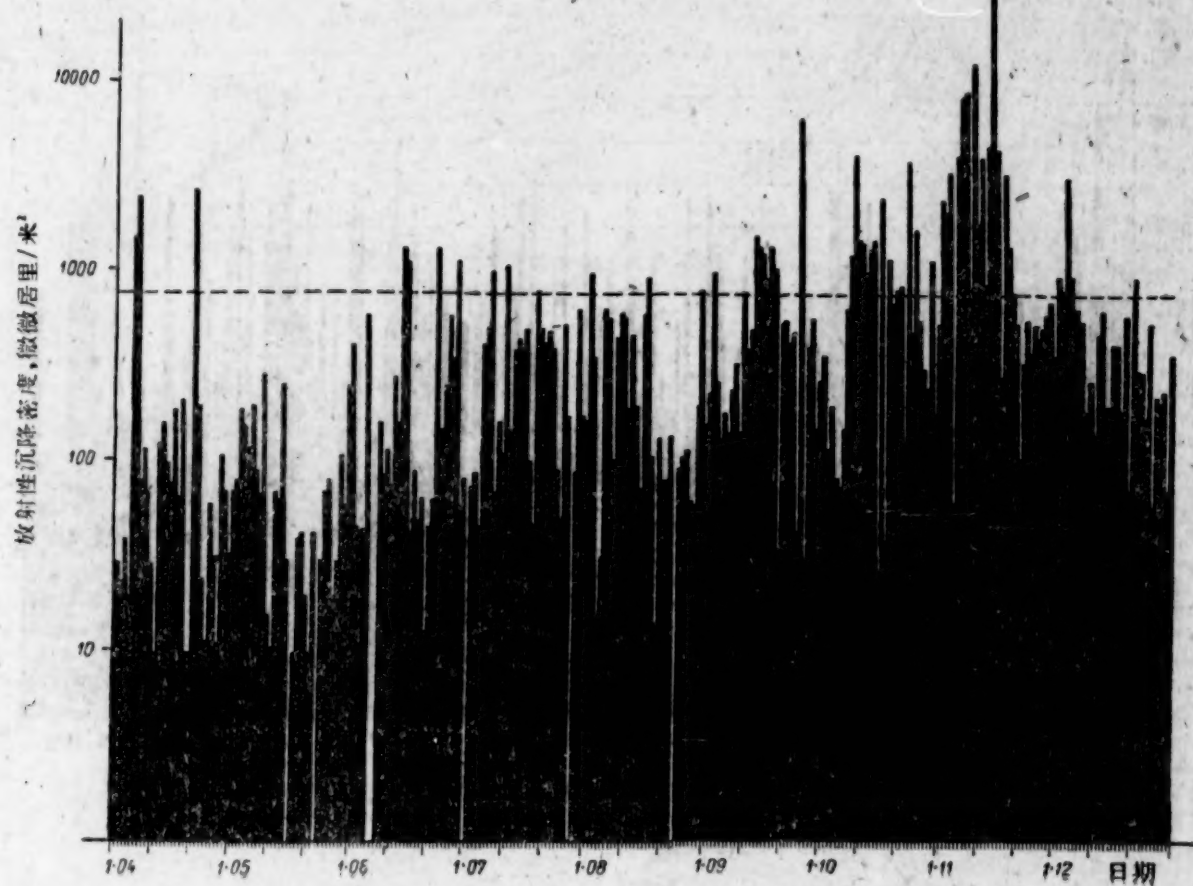


图1 1954年大气中放射性的沉降密度

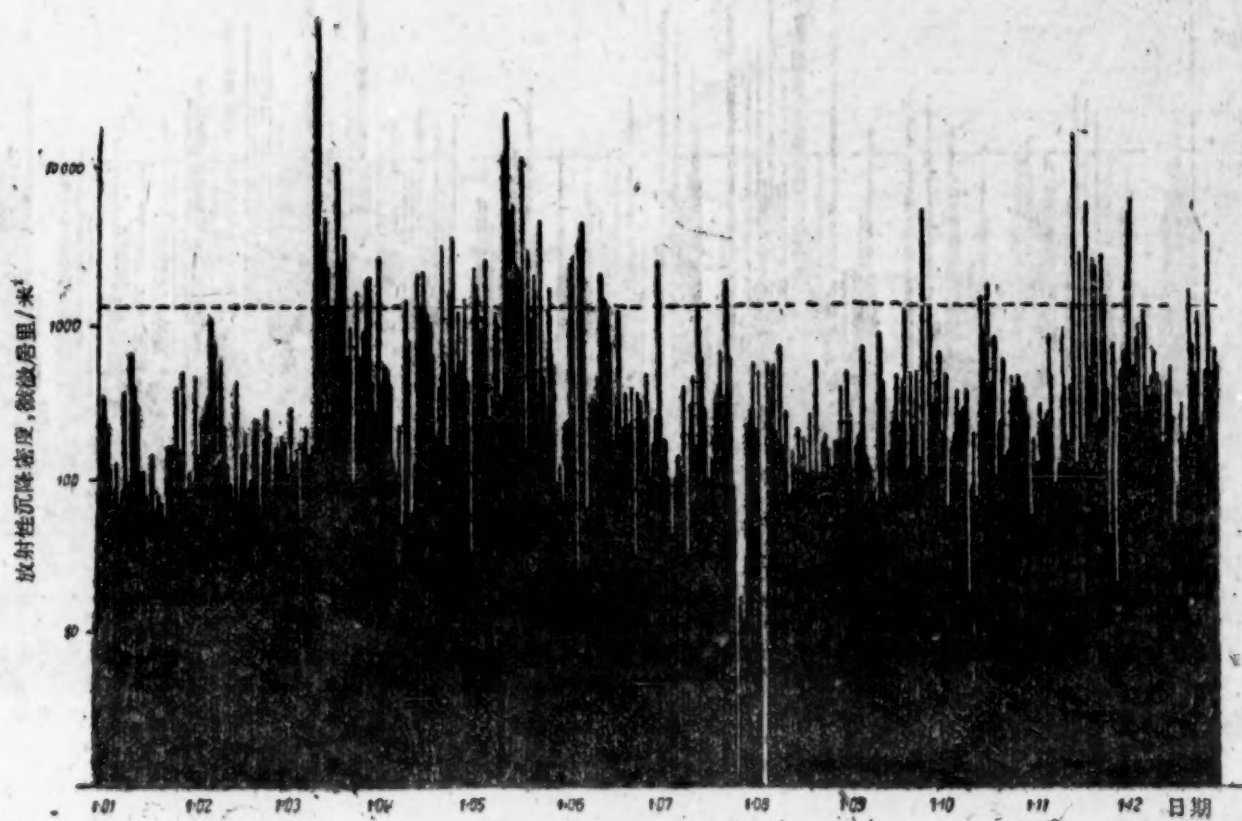


图2 1955年大气中放射性沉降密度

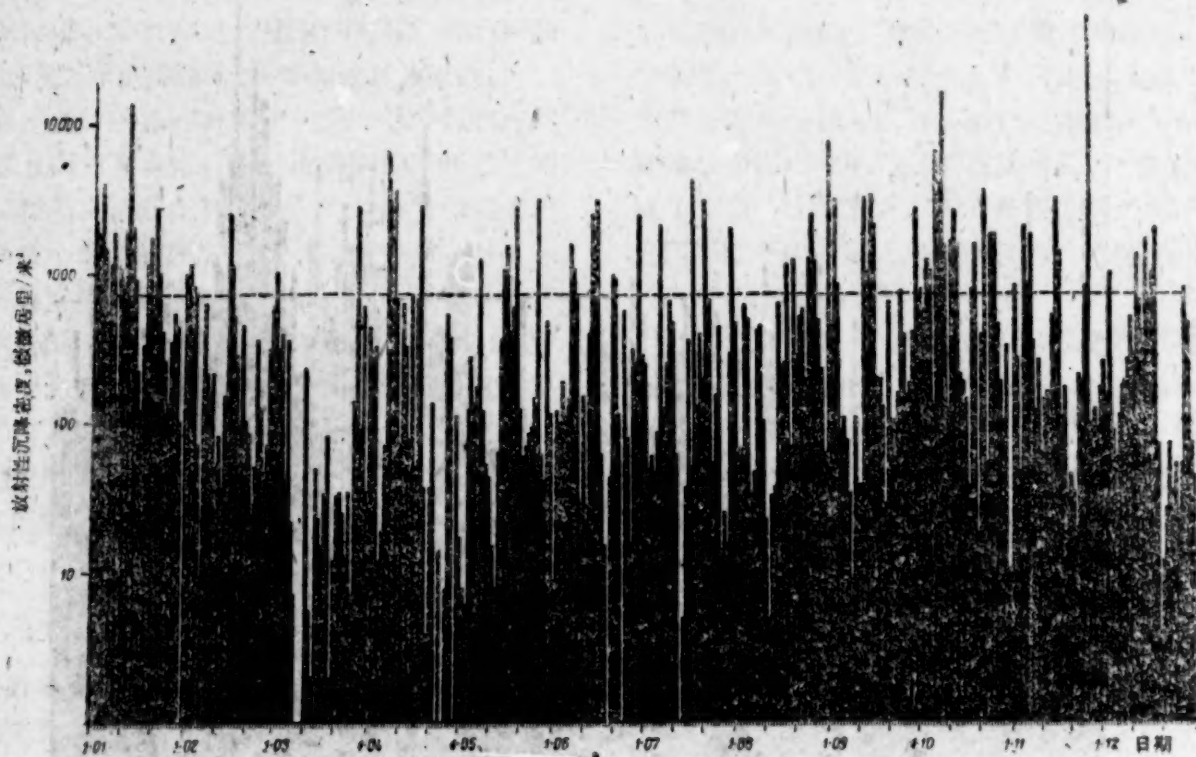


图3 1956年大气中放射性沉降密度

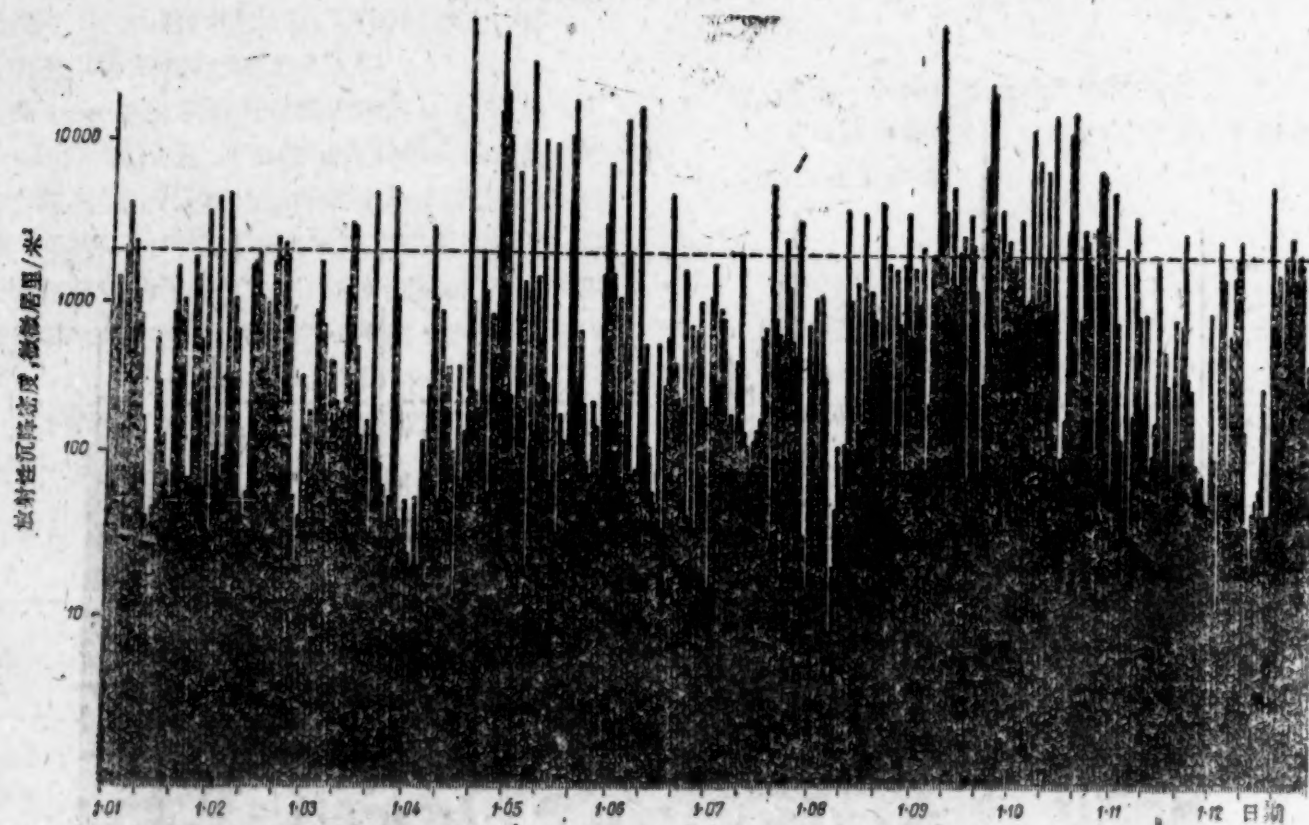
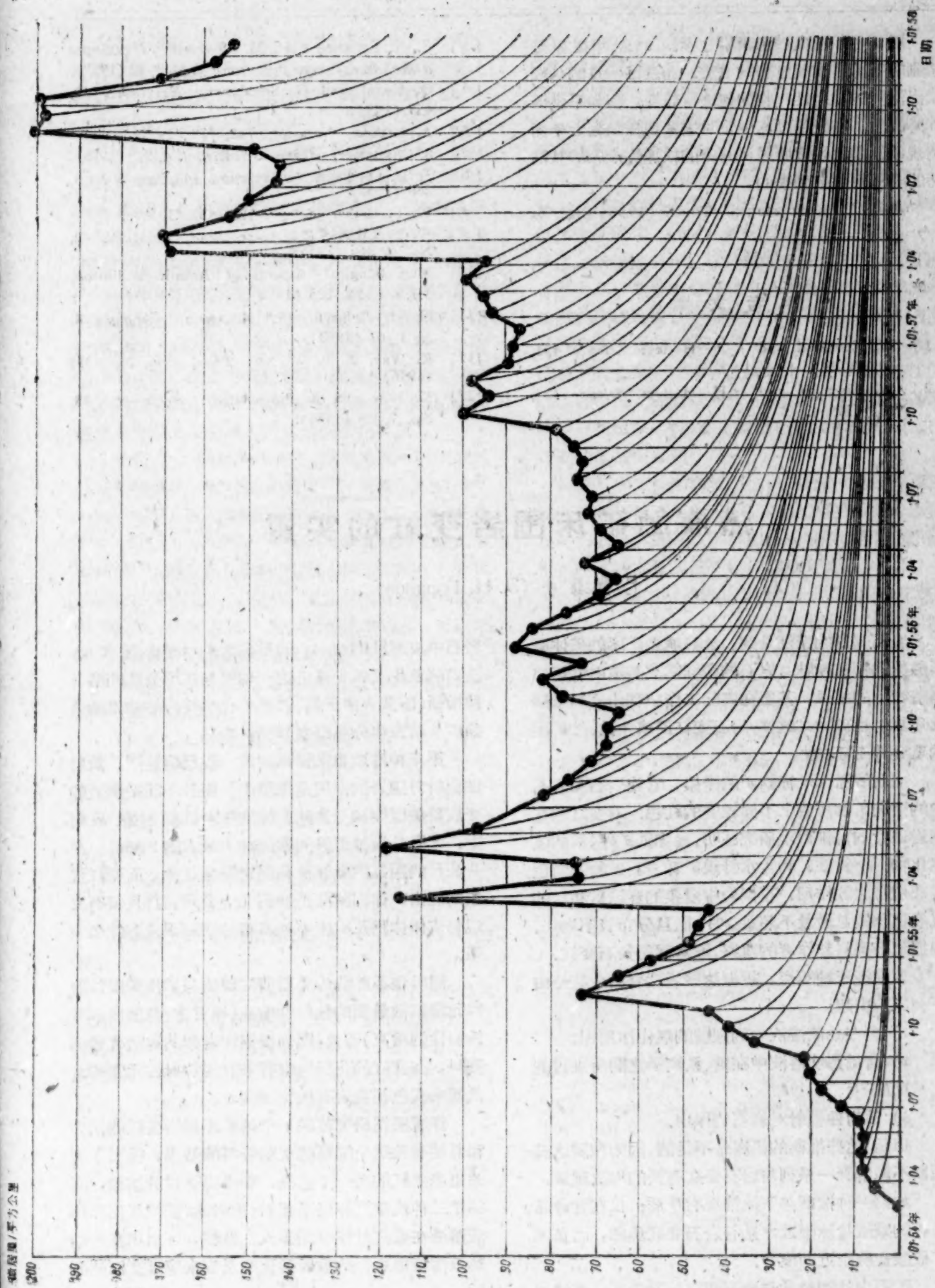


图4 1957年大气中放射物沉降密度



(纵坐标微居里/平方公里应成毫居里/平方公里)
图5 列宁格勒近郊放射性沉降的累积密度

图5中以粗綫表示积累过程。1957年在紧接急剧的下降后出现显著的增长。通过每一点的細綫指出沉降的放射性产物如何进行蜕变,假如不继续沉降的话。在聚集过程中暂时未发现任何趋近平衡的现象。因此,威胁居民健康的核爆炸产物的总沾污的时刻可能会到来的。

譯自 Атомная энергия Том 5 (1958) Вып. 5, 577—582.

参 考 文 献

- [1] M. Eisenbud and J. H. Harley: *Science* 121, 677 (1955).
[2] M. Eisenbud and J. H. Harley: *Science* 124, 251 (1956).

- [3] С. А. Баранов и Р. М. Полевой: *Приборы и техника эксперимента* 1, № 3, 32 (1957).
[4] O. Haxel und G. Schuhman: *Naturwiss.* 40, 458 (1953).
[5] A. Sittkus: *Naturwiss.* 42, 478 (1955).
[6] S. Chatterjee: *Atomic Scientists J.* 4, 273 (1955).
[7] Л. И. Геденов: *Атомная энергия* 2, № 3, 260 (1957).
[8] W. F. Libby: *Science* 123, 657 (1956).
[9] W. F. Libby: *Proc. Nat. Acad. Sci. U.S.A.* 42, No. 6, 365 (1956).
[10] Meteorological Aspects of Atomic Radiation, *Science* 124, 105 (1956).
[11] О. И. Лейпунский: *Атомная энергия* 4, № 1, 63 (1958).
[12] K. Way, E. P. Wigner: *Phys. Rev.* 73, 1318 (1948).
[13] K. Löw and R. Björnerstedt: *Arkiv fys.* 13, No. 7, 85 (1958).

热液铀矿床围岩变红的实质

巴 蘭 諾 夫 (Э. Н. Баранов)

岩石颜色的变红是铀、钍热液型矿床的矿体围岩蚀变的特征标志。岩石的变红常常与放射性矿化有着密切的关系,甚至在实际工作中利用变红晕圈发现放射性矿物。这样,岩石变红便成为铀、钍矿床的重要普查标志之一。

变红的原因是赤铁矿的浸染,它使岩石和岩石中的个别矿物浸染上不同程度的红色。对变红的花岗岩进行的详细微观研究证明,除赤铁矿外,铁的氢氧化物——针铁矿和含水针铁矿对岩石矿物的颜色也起着很大的作用。花岗岩中浸染的赤铁矿和铁的氢氧化物的总数量不超过1%,而且分布极不均匀。根据现有资料和作者的观察,通常都是长石变红。

现在有三种观点,根据这些看法岩石变红是由下列原因引起:

- 1) 含在热液溶液中的碳酸的氧化作用^[1];
- 2) 含铀热液溶液中在铀、铁离子之间所进行的化学反应^[2];

- 3) 放射性辐射对岩石的作用。

但是,这些推断的根据是不足的,因为按照这些推断不能解释一系列与岩石变红有关的地质现象。

如第一种推断与下述情况有矛盾:仅在含非晶铀矿的碳酸盐脉附近才见有岩石变红现象,而在无矿碳酸盐脉附近则没有。

矿石中铀的数量与岩石变红程度无关,变红的

岩石中没有铁的加入,而且在铀矿中沥青铀矿-赤铁矿的发生又极少见;这一切又与广泛公认的第二种推断(即认为由于铀、铁离子化学反应的结果晶质铀矿从溶液中分离出来)矛盾。

第三种推断也未得到证实。现已确定^[3],放射性辐射对围岩的作用范围极小,而且不能把围岩的变红现象直接地与含铀矿体的放射性辐射联系起来。无限晶质铀矿层的穿透能力最大的 γ 辐射,在一公尺的距离内就能被花岗岩完全吸收,而变红现象则能由矿体向两侧延伸到几十公尺,并且没有发现与矿体体积及矿床中铀富集与变红现象有什么关系。

同时也不能认为岩石变红现象与矿体周围放射性元素扩散晕圈的放射性增高(换言之,与围岩本身放射性的增高)有关,因为根据作者和其他研究者的资料,在变红的花岗岩中并未发现放射性元素的含量较未变色花岗岩有任何增高。

作者根据研究苏联一个铀矿床围岩变红的结果和总结有关这个问题的文献资料的结果,得出了有关围岩变红的另一个结论。要得出这样的结论,必须把三种现象互相联系起来:放射性、铁的氧化和热液溶液在变红过程中的参入。显然,可以用在含铀热液溶液中进行的放射性化学反应来解释变红的原因。

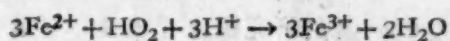
大家知道,在放射性元素輻射的作用下,水和水溶液中便产生放射性水分解 ($\text{H}_2\text{O} \rightarrow \text{H} + \text{OH}$),而此种分解又伴随着一系列的反應: $\text{H} + \text{H} = \text{H}_2$; $\text{OH} + \text{OH} = \text{H}_2\text{O}_2$; $\text{H} + \text{OH} = \text{H}_2\text{O}$ [4,5].

据推断,在有氧存在的条件下,氢原子也能够造成游离 HO_2 根. 在气体相的各种过程中游离 H 、 OH 、 H_2O_2 及 HO_2 根的形成已被实验所证实. 现在根据推断,当在液体相中产生放射性化学反应的条件下,这些质点能够作为一种中间产物而形成. H_2 和 H_2O_2 在液体中的形成也被实验所证实. 这样,在 γ 輻射的作用下,在水和水溶液中就会形成极强的活性剂,其中 OH 、 HO_2 和 H_2O_2 是强氧化剂, H 则是强还原剂. 所以在含有变价(原子价变化的)元素的被輻射的水溶液中,将产生各种氧化和还原反应,而此种反应实际上又将成为次级放射性化学反应.

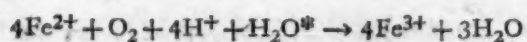
显然,在 γ 輻射的作用下,在水溶液中将产生氧化亚铁的氧化. 霍哈納者确定 [4], 对氧化反应 $\text{Fe}^{2+} \rightarrow \text{Fe}^{3+}$ 而言,反应率等于每吸收 100 电子伏的能量产生 15.5 ± 0.3 离子. 由于苏联学者进行实验工作的结果 [5], 确定氧化过程的反应率随溶液中 Fe^{2+} 离子浓度的增高而大大增大,而且与溶液中的氧浓度及溶液的 pH 值有关. 用輻射溶液的方法,可以把溶液中全部的氧化亚铁变成氧化铁.

文献 [5] 中,在輻照溶液时二价铁的氧化过程可用下列方程式表示:

1) 在溶液中有游离氧存在的条件下:

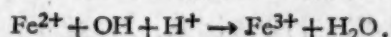


或



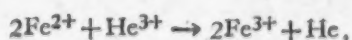
式中: H_2O^* ——被激发的水分子.

2) 在溶液中无自由氧存在的条件下:



游离氧的存在可显著地提高 Fe^{2+} 的氧化反应率.

大家都知道, γ 輻射与 β 輻射特别是与 α 輻射比较具有更弱的电离性能. 显然,在溶液中存在有放射性元素(铀及它的衰变产物)时,在 β 和 α 輻射的作用下氧化过程的反应率将大大地高于 γ 輻射的作用. 还应该注意的是, α 粒子本身在溶液中是氧化剂.



在放射作用下,水便变成氧化剂;为了解释岩石变红时铁被氧化的现象,没有必要去研究六价铀和两价铁离子之间的反应.

这样一来,含有铀及其放射性衰变产物的热液溶液中将富集有水的分解产物,而这些分解产物和热液溶液中的其他成分将通过间隙滞流溶液浸入围岩中,并在围岩中使在暗色矿物破坏时分离出来的氧化亚铁氧化. 同时,被热液溶液带入到围岩中的氧化亚铁也被氧化,这样就能造成变红岩石中的铁含量增高. 如果铀在溶液中呈离子状态,那么部分铀便会迁移到围岩中,并在其中引起铁的氧化;如铀呈胶体状态,则铀实际上不会向围岩中迁移,但浸入围岩中的水分解产物将使铁氧化. 由于氧化和以后的水解作用,铁便以赤铁矿和氢氧化物的形态从溶液中分离出来,并造成了极细小的胶体微粒,沉淀于长石的微细裂隙中.

长石中赤铁矿和氢氧化铁的选择性饱和,看来是因为长石较石英具有较高的润湿度的关系,同时也与长石晶体的镶嵌构造和长石中的间隙溶液的硷性高于浸透其他岩石矿物的溶液有关.

围岩变红的范围和程度取决于很多因素:氧化亚铁的氧化反应率(而反应率又取决于溶液中两价铁、铀、镭、氧和其他成分、溶液的 pH 值、輻射的时间及温度等)、围岩的孔隙度(决定着热液溶液浸透岩石的程度)、围岩的成分及构造. 这些因素在不同条件下有着不同的组合,因而也会在不同的铀矿床中和在一个矿床的范围内引起不同范围和不同程度的变红现象.

旭 渤譯自 Атомная энергия Том 5 (1958) Вып. 6, 662—663.

参 考 文 献

- [1] D. L. Everhart and B. I. Wright: *Econ. Geol.* 48, No. 1 (1953).
- [2] В. Г. Мелков, Л. Ч. Пухальский: *Поиски месторождений урана*. Госгеолтехиздат, 1957.
- [3] Г. Г. Леммлейн: *Докл. АН СССР* 45, № 6, 272 (1944).
- [4] *Радиационная химия. Сборник статей*. Перевод с англ. Изд. ИЛ, 1953, стр. 121.
- [5] *Сборник работ по радиационной химии*. Изд. АН СССР, 1955.

科技新聞

在国立列宁格勒大学物理系

不久以前能把氘核加速到5兆电子伏的迴旋加速器是核反应教研室的主要仪器。它是1956年10月开始工作的。目前列宁格勒大学正在建造能把氘核加速到16兆电子伏的迴旋加速器，预定在1959年底开动。查鲁宾(П. П. Зарубин)所领导的迴旋加速器实验室工作人员的主要任务在于掌握小迴旋加速器培养专业干部，安装和开动大迴旋加速器。

对核能谱学和核反应机制的研究是教研室工作人员所从事的主要问题。在这个方向上研究着若干题目。其中有用 P, γ 角关联方法研究 d, p 反应中生成的轻核能级这一题目。为着这一目的建造了一架两道閃爍谱仪。对短寿命同位素 γ 能谱的研究工作也在进行中。

用閃爍 γ 谱仪和光閃爍记录能谱法来研究了鈷、鍺、鋅和其他元素的短寿命同位素 γ 能谱。工作结果把这些同位素的衰变图和能级图弄得更准确了。

其他的题目是和大迴旋加速器有关的。为了完成这些工作在建造着特定的仪器。例如，研究短寿命同位素用的 β, γ 磁能谱仪的建造工作已快结束。利用这一双聚焦能谱仪可以研究短寿命同位素的 β 能谱和按正电子偶研究硬 γ 能谱。三个研究核反应产物的能谱和角分布的磁能谱仪正在建造中。这些能谱仪的分辨率为0.1%，透射率很大。用其中一个可以在广阔的能量和角度范围内同时分析反应产物的能量分布和角分布。此外，在教研室內还在建造无铁电子感应加速器，最近几个月內就可开动。轫致辐射的强度很大是它的主要优点，这一辐射将被用来研究原子核的能级。

教研室內也完成了原子核物理离子光学方面的理论工作。这一工作的结果将以专题论文的形式——“横磁场能谱仪的理论计算”发表。

由1946年起列宁格勒大学就成立了核能谱教

研室。在教研室及其附设的核能谱实验室中主要研究转换电子的 β 粒子能谱和人工放射性物质放出的 γ 线。这些研究是为确定放射性核的衰变图和核能级的量子特性而作的。

教研室內有着主要由教研室的工作人员建造的各种 β 和 γ 能谱仪。例如巴希洛夫(А. А. Башилов)建造了聚焦和磁场形状都经过改善的 K 电子能谱仪(这一能谱仪的计算是巴文斯基(П. П. Павинский)作的)，还有研究 β^+ 、 β^- 竞争衰变用的三次聚焦能谱仪(克拉夫特 О. Е. Крафт)，为发现和研究强度极低的硬 γ 辐射而用的 γ 描述仪(秋炳斯基 О. В. Чубинский)和双聚焦 $\sqrt{2}\pi$ 角能谱仪(若洛塔文 А. В. Золотавин)。磁镜能谱仪也是很有兴趣的：单磁镜改良聚焦的能谱仪(吉斯金 П. А. Тишкин)，研究 β^- 符合用的双磁镜能谱仪(谢尔根科 В. А. Сергиенко)和研究软 β 粒子能谱用的磁镜能谱仪(罗加却夫 И. М. Рогачев)。领导能谱仪的建造工作的是教研室主任哲列波夫(Б. С. Джелепов)教授。

最近教研室在研究稀土元素贫中子同位素。这些工作是和联合原子核研究所与苏联科学院赫洛平(В. Г. Хлопин)镭学研究所联合进行的。稀土元素贫中子同位素是在联合原子核研究所的同步迴旋加速器上用快质子轰击钽靶而得的，轰击后用色层法可以由靶上把它们分离出来。对这些同位素的研究在研究核壳层模型时有很大的价值。研究结果在每年的核能谱会议上报告并发表。在研究贫中子同位素的工作中可以指出对相当复杂的 Ho^{160} 的衰变图和对 Dy^{160} 能级的确定工作为例。

教研室內有理论组。理论组从事对 β 能谱转换电子、核壳层模型分析等工作。 В. П.

钟 全译自 Атомная энергия Том 5 (1958) Вып. 6, 664—665.

托姆斯克工学院

关于建造电子感应加速器的工作，于托姆斯克工学院(ТПИ)是在伏洛比约夫(А. А. Воробьев)、费

里鲍夫(М. Ф. Филиппов)、季托夫(В. Н. Титов)、拉齐莫夫(Б. Н. Родинов)和巴杜日内(А. К. По-

тужный) 的领导及其直接参加下, 于 1947 年开始的。初期只能制造 10, 15 及 25 兆电子伏的电子感应加速器, 现在已可以设计和制造粒子能量很高的电子感应加速器。托姆斯克工学院研究人员以前所作的部分研究过程中 (原子能 1958 年 3 卷 7 期 623 页), 在理论上及实践中给这种加速器增添了许多新的记载。萨柯洛夫 (Л. С. Соколов) 和柯诺诺夫 (Б. А. Кононов) 曾用几种方法从电子感应加速器的真空室内引出了电子束。1956 年, 莫斯卡列夫 (В. А. Москалев) 提出了立体电子感应加速器设计方案。在阿基莫夫 (Ю. М. Акимов) 的积极帮助下, 这种电子感应加速器已经开动了。立体电子感应加速器有两个加速室, 位于电磁铁的两个空气间隙内 (图 1)。两个电子束的方向是相向的或在规定的点相交。这样, 当电子感应加速器用于探伤方面时, 能获得制品中损伤的立体照片; 用在医学上, 可以进行双场照射。立体电子感应加速器特有的优点在于: 它能对快流

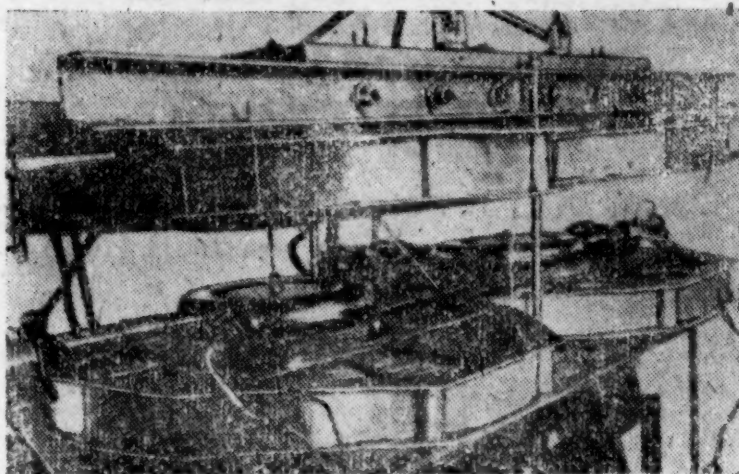


图 1 电子能量为 10 兆电子伏的实验性立体电子感应加速器(磁铁的上部被提起)。

动过程或快速运动零件进行立体照相。托姆斯克工学院所制造的立体电子感应加速器, 1959 年将在全苏工业展览会上展出。

托姆斯克工学院开动的齐莫夫 (Т. М. Димов) 和诺斯科夫 (Д. А. Носков) 设计的不带铁轭和极的电子感应加速器 (图 2) 是苏联首批电子感应加速器中的一种。1954 年电子同步回旋加速器开动了。该同步回旋加速器装有由松采夫 (Б. А. Солнцев) 所建议的两个环形电极式的特有加速装置。这种新装置能大大简化同步回旋加速器的高频线路。

托姆斯克工学院所制造的电子回旋加速器, 可以用来进行原子核物理的研究工作, 用于教学的目的, 还可用在医学及工业上。并且, 在电影科学研究所内, 用出束的电子感应加速器来进行照相底片的技术检查。在不久前, 两个电子感应加速器已运往中国。在 1958 年的全苏工业展览会上展出了托姆

斯克工学院制造的粒子能量为 25 兆电子伏的电子感应加速器 (图 3), 该电子感应加速器曾得到了一等奖状。

托姆斯克工学院召开了两次有关电子加速器的全苏高等学校联席会议; 会议上大部分报告都是由

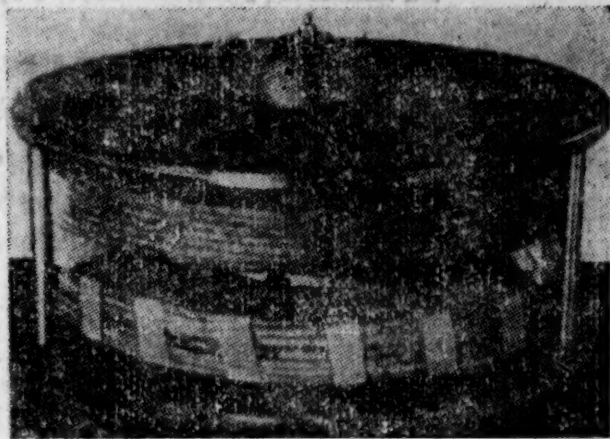


图 2 电子能量为 5 兆电子伏的不带铁轭电子回旋加速器的电磁铁。

工学院的研究人员和大学生作的。工学院的工程物理系与苏联很多机关保持科学上的紧密联系, 通过质疑和分发会议的报告及材料来帮助他们掌握和调整电子感应加速器。

工程物理系的学生积极地参加了电子感应加速器的研究工作。他们利用电子感应加速器的设计及计算完成了很多课程及毕业论文, 并进行了科学研究, 参加了会议。大学生们在系的实验室内进行很好的生产实习和作毕业论文的实习。毕业生中能力最强的学生都被留在实验室内工作, 在这里为他们的科学知识进一步

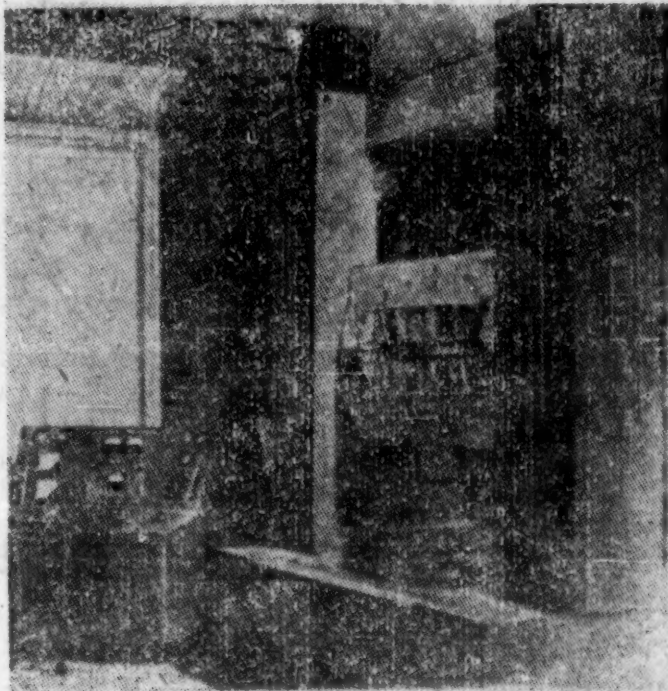


图 3 带有在水平面及垂直面上移动的机械装置的 25 兆电子伏的电子感应加速器。

增长提供一切所需条件。

应该指出，托姆斯克工学院里成立了电子感应加速器专家组，同时该组对电子感应加速器的研究

给予很大的注意。

Ю. К.

譯自 Атомная энергия Том 5 (1958)

Вып. 6, 665—666.

普查放射性矿石的最新仪器——天体望远镜

日本专家*设计了一种新式仪器，它不仅可以用来记录放射性辐射的强度，而且可以指出辐射源的位置。仪器的设计是采用无线电探测器的原理。

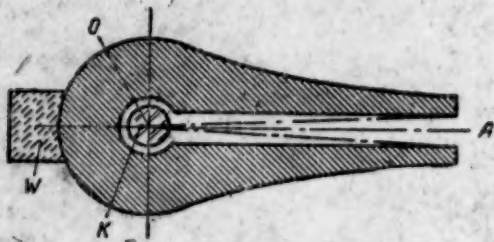


图1 U形准直仪的截面图。

K—圆柱形闪烁晶体；OA—准直仪孔的中心线；W—平衡体。

天体望远镜是由有旋转装置的闪烁计数管和记录系统(包括电子学系统)两部分组成。这两部分在电机上是这样联接的，使其可以同步地工作。

图1所示，为铅制U形选择准直仪的截面图。OA线为准直仪孔的主要轴线。K点内放有闪烁晶体。准直仪的形状及铅防护层厚度保证晶体免受除经过准直仪孔而外的其他任何 γ 辐射的照射。

圆柱形闪烁晶体是固定不动的，而准直仪以每分钟10转的速度，在晶体周围转动。以这种方法能觉察出按一定方向打在晶体上的所有放射性辐射。 γ 射线的强度及方向用两种方法来记录，这两种方法得出的两种记录结果如图2所示。

整个装置约重160公斤，需要500瓦的电能。

根据1957年在岡山和鳥取区所进行的仪表的野外试验证明，这些仪器具有下列优点：

- 1) 能清晰地确定出射线射来的方向；
- 2) 能容易确定从两点所测得的射线方向交叉点中源的位置；
- 3) 测量共进行了6秒钟；
- 4) 乘汽车连续观测，可以发现射线源；
- 5) 可以进行照相记录观测；
- 6) 不经任何调整，测量可以完全自动进行。

М. К.

譯自 Атомная энергия Том 5 (1958)

Вып. 6, 667.

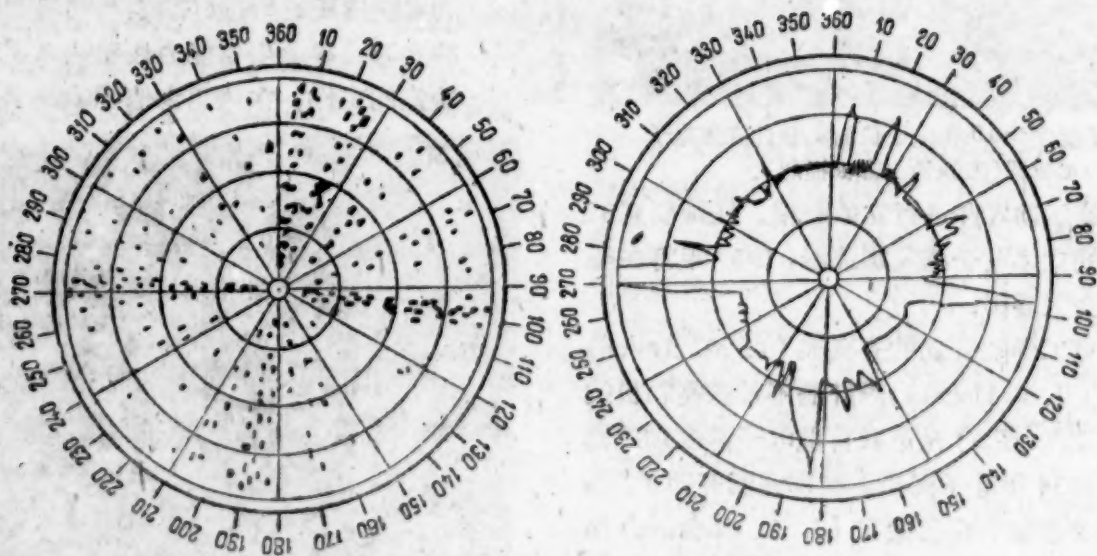


图2 记录 γ 射线方向及强度的两种方法

资本主义国家铀原料基地结构的变化

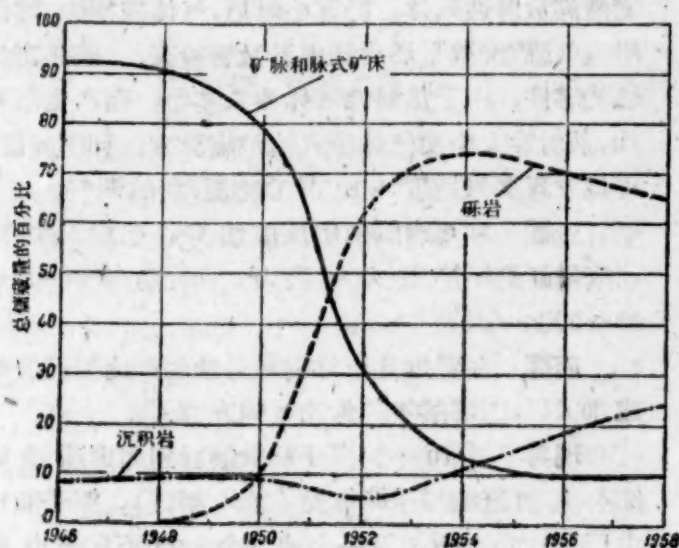
在铀生产发展的第一个阶段，大多数铀矿是从脉式矿床开采出的，例如加拿大的埃耳德腊多

(Эльдорадо) 和比属刚果(Конго)的申考洛勃凡(Шинколобве)。这些矿床拥有高百分比的作为主要

* K. Takahashi, N. Katayama, Moto-o Sato. 第二次国际和平利用原子能会议的1358号报告，日内瓦，1958。

矿物的晶体瀝青鈾矿和瀝青鈾矿。

最近5—6年来,资本主义国家鈾原料基地的结构发生了根本的变化。如果1946年脉式矿床的鈾儲藏量大于90%,那末1958年該式矿床的作用下降到10%,而90%的儲藏量是属于鈾的燄岩和沉积岩中的矿床(见图)^[1]。



资本主义国家鈾儲藏量的成因型分布

这些資料証明沉积式矿床在解决建立原料基地問題中所具有的重大意义。根据美国的地质探查經驗証实了这种情况,全部問題的解决是依靠了阿姆勃洛齐雅-萊克(Амброзия Лейк)型,比格-印底昂-烏敖斯(Биг Индиан Уол)型和其他类型的砂岩中矿床的發現。

簡 訊

苏联 1958年10月在烏什干洛特国立大学举行有关光子場論及基本粒子理論的全苏高等学校會議。

苏联 乌克兰科学院物理所制成了有記憶装置——磁圓筒的脉冲振幅分析器。这样的一个分析器是为联合原子核研究所制造的。

澳大利亚 澳大利亚最大矿床密利凱脫林的鈾矿石儲藏量估計有660万吨。 U_3O_8 的平均含量为0.143%。在工厂中鈾的提取为89%。在对企业所規定的14年折旧期內將得到3400吨氧化鈾。

澳大利亚 奥拉里附近(南澳大利亚)发现高百分率的鈾矿石。按矿山局局长的意見,新矿床的矿石样品与澳大利亚其他矿床的鈾矿石比較是最好的。

奥地利 国际原子能管理局已出版第一年度报

除了矿床个别类型的作用变化之外,各种鈾矿的价值也起了变化。随着新墨西哥矿床的發現,在美国 *коффинит*^[2] 变成主要的鈾矿。加拿大的布拉印河矿床的主要矿物(矿床的儲藏量約为资本主义国家全部鈾资源的1/3)是鈾鈾矿。这样,瀝青鈾矿和晶体瀝青鈾矿就不如鈾鈾矿和 *коффинит*。

鈾原料基地发展的主要趋势是矿石中 U_3O_8 的含量日益减少。1948—1950年間在作为主要产地的矿床采得了高百分比的矿石——埃耳德腊多超过2%,申考洛勃凡为4—10%,現在随着这些富矿地区的开采,含量相应地减少到0.5和0.3%^{[3],[4]}。同时主要含有0.1—0.2% U_3O_8 的沉积式矿石具有主要作用。这些情况引起了采出的矿石中 U_3O_8 含量大大地下降。促成这种情况的不仅是富矿的开采,而且是貧鈾矿加工工艺技术的大大提高。

M. K.

譯自 *Атомная энергия* Том 5 (1958) Вып. 6, 668.

参 考 文 献

- [1] R. D. Nininger: Доклад № 862, представленный на вторую Международную конференцию по мирному использованию атомной энергии. Женева, 1958.
- [2] L. S. Hilpert, R. H. Moench: Доклад № 1906, там же.
- [3] J. W. Griffith, A. H. Lang: Доклад № 221, там же.
- [4] *Atomwirtschaft*, № 7 (1958).

告(从1957年10月至1958年6月)。在这期間內,参加国已供給管理局5140公斤浓集鈾以及天然鈾和鈾。在八个月工作內,管理局的图书馆已得到40000份广告及文件。管理局已拟訂了普及情报及用各种文字統一标准的原子核物理与原子核工程术语的計劃,以及出版有放射性同位素一覽表的原子核动力国际手册的計劃。

英国 倫敦大学的学院已完成了电子能量为29兆电子伏的电子加速器(микротрон)的建造工作。

英国 已通过在特拉烏斯菲德(密里奥涅特逊尔,威尔士)建造原子能电站的計劃。电站功率为50万千瓦。

英国 由于細小的鉄微粒落到蒸汽回路中,而引起卡德尔豪尔反应堆发生事故,其結果使汽輪发电机损坏。蒸汽将这些微粒带到操纵系統,停留在

那里,而使自动调节系统不能工作。

阿根廷 自1956年12月至1957年10月在圣路易省已开采426吨铀矿石,含0.65% U_3O_8 , 得到2.8吨氧化铀;在拉里安(Ла Рюйа)省开采了含0.92% U_3O_8 的299.2吨矿石,得到2.7吨氧化铀;在門多薩省开采4677吨矿石,得到22.8吨氧化铀。

巴西 在原子核研究中心(巴拉納州),拉丁美洲的第一个8兆电子伏迴旋加速器已开始运转。迴旋加速器的所有部件都在庫里提巴-巴拉納首府制造。

意大利 叶斯布尔(馬乔列湖)的原子中心已开始工作。反应堆的第一批重水将从美国运来。

中国 9月27日在北京举行了中国第一个功率为1万瓩实验性重水反应堆和24兆电子伏迴旋加速器的正式开动典礼,反应堆和加速器是在苏联物理学家和工程师们的帮助下建成的。反应堆和迴旋加速器的建造工程比预定的期限提前几个月完成。

美国 20% 浓集铀 235 的材料试验反应堆(MTR)活性区的使用期限已经满了。在新的活性区内将采用铀,而今后要采用铀 233 。

美国 供应原子能委员会反应堆铀的公司“铀公司”每年给出~17吨金属,代替所计划的455吨。

美国 国家标准局报导了关于开始研究新的电

子加速器的设计。预测,电子能量将大于50兆电子伏,而束的功率为40瓩左右。

美国 已制造出利用放射性气体检查各种零件密封性的装置。装置是由小室,辐射计数管及检查设备组成。

将试验用的零件放在小室内,在预先抽空后,小室灌满放射性气体。经几小时后,气体被排除,零件用空气流“洗涤”,然后利用计数管检查。破坏密封性的零件,由于放射性气体渗入其中,而产生放射性,放射性大小由气体渗入的速度测定。利用装置,可以发现漏气速度 $\sim 10^{-12}$ 立方厘/秒的漏气。

法国 在馬庫的两用反应堆G-2已投入生产。反应堆铀的年产量为40公斤。电功率30000—35000瓩。

西德 在最近几个月内将开动生产比较廉价的重水工厂,工厂的年产量为6吨左右。

瑞典 近10年的原子能发展计划考虑建造功率为10万瓩的原子能电站(1959年底),原子能热电厂(1960年前)及一个或几个大的原子能电站(1960年前)。根据经济理由不打算建造中等功率及小功率的原子能电站。

譯自 Атомная энергия Том 5 (1958) Вып. 6, 668—669.

書刊介紹

最新文獻

書籍、文集與雜誌

和平利用原子能國際會議材料

卷3. 動力反應堆 國立動力出版社, 1958, 495頁。卷內敘述了1955年8月以前在原子反應堆技術方面所取得的成就, 並且分析了世界上第一座原子能發電站(蘇聯)的運行經驗。卷內對有關建造基本類型的反應堆的問題討論。

卷7. 原子核化學與輻射作用 國立化學科技書籍出版社, 1958, 839頁。卷內包括關於下列問題的報告: 裂變過程, 使用強放射性材料進行工作用的設備, 裂變產物的溶液化學, 個別重元素的化學, 輻射對反應堆材料、液體和固體的作用。也刊載了有關超鈾元素化學的簡要報告以及重元素分離法的報告。

卷8. 生產原子工業中所用材料的工藝學 國立黑色與有色冶金科技書籍出版社, 1958, 726頁。卷內包括關於鈾礦石和鈷礦石精選問題的報告, 生產金屬鈾和鈷的報告, 關於測定礦石中鈾和鈷的化學和物理化學方法的報告以及關於發現和確定純鈾及純鈷中 Zr、Cu、Cd、Zn、Ni、Co、Pb、Bi 和其它元素的方法的報告。

卷9. 反應堆的工藝學和核燃料的化學處理 國立化學科技書籍出版社, 1958, 951頁。書中包括下列問題的報告: 廢料排除問題, 鈾、鈷及其合金的冶金學, 燃料元件的製造, 使用液態金屬的工作, 液態金屬系統的腐蝕, 原子核反應堆的化學, 被照射元件的化學處理。還刊載了關於分離和保存衰變產物的報告、關於將廢料埋入土中和排入海中的報告以及空氣沾污問題的報告。

卷11. 輻射的生物作用 國家醫學圖書出版社, 1958, 487頁。本卷闡述以下問題: 輻射的生物作用、射線病的種類、輻射對再生系統和後裔的作用、射線病的機構、有機體的防護和恢復。

卷12. 放射性同位素和電離輻射在農業、生理學和生物化學方面的應用 國家農業圖書出版社, 1958年, 647頁。卷內收集了有關放射性同位素在生物和農業(遺傳學的變化和農業作物的改良, 示踪

原子在農業研究方面的應用) 以及生理學和生物化學等方面的應用問題的報告。

原子核的放射性轉變和原子壳層 斯大洛杜勃采夫(Стародубцев, С. В.)、洛曼諾夫(Романов, А. М.)著。烏茲別克蘇維埃社會主義共和國科學院出版社, 塔什干, 1958, 498頁。書中研究了放射性變化的理論和實驗問題。着重談到了原子壳層在這一變化過程中的作用。闡述了與壳層直接有關的放射性變化的實驗研究方法。用很大篇幅探討了 β 衰變的次級效應。本書適合於熟悉量子力學基本原理的物理實驗工作者用。

航空事業中原子能的應用 蘇什科夫(Сушков, Ю. Н.)著。《知識》出版社, 1958, 33頁。本小冊子中闡述了製造航空用原子發動機的可能性。

重水 蘇斯洛夫(Суслов, Б. Н.)。國立技術理論書籍出版社, 1958。本小冊子中研究了原子的構造, 敘述了同位素, 其中包括構成重水的氫的同位素——氘; 闡述了發現重水的歷史及其特性和在工業範圍內的制取方法。說明了許多反應堆中廣泛利用重水的理由。最後還敘述了制取和利用熱核能的原理。

核反應堆的數值計算法 馬爾丘克(Марчук, Г. И.)。原子能出版社, 1958, 381頁。本書乃是專題論文。書中詳細地敘述了涉及到核反應堆的數值計算法的基本問題, 同時, 對各種實用附錄也給予了特別的注意。為了閱讀專題論文, 必須熟悉反應堆的理論基礎, 例如格拉斯頓(С. Глестон)和愛德崙(М. Эдлуэл)合著的“原子核反應堆理論基礎”或者加朗寧(А. Д. Галанин)著的“熱中子反應堆理論”等書的內容。馬爾丘克的書是以《原子能雜誌》副刊的形式分發給該雜誌的訂閱者的。

可控制熱核集變 原子能出版社, 1958, 62頁。譯文彙編。庫爾恰托夫(И. В. Курчатова)院士在序言中給讀者清楚地介紹了人類需要利用熱核能的問題以及解決這些問題的可能途徑。彙編中收集了八篇論文, 文中敘述了英國和美國在實現可控制熱核聚變方面的試驗, 特別是在當時西方報刊上大事宣揚的裝置“澤塔”上所作的試驗。對引縮效應的穩定問題和在熱等離子體中進行的過程也給予了很大的

注意。

放射性的危害 原子能出版社, 1958, 184 頁。本书乃是英国科学家和政論家的集体創作。序言是著名的英国哲学家別尔特兰·拉謝勒 (Бертран Рассел) 写的。书中刊载了有关由于进行核爆炸試驗而降落下来的放射性沉降物 (特别是 Sr^{90}) 的丰富材料和由此而产生的对人类的危害性。

本书写得很好, 且极有趣味, 所以它是十分令人信服的, 本书在收集大量实际材料的基础上, 发出了立即停止任何核爆炸試驗的号召; 指出了美国宣传的这种爆炸所带来的危险是臆造的这一說法是毫无根据的。

但是, 該书究竟不能摆脱某些政治和科学上的錯誤見解。因此, 該书的俄文版附有亚美尼亚苏維埃社会主义共和国通訊院士列別金斯基 (А. В. Лебединский) 写的序言。在序言中闡明了苏联对书中所涉及的問題的观点。

原子世紀中的遗传学 阿烏尔巴赫 (Ш. Ауэрбах) 著。英譯本, 原子能出版社, 1958, 80 頁。本书是以生动活泼的体裁 (甚至非专家也能接受的) 闡述了有关遗传規律、突变和电离輻射对生物、植物及微生物的作用性質等問題。书中絕大部分是敘述輻射的影响的, 其中也敘述了射綫突变的产生。在书的最末一章內, 讀者将了解到繼續进行原子試驗爆炸会給人类带来怎样重大的灾难。书中并未过多地运用專門术语, 但却是以相当高的科学水平进行編写的。

磁流体动力学 英譯本, 郎特斯霍夫 (Лангсхофф) 主編, 原子能出版社, 1958, 125 頁。

美国磁流体动力学問題會議上通过的材料彙集。书中引述了有关流动气体和液体在磁場、磁力冲击波中运动的主要理論数据及实验数据, 以及模拟电流綫在熔化鈉上, 流体磁波导內不稳定性主要理論数据和实验数据, 探討了与磁流体动力学相似的問題, 也討論了产生星形磁場的問題。本书无疑会引起該专业的物理工作者的兴趣, 对希望熟悉新的物理部門的工程师以及对高等工业学校的学生來說在內容上完全是可以接受的。

国外原子能技术 № 11, 1958 年。論文集內包括了第二次和平利用原子能国际會議 (日內瓦, 1958 年 9 月 1—13 日) 上通过的报告:

托涅曼 (П. К. Тонеман). 英国在可控制热核反应方面的研究 (78 号报告)。报告內簡短地概述和分析了在这方面所进行的工作。

里尤斯 (Дж. Льюс). 强气体放电的研究。(1790

号报告, 美国)。敘述了用于离解带有塞形場的磁捕集器內的分子离子的特种电弧放电的性質。

夫罗因 (Г. А. Фройнд)、伊斯金捷里安 (Х. П. Искендерян)、欧克連 (Д. Окрент). 动力实验用石墨減速剂脉冲反应堆 TREAT (1848 号报告, 美国)。报告內引举了設計脉冲反应堆时所完成的多次实验及計算的結果。在反应堆 TREAT 上可以取得热中子的积分通量, 其值在脉冲持續期間为 40 毫秒时等于 3.5×10^{15} 中子/厘米²。这样的中子通量是研究快中子反应堆的安全, 特别是研究释热元件的熔化时所必需的。报告中还詳細地闡述了释热元件 (分散在石墨中的高浓集鈾氧化物) 的制造工艺学和性能以及反应堆主要部件的結構和物理特性。

达庫爱尔 (Дж. Дакуэрт) 和德容斯 (И. Джонс). 大不列顛原子动力发展計劃中的某些經濟問題 (1446 号报告)。在原子动力发展計劃內規定, 在最近 8—9 年內将研究影响原子能生产成本的某些因素 (装置的使用期限, 換核燃料过程的检查, 蓄能的影响和用普通燃料过热蒸汽)。并附有在不同的原子能发电站和火力发电站所取得的电能价值比較表。

烏欧頓 (К. И. Уоттон)、戴尼斯 (В. Е. Дэннис)、汉捷尔斯頓 (Хантерстон) 原子能发电站的释热元件 (1523 号报告, 大不列顛)。汉捷尔斯頓反应堆活性区的結構乃是科捷尔毫尔反应堆活性区的进一步发展。其特点在于能量释出率很大和具有能在反应堆工作时換燃料的換装設備。由于改变了释热元件的結構和制造工艺法, 这些改进已变成了现实, 从而提高了元件外皮的工作溫度 (由 408° 提高到 454°C), 元件的使用期限 (由 1 年提高到 5 年) 和最大燃耗 (从 1500 到 4500 兆瓦天/吨)。报告中引用了冶金和传热方面的研究結果。

舒里茨 (Д. Шульц). 原子单向流动的汽輪发动机的試驗 (465 号报告, 美国)。报告乃是关于通用电气公气自 1951 年起研究航空用原子发动机的性能及对其所进行的比較的特殊性报告。报告中敘述了实验装置和研究用反应堆 HTRE 的工况一覽表。

毛尔干 (А. Морган) 罗斯阿拉莫斯、別盖尔 (Р. Бекер) 及其他人: 金属鈰的遙控生产装置 (531 号报告, 美国)。报告內对金属鈰生产工厂的个别部件的結構和操作作了概述。

舒里曼 (Дж. Шульман). 带有固体探测器的輻射剂量仪 (1859 号报告, 美国)。报告內概述了带有固体探测器的輻射发光型, 热发光型和光电发光型剂量仪的工作特性。且广泛地引用了有关这一問題

的书报評述。

国外原子能技术第12期 論文集 中的許多文章都是和平利用原子能第二次国际會議上的报告譯文。

巴特列尔(Дж. В. Батлер)、海奇(Дж. Хэтч)、阿尔里奇(А. Дж. Алрич): 高频热核装置(350号报告, 美国)。研究了用高频电磁场限制等离子体的可能性。詳細地敘述了为用实验檢驗这一假說而專門設計的高频装置。

切也夫(К. Чейв)、巴列斯里阿茨(О. Балестри-ац): 原子动力装置的防护外壳。这一文摘是由1879号(美国)报告和关于“德累斯登原子能发电站反应堆的球形防护外壳”的文章[原載于 J. Power Div. Proc. Amer. Soc. Civil Engrs 84, PO 2, 1601 (1958)]編写成的。装有原子能发电站主要设备的防护外壳能减少由于可能发生的故事而带来的危害, 因发生这些事故时往往会有放射性的蒸汽、气体和碎屑放出。詳細地闡述了希平港反应堆, APP-1 反应堆, 揚基原子电子公司反应堆和德累斯登原子能发电站反应堆的防护外壳的設計問題。給出了外壳的尺寸(其中最大的, 直径为58米)主要的結構特点; 估計了外壳形状及其安装方法对原子能发电站生产出的电能成本的影响。由于建造防护外壳的补加費用比較大(每一瓩小时电能0.5—0.8 美分), 所以文章內引述了几种降低外壳成本的方法。

高德維(Р. П. Годвин)、沃尔夫(Д. Л. Ворф): 原子商船的設計(1023号报告, 美国)。研究了設計和运行問題以及由于船上原子反应堆的存在而产生的安全問題。曾举美国正在建造的原子客貨輪“薩凡那”号(排水量为21800吨, 反应堆的热功率为7.4万瓩, 軸功率22000馬力, 速度20 哩)为例进行了研究。敘述了反应堆的防护結構, 給出了船內生活場所与工作間的允許生物剂量值。詳細地研究了由于冷却水突然損失而产生的反应堆活性区的熔化过程。

德日盖斯(Дж. Джукес): 原子动力的經濟学(72号报告, 大不列顛)。文章內闡述了原子能的个别生产成本。在这些計算中均考虑到1955年以来在原子动力方面发生的工程經濟性质的主要改变。

布莱克(Р. М. Блэк): 电子辐射对聚乙烯的作用。[原載于 Nucl. Energy Engr. 12, 124, 286 (1958)]。当聚乙烯受到强辐射的作用时, 会发生分子的“縫合”过程, 結果聚乙烯則从热塑性状态轉变为热稳定状态。敘述了照射用装置和照射过程的电视检查用装置; 給出了照射的最适剂量。经过照射

后, 聚乙烯将变为实际上是一种新的材料, 这种材料可以在80—250° 范圍內使用。

果爱(И. Коэн)、罗斯果(Е. Лоско)、爱海别尔格(Дж. Эйхенберг): 作 PWR 反应堆控制棒用的 Ag—In—Cd 合金的冶金处理及其性质(节譯)(原載于 Nucl. Engng and Sci. Conference, 1958年3月)。文章內討論了銀与15%(重量)的錒和5%(重量)的鎳的合金的冶金处理問題及其原子核物理性质和腐蝕性质。在260—340°C 范圍內, 这种合金在各种含盐量的水中几乎不受腐蝕, 这就使得可以用它来做控制棒而不必加保护外皮。

侯里哥(В. Хольг)、薩烏布(Т. Шайб): 有机载热剂天然鈾重水反应堆(259号报告, 瑞士)。敘述了选择該种类型的反应堆的理由, 并說明了物理和热工性能。引証了許多有关联苯性质的实验数据。

现代中子探测器。原載于 Nucl. Energy Engr. 12, 124, 293 (1958)。引証了由美国国家标准局制定的有机塑料閃爍体做成的中子探测器的工作性能。探测器可以当作各种能量的中子的中子剂量仪来使用。

切里尔(Д. Г. Терилл)。反应堆內放射性废物的排出。原載于 Sewage and Industr. Wastes 30, 3, 270 (1958)。文章內敘述了与原子能工业利用有关的辐射源定质和定量性能。

英国反应堆一覽表。原載于 Nucl. Engng 3, 30, 396 (1958)。敘述了英国的动力反应堆, 材料試驗堆, 实验用反应堆和研究用反应堆的主要特性。

Nukleonika. Т. III. № 5 (1958)。杂志內有下列文章:

安德日夫斯基(С. Анджеевский)、拉托烏尔(Я. Латоур)、諾娃斯基(П. Я. Новацкий)、湯烏別(М. Таубе)、胞米尔斯基(Р. Померский): 波兰原子动力的发展远景; 日克(В. Жук): 电磁分离器及其在原子物理上的应用; 舒卡尔(Д. Шугар): 标记化合物在生物的有色定量反应中的应用; 卓洛托夫斯基(И. Золотовский)、捷林斯基(М. Зелинский): 用充 CO₂ (或 CO) 与重碳氢化合物的混合物的盖革計数管来測定气体中 C¹⁴ 含量; 布列格(И. Бурек): 波兰鈾矿的普查; 塔烏別(М. Таубе): 关于处理鈾的几个問題; 薩維茨基(П. С. Савицкий): 放射性同位素在苏联科学研究与国民經济中的应用; 放射性同位素在医学和生物学中的应用(莫斯科, 1958年1—3月); 列宁格勒原子核光譜学第八次會議; 和平利用原子能第二次国际會議; 充三氟化硼的 NUM-12, NUM-30, NUM-72, NUM-12W, NUM-30W 和 NUM-72W

型中子計數器。書報評論及新聞。

Nukleonika. Т. III, № 6 (1958). 雜誌內刊登有下列文章:

茲梅斯洛夫斯基 (А. Змысловский): 热中子非均匀反应堆內溫度的測定; 薩維茨基: 叶克利-育尔达 (Екле-Йордан) 型触发計數綫路 (結束); 波梁斯基 (А. Полянский). 鈾的地质化学及其在自然界中的浓度; 謝列茨基 (А. Селецкий). 論在同位素的接触交换反应 $\text{HD} + \text{H}_2\text{O}_{\text{蒸汽}} \rightleftharpoons \text{H}_2 + \text{HDO}_{\text{蒸汽}}$ 中流体化的应用問題; 放射性尘埃的过滤器; 在临床診斷学中应用某些放射性同位素的新的可能性; 对照射的个人防护的照象检查; 波捷原子动力會議; LS-1/38 型閃爍計數器; 新聞。

释热元件會議录 Fuel Elements Conference. AEC US, Technical Information Service Extension, 1958, V. 1—365 頁, V. 11—811 頁.

中子鏈式反应堆的物理理論 Weiberg A. M., Wigner E. P. **The physical theory of neutron chain reactors.** University of Chicago Press, 1958, 800 頁.

书的作者是美国著名的理論家。在书的前言中作者指出了他們的目的是为了对反应堆的理論作出统一的描述。因为这一描述将有助于确立反应堆物理方面的科学传统。广泛地介绍了反应堆物理的新的領域——共振中子和快中子反应堆的物理學。詳細地討論了非均匀堆的物理問題。并将理論結果与实验作了比較, 列举了将理論应用于反应堆設計的实际問題上的許多例子。本书附有很好的插图。

期 刊 文 献

Ахнєзер А. И. и др. Об устойчивости ударных волн в магнитной гидродинамике. ЖЭТФ, т. 35, вып. 9 (1958).

Бабешкин А. М. и др. Измерение малых количеств эманаций радия и тория импульсной ионизационной камерой. Заводск. лаборатория, т. 24, № 8 (1958).

Берсєнев А. П. и Фокина А. Г. Опыт использования радиоактивных изотопов для исследования древесины. Деревообработ. пром-сть № 8 (1958).

Богоров В. Г. и Крепс Е. М. Возможно ли захоронение радиоактивных отходов в глубоководных впадинах океана. Природа № 9 (1958).

Бокштейн С. З. Применение радиоактивных изотопов для измерения локальных характеристик сплава. (Обзор). Заводск. лаборатория, т. 24, № 8 (1958).

Вайнштейн Э. Е. и Беляев Ю. И. Применение радиоактивных изотопов для исследования

пространственного распределения элементов в плазме дуги постоянного тока при спектральном определении примесей в уране. Ж. аналит. химии, т. 13, вып. 4 (1958).

Вознесенский С. А. и др. Влияние неводных растворителей на сорбцию радиоактивных микрокомпонентов рядом твердых сорбентов. Науч. доклады высш. школы. Химия и хим. технология № 3 (1958).

Глазков В. А. и Кодочитов П. Н. Применение радиометра «ТИСС» для обнаружения β -излучения. Заводск. лаборатория, т. 24, № 8 (1958).

Голицын Г. С. Одномерные движения в магнитной гидродинамике. ЖЭТФ, т. 35, вып. 9 (1958).

Горбунов В. И. Прибор для измерения некоторых параметров излучения, генерируемого ускорителями заряженных частиц. Изв. высш. учеб. заведений. Физика № 3 (1958).

Гордєев Г. В., Губанов А. И. К вопросу ускорения плазмы в магнитном поле. Ж. техн. физ., т. XXVIII, вып. 9 (1958).

Грузин П. Л. и др. Изучение диффузии серы в железе методом радиоактивных изотопов. Инж.-физ. ж., т. 1, № 6 (1958).

Гуревич А. В. О температуре электронов в плазме в переменном электрическом поле. ЖЭТФ, т. 35, вып. 8 (1958).

Дриц М. Е. и др. Влияние тория на жаропрочность магния и некоторых его сплавов. Изв. АН СССР. Отд. техн. н. № 8 (1958).

Железнова Е. И. и Токарева Д. В. Применение радиометрического метода для определения урана тория и радия в рудах. Заводск. лаборатория, т. 24, № 8 (1958).

Зайдел А. Н. и Петров К. И. Определение водорода в тантале, ниобии и уране. Заводск. лаборатория, т. 24, № 8 (1958).

Зымаков И. Е. и Рожавский Г. С. Метод многократного радиоактивного разбавления для определения малых примесей. Заводск. лаборатория, т. 24, № 8 (1958).

Калинкин Л. Ф. и др. γ -излучение радиационного захвата тепловых нейтронов ядрами Mo^{95} , Ag^{107} , Te^{128} и Cs^{135} . ЖЭТФ, т. 35, вып. 9 (1958).

Картужанский А. Л. и Солтицкий Б. П. Обзор советских работ по фотографическому действию ионизирующих частиц. Ж. научн. и прикл. fotogr. и кинематогр., т. 3, вып. 4 (1958).

Кравцов В. А. Новые измерения масс атомов. Успехи физ. наук, т. LXV, вып. 3 (1958).

Лариш Э., Шехтман И. Образование двух температур в находящемся в магнитном поле ионизованном газе. ЖЭТФ, т. 35, вып. 8 (1958).

Лебедєв В. И., Калашникова В. И. Среднее число нейтронов, испускаемых при делении Th^{230} тепловыми нейтронами. ЖЭТФ, т. 35, вып. 8 (1958).

Лукашев Г. Г. и др. Изучение движения материалов в доменной печи с помощью радиоактивных индикаторов. *Сталь* № 8 (1958).

Матвеев А. Н. О механизме захвата и предельном токе в бетатронах. *ЖЭТФ*, т. 35, вып. 8 (1958).

Меркулов В. С. К вопросу определения веса методом поглощения β -излучения (кривые ошибок). *Измерительная техника* № 4 (1958).

Нестеров В. Г., Смиренькая Г. Н. Сечение деления Pu^{240} быстрыми нейтронами. *ЖЭТФ*, т. 35, вып. 8 (1958).

Перфилов Н. А., Денисенко Г. Ф. О тройных расщеплениях ядер урана. *ЖЭТФ*, т. 35, вып. 9 (1958).

Половин Р. В., Любарский Г. Я. Невозможность ударных волн разряжения в магнитной гидродинамике. *ЖЭТФ*, т. 35, вып. 8 (1958).

Скребцов А. М. Опыт применения радиоактивных индикаторов на металлургическом заводе «Азовсталь». *Заводск. лаборатория*, т. 24, № 8 (1958).

Смирнов В. Ф. Сцинтилляционные методы измерения радиоактивности слабых препаратов. (Обзор). *Заводск. лаборатория*, т. 24, № 8 (1958).

Соломонов М. Г. Научно-техническая сессия по вопросам водного режима, водоподготовки и обеспечения чистоты пара на атомных электростанциях (Москва, май 1958 г.). *Изв. АН СССР. Отд. техн. н.* № 8 (1958).

Сорокин А. А. и др. Применение люминесцентного спектрометра для идентификации радиоизотопов. *Заводск. лаборатория*, т. 24, № 8 (1958).

Станюкович К. П. Ударные волны в проводящем ультрарелятивистском газе. *ЖЭТФ*, т. 35, вып. 8 (1958).

Токмаков В. С. Применение радиоактивного туля для гамма-дефектоскопии. *Заводск. лаборатория*, т. 24, № 8 (1958).

Франк-Каменецкий Д. А. Мощные импульсные электрические разряды в газах. *Природа* № 8 (1958).

Харламов И. П. и др. Спектрофотометрическое определение ниобия в сплавах. *Заводск. лаборатория*, т. 24, № 8 (1958).

Шварцман Л. А. Об опыте применения радиоактивных изотопов в черной металлургии. *Заводск. лаборатория*, т. 24, № 8 (1958).

Шерстюк А. И. О влиянии изоморфных примесей в берилле на его показатели преломления. *Науч. доклады высш. школы. Геол. геогр. науки* № 2 (1958).

Эйгелес М. А. Требования к технологическим пробам берилловых, сподуменовых и танталитокolumбитовых руд. *Разведка и охрана недр* № 7 (1958).

Allred J. C., Carter D. S. *Nucl. Sci. and Engng* 3, 5, 482 (1958). Кинетика гомогенного энергетического реактора типа LAPRE.

Anderson J. D. et al. *Phys. Rev.* 111, 2, 572 (1958). Неупругое рассеяние нейтронов с энергией 14 Мэв на углероде и бериллии.

Ashby V. J. et al. *Phys. Rev.* 111, 2, 616 (1958). Абсолютные измерения сечения распада (n , $2n$) при энергии нейтронов 14,1 Мэв.

Bartsch A. F. et al. *Sewage and Industr. Wastes* 30, 8, 1012 (1958). Загрязнение питьевой воды отходами при обработке урановой руды.

Bhandari R. C. et al. *J. Nucl. Energy* 7, 3/4, 45 (1958). Рассеяние тепловых нейтронов в окиси бериллия.

Bump T. R., Seidensticker R. W. *Nucl. Sci. and Engng* 4, 1, 44 (1958). Анализ измерений температуры и расширений, возникающих при экспоненциальных изменениях мощности в реакторе.

Cabell M. J. et al. *J. Nucl. Energy* 7, 1/2, 81 (1958). Сечение захвата тепловых нейтронов и резонансный интеграл захвата U^{235} .

Chamberlain A. C., Dunster H. J. *Nature* 182, 4636, 629 (1958). Отложение радиоактивности в северо-западной части Англии в результате аварии в Уиндскайле.

Colli L. et al. *Nuovo cimento* IX, 3, 538 (1958). Ускоритель дейтронов с энергией 160 кэв Института физики Миланского университета.

Coon J. H. et al. *Phys. Rev.* 111, 1, 250 (1958). Рассеяния нейтронов с энергией 14,5 Мэв на сложных ядрах.

Davison B. J. *Nucl. Energy* 7, 1/2, 51 (1958). Эффективная длина диффузии тепловых нейтронов в реакторе с плоско-параллельной решеткой.

Day E. A. et al. *Rev. Scient. Instrum.* 21, 6, 457 (1958). Протонный линейный ускоритель на 10—40—68 Мэв Университета штата Миннесота.

De Vries H. *Science* 128, 3318, 250 (1958). Действие атомной бомбы. Изменение содержания радиоактивного углерода в растениях, раковинах и ногтях человека за последние четыре года.

Droulers Y. et al. *J. Nucl. Energy* 7, 3/4, 210 (1958). Измерение транспортной длины нейтронов в графите.

Egelstaff P. A. *J. Nucl. Energy* 7, 1/2, 35 (1958). Корреляция энергетических уровней ядер урана-236 и плутония-240.

Garabedian H. L. et al. *Nucl. Sci. and Engng* 3, 5, 548 (1958). Чувствительность реактора к изменениям реактивности во время установления равновесной концентрации ксенона.

Carwin R. L. *Rev. Scient. Instrum.* 29, 5, 374 (1958). Получение пучков поляризованных протонов ускорением протонов, полученных из поляризованных молекул водорода.

Grimble R. E., Le Tourneau B. W. *Nucl. Sci. and Engng* 3, № 5, 529 (1958). Свободное атмосферное охлаждение кассет топливных элементов, нагреваемых в результате распада активности.

- Haefner E., Hultgren A. Nucl. Sci. and Engng 3, № 5, 471 (1958). Метод отделения плутония от урана.
- Hartley W. H., Bayard R. T. Nucl. Sci. and Engng 4, 1, 65 (1958). Изучение эффективности регулирующих стержней в реакторах с центральной зоной и зоной воспроизводства.
- Hasse R. A. et al. J. Nucl. Energy 7, 3/4, 205 (1958). Отношение сечений реакций (n, γ) и $(n, 2n)$ на тории-232 для нейтронов деления.
- Hay H. J. J. Nucl. Energy 7, 3/4, 199 (1958). Полное нейтронное сечение неодима-143.
- Hennig G. R. Nucl. Sci. and Engng. 3, 5, 514 (1958). Химическая модель радиационных повреждений графита.
- Heyn F. A., Khoe Kong Tat. Rev. Scient. Instrum. 29, 7, 662 (1958). Работа протонного циклотрона с фиксированной частотой и секторным полем.
- Nicholson R. B. Nucl. Sci. and Engng 3, 5, 620 (1958). Высокочастотный механизм неустойчивости реактора.
- Jablonski F. E., Di Meglio A. F. Nucl. Sci. and Engng 3, 5, 631 (1958). Использование алюминия в качестве порогового нейтронного детектора.
- Jentt P. A., Barden S. E. J. Nucl. Energy 7, 3/4, 222 (1958). Вероятность первого столкновения нейтронов в областях с круговой симметрией.
- Kelber C. Nucl. Sci. and Engng 3, 5, 633 (1958). Факторы эквивалентности для D_2O .
- Kuhn E., Dresner L. J. Nucl. Energy 7, 1/2, 69 (1958). Эффект флуктуаций в ширине сечения реакции на резонансные интегралы.
- Kulp J. L., Slacter R. Science 128, 3315, 85 (1958). Современный уровень содержания Si^{90} в пище в США.
- Mani G. S. J. Nucl. Energy 7, 3/4, 220 (1958). О времени замедления нейтронов в замедлителях.
- Mezger F. W. Nucl. Sci. and Engng 4, 1, 96 (1958). Ослабление водородной защитой активация вещества нейтронами.
- Morewitz H. A., Valentine R. F. Nucl. Sci. and Engng 4, 1, 73 (1958). Система для получения и вычисления нейтронного потока в критических сборках.
- Kohen S. et al. Phys. Rev. 110, 6, 1471 (1958). Мю-мезонные молекулярные ионы и ядерный катализ.
- Nowak M. J. Nucl. Sci. and Engng 4, 1, 25 (1958). Общие уравнения критического реактора.
- Palmer G. H. J. Nucl. Energy 7, 1/2, 1 (1958). Ионный источник с тепловой эмиссией для масс-спектрометрии.
- Phillips G. C. et al. Nucl. Instruments 3, 1, 43 (1958). Естественная модуляция пучков в высокочастотном ионном источнике.
- Phillips J. A. J. Nucl. Energy 7, 3/4, 215 (1958). Сечение $(n, 2n)$ Th^{232} для нейтронов деления.
- Reier M. et al. Nucl. Sci. and Engng 4, 1, 1 (1958). Возраст нейтронов полоний-бериллиевого источника в смесях металл-вода при различных соотношениях.
- Roos M. J. Nucl. Energy 7, 3/4, 225 (1958). Возраст нейтронов в железе и нержавеющей стали.
- Simmons B. E., King, J. S. Nucl. Sci. and Engng 3, 5, 595 (1958). Определение реактивности при помощи модулированных потоков нейтронов.
- Slater M. et al. Rev. Scient. Instrum. 29, 7, 601 (1958). Комбинация из ионной камеры и пропорционального сечения для измерения фона γ -лучей в нейтронных полях.
- Smith C. O. Nucl. Sci. and Engng 3, 5, 540 (1958). Тепловые напряжения в цилиндрических топливных элементах с оболочкой.
- Steward N. G., Crooks R. N. Nature 182, 4636 627 (1958). Длительное движение радиоактивного облака после аварии в Уиндскейле.
- Stuart G. W. J. Nucl. Energy 7, 1/2, 97 (1958). Взрыв реактора и критическая масса.
- Stuart G. W. Nucl. Sci. and Engng 3, 5, 628 (1958). Критические уравнения для цилиндрических реакторов с конечными размерами.
- Skinner R. E., Hetrick D. L. Nucl. Sci. and Engng 3, 5, 573 (1958). Функция переноса водяного кипящего реактора.
- Titus F. Nucl. Sci. and Engng 3, 5 609 (1958). Измерение дозы γ -лучей вблизи поверхности раздела двух сред.
- Turner C. M., Bloom S. D. Rev. Scient. Instrum. 29, 6, 480 (1958). Получение миллимикросекундных импульсов с помощью высокочастотного отклонения ионного пучка в электростатическом ускорителе.
- H. Tyrgén, Maris Th. A. J. Arkiv fys. 13, 6, 609 (1958). Магнитный энергетический анализ частиц высоких энергий.
- Wade J. W. Nucl. Sci. and Engng 4, 1, 12, (1958). Возраст нейтронов в смесях D_2O и H_2O .
- Wolfe B. J. Nucl. Energy 7, 1/2, 71 (1958). Влияние эпитепловых нейтронов на эффективность регулирующих элементов.

ЖУРНАЛА "АТОМНАЯ ЭНЕРГИЯ" ТОМ 6, ВЫП. 4, 1959 Г.

СОДЕРЖАНИЕ

Статьи

- Ю. И. Корякин. Атомные электростанции с графито-газовыми и водоводяными реакторами
- П. Л. Кириллов, В. И. Субботин, М. Я. Суворов, М. Ф. Троянов. Теплоотдача в трубе к сплаву натрия с калием и к ртути
- В. В. Смелов. О приближенном методе гомогенизации гетерогенного реактора
- И. М. Лифшиц, М. И. Каганов, Л. В. Танатаров. К теории радиационных изменений в металлах
- Ю. Н. Сокурский. О влиянии облучения на реакторные и конструкционные материалы
- М. И. Иванов, В. А. Тумбаков. Теплота образования UB_{12}
- В. Б. Шевченко, В. Г. Тимошев, А. А. Волков. Константы устойчивости комплексов трехвалентного плутония в водных и трибутилфосфатных растворах
- Я. В. Файнберг. Ускорение частиц в плазме
- Я. В. Файнберг. К нелинейной теории медленных волн в плазме
- Г. В. Горлов, В. М. Гохберг, В. М. Морозов, Г. А. Отрошенко, В. А. Шигин. Сечение деления U^{238} и U^{235} под действием нейтронов с энергией от 3 до 800 кэВ
- Ю. С. Деев. Применение сульфидно-кадмиевых фотосопротивлений в дозиметрии ионизирующих излучений

Письма

- Ю. С. Замятин, Н. И. Иванова, И. Н. Сафина. Спектры нейтронов, образующихся при прохождении нейтронов с энергией 14 МэВ через толстые слои железа, свинца и урана
- А. А. Лбов, И. И. Наумов. Радиоаквационный анализ с применением нейтронов с энергией 14 МэВ
- А. М. Розен. Внутренняя циркуляция извлекаемых веществ и технологический расчет колонны при экстракции трибутилфосфатом
- П. В. Тимофеев, Ю. А. Симченко. Атомный источник высокого напряжения
- В. К. Войтовецкий, Н. С. Толмачева. Литий-силикатные сцинтилляционные стекла для детектирования медленных нейтронов
- Г. В. Горшков, Н. С. Шиманская. Полная энергия радиоактивного излучения равновесного препарата радия/ Ra^{226} /
- Г. Р. Гольбек, В. В. Матвеев, А. Д. Соколов. Гамма-поле, образованное в воздухе точечным источником γ -излучения, помещенным в полубесконечную песчаную среду

НОВОСТИ НАУКИ И ТЕХНИКИ

БИБЛИОГРАФИЯ

以上为苏联 原子能 杂志 6 卷 4 期目录, 相当于本刊 4 卷 8 期(8 月底出版), 願參加翻譯上述文献者希于 1959 年 5 月 15 日以前来信联系。

原子能雜誌徵求譯者簡約

- (一) 本刊以翻譯苏联 Атомная энергия 雜誌为主,凡志願参加本刊翻譯工作者請来信联系。但为了避免重譯,在未获本刊編輯部答复以前,希勿开譯。
- (二) 除 Атомная энергия 雜誌所登的材料外,如譯者准备另选题材(包括資本主义国家的材料在內),也請来信联系,以免所选题材不合本刊需要。
- (三) 来信联系时必须写明眞名、地址(或通信处)、服务机关及职务,初次联系时希对个人专长及翻譯能力(如能譯何种外国語,曾譯过什么材料等)作简单的介紹。
- (四) 来稿一律用鋼笔在方格稿紙上橫写,字跡務必清晰規整。如涂改过多,希另抄清稿。标点符号应放在格內,插图应放在适当位置。单位一律譯成中文。外文参考文献不必翻譯,只按原文抄录。
- (五) 来稿經本刊編委会审查后才决定是否采用,不采用的稿件将妥予退回。
- (六) 本刊編委会对来稿有修改之权,如不同意修改請在来稿上說明。
- (七) 来稿經采用后酌致稿酬。
- (八) 惠件請寄:北京市邮局第 287 号信箱。

原 子 能 (月刊)

編 輯 者	中国物理学会 '原子能'編輯委员会 (北京郵箱 287 号)
出 版 者	科 学 出 版 社
印 刷 者	中国科学院印刷厂
总发行处	邮电部北京邮局
訂 购 处	全 国 各 地 邮 局
代訂代銷处	全 国 各 地 新 华 书 店

(京) 1—3,650

1959 年 4 月 27 日出版

定价: 1.10 元

本刊代号: 2—212